

**Titre:** Conception et optimisation d'un cathéter avec électrode  
oesophagienne sélective à l'EMGdi et deux capteurs de pression  
**Title:** Conception et optimisation d'un cathéter avec électrode  
oesophagienne sélective à l'EMGdi et deux capteurs de pression

**Auteur:** Luc Romain  
Author:

**Date:** 2000

**Type:** Mémoire ou thèse / Dissertation or Thesis

**Référence:** Romain, L. (2000). Conception et optimisation d'un cathéter avec électrode  
oesophagienne sélective à l'EMGdi et deux capteurs de pression [Mémoire de  
maîtrise, École Polytechnique de Montréal]. PolyPublie.  
<https://publications.polymtl.ca/6943/>

 **Document en libre accès dans PolyPublie**  
Open Access document in PolyPublie

**URL de PolyPublie:** <https://publications.polymtl.ca/6943/>  
PolyPublie URL:

**Directeurs de  
recherche:** Mohamad Sawan  
Advisors:

**Programme:** Non spécifié  
Program:

## **NOTE TO USERS**

**This reproduction is the best copy available.**

**UMI<sup>®</sup>**



UNIVERSITÉ DE MONTRÉAL

Conception et optimisation d'un cathéter avec électrode œsophagienne  
sélective à l'EMGdi et deux capteurs de pression.

LUC ROMAIN  
DÉPARTEMENT DE GÉNIE ÉLECTRIQUE  
ET DE GÉNIE INFORMATIQUE  
ÉCOLE POLYTECHNIQUE DE MONTRÉAL

MÉMOIRE PRÉSENTÉ EN VUE DE L'OBTENTION  
DU DIPLÔME DE MAÎTRISE ÈS SCIENCES APPLIQUÉES  
(GÉNIE ÉLECTRIQUE ET GÉNIE INFORMATIQUE)

MAI 2000



National Library  
of Canada

Acquisitions and  
Bibliographic Services

385 Wellington Street  
Ottawa ON K1A 0N4  
Canada

Bibliothèque nationale  
du Canada

Acquisitions et  
services bibliographiques

385, rue Wellington  
Ottawa ON K1A 0N4  
Canada

*Your file Votre référence*

*Our file Notre référence*

**The author has granted a non-exclusive licence allowing the National Library of Canada to reproduce, loan, distribute or sell copies of this thesis in microform, paper or electronic formats.**

**L'auteur a accordé une licence non exclusive permettant à la Bibliothèque nationale du Canada de reproduire, prêter, distribuer ou vendre des copies de cette thèse sous la forme de microfiche/film, de reproduction sur papier ou sur format électronique.**

**The author retains ownership of the copyright in this thesis. Neither the thesis nor substantial extracts from it may be printed or otherwise reproduced without the author's permission.**

**L'auteur conserve la propriété du droit d'auteur qui protège cette thèse. Ni la thèse ni des extraits substantiels de celle-ci ne doivent être imprimés ou autrement reproduits sans son autorisation.**

**0-612-65564-4**

**Canada**

UNIVERSITÉ DE MONTRÉAL

ÉCOLE POLYTECHNIQUE DE MONTRÉAL

Ce mémoire intitulé :

Conception et optimisation d'un  
cathéter avec électrode oesophagienne  
sélective à l'EMGdi et deux capteurs de pression.

Présenté par : ROMAIN Luc

En vue de l'obtention du diplôme de : Maîtrise ès sciences appliquées  
A été dûment accepté par le jury d'examen constitué de :

M. SAVARD Pierre, Ph.D., président du comité

M. SAWAN Mohamad, Ph.D., membre et directeur de recherche

M. LAURIN Jean-Jacques, Ph.D., membre

## **Remerciements**

**Je tiens à remercier M. François Bellemare, de m'avoir proposé ce projet de recherche ainsi que pour l'aide financière tout au long de ce travail.**

**Je tiens également à remercier mon directeur de recherche, M. Mohamad Sawan, professeur à l'École Polytechnique, de m'avoir guidé durant l'accomplissement de mes travaux.**

**Un merci spécial à Julie qui m'a épaulé tout au long de mes travaux de recherche.**

**Finalement, je dois remercier mes parents, Carl et Carole ainsi que ma sœur Céline de m'avoir encouragé durant mes études.**

## Résumé

La lecture de l'électromyogramme (EMG) du diaphragme ainsi que de la pression transdiaphragmatique est susceptible de fournir un grand nombre de renseignements sur le système respiratoire. Le diaphragme est le muscle principal du système respiratoire. Il est stimulé à plusieurs endroits sur sa surface par le nerf phrénique suite à une excitation provenant du cerveau. Lors d'une respiration, des potentiels d'actions ordonnent la contraction du diaphragme. Ces potentiels d'action de très faible amplitude peuvent être captés tout près du sphincter œsophagien à l'aide d'une électrode œsophagienne. Une différence de pression est exercée entre l'estomac et l'œsophage lors d'une respiration de part et d'autre du sphincter œsophagien. Cette différence de pression peut être captée avec des transducteurs de pression logés sur une deuxième sonde œsophagienne.

Un problème significatif limite l'efficacité et la précision des lectures de l'EMG<sub>di</sub> : la contamination par l'artefact cardiaque appelé l'électrocardiogramme (ECG). Le cœur est un organe dont le fonctionnement est synchrone ; toutes les fibres du cœur sont activées en moins de 90 msec. La contraction du cœur débute par une impulsion électrique dans le nœud sinusal. Le nœud sinusal est l'endroit dans le cœur où la stimulation électrique qui initialise la contraction du cœur est amorcée. La stimulation du nœud sinusal n'est pas commandée par le cerveau mais elle est générée à même le nœud sinusal. Contrairement au cœur, le fonctionnement du diaphragme est asynchrone. La contraction du diaphragme est commandée à plusieurs endroits par le nerf phrénique.

Étant donné qu'il y a plusieurs points de stimulation électrique sur le diaphragme, il y a des annulations de potentiel qui ont pour effet de réduire l'amplitude résultante du signal  $EMG_{di}$ . Le signal résultant de l'activité du cœur est si fort qu'on peut facilement le capter avec des électrodes n'importe où sur le corps. Ce signal vient s'additionner à l' $EMG_{di}$ . Le filtrage de l'ECG avec un filtre passe haut avec une fréquence de coupure de 10Hz parvient à réduire suffisamment l'ECG. Toutefois, ce filtrage passif atténue également une partie de l' $EMG_{di}$  puisque le spectre fréquentiel de ce signal contient des composantes fréquentielles inférieures à 10Hz.

La seconde lecture qu'on effectue est la mesure de la pression trans-diaphragmatique. La méthode la plus répandue pour capter ce signal est d'utiliser une sonde sur laquelle sont logés deux ballons en latex. Le coût très faible ainsi que la facilité d'utilisation sont des facteurs qui expliquent leur popularité, mais leur faible réponse en fréquence est une limitation majeure. Toutefois, il existe d'autres méthodes pour capter la pression trans-diaphragmatique par des cathéters ayant des petits capteurs de pression piézo-résistifs. Il y a aussi les capteurs de pression à fibre optique qui offrent une précision remarquable et une faible sensibilité au bruit. Cependant, l'instrumentation nécessaire pour les faire fonctionner est encombrante et le coût de son acquisition est très élevé.

### ***Les objectifs visés***

Un premier objectif consiste à faire une recherche détaillée sur tous les capteurs de pression médicaux. Nous savons qu'il existe plusieurs types de capteurs de pression :

fibre optique, piézo-résistif, couplage au liquide, etc. Une description de chaque type de capteur sera effectuée dans le but de les comparer et de les évaluer pour nos besoins. Nous tenterons par la suite de fabriquer un cathéter sur lequel seront montés les capteurs de pression choisis afin de vérifier leur efficacité.

En ce qui concerne la méthode de lecture de l'EMG<sub>di</sub>, une recherche détaillée sur les différents types d'électrodes servant à cette tâche sera effectuée. Une partie significative de ce mémoire décrira une méthode qui permettra d'analyser différents types d'électrodes œsophagiennes.

Il est important de noter qu'il existe des méthodes de filtrage sophistiquées qui réussissent à supprimer une source de contamination d'un signal. Un bref résumé de ces méthodes de filtrage sera présenté à titre d'information. Toutefois, la partie sur les algorithmes de filtrage ne fera que compléter la section concernant la réalisation d'une nouvelle électrode. Un des buts principaux de cette recherche consiste à étudier les électrodes œsophagiennes en ce qui a trait à leurs caractéristiques physiques et à leur sensibilité à l'EMG<sub>di</sub>. Il est à noter que cette recherche n'a pas pour but de faire l'étude d'algorithmes de filtrage de signaux mais elle consiste plutôt à étudier et à concevoir une électrode œsophagienne qui aura la capacité de capter l'EMG<sub>di</sub> sans contamination cardiaque. Un type d'électrode œsophagienne particulière a été proposée en vue d'éliminer l'artefact cardiaque. Une attention particulière sera portée à l'égard de cette électrode.

## Abstract

The analysis of the respiratory system is done by analysing the electromyogram of the diaphragm ( $EMG_{di}$ ) and the trans-diaphragmatic pressure ( $P_{di}$ ). The diaphragm is the main muscle involved in respiration. The role of the diaphragm is to increase the volume of the thorax in order to lower the abdominal pressure and fill the lungs with air. The diaphragm is a voluntary muscle that is stimulated by the brain. The phrenic nerve is responsible to carry the electric signal from the brain to the diaphragm. This nerve has several ramifications and all of these ramifications make contact with the diaphragm all over its surface. When the diaphragm is stimulated by the phrenic nerve, the nerve contacts on the diaphragm are the origin of action potentials that propagate along the muscular fibers of the diaphragm. These multiple stimulations over the diaphragm's surface yield a noise-like signal at the periphery of the esophageal sphincter. Action potential propagation can be seen as a domino effect on the nerve and muscle cells. This happens when a cell depolarizes when its neighboring cell are still depolarized. Unlike a domino, the cell recharges its potential slowly. Since the diaphragm and the esophageal sphincter are in contact, a slight potential can be observed by an esophageal electrode when breathing occurs. Furthermore, a differential pressure between the esophagus and the stomach can be observed during respiration. These measurements can be obtained with an esophageal catheter with two pressure sensors and an esophageal electrode.

However, the readings of the  $EMG_{di}$  signal is contaminated by the electrocardiogram (ECG), which is also known as the cardiac artefact. Unlike the diaphragm, the muscular fibers of the heart are synchronous. All of the cardiac fibers are stimulated by a single source: the sinus node. The synchronous behavior of the cardiac fibers gives its signal a higher electrical potential than the fibers of the diaphragm whose fibers are depolarized asynchronously.

The other reading that has to be done is the trans-abdominal pressure  $P_{di}$ . A common way to measure this pressure is to use two latex balloons mounted on a catheter. This method is very popular because of its ease of use and calibration. However, the frequency response of this method is not so great. The pressure signal from the latex balloon to the pressure sensor is modulated by an air pressure wave through a small tube within the catheter. This air coupling has a very low frequency response and could be easily replaced by a much faster media such as an electrical or optical link.

### ***The goals of this research***

A first goal is to perform a detailed search and analysis on the different medical pressure sensors that could be used in this application. We know that the fiber optic and the microelectronic pressure sensors are good candidates to replace the latex balloons. An analysis will be performed on the pressure sensors in order to determine which of them are suitable for our application. When the pressure sensor will be selected, a catheter with two pressure sensors will be fabricated.

The analysis of the electrode fundamentals will be used to understand why a portion of the ECG is measured by the esophageal electrode. A model of the thorax and an electrode will be developed in a software simulator in order to study the effects of several electrode parameters on the  $EMG_{di}$  readings. We hope that this model will lead us to the fabrication of an electrode that will be sensible only to the  $EMG_{di}$ .

Some filtering techniques are capable of eliminating contaminating signals from a desired signal. However, these methods are applied to the signal when the measurements are done. Some of these methods cannot run in real time. A brief overview of these methods shall be presented in this research. It is important to know that the use or development of signal filtering techniques is not a goal here. There is a lot of research concerning the development of filtering techniques but nothing has been done to optimize the electrodes for reducing the contamination at the source. A particular shape of esophageal electrode has been proposed to eliminate the ECG during  $EMG_{di}$  recordings. Our focus will be oriented in studying this specific electrode and optimize its shape for  $EMG_{di}$  readings and a better ECG filtering.

## Table des matières

|  |       |
|--|-------|
| Remerciements.....   | iv    |
| Résumé.....  | v     |
| Abstract.....  | viii  |
| Table des matières.....  | xi    |
| Liste des tableaux.....  | xv    |
| Liste des figures .....  | xvi   |
| Liste des annexes .....  | xviii |
| Chapitre 1 : Domaine d'application de la recherche.....                          | 1     |
| 1.1 Introduction.....  | 1     |
| 1.1.1 Physiologie du système respiratoire.....                                   | 1     |
| 1.2 Instrumentation utilisée en clinique.....                                    | 3     |
| 1.2.1 Les ballons en latex couplés à l'air .....                                 | 4     |
| 1.2.2 Le couplage à l'eau .....  | 4     |
| 1.2.3 Les capteurs de pression à fibre optique .....                             | 5     |
| 1.2.4 Les transducteurs piézo-résistifs.....                                     | 5     |
| 1.2.5 Électrode œsophagienne .....   | 6     |
| 1.3 Sources d'erreur lors de la lecture des signaux $EMG_{di}$ et $P_{di}$ ..... | 7     |
| 1.3.1 Problèmes reliés à l'analyse de la pression trans-diaphragmatique.....     | 7     |
| 1.3.2 Problème relié à la mesure de l' $EMG_{di}$ .....                          | 8     |
| 1.4 Solutions envisagées .....   | 10    |

|  |           |
|--|-----------|
| <b>Chapitre 2 : Méthodes et instruments utilisés pour mesurer l'EMG<sub>di</sub> et P<sub>di</sub> .....</b> | <b>13</b> |
| <b>2.1 Mesure de la pression trans-diaphragmatique.....</b>  | <b>13</b> |
| <b>2.1.1 Mesure de la pression avec des ballons en latex.....</b>  | <b>13</b> |
| <b>2.1.2 Fonctionnement des transducteurs de pression.....</b>   | <b>15</b> |
| <b>2.1.3 Les technologies de fabrication et le micro-machinage.....</b>                                      | <b>16</b> |
| <b>2.1.4 Les capteurs de pression fibre optique.....</b>   | <b>17</b> |
| <b>2.1.5 Capteurs de pression microélectroniques.....</b>  | <b>20</b> |
| <b>2.2 Les électrodes servant à mesurer l'EMG<sub>di</sub> .....</b>   | <b>22</b> |
| <b>2.2.1 Analyse du fonctionnement d'une électrode.....</b>  | <b>22</b> |
| <b>2.2.2 Électrode bipolaire conventionnelle .....</b>   | <b>24</b> |
| <b>2.2.3 Autre types d'électrodes .....</b>  | <b>25</b> |
| <b>2.2.4 Effet d'un bon contact électrode-sphincter .....</b>  | <b>26</b> |
| <b>2.3 Fabrication d'une électrode oesophagienne prototype .....</b>   | <b>27</b> |
| <b>2.3.1 Choix du cathéter et de ses dimensions .....</b>  | <b>27</b> |
| <b>2.3.2 Colle servant à lier l'électrode au cathéter.....</b>   | <b>27</b> |
| <b>2.3.3 Matériau utilisé pour la fabrication de l'électrode .....</b>                                       | <b>28</b> |
| <b>2.3.4 Montage de l'électrode sur le cathéter .....</b>  | <b>30</b> |
| <b>2.4 Les méthodes de filtrage passif et numérique.....</b>   | <b>31</b> |
| <b>2.4.1 Filtrage passe-haut passif.....</b>   | <b>31</b> |
| <b>2.4.2 Filtrage adaptatif .....</b>  | <b>32</b> |
| <b>2.4.3 Régression linéaire.....</b>  | <b>32</b> |
| <b>2.5 Conclusion .....</b>  | <b>33</b> |

|   |    |
|---|----|
| Chapitre 3 : Modélisation avec FDTD .....                         | 34 |
| 3.1 Description de la méthode FDTD .....                          | 36 |
| 3.1.1 Caractéristiques électromagnétiques du thorax .....         | 37 |
| 3.1.2 Critère de stabilité de FDTD .....                          | 40 |
| 3.1.3 Définition des matériaux avec FDTD .....                    | 41 |
| 3.1.4 Conditions aux frontières .....                             | 43 |
| 3.1.5 Sources émettrices .....                                    | 44 |
| 3.1.6 Calcul des différences finies .....                         | 45 |
| 3.2 Applications de la méthode FDTD à très faible fréquence ..... | 46 |
| 3.2.1 Multiplication en fréquence .....                           | 47 |
| 3.3 Modèle du thorax .....  | 48 |
| 3.3.1 Le thorax .....   | 49 |
| 3.3.2 Le cœur et le diaphragme .....                              | 49 |
| 3.4 Les électrodes oesophagiennes .....                           | 51 |
| 3.4.1 L'électrode bipolaire .....                                 | 51 |
| 3.4.2 Conclusion .....  | 52 |
| Chapitre 4 : Programmation du logiciel FDTD-A .....               | 54 |
| 4.1 Origine de la méthode numérique FDTD .....                    | 54 |
| 4.2 Initialisation du logiciel FDTD .....                         | 56 |
| 4.2.1 Structure des répertoires .....                             | 56 |
| 4.2.2 Sauvegarde des graphiques pour Matlab .....                 | 57 |
| 4.2.3 Édition de la table des matériaux .....                     | 59 |

|                               |   |    |
|-------------------------------|---|----|
| 4.2.4                         | Récupération d'une simulation antérieure .....  | 60 |
| 4.2.5                         | Affichage du temps écoulé et restant .....  | 60 |
| 4.2.6                         | Construction du modèle .....  | 62 |
| 4.2.7                         | Construction des électrodes .....   | 66 |
| 4.3                           | Validation du moteur de calcul FDTD .....   | 67 |
| 4.4                           | Conclusion .....  | 67 |
| Chapitre 5 : Résultats .....  | 69  |    |
| 5.1                           | Lectures expérimentales par électrode prototype et bipolaire .....                                | 69 |
| 5.2                           | Lectures de pression par capteur couvert par silastic .....                                       | 71 |
| 5.2.1                         | Méthodologie .....  | 71 |
| 5.2.2                         | Lectures Pression-Tension sans couche de silastic .....   | 73 |
| 5.2.3                         | Lectures Pression-Tension avec une mince couche de silastic .....                                 | 76 |
| 5.2.4                         | Analyse des résultats .....   | 79 |
| 5.3                           | Validation du simulateur FDTD .....   | 79 |
| 5.4                           | Courbes EMG <sub>di</sub> -ECG expérimentales en fonction de la profondeur dans l'oesophage ..... | 81 |
| Chapitre 6 : Conclusion ..... | 86  |    |
| 6.1                           | Capteurs de pression .....  | 86 |
| 6.2                           | L'électrode prototype .....   | 87 |
| 6.3                           | Simulations FDTD .....  | 88 |
| 6.3.1                         | Recommandations .....   | 89 |
| Bibliographie .....           | 93  |    |

## **Liste des tableaux**

|  |    |
|--|----|
| Tableau 3.1 : Permittivité ( $\epsilon=1$ ), conductivité ( $\sigma$ ) et perméabilité ( $\mu=1$ ) ..... | 42 |
| Tableau 5.1: Lectures Pression-Tension avec capteur sans recouvrement de silastic .....                  | 74 |
| Tableau 5.2: Lectures Pression-Tension du capteur avec recouvrement de silastic .....                    | 77 |
| Tableau 5.3 : Échantillons de référence calculés par le logiciel FDTD en FORTRAN ...                     | 80 |
| Tableau 5.4 : Échantillons calculés par le logiciel FDTD programmé en C++ .....                          | 80 |
| Tableau 5.5 : Lectures EMG et ECG en fonction de la profondeur .....                                     | 82 |

## Liste des figures

|  |    |
|--|----|
| Figure 1.1: Estomac, diaphragme et sphincter œsophagien.....                             | 3  |
| Figure 1.2: $EMG_{di}$ contaminé par l'ECG .....   | 9  |
| Figure 2.1: Pont Wheatstone.....   | 15 |
| Figure 2.2: Schéma d'un capteur de pression fibre optique .....                          | 18 |
| Figure 2.3: Dipôle de courant .....  | 22 |
| Figure 2.4: Électrode bipolaire conventionnelle.....                                     | 24 |
| Figure 3.5: Matrices des champs électriques et magnétiques .....                         | 46 |
| Figure 3.6: modèle thoracique .....  | 50 |
| Figure 3.7: Électrode bipolaire standard .....   | 52 |
| Figure 4.1: Modélisation mathématique du diaphragme .....                                | 63 |
| Figure 4.2: Orientation vectorielle des dipôles du diaphragme .....                      | 64 |
| Figure 4.3: polarisation normale du cœur .....   | 65 |
| Figure 4.4: polarisation tangentielle du cœur .....                                      | 65 |
| Figure 5.1: $EMG_{di}$ et ECG capté avec une électrode bipolaire.....                    | 70 |
| Figure 5.2: $EMG_{di}$ et ECG capté avec l'électrode expérimentale.....                  | 70 |
| Figure 5.3: Montage servant à mesurer la sensibilité du capteur SM5102-005A.....         | 72 |
| Figure 5.4: Tension en fonction de la pression mesurée sans recouvrement de silastic ... | 75 |
| Figure 5.5 : Tension en fonction de la pression mesuré avec recouvrement de silastic ... | 78 |
| Figure 5.6: Amplitude de l' $EMG_{di}$ en fonction de la profondeur.....                 | 83 |
| Figure 5.7: Amplitude de l'ECG en fonction de la profondeur.....                         | 83 |

|  |    |
|--|----|
| Figure 5.8: Simulations EMGdi en fonction de la profondeur ..... | 84 |
| Figure 5.9: Simulations ECG en fonction de la profondeur .....   | 84 |

## **Liste des annexes**

|  |    |
|--|----|
| Annexe A: Code source en C++ du logiciel FDTD..... | 97 |
|--|----|

## Chapitre 1

### Domaine d'application de la recherche

#### 1.1 *Introduction*

L'enregistrement de l'EMG<sub>di</sub> et de la pression trans-diaphragmatique à l'aide d'une électrode œsophagienne est susceptible de fournir des renseignements tout à fait uniques concernant l'activité des centres respiratoires bulbaires et du muscle primaire de la respiration, le diaphragme[13]. Les signaux captés sont sauvegardés afin de pouvoir être analysés ultérieurement. Plusieurs analyses du système respiratoire peuvent être effectuées avec la forme de l'EMG<sub>di</sub> ainsi qu'avec sa valeur RMS. Ces signaux permettent de diagnostiquer des paralysies ou des fatigues au niveau du diaphragme et bien d'autres problèmes reliés au système respiratoire.

##### 1.1.1 Physiologie du système respiratoire

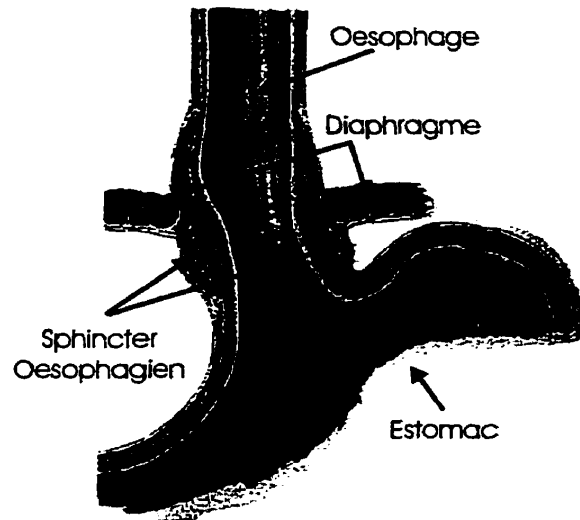
La respiration est une fonction qui est commandée par le cerveau. Le cerveau peut ordonner une respiration en envoyant une impulsion par le nerf phrénique. Le nerf phrénique possède plusieurs ramifications et fait contact à plusieurs endroits sur la surface du diaphragme. Ces multiples points de contact sont à l'origine de plusieurs potentiels d'action qui font apparition sur le diaphragme et qui ordonnent sa contraction. Lors d'une contraction du diaphragme, les nombreux potentiels d'action qui circulent dans les fibres musculaires ne sont pas en phase. Le résultat de ces multiples potentiels

d'action hors phase aux bornes de l'électrode œsophagienne est un signal de faible amplitude qui ressemble beaucoup à un bruit.

D'autre part, lors d'une respiration, une différentielle de pression est exercée entre l'estomac et l'œsophage. Le sphincter œsophagien isole hermétiquement l'estomac et l'œsophage afin d'éviter tout refoulement gastrique lors de la digestion. L'activité électrique du diaphragme se propage jusque sur le sphincter œsophagien puisque ce dernier si situe tout près du diaphragme. Le diaphragme est un muscle plat ayant la forme d'un paraboloïde renversé. Le diaphragme est trouvé à l'endroit où passe l'œsophage. Ainsi, la pression trans-diaphragmatique et l' $EMG_{di}$  peuvent être captés dans la région du sphincter œsophagien, dans l'œsophage.

Une autre source de potentiels d'action dans le corps humain est le cœur. Contrairement au diaphragme, le cœur est stimulé à partir du nœud sinusal, qui est situé dans le cœur. C'est le nœud sinusal qui amorce la contraction du cœur. Les potentiels d'action qui sont générés longent simultanément les fibres musculaires du cœur. Le cœur est situé au-dessus du diaphragme et en est séparé par le péricarde. Le péricarde isole le cœur et le diaphragme. Le corps humain est un milieu purement résistif. Lors des battements cardiaques, l'ECG peut être lu par des électrodes situées sur tout le corps.

On peut voir sur la Figure 1.1 la physiologie de l'estomac. Le diaphragme est le mince muscle transversal qui est situé au dessus de l'estomac. Le sphincter œsophagien entoure l'œsophage juste au dessus de l'estomac.



**Figure 1.1: Estomac, diaphragme et sphincter œsophagien [32]**

## 1.2 *Instrumentation utilisée en clinique*

Il existe plusieurs types de capteurs de pression qu'on peut utiliser afin de mesurer la pression trans-diaphragmatique. Ces capteurs, détaillés à la prochaine section, sont basés, entre autre, sur l'utilisation de ballons en latex couplés à des transducteurs de pression externes. Un couplage à l'air relie les ballons aux transducteurs de pression. Une autre méthode semblable consiste à effectuer un couplage au liquide sans ballon en latex. Des capteurs de pression plus sophistiqués basés sur des circuits microélectroniques intégrés sur silicium sont petits, peu coûteux et ils offrent des caractéristiques intéressantes par

rapport aux capteurs conventionnels. Enfin, les capteurs de pression à fibre optique sont les derniers-nés de la famille des capteurs de pression. La mesure de l'EMG<sub>di</sub> est effectuée avec une électrode œsophagienne bipolaire. Il existe une variante de cette électrode qui possède dix contacts.

### 1.2.1 Les ballons en latex couplés à l'air

Cette méthode de lecture de pression trans-diaphragmatique est la plus commune et consiste à placer deux ballons en latex sur un cathéter et de les insérer de part et d'autre du sphincter œsophagien via les voies nasales. Les ballons en latex sont reliés à des transducteurs piézo-résistifs [12] externes par des petits tubes longeant le cathéter. Le principal désavantage dont souffre cette méthode est sa très faible réponse en fréquence due au couplage à l'air.

### 1.2.2 Le couplage à l'eau

Cette méthode a été tentée afin de pallier le problème de réponse en fréquence du couplage à l'air des ballons en latex. Le cathéter servant à faire la mesure a l'avantage d'être réutilisable. Dans ce cathéter, deux ouvertures qui le longent sont remplies d'eau. Les deux tubes qui longent le cathéter sont terminés par deux orifices qui permettent de communiquer la pression exercée de part et d'autre du sphincter œsophagien aux transducteurs de pression. On procède au calibrage de la même façon qu'avec les ballons en latex. On obtient une réponse en fréquence beaucoup plus élevée avec un couplage au liquide par rapport à un couplage à l'air. Cependant, un problème majeur de cette méthode est que les deux transducteurs doivent être exactement à la même hauteur que

les orifices, sinon, une erreur considérable s'ajoute aux mesures. Ce système est très sensible aux mouvements du patient puisqu'une légère variation de la hauteur des orifices du cathéter entraîneraient des erreurs de lecture significatives.

### 1.2.3 Les capteurs de pression à fibre optique

Ces capteurs de pression proposés récemment ont plusieurs avantages. Ils sont parfaitement insensibles aux champs électromagnétiques, offrent une précision inégalée, ont l'avantage de rester calibrés pendant plus de 24 heures et ils ont une réponse en fréquence de plus de 15KHz [9]. De plus, plusieurs capteurs peuvent être logés sur un seul cathéter et leur fabrication est relativement simple et peu coûteuse. Leur principe de fonctionnement peut être résumé de la façon suivante : une membrane sensible à la pression module la lumière incidente, une fraction de cette lumière incidente sera réfléchie dans la fibre optique de retour. La quantité de lumière réfléchie est reliée à la pression de façon non linéaire. Un système d'amplification et de calcul doit être en place afin de calculer la pression exercée en fonction de l'intensité du faisceau réfléchi. L'instrumentation servant à émettre le faisceau de lumière incident et le système d'amplification sont complexes et dispendieux.

### 1.2.4 Les transducteurs piézo-résistifs

Ces capteurs de pression relativement précis sont construits à partir de procédés de micro-machinage. Le principe derrière ces capteurs miniatures est le pont de résistances *wheatstone*. Ces résistances imprimées sur une membrane flexible sont construites à partir de semi-conducteur sensible à la tension (*strain gauge*). La valeur de la résistance

varie en fonction de l'étirement de la membrane. L'avantage qu'offre le pont de résistance est une sortie linéaire et une stabilité quant aux variations de pression et de température. Lorsque la membrane s'étire sous une augmentation de pression, deux résistances opposées augmentent alors que les deux autres résistances opposées diminuent. La réponse en fréquence est beaucoup plus grande que les transducteurs couplés à l'air (ballons en latex). La taille de ces capteurs est très faible également, ce qui nous permet d'en loger plusieurs sur un même cathéter. Le principal désavantage de ces capteurs de pression est leur fragilité : on doit faire des contacts miniatures sur les plots du capteur et ces contacts sont excessivement fragiles.

Les sections précédentes ont décrit les différents types de capteurs de pression pouvant être utilisés pour mesurer la pression trans-diaphragmatique. Les prochaines sections s'attarderont à décrire les différents types d'électrodes qui peuvent être utilisées pour capter le signal  $EMG_{di}$ .

### 1.2.5 Électrode œsophagienne

L'électrode œsophagienne est composée de deux anneaux métalliques séparés d'environ 10mm qui sont logés sur un cathéter. Un fil électrique est relié à chacun des anneaux et branché dans un amplificateur de lecture à l'extérieur. Les anneaux sont faits d'acier inoxydable et le cathéter est réutilisable. Cette électrode peut être logée près des parois du sphincter œsophagien lors de lectures de l' $EMG_{di}$ . Aussi, il existe une électrode œsophagienne à dix électrodes indépendantes. Elle permet d'échantillonner les potentiels

sur une plus grande distance le long du sphincter œsophagien. Ainsi, on peut choisir le canal qui semble le plus près du sphincter œsophagien en choisissant la paire d'électrode qui capte mieux l' $EMG_{di}$ .

### **1.3 Sources d'erreur lors de la lecture des signaux $EMG_{di}$ et $P_{di}$**

Lors de la respiration normale, plusieurs phénomènes sont observés. Tout au long de l'inspiration, on voit apparaître l' $EMG_{di}$  aux bornes de certaines des électrodes intégrées dans le cathéter. On constate également une augmentation graduelle de la pression trans-diaphragmatique. La clarté des signaux et l'absence de toute source de contamination sont très importants. Or chacun des mouvements corporels induisent des erreurs dans les signaux car chaque muscle du corps en contraction génère des courants. Il est très difficile de capter des signaux de façon très claire et précise avec une bonne précision dans un milieu où le bruit est important.

#### **1.3.1 Problèmes reliés à l'analyse de la pression trans-diaphragmatique**

La précision limitée des transducteurs est souvent une cause d'erreur lors des mesures. Les capteurs utilisés sont sensibles à la température. La température à l'intérieur du corps est assez stable mais la température du capteur qu'on vient d'insérer ne se stabilise pas très rapidement. Il faut parfois attendre quelques minutes avant de calibrer le capteur de pression.

Il existe également un phénomène d'hystérésis qui peut nuire à la précision des résultats.

Le phénomène d'hystérésis attribué aux capteurs de pression est principalement causé par

une non-linéarité mécanique de la membrane. Certains capteurs de pression peuvent perdre beaucoup de précision lorsque la fréquence des signaux atteint la limite du capteur de pression.

Il devient important de s'assurer que les sources de contamination décrites ci-haut ne soient pas présentes lors de la mesure des signaux. Idéalement, il serait préférable de mesurer la pression avec des capteurs de pression qui seraient passifs à ces perturbations.

### 1.3.2 Problème relié à la mesure de l'EMG<sub>di</sub>

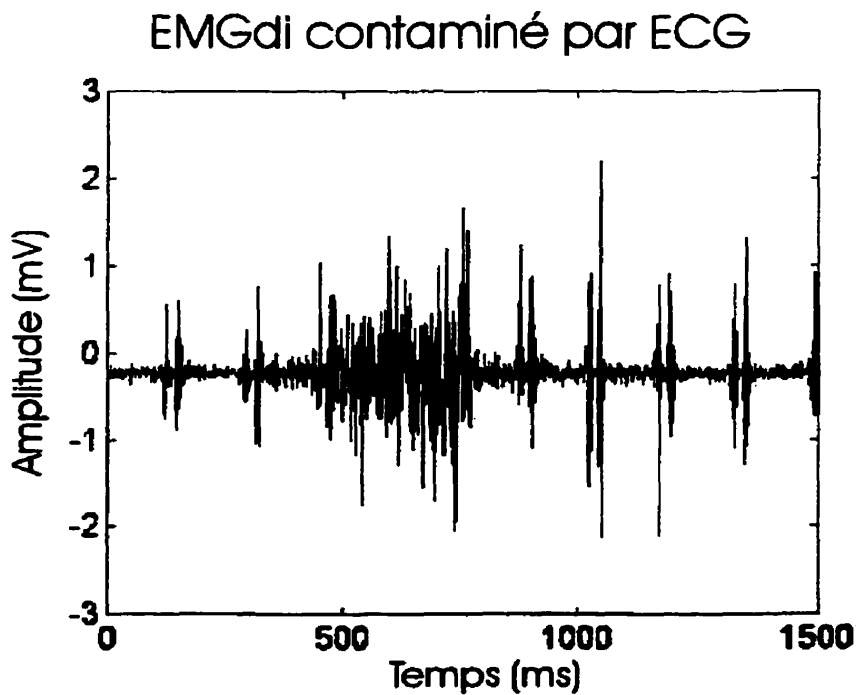
Le principal obstacle lors de la lecture de l'EMG<sub>di</sub> est la présence de l'ECG lors d'un battement cardiaque. Le signal contaminant induit une erreur dans la valeur RMS de l'EMG<sub>di</sub>, nuisant ainsi à l'analyse du système respiratoire. Des observations en clinique ont permis d'observer qu'il est possible d'éliminer presque entièrement le signal ECG en positionnant judicieusement l'électrode œsophagienne. Cependant, il est difficile de reproduire les conditions d'une telle mesure à cause du mouvement de haut en bas du diaphragme pendant la respiration. Il existe des méthodes de filtrage qui réussissent néanmoins à réduire l'ECG présent dans l'EMG<sub>di</sub>. Toutefois, puisqu'une grande partie des spectres fréquentiels des signaux EMG<sub>di</sub> et ECG se recoupent, les algorithmes de filtrage suppriment une partie du signal utile.

Des études ont démontré que le ratio de puissance EMG<sub>di</sub> / ECG de l'ordre de 5dB introduit des erreurs significatives dans le signal EMG<sub>di</sub>. Selon le même article, un ratio

$\text{EMG}_{\text{di}}$  / ECG de 13 dB est suffisamment élevé pour que l'erreur introduite par l'ECG soit négligeable [20].

Une autre source de signaux électriques dans le corps est le mouvement. À chaque fois qu'un muscle exerce un travail, on peut mesurer son activité électrique dans le corps. Il est donc important que le patient soit le moins actif possible au moment des lectures.

On peut voir à la Figure 1.2 à quoi ressemble un signal  $\text{EMG}_{\text{di}}$  contaminé par un artefact cardiaque, l'ECG. Le signal présenté sur cette figure a été mesuré en clinique avec une électrode oesophagienne standard. On peut observer l' $\text{EMG}_{\text{di}}$  qui s'étale de 500ms à 750ms. Tous les autres pics sont des artefacts cardiaques.



**Figure 1.2:  $\text{EMG}_{\text{di}}$  contaminé par l'ECG**

#### 1.4 **Solutions envisagées**

Les ballons en latex couplés à l'air comportent plusieurs inconvénients qui réduisent la qualité des enregistrements. Au cours de cette recherche, nous envisagerons la possibilité d'effectuer la lecture de la pression trans-diaphragmatique à l'aide de capteurs plus perfectionnés. Une étude approfondie des capteurs de pression fibre optique et piézo-résistifs sera effectuée afin d'en faire ressortir lequel sera le mieux adapté à nos besoins.

Pour la mesure de l' $EMG_{di}$ , une étude sur la propagation des potentiels d'action cardiaque et diaphragmatique sera effectuée. Bien qu'il existe des méthodes de filtrage des signaux, aucune méthode à notre connaissance n'a été proposée pour filtrer les signaux à la source. Cette recherche sera principalement axée sur la structure physique des électrodes pour en analyser leur sensibilité aux signaux ECG et  $EMG_{di}$ . Il sera important d'étudier les effets des variations des paramètres de l'électrode œsophagienne quant à la sélectivité de l' $EMG_{di}$  et la capacité à filtrer l'ECG. D'autres types d'électrodes seront considérés telles l'électrode bipolaire verticale et l'électrode quadripolaire dans le chapitre 2.

Un différent type d'électrode œsophagienne a été proposée dans le but d'atténuer l'ECG sans avoir recours à un système de traitement de signal. La propriété intellectuelle quant à la structure et la forme de l'électrode appartient exclusivement au chercheur qui l'a proposée. C'est pour cette raison qu'aucune information sur cette électrode (diagrammes, description, etc) ne sera divulguée dans ce mémoire. Certaines expériences ont été effectuées avec cette électrode et les résultats de ces expériences sont présentés dans ce

mémoire. L'absence de toute information plus spécifiques ne nuit aucunement à la compréhension des méthodes qui ont été utilisées dans cette recherche pour simuler le thorax.

Le terme « prototype » qui est utilisé dans ce mémoire fera ainsi référence à cette électrode, par opposition au terme électrode « standard » qui désigne l'électrode bipolaire commerciale.

Une partie importante de ce mémoire sera l'étude d'une nouvelle méthode d'analyse d'électrodes œsophagiennes. Un cadre théorique servant à analyser les différents paramètres d'électrodes sera développé. Un prototype d'électrode sera réalisé afin de pouvoir valider la méthode d'analyse. De plus, un modèle tridimensionnel du thorax sera réalisé avec un simulateur de différences finies (FDTD). Ce simulateur permettra de mieux contrôler les paramètres expérimentaux et d'effectuer des comparaisons des différents types d'électrodes mentionnés.

Une recherche antérieure a été effectuée dans le but de convertir un simulateur FDTD du langage FORTRAN au C++. Les fonctions principales du moteur de calcul ainsi que les conditions de frontières absorbantes y ont déjà été programmées. Cependant, quelques erreurs de programmation doivent être corrigées afin de rendre ce code fonctionnel. De plus, il faudra rajouter des fonctions d'entrées des paramètres, des fonctions de génération du thorax et des organes internes ainsi que des fonctions d'exportation des résultats sous forme graphique.

La validation du logiciel ainsi que du modèle sera discutée plus en profondeur. Le simulateur sera principalement validé en comparant des mesures cliniques aux résultats expérimentaux simulés. La simulation s'effectuera avec un modèle qui ressemblera le plus fidèlement aux conditions expérimentales. Les ratios entre les signaux ainsi que leurs amplitudes serviront à juger si le simulateur donne des résultats semblables à ceux observés en clinique.

Quant au logiciel et au moteur de calcul FDTD, une simulation sera effectuée sur un modèle dont on connaît le résultat théorique. Des mesures seront prises à quelques endroits du modèle et seront comparées aux valeurs théoriques.

## Chapitre 2

### 2. Méthodes et instruments utilisés pour mesurer l'EMG<sub>di</sub> et P<sub>di</sub>.

#### 2.1 Mesure de la pression trans-diaphragmatique

Tel que décrit précédemment, il y a une différence de pression qui est exercée de part et d'autre du sphincter oesophagien lors de la respiration. Cette différence de pression doit être mesurée avec une imprécision minimale. Voici les principales spécifications auxquelles devront répondre les capteurs de pression :

- Lecture de la pression devra être linéaire dans la plage allant de 0 cm H<sub>2</sub>O à 350 cm H<sub>2</sub>O (0 à 260 mm Hg) ;
- Température d'opération :  $37^{\circ}\text{C} \pm 3^{\circ}\text{C}$ .
- Précision : 0.1 cm H<sub>2</sub>O ( $\approx 0.07$  mm Hg).
- Dimensions : doit entrer dans un cathéter dont le diamètre maximal est 5mm.

De plus, le capteur de pression devra résister à l'acide de l'estomac et doit être stérilisable.

##### 2.1.1 Mesure de la pression avec des ballons en latex

La taille standard des ballons en latex est de 10cm de longueur et de 1.7cm de diamètre[13]. Les deux ballons doivent être hermétiquement reliés à des transducteurs externes par des tubes qui longent le cathéter. Une valve doit être insérée le long des tubes de couplage afin de pouvoir calibrer la pression initiale dans les tubes en latex. On

s'attend à ce que ces ballons permettent la mesure de pression à une fréquence égale ou inférieure à 2Hz.

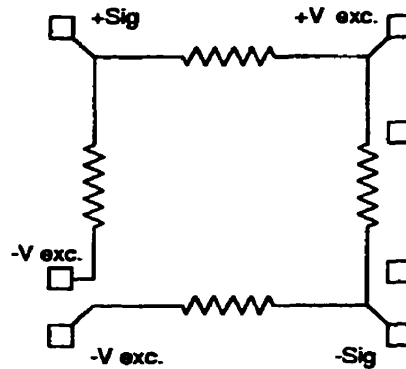
Ces types de cathéters sont très populaires à cause de leur facilité d'usage et faible coût d'achat. Ils sont très simples à calibrer et donnent en général d'assez bons résultats. Cependant, ils ne sont pas appropriés pour effectuer des lectures qui s'étendent sur plusieurs heures. Des légères fuites font en sorte qu'ils doivent constamment être recalibrés. Lorsque la pression à mesurer a une fréquence supérieure à 2Hz, un effet d'hystérésis apparaît et induit des erreurs de lecture. Cet effet d'hystérésis est attribué à l'élasticité de la paroi du cathéter et des ballons en latex.

Afin d'augmenter la réponse en fréquence le couplage à l'air a été remplacé par un couplage à l'eau. Les ballons en latex ont été enlevés pour laisser place à deux ouvertures dans un nouveau cathéter. Chacune des ouvertures est reliée par des tubes indépendants à un transducteur de pression externe. Ces tubes sont remplis d'eau. Ainsi, la pression dans le milieu exerce une force sur la colonne d'eau qui transmet cette pression à la membrane du transducteur de pression. La réponse en fréquence de ce nouveau cathéter est certainement beaucoup plus grande que celui basé sur des ballons en latex. Cependant, on doit recalibrer régulièrement le système à cause des fuites d'eau. De plus, cette méthode est instable. Il est difficile de garder une bonne référence de mesure puisque la colonne d'eau a une masse beaucoup plus grande que l'air. Des erreurs considérables sont

déetectées lorsque le sujet bouge. Cette méthode donnerait de bons résultats si on pouvait contrôler parfaitement la hauteur des ouvertures où est exercée la pression.

### 2.1.2 Fonctionnement des transducteurs de pression

La majorité des transducteurs de pression fonctionnent sous le principe du *Wheatstone Bridge*. On présente le circuit équivalent du *Wheatstone Bridge* à la figure 2.1:



**Figure 2.1: Pont Wheatstone**

Il existe des semiconducteurs dont la résistivité change en fonction de l'étirement (*strain gauge*). On utilise ces semiconducteurs pour fabriquer le *Wheatstone Bridge*. Les résistances sont placées sur une membrane qui se déforme lorsqu'une pression est exercée. Les conductances de deux résistances augmenteront alors qu'elles diminueront pour les deux autres résistances. Donc, le pont sera déstabilisé d'un côté ou de l'autre en fonction de l'étirement de la membrane. La structure en pont est avantageuse puisque la sortie est. On peut facilement fabriquer des résistances identiques par micromachinage. De plus, le pont de Wheatstone demeure très linéaire à différentes températures même si

le comportement de chaque résistance varie avec la température. Le pont de Wheatstone doit être alimenté aux bornes  $+V_{exc}$  et  $-V_{exc}$ . La lecture de la pression s'effectue aux bornes  $+Sig$  et  $-Sig$ .

Il existe deux types de capteurs de pression : absolue et relative. Un capteur de pression absolue donne la mesure de la pression par rapport au vide. Un capteur de pression relative donne la différence de pression entre deux milieux. Pour un capteur de pression absolue, un côté de la membrane doit être dans le vide. Ceci nécessite donc la fabrication d'une chambre à vide bien isolée lors de la fabrication du capteur de pression. D'autre part, lors de la mesure relative de pression, on mesure en général la pression interne en fonction de la pression atmosphérique. Ceci nécessite donc le passage de deux tubes par capteur de pression : le premier relie un côté de la membrane au transducteur de pression alors que le second tube relie l'autre côté de la membrane à l'extérieur.

La sensibilité varie d'un capteur à l'autre. La compagnie Silicon Microstructures fabrique un type de capteur (SM-5102-005A) dont la sensibilité est de  $50\mu\text{V/mmHg}$  pour une stimulation aux bornes  $+Sig$  et  $-Sig$  de  $+5\text{Volts}$  et de  $-5\text{Volts}$  respectivement. La région d'opération linéaire de ce capteur est située entre  $1\text{mmHg}$  et  $100\text{mmHg}$ .

### 2.1.3 Les technologies de fabrication et le micro-machinage

Dans l'industrie microélectronique, le coût de fabrication de circuits dédiés est très élevé et les délais de fabrications sont très longs. Toutefois, la Société canadienne de

microélectronique (SCM) offre des services de fabrication de circuits dédiés aux institutions universitaires canadiennes à des coûts beaucoup moins élevés. De plus, les délais de fabrication sont moins longs qu'avec les autres compagnies.

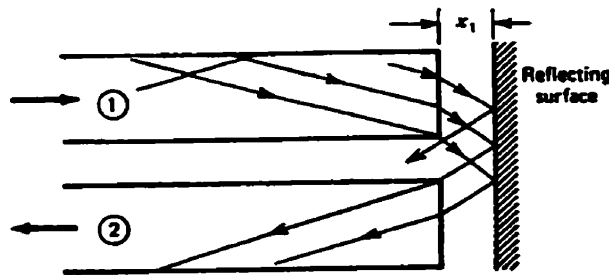
Le micro-machinage permet la réalisation de très petits capteurs de pression en utilisant des procédés de photolithographie. Ce procédé permet de faire des capteurs dont les dimensions sont de l'ordre de quelques millimètres carrés. Toutefois, le coût et le temps associés à la conception d'un capteur de pression sont énormes. Le design et la fabrication de capteurs de pression peut faire l'objet de quelques mois de recherche. Plusieurs compagnies et laboratoires de recherche en Amérique du Nord commercialisent de tels capteurs de pression à faible coût. Entre autres, les compagnies Silicon Microstructures, Lucas Nova Sensors, et Task Microelectronics de Montréal qui s'intéresse récemment à la fabrication de tels capteurs. Finalement, des chercheurs de Simon Fraser University ont également proposé un capteur de pression dédié à leurs applications. On retrouve sur le marché une gamme importante de capteurs de pression qui peuvent convenir à presque toutes les applications. La fabrication par micro-machinage est un long processus. Il est beaucoup plus avantageux d'acheter ces capteurs de pression plutôt que de tenter d'en fabriquer soi-même.

#### 2.1.4 Les capteurs de pression fibre optique

Il existe différents types de capteurs de pression à base de fibre optique. Un de ces types consiste à mesurer la différence de phase d'un faisceau lumineux qui a été réfléchi par

une substance sensible à la pression. Ce type de capteur donne une très grande précision et un très grand rapport signal sur bruit puisque le bruit est pratiquement inexistant. Ce type de capteur de pression est assez complexe à réaliser et son système de modulation-démodulation de la lumière est complexe.

Le second type de capteur de pression à fibre optique consiste à mesurer le pourcentage de la lumière réfléchie par rapport au faisceau incident. La membrane réfléchissante fait varier la quantité de lumière qui est réfléchie lorsque cette dernière se déplace sous l'effet de la pression. Un schéma de principe de ce capteur de pression est illustré à la figure 2.2.



**Figure 2.2: Schéma d'un capteur de pression fibre optique**

La lumière incidente pénètre la fibre 1 et est dirigée jusqu'à l'ouverture qui sépare les bouts des fibres et la surface réfléchissante. Une quantité de lumière est réfléchie dans la fibre 2. La proportion de lumière qui est réfléchie dans la fibre 2 est fonction de la distance  $x_1$ .

Ce type de capteur de pression souffre principalement des pertes de lumière dues au rayon de courbure aigu. Ces pertes de lumières entraînent inévitablement des légères erreurs lors de la lecture de la pression.

Les capteurs de pression en fibre optique sont plus petits que tous les autres types de capteurs existants (micro-électroniques, ballons en latex). Ces cathéters sont faciles à implanter à cause de leur très faible diamètre. Ils sont également très sécuritaires puisqu'il n'y a aucun liquide pouvant contaminer le patient dans le cathéter. Ils ont l'avantage de ne pas se décalibrer, même lorsqu'on les utilise pendant plusieurs heures. Comme les capteurs micro-électroniques, le transducteur de pression en fibre optique peut être placé directement à l'endroit où l'on veut lire la pression. Comme le cathéter n'est couplé ni par l'air ni par un liquide, il est moins susceptible de fuites et de décalibration. Un autre grand avantage de ces capteurs de pression est qu'ils sont électriquement, chimiquement et magnétiquement passifs.

Afin de communiquer avec le monde extérieur, le capteur de pression transfère ses signaux à un circuit spécialisé. Ce circuit envoie une excitation (faisceau de lumière) et compare la fraction de lumière qui est réfléchie par rapport au faisceau émis. Sachant la fraction de lumière retournée, on peut évaluer la pression au bout du cathéter en se basant sur des courbes de ratio de réflexion en fonction de la distance de la membrane par rapport à l'ouverture de la fibre optique. Toutefois, le circuit en question peut être assez dispendieux par rapport au coût du capteur de pression

La précision d'un capteur de pression en fibre optique est de près de 0.03mmHg. Cette précision est plus que suffisante pour nos besoins. Les dimensions des micro-capteurs de pression sont environ 1mm de diamètre par 2.5mm de longueur. Les meilleurs capteurs de pression peuvent perdre au plus 0.1mmHg de précision par 24 heures. Toutefois, comme nos essais ne dureront que quelques minutes, ces légères variations n'auront pas d'effets significatifs. Il n'est pas dispendieux de fabriquer un capteur de pression fibre optique en laboratoire. C'est plutôt le système de modulation-démodulation qui exige de coûts élevés.

### 2.1.5 Capteurs de pression microélectroniques

Exar est une compagnie californienne qui produit des micro-capteurs de pression par micro-machinage[22]. Cette compagnie propose plusieurs modèles de micro-capteurs pour différents types d'applications. Le modèle SM-5102-005A, dont les spécifications sont présentées en annexe, peut être utilisé pour des applications biomédicales. Ses dimensions sont très adéquates pour notre application. Le coût, de l'ordre de quelques dollars par capteur de pression est très avantageux. Des fils doivent être soudés afin de relier les plots de contacts du capteur de pression à une plaquette. L'École Polytechnique possède les ressources nécessaires afin de faire de telles micro-soudures. Cinq soudures doivent être faites sur chaque capteur.

Une caractéristique principale différencie ce capteur de pression aux ballons en latex : le transducteur de pression est logé directement où la pression doit être mesurée. Ainsi, on

évite un couplage au liquide ou à l'air, réduisant ainsi toute source d'erreur pouvant provenir de fuites quelconques. La pression est mesurée par rapport au vide. Ceci est avantageux puisque cela nous évite d'avoir à passer le tube de référence, réduisant ainsi le diamètre du cathéter. Chaque capteur de pression a une dimension de 2mm\*2mm\*0.9mm et possède une petite chambre à vide, qui sert de référence. Aucune calibration n'est nécessaire puisque chaque capteur est bien isolé lors de sa fabrication. La réponse en fréquence de ces capteurs est beaucoup plus grande que ce qui est nécessaire pour notre application. On doit relier quatre fils à chaque capteur de pression : deux fils d'alimentation et deux fils pour la lecture du signal. Donc, on doit passer 8 fils en tout puisqu'il y a deux capteurs de pression. On pourrait réduire ce nombre à 6 si on relie les alimentations des deux capteurs ensemble mais ceci rend le montage du cathéter plus difficile et le cathéter risque de briser plus facilement.

Des tests ont été effectués en laboratoire avec ces capteurs de pression. Les tests avaient pour but de vérifier si l'ajout d'époxy flexible<sup>1</sup>, qui recouvre la membrane, aura un effet sur la précision des lectures. Les détails de ces tests sont présentés au chapitre 5. L'expérience nous a permis de conclure que l'ajout d'une mince couche protectrice n'a aucun effet sur la précision du capteur de pression.

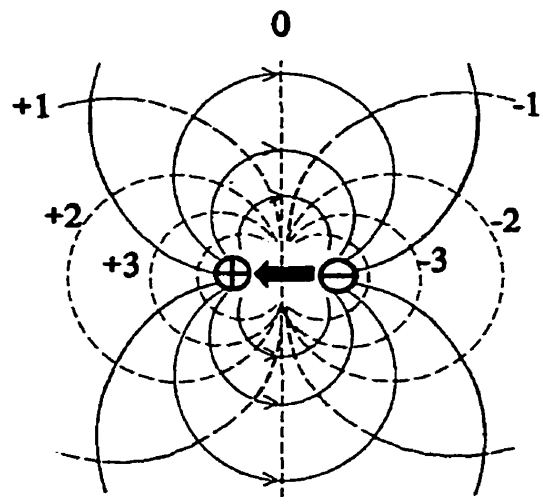
---

<sup>1</sup> L'époxy flexible sert à solidifier les micro-soudures (*wire bond*)

## 2.2 Les électrodes servant à mesurer l'EMG<sub>di</sub>

### 2.2.1 Analyse du fonctionnement d'une électrode

Le principe associé à la mesure du potentiel par une électrode est assez simple. Normalement, une électrode qui sert à mesurer une tension doit être passive, c'est-à-dire qu'elle ne doit pas perturber le milieu qu'elle mesure. Chaque borne de l'électrode repose sur une équipotentielle. Les équipotentialles sont représentées par des lignes continues sur lesquelles le potentiel est constant dans un milieu donné. La différence de potentiel captée par l'électrode est la différence entre les équipotentialles touchées par ses deux bornes (figure 2.3).



**Figure 2.3: Dipôle de courant avec les équipotentialles en pointillés et les lignes de courant en traits pleins.**

La méthode du *Lead Field* est couramment utilisée afin d'étudier le patron de sensibilité d'une électrode. Cette méthode exploite le problème inverse de l'électrode de mesure ; l'électrode devient une source de courant. En injectant un courant dans l'électrode, cette dernière génère des champs électriques et des équipotentielles dans le milieu où elle est située. L'analyse de ses courbes résultantes nous indique son patron de sensibilité.

Supposons que le dipôle montré à la figure 2.3 représente les deux bornes de notre électrode. Les lignes de courants (lignes pleines) nous indiquent les endroits où l'électrode est sensible. Lors de la mesure, les dipôles de courant qui seront tangents à ces lignes de courant auront un effet sur l'électrode, mais ceux ayant l'orientation perpendiculaire n'auront aucun effet sur l'électrode.

Mathématiquement, le potentiel total (Volts) lu par l'électrode est la somme sur tout le volume des densités de courants  $\mathbf{J}$  parallèles aux parcours  $\mathbf{L}$ ,

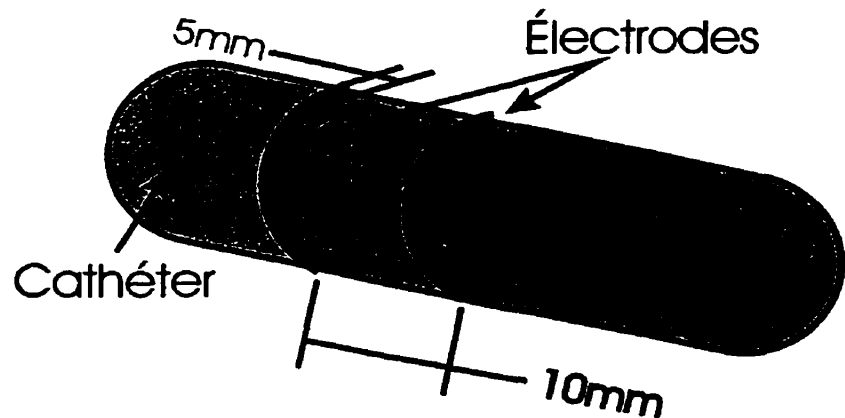
$$E = \int \bar{\mathbf{L}} \cdot \bar{\mathbf{J}}_i d\nu \text{ (Volts)} \quad (2.1)$$

L'orientation de l'électrode est donc un facteur très important. Si on veut capter un signal provenant d'un dipôle quelconque, on doit absolument positionner les électrodes sur deux équipotentielles différentes. Ceci fera en sorte que le dipôle sera tangent aux lignes de sensibilité de l'électrode et la contribution de ce dipôle sera additionnée au potentiel lu par l'électrode. Par ailleurs, si on veut filtrer la contribution

d'un dipôle, on doit placer les deux électrodes sur une même équipotentielle provenant de cette électrode. Ainsi, le dipôle sera parallèle aux lignes de sensibilité de l'électrode et la contribution de ce dipôle sera nulle.

### 2.2.2 Électrode bipolaire conventionnelle

L'électrode oesophagienne la plus simple qui est utilisée pour capter l' $EMG_{di}$  est l'électrode bipolaire conventionnelle. La figure 2.4 montre à quoi ressemble une telle électrode.



**Figure 2.4: Électrode bipolaire conventionnelle**

Deux anneaux en acier inoxydable sont montés sur un cathéter. Les deux anneaux sont séparés de 10mm et la largeur de chaque anneau est de 5mm. Le diamètre du cathéter est environ 5mm. Les amplitudes des signaux captés par une telle électrode est de l'ordre de quelques micro-volts ( $\mu V$ ). Il est donc important d'avoir un métal qui soit le plus chimiquement stable possible puisqu'on mesure des signaux ayant de très faibles niveaux de tension. Ceci permet d'éviter de contaminer le signal à cause de réactions d'oxydation qui peuvent apparaître entre le métal et le milieu acide de l'estomac et qui

peuvent produire des courants électriques. Chaque anneau en acier inoxydable est soudé à un fil de même matériau qui longe le cathéter. Un fil en cuivre aurait certainement une plus faible impédance qu'un fil en acier inoxydable. Cependant, la soudure acier-cuivre est plus difficile à effectuer.

### 2.2.3 Autre types d'électrodes

Il existe d'autres types d'électrodes œsophagiennes utilisées pour capter l'EMG<sub>di</sub>. Un type particulier d'électrode contient dix anneaux en acier. Cette électrode nécessite beaucoup d'espace dans le cathéter pour permettre le passage de dix fils avec gaine. L'utilisation d'une telle électrode peut donner de bons résultats puisqu'elle permet d'obtenir un meilleur échantillonnage des potentiels auprès du sphincter œsophagien. Un outil logiciel sélectionne le ou les électrodes qui donnent le meilleur signal d'EMG<sub>di</sub> recherché et filtre l'ECG.

Un autre type d'électrode est la quadripolaire. Cette électrode consiste à prendre quatre mesures autour d'un cercle sur le cathéter [24]. Par la suite, on peut appliquer un simple calcul à partir des quatre signaux afin de déterminer la direction dont on veut mesurer le potentiel. Ensuite, on peut changer le patron de sensibilité de l'électrode tout simplement en appliquant un algorithme aux quatre signaux captés. Évidemment, le patron de sensibilité ne peut être orienté que dans un seul plan, celui dans lequel sont placées les électrodes. On pourrait augmenter le degré de flexibilité de ce type d'électrode en ajoutant quatre autres électrodes sur un autre plan. On pourrait dans ce cas

orienter le patron de sensibilité de l'électrode dans n'importe quelle direction. Toutefois, il est à noter que cette électrode requiert le passage de plus de huit fils.

Les électrodes décrites précédemment, accompagnées des outils logiciels, sont flexibles mais complexes et nécessitent des coûts de fabrication élevés. Notre application nécessite d'intégrer sur le même cathéter deux capteurs de pression en plus de l'électrode. Dans ce cas, l'électrode du cathéter doit avoir le moins possible de contacts et de fils à passer. Tel que mentionné dans l'introduction, nous souhaitons avoir une électrode qui puisse filtrer le signal à la source, sans l'intermédiaire d'algorithmes de filtrage, ce qui permettra de réaliser de mesures en temps réel. Nous proposons dans la prochaine section un nouveau type d'électrode à complexité réduite et qui est destiné à filtrer l'ECG.

#### 2.2.4 Effet d'un bon contact électrode-sphincter

Lors de mesures cliniques, on a constaté que la position de l'électrode oesophagienne auprès du sphincter a un effet sur la qualité de l'EMG<sub>di</sub>. En fait, lorsqu'on positionne judicieusement l'électrode sur le sphincter, on remarque l'absence d'ECG dans le signal EMG<sub>di</sub>. Cette constatation a suscité chez nous l'étude et la fabrication d'une nouvelle électrode qui ferait contact à plusieurs endroits sur le sphincter oesophagien. Nous tentons d'analyser les caractéristiques de différentes électrodes et leurs effets sur la sensibilité à l'EMG<sub>di</sub> et sa capacité de filtrer l'ECG. Une première étape pour l'analyse d'électrodes consiste à fabriquer plusieurs prototypes d'électrodes et de vérifier expérimentalement leur efficacité.

### **2.3 Fabrication d'une électrode oesophagienne prototype**

Plusieurs méthodes ont été analysées pour fabriquer une électrode résistante et avec des matériaux biocompatibles. Deux problèmes doivent être réglés : le premier consiste à trouver un moyen de souder l'électrode en acier inoxydable à des fils en cuivre ou en acier; le deuxième consiste à fixer l'électrode sur le cathéter.

#### **2.3.1 Choix du cathéter et de ses dimensions**

Le diamètre du cathéter sur lequel sera montée l'électrode doit être le plus petit possible. Il doit être au moins 2mm puisque les capteurs de pression ont une largeur de 2mm. Cependant, il doit y avoir suffisamment d'espace à l'intérieur du dit cathéter pour y passer de 8 à 10 fils de calibre AWG26 avec gaine à l'intérieur. Le cathéter Lévine se trouve dans différents diamètres et longueurs. Un cathéter de dimension 12French sera suffisant pour fabriquer le montage d'une électrode d'essai. L'unité F (French) est utilisée pour mesurer le diamètre d'un cathéter ( $1F = 0.3mm$ ).

#### **2.3.2 Colle servant à lier l'électrode au cathéter**

Une colle biocompatible doit être utilisée afin de fixer l'électrode au cathéter. Elle doit adhérer à des métaux ainsi qu'au cathéter et doit sécher rapidement pour faciliter la fabrication de l'électrode. Il faut également prévoir assez d'élasticité dans la colle. Ceci est du au fait que le cathéter se plie lorsqu'on l'insère par les voies nasales. Deux compagnies Nusil [25] et TRA-CON [26] ont été localisées et des échantillons de cathéters à base de Silastic ont été obtenus. Ces échantillons ont été essayés lors du

montage de l'électrode. Les principales qualités que devaient avoir les composés étaient l'élasticité, la durée de séchage et la solidité. Chez TRA-CON, les composés commandés sont : BOND-FDA-6, FDA-8 et TRA-CAST-3103. Ces composés ont séché assez rapidement et ont bien retenu l'électrode au cathéter. Cependant, ces composés sont beaucoup trop rigides. Ils craquent lorsqu'on tente de plier le cathéter. La compagnie Nusil produit des composés qui sont beaucoup plus flexibles. Nous avons utilisé le composé MED-6230 pour fabriquer une électrode. L'élasticité de ce silicium est excellente. Cependant, le problème majeur de ce composé est son temps de séchage. La durée minimale de séchage a été d'environ une semaine. Nous croyons que les faibles contaminations du silicium lors des manipulations auraient été responsables du long temps de séchage du silastic.

### 2.3.3 Matériau utilisé pour la fabrication de l'électrode

Deux choix s'offraient à nous quant au matériau utilisé pour fabriquer l'électrode : des feuillets métalliques ou des fils en acier. Nous avons choisi en premier lieu de fabriquer l'électrode avec les feuillets en acier à cause de leur faible épaisseur. La compagnie ESPI fabrique des feuillets métalliques très variés pour toutes sortes d'applications. Nous avons commandé des feuillets en acier inoxydable. Ces feuillets ont une épaisseur de 0.1mm. Les dimensions des feuillets sont de 10mm par 100mm de longueur. Des lisières de 5mm ont été tranchées sur une longueur de 100mm. De plus, le côté tranchant des feuillets métalliques représente un problème majeur qui doit être solutionné avant d'insérer une

telle électrode dans un patient. Ces feuillets n'ont pas été retenus pour la fabrication de l'électrode à cause des difficultés qu'elles apportent lors de leur montage sur le cathéter.

La seconde option consiste à enrouler deux fils multi-brins en acier non recouvert de gaine sur le cathéter. De tels fils sont disponibles chez Cooner Wire [27]. L'avantage d'utiliser de tels fils est qu'on n'a plus besoin de faire de soudures. Les fils qui forment l'électrode sont les mêmes qui longent le cathéter et qui se rendent à l'amplificateur externe. Ces fils sont beaucoup plus faciles à manipuler que les feuillets métalliques. Cependant, ils sont plus petits et il faut s'assurer qu'il n'y a pas de petits bouts de fils qui dépassent lors du montage. Ces petits fils pourraient irriter la voie nasale d'un patient lors de l'insertion du cathéter. Deux électrodes expérimentales à grande surface de contact ont été réalisées avec ces fils. Le montage a été relativement long et le séchage a duré près d'une semaine. Une électrode a été utilisée pour prendre quelques mesures cliniques. Les résultats seront présentés au cours du chapitre 5.

Il existe également des fils en acier mono-brins semi circulaires. Ces fils sont fabriqués par la compagnie Microdyne [28]. Le rebord du fil est poli et il n'y a pas de côté tranchant. Ce genre de fil est intéressant pour notre application. Des échantillons ont été commandés et essayés sur le cathéter. Le problème rencontré est que ces fils ne gardent pas leur forme après leur manipulation et de mise en forme particulière. On doit également souder un fil d'acier à ces électrodes. Après avoir effectué plusieurs tentatives

de soudure acier sur acier, nous savons que ces soudures ne sont pas faciles à faire et ne sont pas tellement résistantes.

#### 2.3.4 Montage de l'électrode sur le cathéter

Un montage électromécanique a été réalisé afin de faciliter l'assemblage de l'électrode. Le cathéter est relié à un système de roulement à billes à une extrémité et est relié à un moteur électrique de l'autre. Le cathéter est à l'horizontale est une légère tension est appliquée à chaque bout afin qu'il reste le plus droit possible. Le cathéter tourne constamment et la vitesse de rotation peut être ajustée. Une couche de silastic est appliquée sur le cathéter partout où l'électrode devra être placée. Ensuite, les deux fils sont enroulés simultanément et collées sur le cathéter. Lorsque les fils atteignent le bout de l'emplacement où se termine l'électrode, deux élastiques sont placés afin d'immobiliser les fils sur le cathéter pour le temps du séchage. Une lampe de 100Watts est placée par dessus la région où le silastic a été déposé. Il est important d'assurer une rotation du cathéter afin d'éviter que le silastic ne tombe sur la table.

Nous avons constaté qu'il a été très difficile de monter les feuillets métalliques solidement sur le cathéter en gardant la même distance entre les deux lisières. Malgré toute l'attention portée sur la propreté du montage, il a été impossible de bien monter cette électrode sans toucher au silastic avec les doigts ou les instruments.

## 2.4 Les méthodes de filtrage passif et numérique

Le présent mémoire ne porte pas sur des méthodes de filtrage. Tel que mentionné dans l'introduction, notre but principal est développer une méthode qui permet d'analyser les caractéristiques d'une électrode quant à sa capacité d'atténuer l'ECG. La raison de ce choix est qu'il sera plus facile de commercialiser un cathéter pouvant s'adapter à tous les systèmes d'enregistrement que l'on retrouve actuellement dans les hôpitaux plutôt que de commercialiser un système plus coûteux qui exige des circuits électroniques dédiés et des microprocesseurs pour réaliser un filtrage plus ou moins complexe (filtrage adaptatif, régression linéaire multiple, etc). Toutefois, à titre de référence, voici des méthodes utilisées pour filtrer les signaux.

### 2.4.1 Filtrage passe-haut passif

Il n'est pas possible de filtrer simplement l'ECG du signal contaminé. Les composantes fréquentielles cardiaques contiennent de l'énergie entre 0.05 Hz et 100 Hz.

L'EMG<sub>di</sub> est un signal qui ressemble beaucoup à un bruit. Ansi, on retrouve un contenu fréquentiel qui recouvre une bande de fréquence qui s'étend de 1Hz à 100Hz également. Il y a donc un recouvrement entre les spectres de l'EMG<sub>di</sub> et l'ECG. Il est possible de filtrer l'EMG<sub>di</sub> à l'aide d'un filtre passe-haut. Une fréquence de coupure trop élevée risque d'atténuer une portion importante du signal EMG<sub>di</sub>. Une fréquence de coupure située entre 20Hz et 30Hz donne généralement des résultats passables quant à la suppression de l'ECG tout en préservant le plus d'information sur l'EMG<sub>di</sub>.

Une fréquence de coupure de 60Hz a comme conséquence d'atténuer l'EMG<sub>di</sub> sans supprimer davantage l'ECG. D'autre part, une fréquence de coupure de 10Hz ne supprime pas suffisamment la contamination cardiaque [19].

#### 2.4.2 Filtrage adaptatif

Un filtre adaptatif est un système numérique qui adapte sa bande passante selon une fonction qui lui est déterminée. Un signal d'erreur peut être introduit dans le filtre et ce dernier modifiera sa bande passante afin de supprimer ce signal d'erreur. Le filtre adaptatif tente de trouver la présence du signal d'erreur par corrélation avec un patron d'un signal de référence. Lorsque le filtre adaptatif découvre la présence d'un tel signal, le patron de référence est soustrait du signal contaminé. Pour cette application, il s'agirait de fournir le signal contaminé (EMG<sub>di</sub> et ECG) dans l'entrée du système adaptatif. D'autre part, il faudrait également fournir le signal d'erreur (ECG) qui soit le moins corrélé à l'EMG<sub>di</sub>. La tâche du système adaptatif sera donc de supprimer l'ECG sans perturber le signal EMG<sub>di</sub>.

#### 2.4.3 Régression linéaire

Des techniques de traitement de signal basées sur l'analyse des composantes principales et/ou la régression linéaire multiple sont utilisées avec beaucoup de succès pour résoudre des problèmes très semblables, comme la récupération de l'ECG fétal qui est sévèrement contaminé par l'ECG maternel ainsi que le remplacement des dérivations ECG contaminées par l'électromyogramme durant les tests à l'effort sur tapis roulant. Dans le cas présent, on pourrait calculer par régression linéaire multiple une matrice de transfert

entre trois dérivations ECG orthogonales thoraciques et la dérivation œsophagienne durant une période de silence du diaphragme, pour ensuite soustraire le signal œsophagien estimé par cette matrice, du signal mesuré comprenant l'activité du diaphragme.

### ***2.5 Conclusion***

Nous avons vu au courant de ce chapitre les méthodes et instruments utilisés pour effectuer des lectures de pression et d'activité électrique musculaire. Nous avons également pris conscience des avantages et des inconvénients associés à ces méthodes.

Enfin, la dernière section de ce chapitre résume deux méthodes de filtrage qui permettent de réduire la présence de l'ECG dans l' $EMG_{di}$ .

Le chapitre 3 s'attaquera plus directement aux solutions proposées pour filtrer l'ECG.

## Chapitre 3

### Modélisation avec FDTD

#### 3. Introduction

Tel qu'il a été mentionné au chapitre 2, la fabrication d'une électrode est une étape laborieuse. L'étude analytique de certaines électrodes tridimensionnelles complexes peut être très difficile, voire impossible. La simulation numérique est une solution intéressante pour ce problème. Les différences finies permettent d'observer la propagation des ondes électromagnétiques de façon discrète à travers un milieu. Le simulateur FDTD (Finite Difference Time Domain) utilise une version discrétisée des équations de Maxwell et approxime les valeurs des champs électriques et magnétiques dans le temps et dans l'espace avec une précision finie. L'utilisation de cette méthode nous permettra d'étudier les caractéristiques des électrodes oesophagiennes ainsi que sa capacité à capter l'EMG<sub>di</sub> et à filtrer l'ECG.

Nous désirons simuler la propagation des courants électriques résultants de l'activité musculaire du diaphragme et du cœur dans le thorax. Nous savons que l'activité musculaire des autres muscles du thorax est assez faible pour qu'on puisse la négliger dans nos simulations. Les deux seules sources émettrices de courant seront le cœur et le diaphragme. L'orientation des dipôles émetteurs sera semblable à l'orientation des cellules musculaires des organes respectifs.

Il existe plusieurs méthodes qui permettent d'analyser les champs électromagnétiques dus à des dipôles de courant. Cependant, la complexité de la géométrie des électrodes œsophagiennes rend impossible l'utilisation de méthodes analytiques.

La méthode d'analyse par éléments finis est très intéressante puisqu'elle permet de résoudre certains problèmes à géométrie complexe qui ne pourraient être solutionnés analytiquement. Chaque cellule ou élément est caractérisé par sa forme et ses conditions de frontières, ses valeurs de champs magnétique et électrique ainsi que sa position. Les champs électromagnétiques sont calculés à partir des constantes de propagation de chacune des cellules dans le milieu. Les ondes se propagent à travers les cellules en fonction des constantes de propagation et des conditions aux frontières propres à chaque cellule. Malgré sa popularité, cette méthode est très exigeante en temps d'exécution et les ressources informatiques nécessaires sont imposantes.

Par ailleurs, la méthode des différences finies permet de simuler des problèmes à géométrie complexe sans la lourdeur de calcul de la méthode des éléments finis. La méthode des différences finies effectue les calculs à partir de la matrice des champs électriques et la matrice des champs magnétiques. Dans une troisième matrice, nommée la matrice d'espace physique, sont mémorisés les indices des matériaux. Ces indices servent à associer un matériau déjà défini à un point de l'espace. Les objets tels le thorax, le cœur et le diaphragme sont modélisés par un regroupement d'index dans la matrice

tridimensionnelle d'espace physique. Cette modélisation est une image point à point en trois dimension des matériaux qui composent le thorax.

Chaque point de la matrice est séparé par une distance égale dans l'espace selon les axes X, Y et Z. La distance qui sépare les points de la matrice détermine la précision de la simulation. Plus la distance est faible, plus les valeurs des champs seront exactes. Les composantes X, Y et Z des champs électromagnétiques sont évaluées pour chaque point de l'espace à partir des équations de Maxwell. Puisque les valeurs des champs sont approximées, une erreur s'ajoute à chaque itération. Cependant, nous pouvons réduire cette erreur en réduisant l'incrément de temps sur lequel est basée l'approximation.

### 3.1 Description de la méthode FDTD

L'utilisation des équations de Maxwell sous forme différentielle a été exploitée par Yee [14] en 1966. Ces équations sont:

$$\begin{aligned}
 \frac{\delta \vec{B}}{\delta t} + \nabla \times \vec{E} &= 0 \\
 \frac{\delta \vec{D}}{\delta t} - \nabla \times \vec{H} &= -\vec{J} \\
 \vec{B} &= \mu \vec{H} \\
 \vec{D} &= \epsilon \vec{E}
 \end{aligned} \tag{3.1 a,b,c,d}$$

Elles peuvent être transformées en équations de différences en utilisant des techniques numériques [23]. Les équations (3.1a) et (3.1b) sont utilisées dans le simulateur FDTD :

la première sert à calculer les composantes du champs électrique et la seconde pour calculer les composantes des champs magnétiques. Les composantes X, Y et Z des champs sont calculées de façon indépendante les unes des autres.

### 3.1.1 Caractéristiques électromagnétiques du thorax

Le comportement électrique d'un milieu quelconque qui est soumis à un champ électromagnétique peut être caractérisé par une constante que l'on nomme la tangente de perte et qui est égale à :

$$\frac{\sigma}{\omega\epsilon}$$

où  $\sigma$  est la conductivité électrique du milieu (siemens/m),  $\omega$  est la fréquence angulaire du champ appliqué (rad/s) et  $\epsilon$  est la permittivité du milieu (Farad/m). La tangente de perte fait le rapport entre l'intensité des courants de conduction et l'intensité des courants de déplacement (elle n'a donc pas d'unités). Si ce rapport est élevé ( $>>1$ ), ceci indique que le milieu est un bon conducteur, s'il est faible ( $<<1$ ), ceci indique que le milieu est un bon isolant. Il est important de noter que la tangente de perte varie avec la fréquence et qu'un même milieu peut être considéré à la fois comme un bon conducteur et un bon isolant selon la fréquence. Quelle est la tangente de perte pour notre problème?

Selon les tissus que l'on retrouve dans le corps humain, la conductivité électrique varie entre 0,01 S/m (les os) et 0,60 S/m (sang), et sa valeur moyenne pour le thorax est de 0,2 S/m. La conductivité demeure relativement constante en fonction de la fréquence

pour des fréquences inférieures à 10 kHz (CRC). La permittivité des tissus biologiques montre un comportement beaucoup plus complexe car elle diminue en fonction de la fréquence. La permittivité s'exprime par le produit de la permittivité relative  $\epsilon_r$  et de la permittivité du vide  $\epsilon_0$  ( $8,85 \times 10^{-12}$  F/m). De 10 Hz à 100 Hz, la permittivité relative est très élevée et varie selon le tissu entre  $1,5 \times 10^5$  (graisse) et  $10^6$  (muscle). Il en résulte que la tangente de perte est très élevée ( $>100$ ) et que l'on peut considérer le thorax comme étant un milieu purement résistif pour des fréquences inférieures à 100 Hz.

Nous pouvons maintenant étudier la propagation des ondes électromagnétiques dans le thorax. La vitesse de propagation (m/s) de l'onde dans un milieu diélectrique est :

$$v = \frac{1}{\sqrt{\mu\epsilon}} \quad (3.2)$$

Dans le vide,  $v=3 \times 10^8$  m/s. Par contre, dans un milieu conducteur, la vitesse de propagation est plus faible et varie selon la fréquence (Kraus, 1992):

$$v = \sqrt{\frac{2\omega}{\sigma\mu}} \quad (3.3)$$

où  $\mu$  est la perméabilité du milieu. Pour la majorité des tissus biologiques, la perméabilité est égale à celle du vide ( $\mu_0=4\pi \times 10^{-7}$ ). Pour une fréquence de 10 Hz et une conductivité électrique de 0,2 S/m, la vitesse est beaucoup plus faible que dans le vide, soit  $v = 2,23 \times 10^4$  m/s. La longueur d'onde est  $\lambda=(v/f)=2230$  m. Comme la longueur d'onde est beaucoup plus grande que la distance entre la source (le cœur) et n'importe quel point du thorax, on peut considérer que le champ électromagnétique est *quasi-statique*. Ceci

signifie que le potentiel électrique produit par l'activation d'une source biologique quelconque se reflète presque instantanément dans tout le thorax et, qu'à toutes fins utiles, il n'y a pas de propagation d'ondes électromagnétiques d'origine biologique à l'intérieur du thorax.

Du point de vue du calcul numérique, puisqu'il n'y a pas de propagation d'ondes, les champs électromagnétiques peuvent être calculés en solutionnant l'équation de Laplace plutôt que les équations de Maxwell, ce qui simplifie beaucoup la complexité mathématique du problème et demande moins de ressources informatiques (temps de calcul et espace mémoire). L'équation de Laplace peut alors être résolue par différentes méthodes numériques, comme les méthodes des éléments finis, des éléments frontières ou des différences finies. Ce sont des méthodes qui ont été déjà utilisées pour simuler les potentiels électrocardiographiques dans des volumes conducteurs thoraciques réalistes (Savard et al. 1985; Shahidi et al, 1994a et 1994b).

Nous avons plutôt choisi de solutionner les équations de Maxwell par la méthode des différences finies dans le domaine temporel (FDTD) même si cette méthode est plus complexe que les méthodes basées sur l'équation de Laplace. La méthode FDTD a récemment été utilisée par plusieurs chercheurs pour étudier l'absorption, dans la tête, des ondes électromagnétiques produites par des téléphones cellulaires (fréquences de l'ordre du gigahertz). Il nous a semblé intéressant de mettre au point des programmes FDTD qui pourront être utilisés par la suite pour aborder d'autres problèmes qui sont à l'étude dans notre laboratoire, comme la transmission, à haute fréquence, de signaux et d'énergie à

travers la peau pour contrôler des dispositifs implantés comme des stimulateurs et des pompes d'assistance ventriculaire.

### 3.1.2 Critère de stabilité de FDTD

Le simulateur FDTD a originalement été conçu pour calculer la propagation des ondes électromagnétiques à très haute fréquence pour des problèmes où la géométrie rendait impossible une approche analytique. Les signaux à très haute fréquence ont des périodes très courtes. L'incrément de temps  $\Delta T$  calculé en fonction de la taille des cellules (3.2) est suffisamment petit pour donner une bonne précision et à la fois suffisamment grand pour simuler quelques longueurs d'ondes avec un nombre raisonnable d'itérations. Dans notre application, nos cellules sont très petites et la période des signaux est très longue. La simulation d'une période nécessite donc un très grand nombre d'itérations. Une erreur d'interpolation est ajoutée à chaque incrément de temps. Les erreurs d'interpolation s'ajoutent et peuvent causer une instabilité ou donner des résultats erronés pour un nombre d'itérations élevé. Il faut donc choisir un incrément de temps  $\Delta T$  maximal en sorte qu'une simulation qui couvre quelques longueurs d'ondes puisse être simulée sans que l'erreur soit importante. Il est préférable d'éviter les longues simulations sachant qu'une erreur s'ajoute à chaque itération.

La précision de la simulation peut être augmentée lorsque la taille des cellules FDTD est réduite. Cependant, l'utilisation de cellules très petites implique que l'incrément de temps  $\Delta T$  soit très petit afin d'assurer la stabilité et la convergence des résultats. Pour un milieu

sans perte caractérisé par  $\epsilon$  et  $\mu$ , le critère de stabilité de FDTD est décrit par l'équation

3.4 [14] :

$$\sqrt{(\Delta x)^2 + (\Delta y)^2 + (\Delta z)^2} > c\Delta t = \sqrt{\frac{1}{\epsilon\mu}}\Delta t \quad (3.4)$$

Pour un milieu avec perte, l'équation (3.3) dans (3.4) donne :

$$\sqrt{(\Delta x)^2 + (\Delta y)^2 + (\Delta z)^2} > v\Delta t = \sqrt{\frac{2\omega}{\sigma\mu}}\Delta t \quad (3.5)$$

La variable  $c$  est la vitesse de la lumière dans le milieu caractérisé par  $\epsilon$  et  $\mu$ . Les valeurs  $\Delta x$ ,  $\Delta y$  et  $\Delta z$  sont les dimensions des côtés d'une cellule. L'équation (3.5) impose une limite maximale sur l'incrément de temps  $\Delta t$  pour une taille de cellule définie. Cette équation stipule qu'une onde électromagnétique ne puisse parcourir plus que le côté d'une cellule par itération.

### 3.1.3 Définition des matériaux avec FDTD

Les matériaux peuvent être modélisés à l'aide de trois paramètres : leur permittivité électrique ( $\epsilon$ ), leur conductivité ( $\sigma$ ) et leur perméabilité ( $\mu$ ). Ces trois paramètres sont requis dans les équations de différences. La permittivité et la perméabilité d'un matériau déterminent la vitesse de la lumière dans le milieu. La conductivité détermine la facilité avec laquelle le matériau peut conduire du courant électrique lorsqu'il est soumis à un

champ électrique. Différents matériaux peuvent être modélisés et placés n'importe où dans la matrice tridimensionnelle. Chaque cellule possède un indice qui fait référence à un élément dans la matrice de matériaux. Les trois paramètres du matériau ainsi que des constantes de calcul propres à ce matériau sont mémorisés dans cette matrice. Voici la table de matériaux utilisés :

**Tableau 3.1 : Permittivité relative ( $\epsilon_r = 1$ ), conductivité ( $\sigma$ ) et perméabilité relative( $\mu_r = 1$ ) des matériaux utilisés**

| Indice | Nom                       | $\sigma$ |
|--------|---------------------------|----------|
| 0      | Vide                      | 0        |
| 1      | Muscle émetteur           | 0.75     |
| 2      | Thorax                    | 0.75     |
| 3      | Metal                     | 30000.0  |
| 4      | Air                       | 0.01     |
| 5      | Contour du thorax         | 0.251    |
| 6      | Cœur inactif              | 0.75     |
| 7      | Diaphragme inactif        | 0.75     |
| 8      | Œsophage                  | 0.2      |
| 9      | Eau ( $\epsilon_r = 80$ ) | 0.9      |

Tous les matériaux que nous utilisons ont une perméabilité relative de 1. Lors des calculs, la permittivité relative des matériaux a été fixée arbitrairement à 1, même si elle est très élevée (voir 3.1.1) car les courants de déplacement sont négligeables par rapport aux courants de conduction [31]. Le simulateur FDTD a été programmé pour utiliser des matériaux dont la perméabilité relative  $\mu_r$  est unitaire, ce qui est très réaliste. La valeur de la perméabilité a été fixée comme étant constante tout au long de la simulation. Ceci évite plusieurs calculs supplémentaires qui auraient dû être exécutés pour chaque cellule.

### 3.1.4 Conditions aux frontières

Lorsqu'une onde électromagnétique provenant du cœur s'éloigne du thorax, elle n'est pas réfléchie mais s'échappe et s'atténue dans l'air à l'extérieur du corps. L'utilisation de conditions de frontières absorbantes a pour but de modéliser ces mêmes conditions.

La taille de la matrice dans laquelle est modélisé le thorax est limitée par la taille de la mémoire de l'ordinateur. L'algorithme FDTD ne peut être appliqué aux frontières de la matrice puisque l'algorithme a besoin des valeurs de cellules qui sont situées au delà de la frontière. Cependant, en supposant que la valeur des champs électromagnétiques au-delà des frontières est nulle, on peut résoudre les équations de Maxwell sur les frontières. Cependant, ce type de conditions aux frontières peut ne pas être approprié dans certains cas. Toute l'énergie qui atteint la frontière est réfléchie. Étant donné que la frontière est très rapprochée du thorax, nous ne pouvons la fixer à une constante. Des conditions de frontières constantes seraient plus acceptables si les frontières étaient très éloignées du thorax.

Pour notre application, nous devons avoir des conditions de frontières absorbantes. Afin d'éviter une grande complexité nécessitant des ressources de calcul inaccessibles, le thorax modélisé sera compris entre le cou et la taille. De plus, les conditions aux frontières absorbantes sont essentielles pour assurer la stabilité de l'algorithme FDTD lorsqu'on utilise des sources d'énergie sinusoïdales périodiques. Le cœur et le diaphragme sont modélisés par deux sinus périodiques. Sans ces conditions de frontières

absorbantes, toute l'énergie serait emprisonnée à l'intérieur de la matrice et il y aurait divergence des résultats.

Les conditions de frontières sont calculées à partir d'approximations de l'équation d'onde (3.3) en trois dimensions [15][18]. La valeur du champ sur une cellule de la frontière de la matrice est une approximation dans le temps de sa valeur à partir des valeurs des champs des cellules voisines.

$$\left( \partial_x^2 + \partial_y^2 + \partial_z^2 - c_o^{-2} \partial_t^2 \right) E = 0 \quad (3.6)$$

L'équation (3.3) permet de calculer les valeurs futures des champs d'une cellule. Les dérivées selon les axes X, Y et Z représentent la variation du champs dans l'espace. Toutes ces valeurs sont connues et mémorisées dans une matrice. La dérivée selon t représente la variation du champ dans le temps. Seules les valeurs antérieures du champ selon t sont connues. En numérisant l'équation (3.3), il faut isoler la composante temporelle du champ afin d'obtenir sa valeur future.

### 3.1.5 Sources émettrices

Deux sources émettrices sont présentes dans notre modèle : le cœur et le diaphragme. Ces sources de courant sont modélisées comme des dipôles dont l'orientation correspond à l'orientation des fibres musculaires dans le cœur et le diaphragme. Ces dipôles sont excités par une onde sinusoïdale. Si les deux organes sont actifs en même temps, la

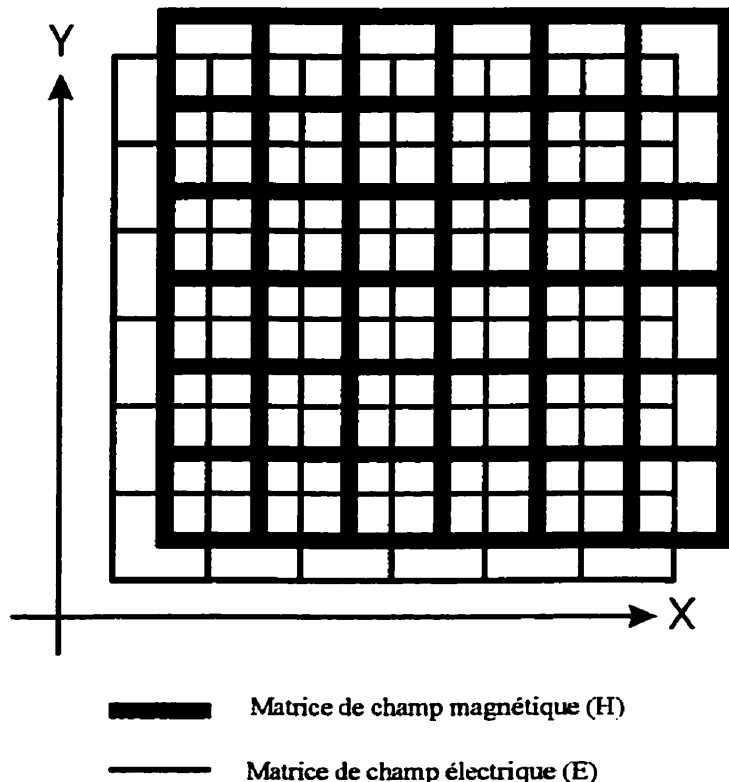
fréquence des deux ondes sinusoïdales doit être différente. Le signal capté par une électrode œsophagienne peut être séparé en fréquence et on peut observer la quantité d'énergie qui provient de chacun des organes séparément.

### 3.1.6 Calcul des différences finies

Les différences finies servent à approximer des équations différentielles par des techniques numériques. La propagation des ondes électromagnétiques peut être calculée en appliquant la méthode des différences finies aux équations de Maxwell. Deux matrices tridimensionnelles servent à mémoriser les valeurs des champs électriques et magnétiques. Initialement, toutes les valeurs des champs sont nulles au début de chaque simulation. La valeur des dipôles sinusoïdaux émetteurs sont calculés en fonction du temps et sont mis à jour dans la matrice. Le simulateur calcule ensuite les valeurs des champs électriques en se servant des valeurs des champs magnétiques. Ensuite, le temps est incrémenté d'un demi-pas ( $\Delta t/2$ ). Les champs magnétiques sont ensuite calculés à partir des valeurs des champs électriques.

Les origines des matrices des champs électriques et magnétiques sont distancées d'une demi fois la taille des côtés des cellules. La figure 3.1 illustre les matrices des champs électriques et magnétiques dans un plan. Le même principe est appliqué en trois dimensions. Les champs magnétiques sont calculés à partir des champs électriques situés à un demi incrément dans l'espace. Un demi incrément de temps plus tard ( $\Delta t/2$ ), les

champs électriques sont calculés à partir des champs magnétiques. Cette technique permet d'augmenter la précision à la fois dans l'espace et dans le temps.



**Figure 3.5: Matrices des champs électriques et magnétiques**

### 3.2 Applications de la méthode FDTD à très faible fréquence

La méthode FDTD a originellement été conçue pour des applications à très haute fréquence. Le critère de stabilité décrit à l'équation (3.2) impose une limite maximale sur l'incrément de temps  $\Delta T$  en fonction de la taille des cellules. Sachant que la période d'un signal à haute fréquence est très courte, il faudra moins d'itérations pour simuler un cycle complet à cette fréquence.

Voici un exemple pour un signal sinusoïdal de fréquence 10 Hz représentatif des sources cardiaques et diaphragmatiques. La période de ce signal est de  $1/10 \text{ Hz} = 0.1 \text{ seconde}$ . Sachant que la vitesse de l'onde dans le milieu est de 2.23 km/s et que la taille des cellules est de 6mm, l'équation (3.5) donne une limite maximale pour  $\Delta T$  de  $0.47\mu\text{s}$ . Ainsi, chaque itération du simulateur fait avancer la simulation de  $0.47\mu\text{s}$  seconde. Il faudra 214 580 itérations pour simuler une période complète du signal à 10Hz.

Nous désirons simuler cinq cycles afin d'atteindre la stabilité à long terme. Sachant qu'une itération prend environ trois secondes sur un PentiumII-266, une simulation complète nécessiterait 37 jours de calcul. Heureusement plusieurs techniques peuvent être appliquées pour diminuer ce temps de simulation.

### 3.2.1 Multiplication en fréquence

La quantité phénoménale d'itérations requises pour une simulation à très faible fréquence peut être réduite en augmentant la fréquence des sources d'émission du cœur et du diaphragme. Ceci réduit la période du signal et le nombre d'itérations requises pour simuler une période complète. Cette approche sera valide tant que la tangente de perte est beaucoup plus grande que 1.

Cependant, les matériaux ne se comportent pas de la même façon à ces fréquences. Un matériau excité par un signal de 10 MHz aura une permittivité relative beaucoup plus faible que s'il était excité par un signal dont la fréquence serait de 10 Hz. De plus, la

conductivité augmente pour des fréquences supérieures à 10 KHz. Ainsi, pour une fréquence de 10 MHz, une conductivité de 0.95 S/m et une permittivité relative de 200 [34], la tangente de perte est de 8.

En remplaçant les signaux cardiaques et diaphragmatiques par des signaux oscillant à 10MHz, le critère de stabilité est respecté, les courants de conduction dominent et le nombre d'itérations est considérablement réduit.

### **3.3 Modèle du thorax**

Un modèle très simple du thorax comprenant un cœur et un diaphragme a été développé. Le cœur et le diaphragme sont les deux seules sources émettrices dans le corps. La quantité de mémoire d'ordinateur étant limitée, nous ne pouvons pas modéliser le corps en entier. Nous devons donc isoler le thorax et utiliser des parois absorbantes aux limites des matrices des champs électrique et magnétique. La taille des cellules de la matrice est de 6mm et au moins 5 cellules de vide sont requises entre l'extrémité du thorax et la paroi de la matrice.

La taille de la matrice a été calculée et choisie pour minimiser la mémoire requise afin d'accélérer les calculs. Cette taille appropriée est de 70 par 40 par 90 cellules selon les axes X, Y et Z, respectivement.

### 3.3.1 Le thorax

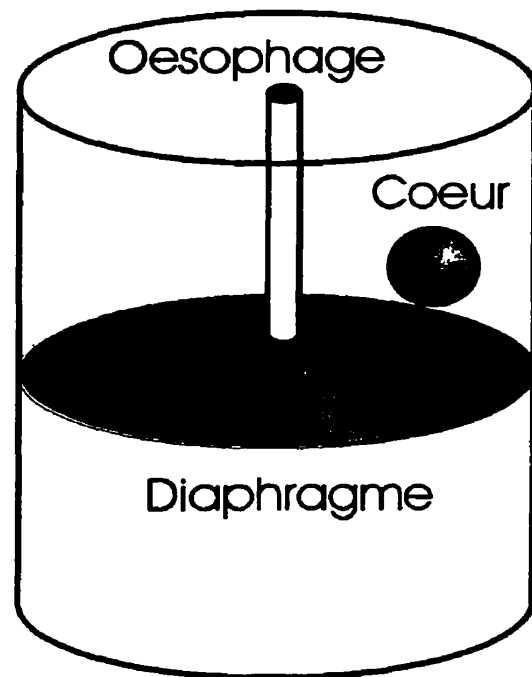
Le thorax est modélisé par un cylindre elliptique ayant un diamètre de 300 mm (50 cellules) selon l'axe X, 120mm (20 cellules) selon l'axe Y et une hauteur de 270 mm (45 cellules) sur l'axe Z. La conductivité du matériau choisi pour modéliser le thorax a été approximée par la moyenne des conductivités de tissus musculaires et gras présents dans le thorax. Cette approximation est nécessaire pour simuler la contribution des tissus qui n'ont pas été modélisés.

### 3.3.2 Le cœur et le diaphragme

Le cœur et le diaphragme sont modélisés par deux ensembles de sources ponctuelles de champ électrique (E). Dans le corps humain, ces deux organes émettent de l'énergie simultanément. Les spectres en fréquence de ces sources peuvent se chevaucher pour la plus grande partie du signal. Ceci veut dire que les deux muscles émettent des signaux dont l'énergie est concentrée aux mêmes fréquences. Nous utilisons le principe de superposition entre le cœur et le diaphragme afin d'observer la contribution de ces organes respectifs. Par le fait même, deux simulations seront requises : une première mesurera la propagation de l'énergie provenant du diaphragme lorsque le cœur sera « off » et la deuxième mesurera la propagation de l'énergie cardiaque lorsque le diaphragme sera « off ». Cette analyse en deux étapes nous permettra de déterminer séparément l'effet de chacun des organes émetteurs.

Lors de la simulation les amplitudes des sources de champ électrique ont été fixées arbitrairement à 5.3 V/mm.

Le cœur est modélisé par une sphère dont le diamètre est de 140 mm (24 cellules). Le diaphragme, quant à lui, est modélisé par un paraboloïde elliptique. Le cœur et le diaphragme sont des tissus dont la conductivité est sensiblement la même [16].



**Figure 3.6: modèle thoracique**

La figure 3.2 nous montre le modèle du thorax avec les éléments principaux : le cœur, le diaphragme et l'œsophage. L'œsophage est un cylindre dont le diamètre est de 24mm (4 cellules). Ce diamètre est légèrement supérieur à celui d'un vrai œsophage. Un plus grand

nombre de cellules à l'intérieur du diaphragme augmente la précision des résultats qui peuvent être obtenus sur l'électrode placée éventuellement à l'intérieur de l'œsophage.

Toutes les électrodes œsophagiennes qui ont été modélisées ont un diamètre de 2 cellules, environ deux fois plus grande qu'une électrode réelle. L'électrode ne peut toutefois pas être réalisée avec un diamètre d'une seule cellule puisque cette électrode ne serait qu'un bout de fil pour le logiciel FDTD.

Une extrémité de l'œsophage se trouve au sommet du thorax où le thorax est coupé et limité par une paroi absorbante. L'autre extrémité de l'œsophage se retrouve sous le diaphragme.

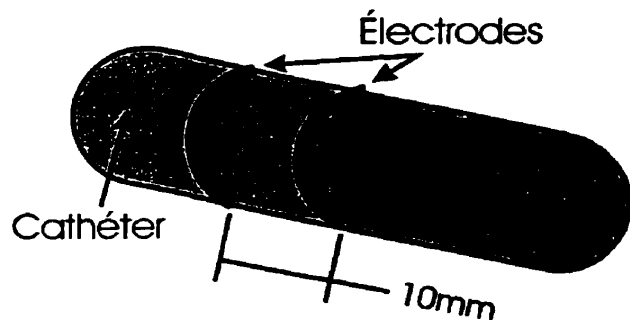
### **3.4 Les électrodes œsophagiennes**

Le rôle des électrodes est de mesurer l'intensité du champ électrique dans la région du sphincter œsophagien. Ces électrodes œsophagiennes sont généralement construites avec de l'acier inoxydable qui a une conductivité d'environ  $\sigma = 30000 \text{ S/m}$ . Toutes les électrodes qui seront construites dans FDTD auront cette conductivité.

#### **3.4.1. L'électrode bipolaire**

L'électrode standard pour mesurer l' $\text{EMG}_{\text{di}}$  est bipolaire. Elle est fabriquée à partir de deux anneaux en acier inoxydable dont le diamètre est de 5 mm. Les deux anneaux sont séparés de 10 mm sur le cathéter. Ce type d'électrode ne peut être modélisé parfaitement avec FDTD puisque les cellules sont cubiques. Les électrodes sont en fait des carrés

puisque'il est impossible de modéliser un cercle avec des cellules cubiques. Sachant que la taille des cellules du simulateur est de 6mm, le diamètre des anneaux sera de 12mm. La distance entre les anneaux sera également de deux cellules, soit 12mm.



**Figure 3.7: Électrode bipolaire standard**

### 3.4.2 Conclusion

Le simulateur décrit dans ce chapitre a été validé en comparant les résultats simulés et la solution analytique d'un problème. Plusieurs points de l'espace ont été échantillonnés et comparés aux valeurs calculées analytiquement. Ces résultats seront montrées dans le chapitre 5. Les résultats du moteur FDTD que nous avons développé en C++ ont été comparés aux résultats d'un moteur FDTD qui a été programmé en FORTRAN. Ces deux outils donnent les mêmes résultats à une décimale près. Cependant, en appliquant les méthodes décrites dans ce chapitre, notre simulateur est en mesure d'effectuer des simulations à très faibles fréquences dans un contexte biologique.

Les conditions aux frontières peuvent jouer un rôle important dans la précision des résultats. Il existe plusieurs types de conditions de frontières pour différentes applications. Il est important de choisir le type le plus approprié pour notre application et de respecter les contraintes propres à ce type de frontière absorbante.

## Chapitre 4

# PROGRAMMATION DU LOGICIEL FDTD-A

### 4. Introduction

#### 4.1 Origine de la méthode numérique FDTD

Les premiers calculs numériques des équations de Maxwell datent de la fin des années 1960 avec Yee [14]. À cette époque, les ordinateurs étaient limités en mémoire et en vitesse. Ces limites avaient un impact sur la taille et le nombre de cellules dans une simulation. Or, avec les progrès fulgurants dans le domaine de l'informatique, la méthode FDTD a progressivement pris de plus en plus d'importance dans plusieurs domaines de recherche de pointe. Les modèles sont plus complexes et le temps d'exécution est très raisonnable.

Le moteur de calcul de la méthode FDTD que nous avons utilisée dans nos simulations a été traduit à partir d'une version Fortran [17]. Cette version Fortran a été codée en C++ et optimisée pour être exécutée plus rapidement. Cette nouvelle version a été construite de façon hiérarchique et est un peu plus complexe que la version originale. La programmation par objets d'un tel logiciel augmente la lisibilité du code et facilite l'ajout de modules fonctionnels supplémentaires.

Une bonne partie de la traduction du Fortran à C++ avait déjà été implémentée lorsque ce projet fut mis sur pied. Cependant, le programme comportait beaucoup d'erreurs de

programmation et de synthèse. La complexité du nouveau code menait à certaines impasses qui rendaient plus difficile l'interprétation de la méthode FDTD. Les conditions aux frontières ne fonctionnaient pas correctement. Une grande partie de ce projet consistait à corriger toutes les erreurs de programmation. L'ensemble du code a été révisé et vérifié à plusieurs reprises. Les éléments qui ont été vérifiés et corrigés sont : les moteurs de calculs des champs électriques, magnétiques, les 6 moteurs de calculs de conditions de frontières, les sources d'ondes planes et l'insertion de cellules dans le domaine tridimensionnel, génération des matériaux, construction d'un cube de base.

Suite à la correction et la vérification du moteur de calcul FDTD, d'autres sections ont été ajoutées afin d'augmenter la flexibilité du logiciel. Voici les modules qui ont été rajoutés :

- 1- Structure des répertoires – DIR.INI
- 2- Sauvegarde des graphiques pour Matlab – PLANP.INI (Format et script)
- 3- Table des matériaux éditables – MATERIAL.INI
- 4- Récupération de simulation antérieure volontairement arrêtée (recovery)
- 5- Affichage du temps écoulé et restant
- 6- Lecture lors d'exécution des fichiers de configuration des électrodes – ELECTRODE.INI
- 7- Génération de fichiers exécutables MATLAB
- 8- Construction paramétrique du cœur et du diaphragme
- 9- Construction paramétrique et lecture automatique des électrodes

## 10- Lecture automatique du potentiel aux bornes d'une électrode

### **4.2 Initialisation du logiciel FDTD**

La phase d'initialisation du logiciel est responsable de recueillir toutes les informations nécessaires au fonctionnement du logiciel à partir des fichiers de configuration. Par la suite, cette information est transmise au logiciel par des variables et des méthodes. Le format des fichiers de configuration ainsi que les répertoires doivent être conformes aux spécifications afin que la phase d'initialisation puisse être exécutée correctement. Les sections qui suivent décrivent les étapes d'initialisation du logiciel avec le format des données d'entrées.

#### **4.2.1 Structure des répertoires**

Le logiciel FDTD-A est composé de plus de 70 fichiers de programmation et de configuration. Il nécessite quelques fichiers de paramètres initiaux, une quinzaine de fichiers de récupération de simulation antérieure et peut générer quelques centaines de fichiers de sortie. La complexité d'un tel logiciel nécessite une structure de répertoire afin de simplifier son utilisation.

Tous les fichiers de programmation sont placés dans le répertoire de base. C'est à partir de ce répertoire qu'est exécutée la compilation et l'exécution. Dès que l'exécution est lancée, le programme lit le fichier *DIR.INI* dans lequel sont stockées les informations suivantes :

**Répertoire des fichiers de reprise d'une simulation**  
**Répertoire des fichiers de données**  
**Démarrage d'une nouvelle simulation (0 ou N)**

Les répertoires décrits dans ce fichier sont relatifs au répertoire de base. Au cours du projet, le fichier *DIR.INI* contenait les informations suivantes :

```
.\recovery\  
.\data\  
0
```

La dernière information contenue dans ce fichier détermine si la simulation doit débuter au temps zéro. Si **Oui** est spécifié, toutes les valeurs des champs seront initialisées à zéro et la simulation débutera au temps zéro. Si **N** est spécifié, le logiciel fera la lecture de tous les fichiers qui ont été sauvegardés dans le répertoire `.\recovery\` et les chargera en mémoire comme conditions initiales. Dès qu'une simulation termine son exécution, le simulateur sauve toutes les variables nécessaires aux calculs dans le répertoire `.\recovery\`. Ainsi, il est possible de poursuivre une simulation en initialisant le simulateur avec les valeurs qui ont été sauvegardées précédemment.

#### 4.2.2 Sauvegarde des graphiques pour Matlab

Le logiciel doit être accessible à toute personne qui possède peu de connaissance du langage de programmation C++ ou Matlab. Ce critère nécessite donc que le logiciel s'occupe de la génération de fichiers dits *scripts*, c'est-à-dire des fichiers dont le contenu sont des séquences d'opérations qui peuvent être interprétées par un logiciel. La génération du script nécessite certains paramètres que l'utilisateur doit entrer.

Lors du développement d'un modèle tridimensionnel, il est souvent utile de pouvoir visualiser le comportement des champs à l'aide d'un graphique tridimensionnel. Ainsi, on

peut facilement observer toute anomalie ou même la cause d'une divergence qui, autrement, serait difficile à déceler.

Une simulation FDTD peut facilement manipuler des structures de données de plusieurs méga-octets en mémoire. Les deux plus grandes structures sont les tableaux des champs électriques et magnétiques. Chaque tableau contient les valeurs des trois composantes (x, y et z) des champs électriques de chaque cellule. Il est impensable de stocker la totalité de ces tableaux pour chaque incrément de temps à cause de la quantité gigantesque de mémoire que cela nécessiterait.

Une solution moins coûteuse consiste à stocker un ou quelques plans de l'espace. Ces quelques plans nécessitent beaucoup moins de mémoire. Ces plans peuvent être sauvegardés à un intervalle de temps assez distancé. L'observation d'un plan à chaque 50 ou 100 pas peut donner suffisamment d'information pour déceler certains problèmes.

L'information relative à la sauvegarde des résultats est contenue dans le fichier `.\recovery\PLANP.INI` qui a le contenu suivant : `Y 19 100 200 1000 -`

Ces informations représentent respectivement: le plan de sauvegarde, la coordonnée du plan de sauvegarde, le temps initial de sauvegarde, temps final de sauvegarde et temps total de la simulation. Le programme FDTD reçoit ces valeurs et génère un fichier script Matlab contenant toutes les informations nécessaires à l'affichage d'un plan. D'autres scripts Matlab a été écrit afin d'afficher successivement plusieurs informations de plans.

Ces scripts peuvent afficher successivement des courbes de niveau et de surface, à la fois pour des fichiers de champs électriques que magnétiques. Ces scripts doivent être dans un répertoire visible par Matlab (path) et se nomment *econt.m*, *esurf.m*, *mcont.m* et *msurf.m*.

#### 4.2.3 Édition de la table des matériaux

Plusieurs matériaux peuvent être utilisés dans FDTD. Quelques uns ont déjà été implémentés mais l'utilisateur peut facilement en rajouter. Le fichier *MATERIAL.INI* contient la liste des matériaux que l'usager a besoin. Les matériaux 0 et 1 sont utilisés par le logiciel pour représenter le vide et un conducteur parfait. L'usager peut donc entrer des matériaux dont l'index suit les matériaux pré-construits. Chaque matériau est caractérisé par un index, une conductivité, sa permittivité et un nom ne dépassant pas 15 caractères. Le fichier doit débuter par un entier déterminant le nombre de matériaux définis par l'usager. Voici un fichier *MATERIAL.INI* :

```

9
Muscle_emetteur 0.05 1
Thorax 0.01 1
Metal 30000.0 1
Air 0.0001 1
Contour_du_thorax 0.005 1
Coeur_inactif 0.5 1
Diaphragme_inactif 1 1
Oesophage 0.02 1
Eau 0.05 1

```

L'édition des matériaux dans un fichier procure plusieurs avantages. L'ajout de matériaux est beaucoup plus simple, rapide et ne nécessite pas de compilation du code. De plus, elle évite que l'utilisateur n'aie à modifier le code source du programme.

#### 4.2.4 Récupération d'une simulation antérieure

Le temps de simulation étant très long, il peut être parfois avantageux de pouvoir reprendre une simulation où elle a été arrêtée plutôt que de la repartir à zéro. Pour ce faire, une série de fichiers doivent être créés afin de sauvegarder toutes les informations contenues dans la mémoire. La simulation ne peut repartir avant que tous les paramètres de la simulation soient chargés. Voici la liste des paramètres qu'il faut sauvegarder :

- Tableau des champs électriques
- Tableau des champs magnétiques
- Tableau des index du modèle tridimensionnel
- Les 6 tableaux des conditions de frontières
- Paramètres des sources émettrices
- Paramètres de la simulation

Tous ces fichiers sont placés dans le répertoire `\recovery\`. Il est important de ne pas modifier ces fichiers puisqu'une simulation utilise l'information contenue dans ces fichiers comme conditions initiales. Ces fichiers peuvent provenir soit d'un éditeur permettant d'initialiser une simulation ou d'une simulation précédente qui a été interrompue.

#### 4.2.5 Affichage du temps écoulé et restant

Ce module a été rajouté pour faciliter l'organisation des simulations. Il peut prendre plus de 24 heures pour certaines simulations à s'exécuter. Cependant, il est impossible de

savoir à quel niveau sont rendus les calculs et combien de temps va s'écouler avant la fin des calculs.

Ces fonctions calculent le nombre d'itérations qui ont été effectuées et le nombre total d'itérations. À partir de ces valeurs, sachant le temps requis pour exécuter une itération, il est possible d'estimer le temps restant avant la fin de la simulation.

Au cours de la simulation, plusieurs valeurs doivent être mémorisées sur disque. Pour accélérer le processus d'écriture, ces valeurs sont mémorisées dans la mémoire tampon du disque rigide. Dès que la mémoire tampon est pleine, le bloc est écrit sur le disque rigide. Cependant, il peut s'écouler beaucoup de temps avant que ce tampon soit plein. Ainsi, pendant une simulation, il est impossible de lire les fichiers de sortie afin d'observer les résultats les plus récents, à moins que la mémoire tamponne soit récemment vidée. Pour permettre une telle observation, une fonction spéciale a été implantée afin de transférer immédiatement la mémoire tampon sur le disque. Ainsi, lorsqu'on se rend compte qu'une simulation diverge, on peut l'arrêter immédiatement, ce qui nous permet de sauver beaucoup de temps. Pendant la simulation, on peut appuyer sur la touche **F** pour transférer la mémoire tampon sur le disque. La touche **Q** arrête la simulation et mémorise l'état complet de la simulation, afin qu'elle puisse être redémarrée et qu'elle puisse continuer la simulation à partir du point où elle a été interrompue.

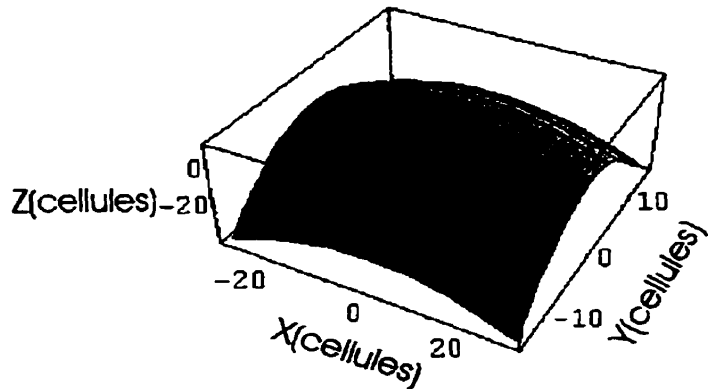
#### 4.2.6 Construction du modèle

L'espace mémoire est une ressource très précieuse et on doit en tenir compte lorsqu'on construit des modèles tridimensionnels avec FDTD. Le simple fait de doubler les dimensions de l'espace augmente la taille de la mémoire requise par huit. Cette limite sur la mémoire nous oblige à faire certains compromis. Nous souhaitons que notre simulation ait une précision raisonnable et un temps d'exécution assez court. Plus la taille des cellules est petite, plus la précision est bonne. Cependant, plus la taille est petite, plus  $\Delta T$  est court (critère de stabilité) et il prendra plus de temps pour simuler une longueur d'onde. De plus, il faudra plus de cellules dans le milieu pour modéliser les objets (thorax, cœur, diaphragme).

Nous avons choisi de modéliser le thorax avec des cellules de 6mm de côté. Notre modèle ne représente que la partie centrale du thorax, c'est-à-dire de la ceinture à la gorge et il coupe aux épaules. Le modèle a 70 cellules de largeur par 90 cellules de hauteur par 40 cellules de profondeur, ce qui correspond environ aux dimensions d'une personne de taille normale.

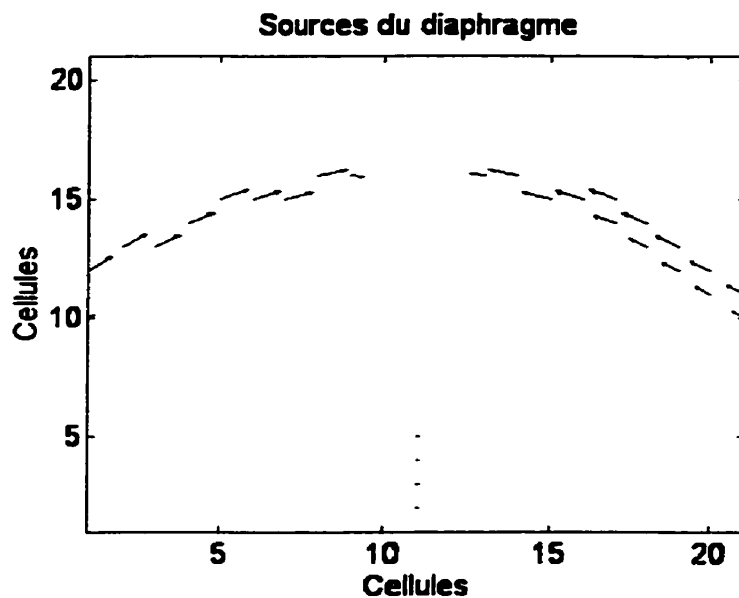
Nous avons modélisé le thorax par un cylindre elliptique puisque cette forme ressemble beaucoup à la forme d'un vrai thorax. La taille de l'espace mémoire a été choisie de sorte qu'il n'y ait que cinq cellules de vides entre l'extrémité du thorax et la paroi absorbante du modèle.

Le diaphragme a été modélisé par un paraboloïde elliptique inversé comme on peut le voir à la Figure 4.1. Cette figure a été dessinée avec le logiciel Mathematica. L'endroit où le thorax coupe le diaphragme est illustré par l'ellipse dans le plan  $z=0$ .



**Figure 4.1: Modélisation mathématique du diaphragme**

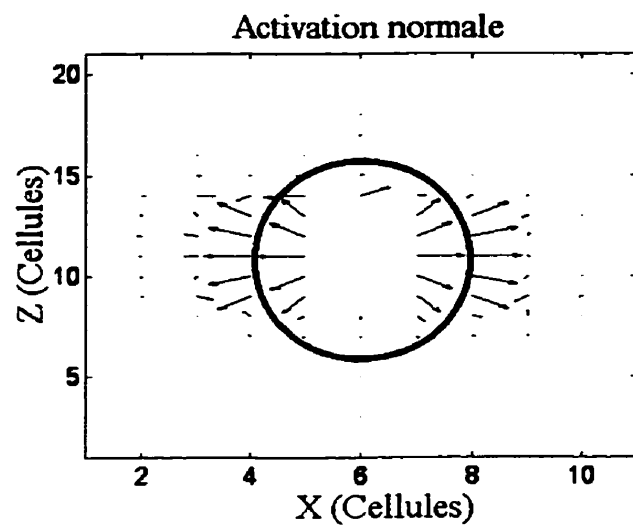
Le centre du diaphragme a été trouvé afin de permettre l'insertion du cathéter et de l'œsophage. Les dipôles de courant sont orientés dans la même direction que les fibres musculaires du diaphragme. On voit bien cette ouverture au sommet du diaphragme sur la figure 4.2.



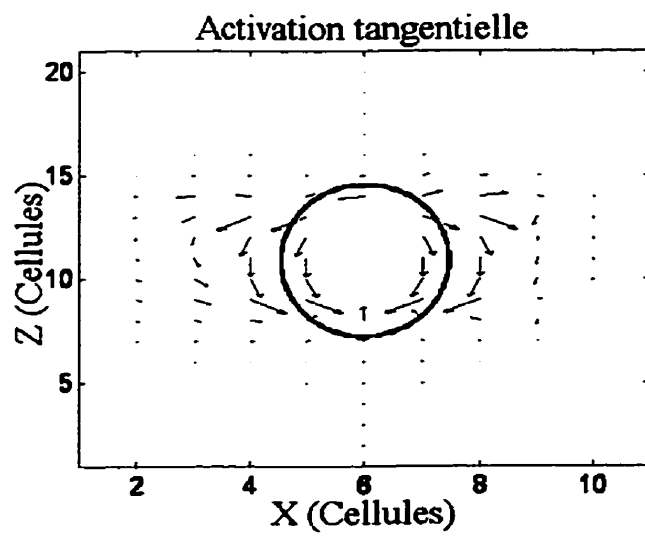
**Figure 4.2: Sources du diaphragme**

Chacune des sources du diaphragme peut être activée indépendamment. Deux fonctions ont été programmées dans le logiciel, mais d'autres fonctions peuvent très bien être rajoutées. Pour l'instant, chaque source peut être activée selon une sinusoïde ou un pulse gaussien. Différentes phases peuvent être appliquées à chaque cellule et même de façon aléatoire.

Le cœur a été modélisé comme une sphère pleine. Deux patrons d'activation du cœur peuvent être sélectionnés : l'activation tangentielle ou normale. Ces deux patrons sont illustrés sur les deux figures 4.3 et 4.4.



**Figure 4.3: Activation normale du cœur**



**Figure 4.4: Activation tangentielle du cœur**

Le cœur est illustré par un cercle sur les deux figures 4.3 et 4.4. Les flèches représentent l'amplitude du champ électrique source à chaque point de la matrice. L'orientation des flèches représentent la direction selon laquelle les champs électriques sont orientés. Les deux patrons de sensibilité déterminent de quelle manière l'énergie sera émise dans le thorax. Avec le patron de d'activation normale, l'énergie est émise comme une onde sphérique qui se propage partout dans le thorax. D'autre part, le patron d'activation tangentielle stimule un courant vers le bas du cœur. Ce dernier patron ressemble plus au vrai patron d'émission de courant du cœur. Cependant, le vecteur résultant de l'activation du cœur (le sens dans lequel le cœur émet un courant) n'est pas constant durant un battement. À première vue, il peut être modélisé par un vecteur constant orienté vers le bas. Les vecteurs tangents dans le modèle de la figure 4.4 modélisent plus les fibres musculaires du cœur. Le modèle tangentiel sera utilisé pour mesurer la quantité d'énergie cardiaque qui peut se rendre jusqu'à l'électrode. Quant au patron de polarisation normale, ce dernier est utilisé principalement pour tenter de comprendre le problème de divergence des champs aux frontières. Ce patron ne modélise aucune structure biologique.

#### 4.2.7 Construction des électrodes

Plusieurs outils ont été programmés afin d'automatiser la construction d'électrodes dans le milieu. Des nombreux paramètres peuvent être spécifiés pour la construction des électrodes. De plus, plusieurs électrodes peuvent être simultanément positionnées et lues dans le milieu. Les lectures de chaque électrode sont sauvegardées dans des fichiers indépendants. Les électrodes peuvent être fabriquées à partir de lignes parallèles aux axes

X, Y et Z seulement. On peut toutefois approximer une diagonale en combinant des composantes des trois axes de sorte que la résultante vectorielle pointe dans la direction désirée.

#### **4.3 Validation du moteur de calcul FDTD**

Le moteur de calcul ainsi que les conditions de frontières font le principal objet de la validation. Ces deux éléments jouent un rôle très important dans la précision et l'exactitude des résultats. Une simple erreur de programmation pourrait fausser complètement les résultats. Il est donc important de s'assurer que tout fonctionne correctement en ce qui concerne cet aspect du logiciel.

Un problème dont la solution analytique est connue a été simulée avec FDTD. Sachant la solution analytique, nous pouvons vérifier quelques points de l'espace afin de s'assurer que le simulateur obtienne des résultats semblables. Ce problème consiste à polariser une sphère par une onde plane qui se propage selon l'axe X. Une table d'échantillons recueillis à quatre endroits différents pour les 256 premières itérations est donnée [1]. Il s'agit de comparer nos résultats avec ceux présentés dans cette table. Les résultats de la validation sont présentés au cours du prochain chapitre.

#### **4.4 Conclusion**

Le présent chapitre regroupe l'ensemble des paramètres qui permettent d'utiliser et de programmer le logiciel FDTD. La structure hiérarchique de la programmation permet l'ajout de modules facilement. Le logiciel est à la fois flexible et modulaire. La flexibilité

qu'offre FDTD par rapport aux autres méthodes est grande. Des structures complexes peuvent être simulées sans problème. Voilà pourquoi il est important de donner tous les outils nécessaires pour créer des structures complexes à l'intérieur du modèle.

La validation du moteur de calcul nous assure que le simulateur fonctionne efficacement. Toutefois, les conditions de simulation doivent être valides au point de vue des limites permises pour la précision des calculs. Un tel système requiert plusieurs paramètres pour fonctionner et ces paramètres doivent satisfaire à certaines exigences comme le critère de stabilité de FDTD et la distance minimale entre le thorax et les frontières de la matrice.

## Chapitre 5

### Résultats

#### 5. Introduction

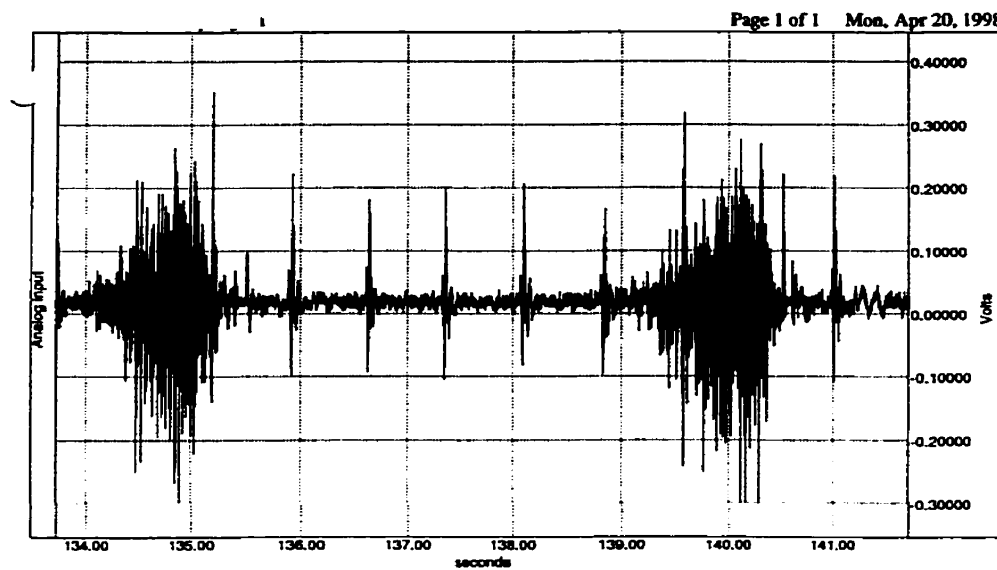
Ce chapitre sera divisé en plusieurs parties qui sont les suivantes:

1. Lectures expérimentales des signaux provenant d'une électrode prototype vs électrode bipolaire
2. Courbes de lecture de pression par capteur SM5102-005-A avec et sans silastic
3. Validation du simulateur FDTD
4. Courbes expérimentales de l'EMG<sub>di</sub> en fonction de la hauteur dans l'œsophage
5. Courbes simulées de l'EMG<sub>di</sub> en fonction de la hauteur dans l'œsophage

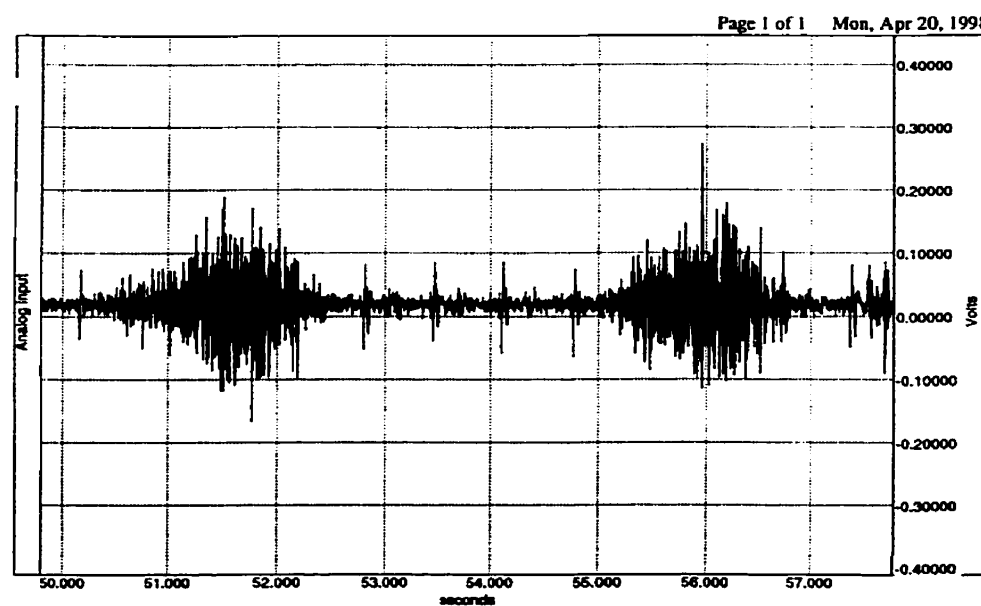
Dans chaque section, les résultats seront d'abord présentés puis analysés. Chaque partie énumérée ci-haut constitue les étapes importantes menant à la construction d'une électrode prototype optimisée pour la lecture de l'EMG<sub>di</sub>.

##### **5.1 Lectures expérimentales par électrode prototype et bipolaire**

Deux électrodes prototypes ont été fabriquées tel que décrit précédemment dans ce mémoire. Cependant, seulement une électrode a pu être essayée. Le silicium sur l'autre électrode n'a pas durci suffisamment pour qu'on puisse les tester chez un patient sans risques. Les figures 5.1 et 5.2 montrent les courbes de signaux EMG<sub>di</sub> qu'on a captés avec notre électrode prototype et avec l'électrode bipolaire respectivement.



**Figure 5.1:  $\text{EMG}_{\text{di}}$  et ECG capté avec une électrode bipolaire**



**Figure 5.2:  $\text{EMG}_{\text{di}}$  et ECG capté avec l'électrode prototype**

On constate que l'amplitude de l'ECG qui apparaît sur la Figure 5.2 est environ de moitié de ce qu'il est sur le graphique de la Figure 5.1. Il est également possible de constater que l'amplitude de l' $EMG_{di}$  est un peu plus faible du côté de l'électrode hélicoïdale que du côté de l'électrode bipolaire. Cependant, le but de cette recherche vise à obtenir un rapport  $EMG_{di} / ECG$  le plus élevé possible.

## 5.2 Lectures de pression par capteur couvert par silastic

Le but de cette expérience est de vérifier la linéarité du capteur de pression de la compagnie Silicone-Microstructures dans la marge de pression allant de 0mmHg à 150mmHg par rapport à la pression atmosphérique. De plus, nous pourrons évaluer la perte de précision du capteur de pression occasionnée par l'ajout d'une mince couche de silastic par dessus le diaphragme. Du même coup, nous pourrons observer la résistance des *fils d'interconnexion (puce au substrat)* lors de la mise en place de la mince couche de silastic.

Les mesures seront effectuées en deux temps : d'abord, des mesures seront prises à partir du capteur de pression dont le diaphragme sera exposé à l'air libre ; ensuite, la même expérience sera effectuée sur le capteur de pression dont le diaphragme sera recouvert d'une mince couche de silastic.

### 5.2.1 Méthodologie

Pour mesurer la pression, le capteur est déposé dans un contenant fermé hermétiquement. Une pompe à air est installée afin de pouvoir faire varier la pression à l'intérieur du contenant. Une colonne de mercure est également reliée à l'intérieur du

contenant afin de vérifier la pression relative dans le contenant. Le schéma du montage est présenté à la Figure 5.3. La première expérience s'est effectuée sur le capteur de pression dont le diaphragme donne sur l'air ambiant.

Pour la seconde expérience, une mince couche de silastic est déposée par dessus le diaphragme du capteur de pression. Cette couche recouvre également les *fil d'interconnexion* qui relient les plots de contacts du capteur de pression à la micro-plaquette. L'épaisseur de la couche de silastic est d'environ 0.25mm.

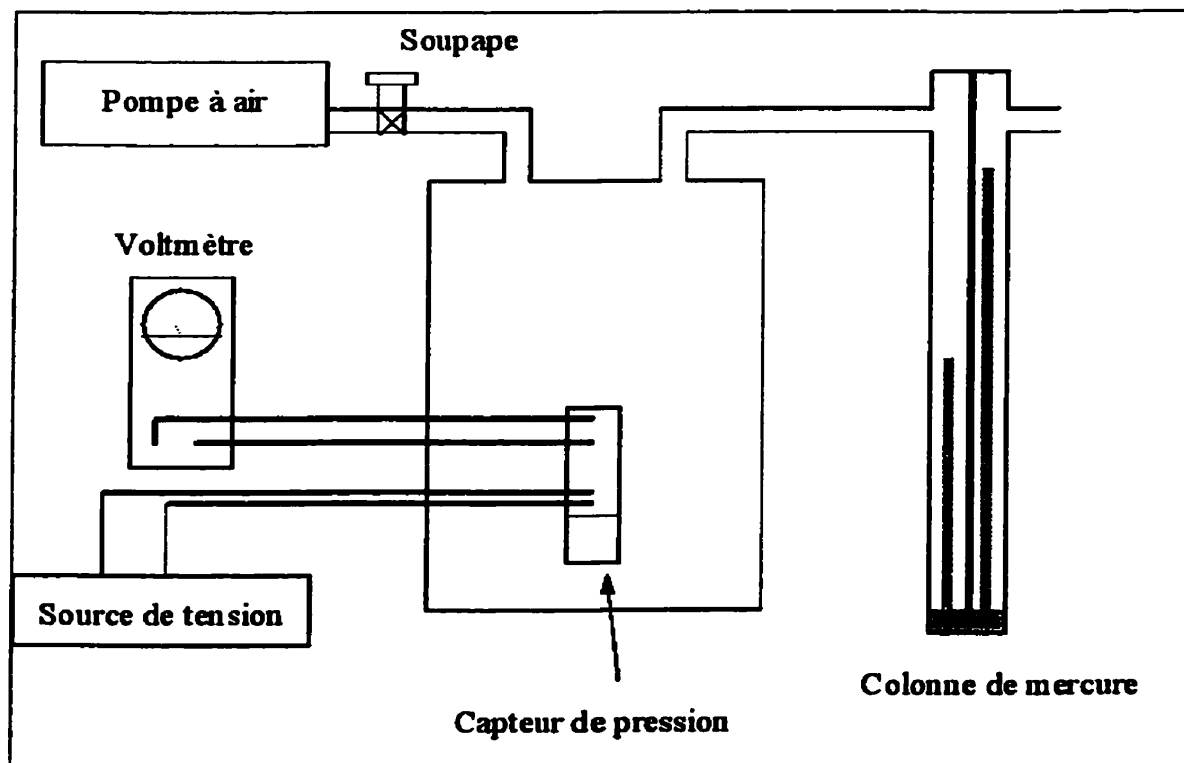


Figure 5.3: Schéma du montage servant à mesurer la sensibilité du capteur SM5102-005A avec et sans membrane de silastic.

Pour ces deux expériences, il s'agit de faire varier la pression à l'aide de la pompe et de calculer la tension aux bornes du voltmètre en fonction du niveau de mercure indiqué sur la colonne.

### 5.2.2 Lectures Pression-Tension sans couche de silastic

Les résultats qui sont présentés dans cette section ont été obtenus avec le capteur de pression sans recouvrement de silastic. Avec les données du Tableau 5.1, nous pouvons calculer la pente, l'écart type ainsi que la régression linéaire pour ainsi obtenir la sensibilité du capteur de pression.

**Tableau 5.1: Lectures Pression-Tension avec capteur sans recouvrement de silastic**

| cmH <sub>2</sub> O | mmHg  | Volts  |
|--------------------|-------|--------|
| 1.36               | 1.0   | 0.6310 |
| 2.72               | 2.0   | 0.6325 |
| 4.08               | 3.0   | 0.6330 |
| 5.44               | 4.0   | 0.6340 |
| 6.81               | 5.0   | 0.6375 |
| 8.17               | 6.0   | 0.6390 |
| 9.53               | 7.0   | 0.6415 |
| 10.89              | 8.0   | 0.6430 |
| 12.25              | 9.0   | 0.6430 |
| 13.61              | 10.0  | 0.6445 |
| 16.33              | 12.0  | 0.6470 |
| 19.06              | 14.0  | 0.6500 |
| 20.42              | 15.0  | 0.6520 |
| 21.78              | 16.0  | 0.6530 |
| 25.86              | 19.0  | 0.6600 |
| 27.22              | 20.0  | 0.6580 |
| 31.31              | 23.0  | 0.6570 |
| 39.47              | 29.0  | 0.6700 |
| 42.20              | 31.0  | 0.6730 |
| 61.25              | 45.0  | 0.6890 |
| 77.59              | 57.0  | 0.7020 |
| 88.48              | 65.0  | 0.7190 |
| 89.84              | 66.0  | 0.7170 |
| 95.28              | 70.0  | 0.7260 |
| 106.17             | 78.0  | 0.7390 |
| 129.31             | 95.0  | 0.7560 |
| 136.12             | 100.0 | 0.7650 |
| 140.20             | 103.0 | 0.7670 |
| 160.62             | 118.0 | 0.7880 |
| 164.71             | 121.0 | 0.7910 |
| 170.15             | 125.0 | 0.7980 |
| 197.37             | 145.0 | 0.8250 |

La pression atmosphérique absolue de la journée était de 102.5KPa (1046.5cmH<sub>2</sub>O = 768.8mmHg<sub>absolu</sub>).

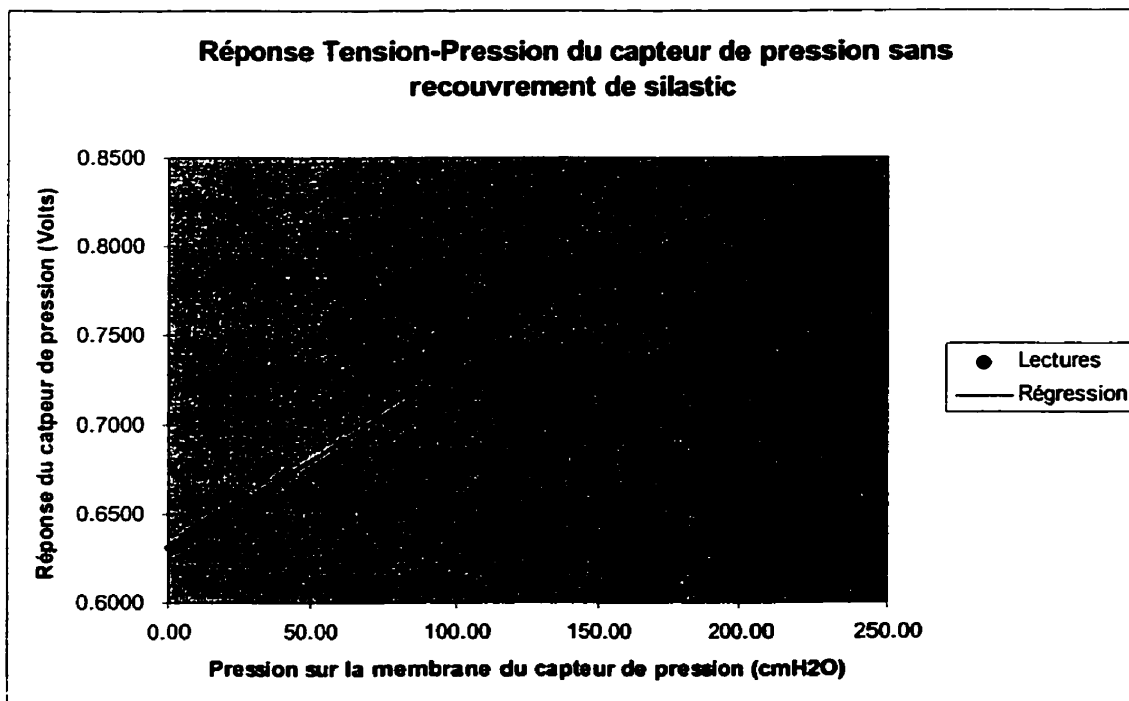
Les résultats montrés aux équations 5.1 à 5.3 ont été obtenus avec les fonctions du logiciel EXCEL.

$$\begin{aligned} \text{Pente}_{\text{air}} &= 1.334 \text{mV / mmHg} \\ &= 0.98 \text{mV/cmH}_2\text{O} \end{aligned} \quad (5.1)$$

$$\sigma_{\text{air}} = 1.9 \text{ mV} \quad (5.2)$$

$$R^2 = 0.9989 \quad (5.3)$$

Où  $\sigma$  représente l'erreur type et  $R^2$  représente le carré du coefficient de corrélation. Les résultats présentés au Tableau 5.1 la droite moyenne de ces lectures calculée aux équations (5.1) à (5.3) ont été compilés et sont présentés à la Figure 5.4:



**Figure 5.4: Tension en fonction de la pression mesurée sans recouvrement de silastic**

Sur la Figure 5.4, une droite de pente moyenne passe à travers le nuage de points. Ces points sont les lectures qui ont été effectuées au laboratoire. La pente de la droite a été calculée par la méthode des moindres carrés.

### 5.2.3 Lectures Pression-Tension avec une mince couche de silastic

Les résultats qui sont présentés dans cette section ont été obtenus avec le capteur de pression avec une mince membrane de silastic. Avec les données du tableau 5.2, nous pouvons calculer la pente, l'écart type ainsi que la régression linéaire pour ainsi obtenir la sensibilité du capteur de pression. Ces valeurs nous permettront de comparer la sensibilité du capteur de pression lorsqu'une couche de silastic recouvre la membrane du capteur de pression.

**Tableau 5.2: Lectures Pression-Tension du capteur avec recouvrement de silastic**

| cmH <sub>2</sub> O | mmHg | Volts  |
|--------------------|------|--------|
| 1.36               | 1    | 0.6260 |
| 2.72               | 2    | 0.6270 |
| 2.72               | 2    | 0.6330 |
| 4.08               | 3    | 0.6290 |
| 5.44               | 4    | 0.6300 |
| 5.44               | 4    | 0.6370 |
| 6.81               | 5    | 0.6320 |
| 8.17               | 6    | 0.6330 |
| 9.53               | 7    | 0.6340 |
| 13.61              | 10   | 0.6400 |
| 17.70              | 13   | 0.6440 |
| 25.86              | 19   | 0.6530 |
| 27.22              | 20   | 0.6540 |
| 27.22              | 20   | 0.6600 |
| 29.95              | 22   | 0.6630 |
| 42.20              | 31   | 0.6680 |
| 51.73              | 38   | 0.6800 |
| 55.81              | 41   | 0.6870 |
| 63.98              | 47   | 0.6910 |
| 69.42              | 51   | 0.7000 |
| 73.50              | 54   | 0.7030 |
| 83.03              | 61   | 0.7190 |
| 92.56              | 68   | 0.7260 |
| 102.09             | 75   | 0.7310 |
| 103.45             | 76   | 0.7350 |
| 108.90             | 80   | 0.7370 |
| 119.79             | 88   | 0.7465 |
| 130.68             | 96   | 0.7610 |
| 133.40             | 98   | 0.7640 |
| 138.84             | 102  | 0.7680 |
| 155.18             | 114  | 0.7910 |
| 170.15             | 125  | 0.7960 |
| 171.51             | 126  | 0.8000 |
| 186.48             | 137  | 0.8130 |
| 197.37             | 145  | 0.8230 |

La pression atmosphérique absolue de la journée était de 101.77KPa (1038.85cmH<sub>2</sub>O = 763.3mmHg<sub>absolue</sub>).

Ces données nous donnent les résultats suivants

$$\begin{aligned} \text{Pente}_{\text{silastic}} &= 1.379 \text{mV / mmHg} \\ &= 1.01 \text{mV/cmH}_2\text{O} \end{aligned} \quad (5.4)$$

$$\sigma_{\text{silastic}} = 3.16 \text{ mV} \quad (5.5)$$

$$R^2_{\text{silastic}} = 0.9974 \quad (5.6)$$

Où  $\sigma$  représente l'erreur type et  $R^2$  représente le carré du coefficient de corrélation. On constate un léger écart entre la sensibilité du capteur avant silastic (5.1) par rapport à sa sensibilité après l'ajout de la membrane de silastic (5.4). Cet écart est attribuable aux erreurs de lectures ainsi qu'à l'instrumentation qui a été utilisée lors des manipulations. Les résultats présentés au Tableau 5.2 la droite moyenne de ces lectures calculée aux équations (5.4) à (5.6) ont été compilés et sont présentés à la Figure 5.5:

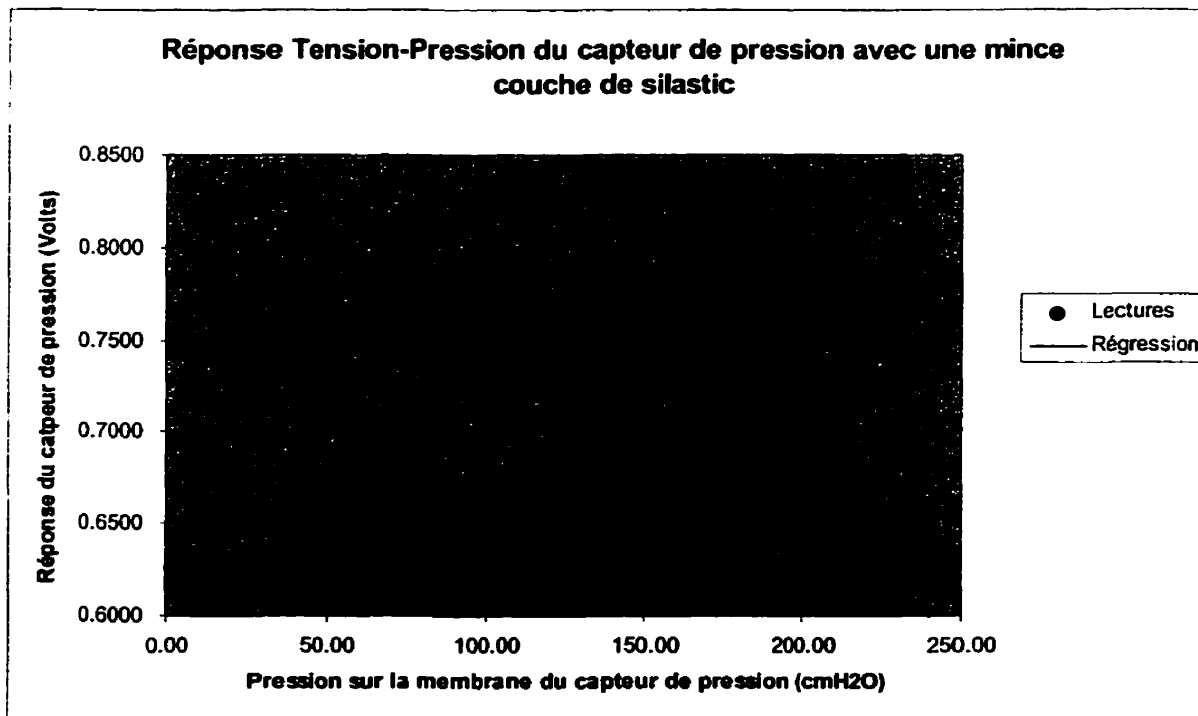


Figure 5.5 : Tension en fonction de la pression mesuré avec recouvrement de silastic

#### 5.2.4 Analyse des résultats

Un des buts de cette expérience était de vérifier le fonctionnement linéaire du capteur de pression dans la marge de pression allant de 0mmHg à 150mmHg par rapport à la pression atmosphérique. Nous pouvons donc conclure que le capteur de pression a un comportement très linéaire dans la marge de pression variant entre 0mmHg et 150mmHg par rapport à la pression atmosphérique puisque le coefficient de corrélation des mesures expérimentales est de plus de 0.997 dans les deux cas.

La pente moyenne des résultats expérimentaux nous donne une indication de la résolution du capteur de pression. Le signal de sortie varie de  $0.98\text{mV/cmH}_2\text{O}$  pour le capteur sans silastic à  $1.01\text{mV/cmH}_2\text{O}$  pour le capteur recouvert de silastic. Puisque la précision requise pour notre application est de  $0.01\text{cmH}_2\text{O}$ , il faudra un amplificateur capable de mesurer des tensions de près de  $0.1\text{mV}$ . Il est également important de souligner la similitude des pentes pour le capteur avec et sans silastic. Cette similitude nous indique que l'ajout d'une mince couche de silastic ne modifie pratiquement pas la sensibilité du capteur de pression.

#### 5.3 Validation du simulateur FDTD

Le moteur de calcul FDTD que nous utilisons a été développé par M. Luebbers[17]. Pour valider le simulateur, un problème simple dont la solution analytique est connue a été simulé. Ce problème consiste à émettre une onde plane dans le milieu où il n'y a que la présence d'une sphère ayant une permittivité relative de 4 et un rayon de 8mm. On

échantillonne le champ électrique à deux endroits et le champ magnétique à deux autres endroits. Les échantillons sont captés pendant 255 itérations. La composante X du champ électrique (Ex) a été échantillonné dans l'espace à deux coordonnées : (17,18,25) et (17,18,18). La composante Y du champ magnétique (Hy) a également été échantillonné à deux endroits : (17,18,24) et (17,18,17). Ces échantillons sont présentés aux Tableaux 5.3 et 5.4. La stimulation est une onde plane dont la forme est un pulse gaussien. Cette vérification s'effectue à haute fréquence et ne sert uniquement à vérifier le bon fonctionnement du moteur de calcul à haute fréquence.

**Tableau 5.3 : Échantillons de référence calculés par le logiciel FDTD en FORTRAN**

| Itération | Ex         |            | Hy         |            |
|-----------|------------|------------|------------|------------|
|           | (17,18,25) | (17,18,18) | (17,18,24) | (17,18,17) |
| 10        | 0.00E+00   | 0.00E+00   | 0.00E+00   | 0.00E+00   |
| 100       | -8.31E+02  | -3.04E+02  | -1.93E+00  | 1.53E+00   |
| 150       | -4.93E+02  | -9.20E+01  | -1.26E+00  | -9.51E-01  |
| 200       | -3.91E+01  | -6.91E+01  | 1.05E-01   | -1.08E-01  |
| 256       | -3.65E+01  | -4.32E+01  | 1.30E-01   | 4.92E-02   |

**Tableau 5.4 : Échantillons calculés par le logiciel FDTD programmé en C++**

| Itération | Ex         |            | Hy         |            |
|-----------|------------|------------|------------|------------|
|           | (17,18,25) | (17,18,18) | (17,18,24) | (17,18,17) |
| 10        | 0.00E+00   | 0.00E+00   | 0.00E+00   | 0.00E+00   |
| 100       | -8.31E+02  | -3.04E+02  | -1.93E+00  | 1.53E+00   |
| 150       | -4.95E+02  | -9.23E+02  | -1.25E+00  | -9.49E-01  |
| 200       | -3.91E+01  | -6.41E+01  | 1.04E-01   | -1.28E-01  |
| 256       | -3.55E+01  | -4.23E+01  | 1.24E-01   | 4.32E-02   |

En comparant les deux tableaux précédents, on remarque que les valeurs après 256 itérations sont presque identiques. Ces légères différences peuvent être causées par plusieurs facteurs. Ces erreurs peuvent provenir de différences entre les librairies FORTRAN77 et C++, du compilateur, de plateforme d'exécution ou des erreurs d'arrondis dans le calcul des constantes. Malgré ces différences, on peut conclure à l'aune de ces résultats que le moteur de calcul FDTD que nous utilisons est fonctionnel.

#### **5.4 Courbes $EMG_{di}$ - $ECG$ expérimentales en fonction de la profondeur dans l'œsophage**

Des mesures de l'ECG et  $EMG_{di}$  ont été captées avec une électrode bipolaire standard. Plusieurs lectures ont été effectuées et notées en fonction de la profondeur du cathéter dans l'œsophage. L'insertion du cathéter a été effectuée par les voies nasales. La profondeur est calculée comme étant la distance séparant l'électrode du bout du nez. Ces lectures serviront à valider le simulateur FDTD qui devra obtenir des valeurs similaires.

Le but étant de valider le modèle informatique, nous devons comparer les résultats simulés aux résultats obtenus expérimentalement. Seule l'électrode bipolaire a été simulée. L'électrode bipolaire a une géométrie simple et elle est très facile à modéliser avec FDTD, ce qui n'est pas le cas avec l'électrode prototype. De plus, les résultats expérimentaux obtenus avec l'électrode bipolaire sont très accessibles.

Le peu de résultats expérimentaux que nous possédons avec l'électrode prototype ne nous permet ni de comparer ni de valider efficacement les résultats simulés avec cette

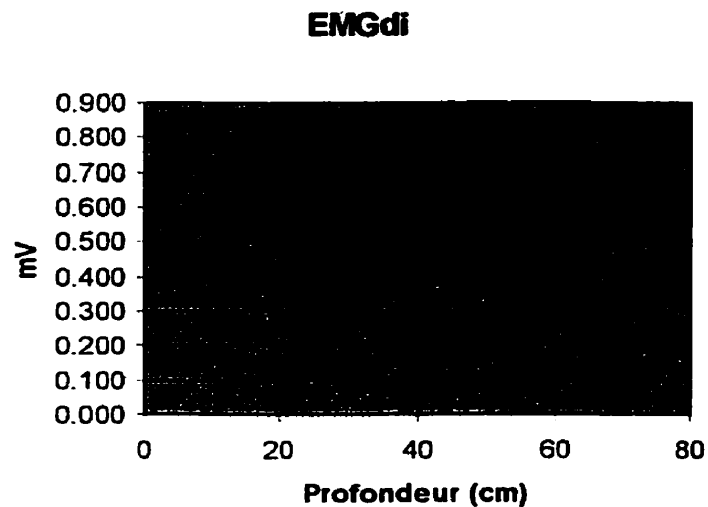
électrode prototype. La simulation de l'électrode prototype ne pourra être faite qu'après la validation du modèle informatique avec l'électrode bipolaire.

**Tableau 5.5 : Lectures EMG et ECG en fonction de la profondeur**

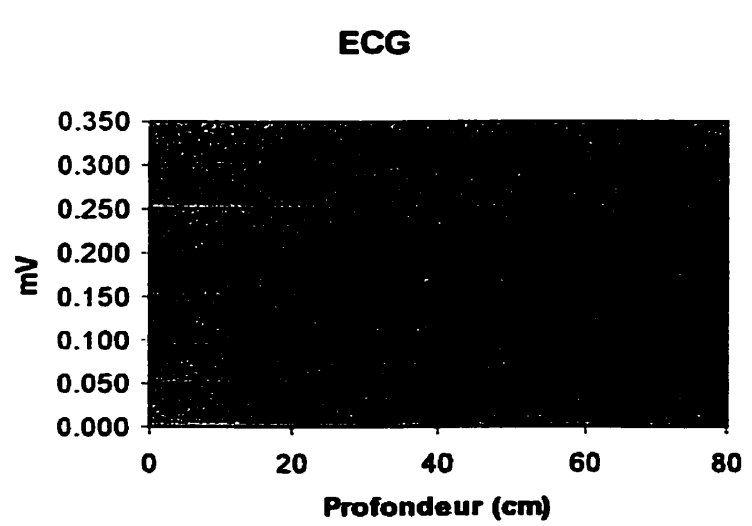
| Profondeur<br>(cm) | EMG <sub>di</sub><br>(mV) |       |       |   | ECG<br>(mV) |       |       |   |
|--------------------|---------------------------|-------|-------|---|-------------|-------|-------|---|
|                    |                           | 1     | 2     | 3 |             | 1     | 2     | 3 |
| 60                 | 0.202                     | -     | -     | - | 0.038       | -     | -     | - |
| 62.5               | 0.270                     | 0.140 | -     | - | 0.130       | 0.040 | -     | - |
| 66                 | 0.826                     | 0.794 | -     | - | 0.300       | 0.300 | -     | - |
| 71                 | 0.250                     | 0.200 | 0.200 | - | 0.190       | 0.270 | 0.160 | - |
| 75                 | 0.165                     | 0.100 | -     | - | 0.180       | 0.025 | -     | - |

Toutes les valeurs des colonnes 1, 2 et 3 du Tableau 5.5 n'ont pas été amplifiées et correspondent à la différence de potentiel qui a été observée directement aux bornes de l'électrode bipolaire. Les valeurs représentent l'amplitude maximale des signaux EMG<sub>di</sub> et ECG. Une première séance de lecture s'est effectuée en descendant l'électrode dans l'œsophage et une seconde séance de lecture en remontant l'électrode. Des lectures supplémentaires ont été effectuées aux endroits où les signaux EMG<sub>di</sub> et ECG étaient plus importants. Pour certaines profondeurs, plusieurs lectures ont été effectuées. C'est pour cela qu'on observe plusieurs mesures à la même profondeur. Ces mesures serviront à comparer les résultats simulés avec FDTD. On devrait normalement arriver à des valeurs similaires à celles du Tableau 5.5.

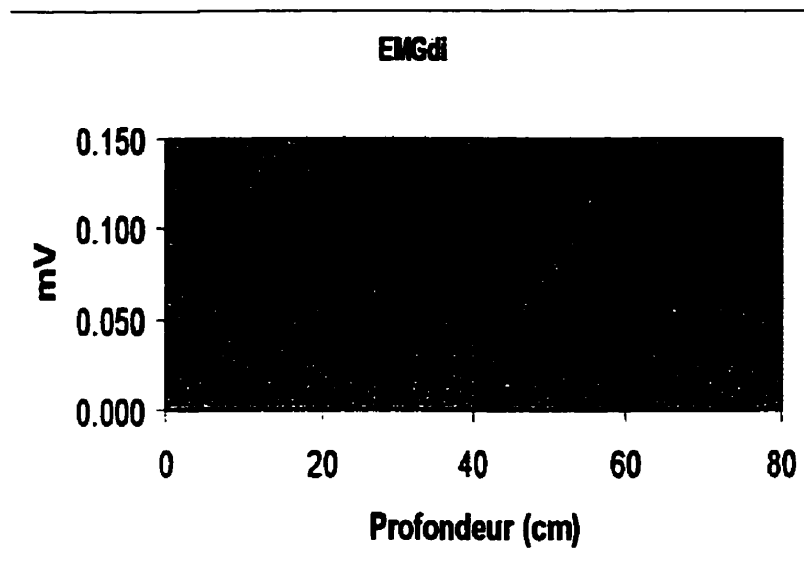
À partir du Tableau 5.5 on peut générer un graphique de l'amplitude maximale des signaux ECG et EMG<sub>di</sub> en fonction de la profondeur de l'électrode.



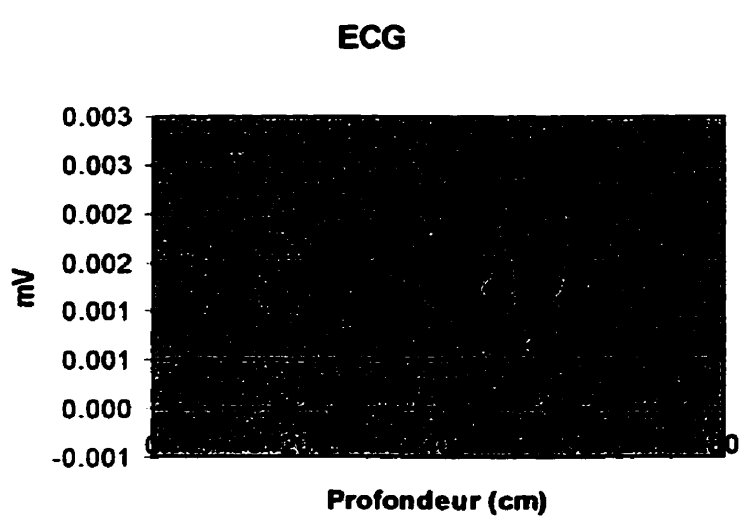
**Figure 5.6: Amplitude de l'EMGdi en fonction de la profondeur**



**Figure 5.7: Amplitude de l'ECG en fonction de la profondeur**



**Figure 5.8: Simulations EMGdi en fonction de la profondeur**



**Figure 5.9: Simulations ECG en fonction de la profondeur**

Les résultats qui viennent d'être présentés ont été simulés avec une électrode bipolaire modélisée avec FDTD. On peut observer que les courbes des lectures simulées sont loin

de ressembler à celles des courbes expérimentales. Ces courbes ont été obtenues à partir de simulations de 1000 itérations.

## Chapitre 6

### 6. Conclusion

Le travail qui a été réalisé depuis les deux dernières années peut se diviser en trois grandes parties. D'abord, du côté de l'instrumentation, il y a les aspects qui traitent des capteurs de pression et ceux d'une électrode prototype. Le dernier aspect de cette recherche concerne la mise au point d'un logiciel de mesure de propagation des signaux électromagnétiques, FDTD. Nous avons mis sur pied les bases nécessaires permettant l'utilisation de l'outil FDTD qui permet d'effectuer des simulations dans un milieu biologique à de très basses fréquences. Dans ce qui suit, nous soulignons les principales conclusions de ces trois activités complémentaires.

#### 6.1 Capteurs de pression

Plusieurs capteurs de pression ont été considérés afin de remplacer les capteurs de pression en latex. Des comparaisons entre les capteurs de pression à fibre optique, les ballons en latex et les capteurs de pression piézo-électriques ont été faites. L'application en question ne nécessite pas une précision extrême ni une réponse en fréquence très élevée. Dans ces conditions, les capteurs de pression piézo-électriques représentent le meilleur choix. En effet, ils sont très peu coûteux et très facile à fabriquer. De plus, notre expérience nous a démontré qu'une mince couche protectrice de silastic à sa surface

n'affecte aucunement les précisions des lectures. Cependant, il faut faire preuve d'une très grande agileté afin de fabriquer les micro-plaquettes sur lesquelles sont montés les capteurs de pression. Près d'une dizaine de capteurs de pression ont été fabriqués mais seulement deux ont fonctionné correctement. Les *fils d'interconnexion* reliant les plots de contact du capteur de pression à la micro-plaquette sont extrêmement fragiles. Il serait donc plus prudent de faire monter les capteurs de pression sur des substrats plus résistants et avec une colle protectrice. Il existe plusieurs compagnies qui ont la capacité d'effectuer de tels travaux miniaturisés.

## **6.2 L'électrode prototype**

Nous avons tenté de concentrer nos efforts en vue de filtrer l'ECG à la source, c'est-à-dire à même l'électrode. Nous avons voulu obtenir un signal exempt d'ECG dès la lecture. L'électrode prototype a été proposée dans cette optique. Cette proposition est le fruit de plusieurs années d'expérience avec une électrode bipolaire. Ces expériences montrent que la position de l'électrode bipolaire dans l'œsophage a un impact sur le ratio de puissance  $EMG_{di} / ECG$ . On croit qu'un meilleur contact autour du sphincter réduit l'apport de l'ECG et augmente l' $EMG_{di}$ .

Suite à cette proposition, une électrode prototype a été fabriquée afin de vérifier expérimentalement l'effet d'une telle électrode. Une seule expérience a été effectuée. Nous avons constaté que le ratio  $EMG_{di} / ECG$  avait augmenté de façon apparente. Plusieurs autres expériences cliniques auraient été nécessaires afin de bien valider et

justifier l'utilisation d'une telle électrode dans le but d'augmenter le ratio  $EMG_{di} / ECG$ . Cependant, plusieurs problèmes ont été rencontrés lors de la fabrication de l'électrode prototype. Le problème principal était le temps de durcissement du silastic. L'électrode expérimentale est une solution prometteuse au problème de la contamination de l'ECG mais sa validation est difficile. Nous avons donc proposé une méthode de validation effectuée à partir de simulations effectuées par ordinateur.

### **6.3 *Simulations FDTD***

Cette méthode a été proposée pour simuler l'impact d'une électrode quelconque quant à sa capacité de filtrer l'ECG. Le but est de construire un simulateur dans lequel on peut construire un modèle tridimensionnel du corps humain et dans lequel on y insérerait une électrode simulée. Le simulateur nous permettrait de modifier la géométrie du patient et de l'électrode dans le but de vérifier l'impact des multiples paramètres de l'électrode. Le but est de trouver les paramètres physiques qui rendent l'électrode prototype plus sensibles à l' $EMG_{di}$  et moins sensible à l'ECG.

La méthode FDTD consiste à échantillonner l'espace à des intervalles réguliers selon les trois axes de l'espace. Le calcul des champs électriques et magnétiques s'effectue plus rapidement pour ces échantillons que pour des éléments finis. Il y a toutefois des règles à respecter afin de garantir la stabilité et l'erreur à chaque échantillon.

La très petite taille des cellules (0.6mm) exige que l'incrément de temps entre deux itérations soit très petit (0.47  $\mu$ s). Avec un tel incrément de temps, le logiciel FDTD prend près de 214 580 itérations pour simuler une seule longueur d'onde à 10 Hz. Considérant qu'il faut environ 4 à 6 secondes pour simuler une unité de temps, il faudra plusieurs journées pour simuler une période complète. De plus, il faut simuler entre 4 à 6 périodes au minimum afin de permettre au simulateur d'entrer en régime permanent. Toutes ces conditions rendent plus difficile l'utilisation de FDTD.

### 6.3.1 Recommandations

Les résultats obtenus ne correspondent pas exactement aux attentes fixées au début de ce mémoire. Parmi les causes possibles d'erreur, on retrouve l'exactitude du modèle biologique utilisé. Une modélisation plus détaillée des organes et des tissus internes du thorax et une diminution de la taille des cellules augmenterait la précision et la validité du modèle informatique. Il existe un disque compact nommé *Labelled Visible Human* qui contient les images des plans de coupe d'un humain. La distance entre deux plans est de 1mm. Un modèle du thorax pourrait éventuellement être construit à partir de ces images. De plus, la taille des cellules du simulateur pourrait être diminué de 6mm à 1mm ou plus petit encore. Il est évident que de tels changements augmenteraient le temps d'exécution..

La permittivité des matériaux qui ont été utilisés dans les simulations sont modélisés comme étant linéaires en fréquence. Cela veut dire que leurs paramètres ne varient pas en fonction de la fréquence. Or, il en est autrement dans la nature. En effet, les matériaux

biologiques n'ont pas les mêmes caractéristiques à toutes les fréquences. Malgré tout, la variation de ces paramètres a été négligée. La modélisation des matériaux complexes pourrait ajouter de la précision aux simulations. Les matériaux complexes sont des matériaux dont les propriétés électriques changent de façon non-linéaire en fonction de la fréquence [29].

Une version presque complète du logiciel FDTD était disponible lorsque ce projet fut mis sur pied. Étant donné la disponibilité du logiciel, nous avons tenté de modifier le logiciel afin de mener des simulations à très basse fréquence. Nous savons très bien que la méthode FDTD est principalement utilisée pour des simulations à très hautes fréquences.

Quant au simulateur, nous avons utilisé des conditions de frontières absorbantes. Les conditions de frontières qui ont été utilisées dans notre simulateur ont été développées par Mur [18]. Ces conditions de frontières ne sont pas les meilleures pour absorber des signaux à faible fréquence. Il serait donc nécessaire de vérifier l'efficacité de ces conditions de frontières à de telles fréquences et d'en développer d'autres qui seraient plus performantes, telles les PML (Perfectly Matched Layer).

Lors de la validation du simulateur, nous avons constaté que la simulation du thorax avec une électrode bipolaire n'a pas donné les résultats escomptés. Le manque de ressemblance entre les valeurs des signaux  $EMG_{di}$  et ECG simulées et les lectures expérimentales serait vraisemblablement associé à l'utilisation du logiciel FDTD ainsi

qu'à la modélisation arbitraire des sources cardiaques et diaphragmatiques. Il est vrai que la taille des cellules dans le simulateur n'est pas très petite. Cependant, ce premier modèle thoracique, aussi imparfait soit-il, aurait dû donner des résultats suffisamment près des résultats obtenus en clinique. La divergence des résultats nous porte donc à croire que l'utilisation de la méthode FDTD n'est pas appropriée pour effectuer les simulations à de telles fréquences. À la lumière de ces explications, il serait préférable de considérer d'autres méthodes d'analyse afin d'étudier le comportement des électrodes œsophagiennes. Considérant les efforts et le temps requis pour développer un système de simulation informatique, il est important de s'assurer que les équations que nous voulons résoudre pourront être calculées dans un temps raisonnable, ce qui n'était pas nécessairement le cas avec FDTD. De plus, il faut savoir que le temps de développement d'un logiciel informatique peut devenir très imposant. La résolution de l'équation de Laplace qui s'applique à un milieu purement résistif serait plus propice dans un environnement comme le thorax. Les ressources informatiques requises pour résoudre l'équation de Laplace sont beaucoup moins importantes que celle requises par la méthode FDTD.

Enfin, il est important de souligner que le nombre d'heures de travail pour la programmation du simulateur FDTD surpassé le nombre d'heures qu'a exigé la fabrication d'une électrode prototype. De plus, cette électrode a donné des résultats intéressants puisque l'ECG lu par cette électrode avait diminué de moitié environ par rapport aux lectures effectuées avec l'électrode bipolaire. À ce stade de notre recherche,

la fabrication de prototypes d'électrodes semblerait intéressant comme approche plutôt que de procéder par simulation informatique. Il importe donc au futur chercheur d'améliorer le procédé de fabrication de prototypes d'électrodes, plus particulièrement en ce qui a trait au temps exagéré de durcissement du silastic.

## Bibliographie

- [1] HEMING, D. G., KO, W. H., NEUMAN, M.R., Indwelling and implantable pressure transducers, CRC Press, USA, 1975, 211p.  
Cote : R857T7I52
- [2] NEUMAN, Michael R., HEMING, David, CHEUNG, Peter W., KO, Wen H., Physical sensors for biomedical applications, CRC Press, 1977, 160p.  
Cote : R857T7P49
- [3] ZHILIN, V. G., Optical-Fiber velocity and pressure transducers, New York, 1990, 168p. Cote : TA1800Z4713
- [4] SYDENHAM, Peter, Transducers in measurements and control, 3<sup>rd</sup> ed., England, 1985, 112p. Cote : TJ223T7S92
- [5] GAMBARDELLA, G., ZACCONE, C., CARDIA, E., TOMASELLO, F., Intracranial pressure monitoring in children : comparison of external ventricular device with the fiberoptic system, Child's Nervous System, vol. 9, pp. 470-473, 1993
- [6] GARDNER, Reed M., Accuracy and reliability of disposable pressure transducers coupled with modern pressure monitors, Critical Care Medicine, vol. 24, pp. 879-882, Mai 1996
- [7] WOLTHUIS, Roger, MITCHELL, Gordon, HARTL, James, SAASKI, Eltric, Development of a Dual Function Sensor System for Measuring Pressure and Temperature at the Tip of a Single Optical Fiber, IEEE transactions on biomedical engineering, vol. 40, no. 3, pp. 298-302, mars 1993
- [8] NARENDRAN, Nadarajah, CORBO, Mark A., SMITH, William, Fiber Optic Pressure Sensor for Biomedical Applications, ASAIO Journal, Vol. 42, pp.M500-M505, Sept-Oct 1996
- [9] GOODYER, Paul, FOTHERGILL, John C., JONES, N.B., HANNING, Christopher D., The Design of an Optical Fiber Pressure Transducer for Use in the Upper Airways, IEEE transactions on biomedical engineering, vol. 43, no. 6, pp. 600-605, juin 1996

- [10] SONG, James T., ROZANSKI, Thomas A., BELVILLE, William D., Stress leak pressure : a simple and reproducible method utilizing a fiberoptic microtransducer, Urology, vol. 46, no. 1, pp. 81-84, 1995
- [11] COBBOLD, Richard S.C., Transducers for biomedical measurements : Principles and Applications, 1974, John Wiley & Sons, 486 p.
- [12] GEDDES, L. A., Principles of Applied Biomedical Instrumentation, 1989, John Wiley & Sons, 961p
- [13] ÖNAL, E., LOPATA, M., ALAN,G., O'CONNOR, T., Diaphragmatic EMG and Transdiaphragmatic Pressure Measurements with a Single Catheter, Nov. 1981, Am Rev Respir Dis, Vol. 124, No. 5, pp. 563-565.
- [14] YEE, K., Numerical Solution of Initial Boundary Value Problems Involving Maxwell's Equations in Isotropic Media, May. 1966, IEEE tr. Ant. & Prop., Vol. AP-14, No. 3, pp 302-307
- [15] ENGQUIST, B., MAJDA, A., Absorbing Boundary Conditions for the Numerical Simulation of Waves, July 1977, Mathematics of Computation, Vol. 31, No. 139, pp. 629-651
- [16] GEDDES, L.A., BAKER, L.E., The Specific Resistance of Biological Material – A Compendium of Data for the Biomedical Engineer and Physiologist, 1967, Med. & Biol. Engng., Vol. 5, pp. 271-293
- [17] LUEBBERS, Raymond, Finite Differences Time Domain Method for Electromagnetics, CRC Press, 1993
- [18] MUR, Gerrit, Absorbing Boundary Conditions for the Finite-Difference Approximation of the Time-Domain Electromagnetic-Field Equations, Nov. 1981, IEEE tr. Electromag. Compatibility, Vol. EMC-23, No. 4, pp. 377-382
- [19] REDFERN, M.S., HUGHES, R. E. CHAFFIN, D.B., High-pass filtering to remove electrocardiographic interferences from torso EMG recordings, 1993, Clin. Biomech., Vol. 8, pp. 44-48
- [20] BARTOLO, A., ROBERTS, C., DZWONCZYK, R.R., GOLDMAN, E., Analysis of diaphragm EMG signals : comparison of gating vs. Subtraction for removal of ECG contamination, 1996, J. Appl. Physiol, Vol. 80, No. 6, pp. 1898-1902

- [21] LEVINE, S., GILLEN, J., WEISER, P., GILLEN, M., KWATNY, E., Description and validation of an ECG removal procedure for EMGdi power spectrum analysis, 1986, J. Appl. Physiol., Vol. 60, No. 3, pp. 1073-1081
- [22] Silicon Microstructures, <http://www.exar.com>
- [23] Numerical Recipies, <http://www.nr.com>
- [24] SAVARD, Pierre, Physiologie Cardio-Vasculaire – Du potentiel d'action à l'électrocardiogramme, Institut de génie biomédical
- [25] Nusil, <http://www.nusil.com>
- [26] TRA-CON silicones, <http://www.tra-con.com>
- [27] Cooner Wire, <http://www.coonerwire.com>
- [28] Microdyne Inc., Ohio, 1-800-872-3963
- [29] MROZOWSKI, Michal, STUCHLY, Maria, Parameterization of Media Dispersive Properties for FDTD, IEEE tr. Ant & Prop, Vol. 45, No. 9, Sep 1997, pp. 1438-1439
- [30] DE MOERLOOSE, Jan, DAWSON, Trevor, STUCHLY, Maria, Application of the finite difference time domain algorithm to quasi-static field analysis, Radio Science, Vol. 32, No. 2, March-April 1997, pp329-341
- [31] FURSE, C.M., GANDHI, O.P., Calculation of Electric Fields and Currents Induces in a Millimeter-Resolution Human Model at 60Hz Using the FDTD Method, Bioelectromagnetics, 1998, Vol. 19, No. 5, pp. 293-299
- [32] NETTER, Frank H., Atlas of Human Anatomy, Novartis, 1989, p. 224
- [33] Labeled Visible Human, CD-ROM, Research Systems, Boulder, CO.
- [34] CRC Handbook of biological effects of electromagnetic fields, POLK, C., POSTOW, E., eds, CRC Press Inc, Boca Raton, p. 88, 1986
- [35] KRAUS, J.D., Electromagnetics, McGraw Hill Inc, New York, p.552, 1992
- [36] SAVARD, P., ACKAOUI, A., GULRAJANI, RM., NADEAU, RA., ROBERGE, RA, GUARDO, R., Localization of cardiac ectopic activity by a single moving

- dipole in man. Comparison of different computation techniques, J of  
Electrocardiol, 18:211-222, 1985
- [37] SHAHIDI, V., SAVARD, P., NADEAU, RA., The forward and inverse problems  
of electrocardiography: modeling and recovery of epicardial potentials in humans,  
IEEE Trans on BME, 41:249-256, 1994a
- [38] SHAHIDI, V., SAVARD, P., Finite element modeling of the human torso, Med  
and Biol Eng and Comput, 32:S25-33, 1994b

**Annexe A****Code source en C++ du logiciel FDTD**

```

Tabulation : .27
  < courier new.
  main.cpp

1  /////////////////////////////////////////////////////////////////////
2  // ///////////////////////////////////////////////////////////////////
3  // /////////////////////////////////////////////////////////////////// MAIN.CPP ( 18.09.97) ///////////////////////////////////////////////////////////////////
4  // ///////////////////////////////////////////////////////////////////
5  // ///////////////////////////////////////////////////////////////////
6  /////////////////////////////////////////////////////////////////////
7
8  /////////////////////////////////////////////////////////////////////
9  #include <stdio.h>
10 #include <stdlib.h>
11 #include <ctype.h>
12 #include <math.h>
13 #include <time.h>
14 #include <malloc.h>
15 #include <string.h>
16 #include "ordi.h" // Verification de l'emplacement de compilation
17 #ifdef _HOME
18     #include <io.h> // Non necessaire a Poly
19     #include <conio.h> // Non compatible sur UNIX!!!
20 #endif
21 ///////////////////////////////////////////////////////////////////
22 #include "constantes.h" // Definition des constantes
23 #include "Type.h" // Module de definition des types simples
24 #include "elem3D.h" // Definition de la classe elem3D
25 #include "TABLEAUX.H" // Definition de la classe tableaux ( tableau 3D
implante ds un tableau 1D)
26 #include "ESPACES3.H" // Classe de description d'un espace 3D de cellules
27 #include "TYPE2.H" // Instanciation des classes elem3D et espaces
28 #include "VAR_ENV.H" // Variables d'environnement
29 #include "var_env_comp.h" // Constantes de calcul derivant des var d'environnement
30 #include "basic_file_io.h" // Module d'E/S sur disque -- Luc Romain
31 #include "material.h" // Classe de description des materiaux
32 #include "material_computing.h" // Description des materiaux augmentee des constantes de
calcul
33 #include "orbc_comp_const.h" // Constantes de calcul des orbc (classe)
34 #include "material_table.h" // Module d'initialisation de la table des materiaux
35 #include "ei_fields.0.h" // Module de calcul des champs electriques incidents version
test
36 #include "Es_field.h" // Module de calcul des champs electriques diffuses
37 #include "hs_fields.h" // Module de calcul des champs magnetiques diffuses
38
39 #include "Orbc_xy.h" // Module de calcul des orbc version 1
40 #include "Orbc_xz.h" // Module de calcul des orbc version 1
41 #include "Orbc_yx.h" // Module de calcul des orbc version 1
42 #include "Orbc_yz.h" // Module de calcul des orbc version 1
43 #include "Orbc_zx.h" // Module de calcul des orbc version 1
44 #include "Orbc_zy.h" // Module de calcul des orbc version 1
45 #include "build.h" // Construction de l'objet : sphere pour tests.
46 /*
47             << Luc Romain, 15 juin 1998 >>
48 */
49 #include "LChain.h"
50 #include "save_data.h" // Module de sauvegarde des champs (plans)
51 #include "Electrode.h" // Module de fabrication de l'electrode
52 #include "dipole.h" // Module dipole
53 #include "coeur.h" // Module de l'objet coeur

```

```

54 #include "update.h"                                // Module d'affichage de progres
55 #include "save_space.h"                           // Module de sauvegarde en format MATLAB
56 #include "restore.h"                            // Module de CRASH RECOVERY
57 #include "diaphragme2.h"
58 //##include "wiretest.h"
59 #####//#####
60
61 void main(void)
62 {
63     //----- Minuterie -----
64     time_t start, finish,step1;
65     time( &start );
66     //----- Variables -----
67     // Valeurs par defaut.
68     char plan;                                // plan de sauvegarde
69     char org_slct;                            // Selection de l'organe de polarisation
70     typ_material cmat, dmat; // Materiaux coeur et diaphragme
71     char Quit;
72     char repertoire[20]; // Repertoire de sauvegarde
73     char inirep[20];
74     int alt;                                // altitude du plan de sauvegarde
75     int GO;                                // pas initial
76
77     int Step=1,st;
78     int stmx, stmn;
79     // temps min et max de sauvegarde
80     int Dimx=70,Dimy=40,Dimz=90;
81     // int Dimx=20,Dimy=20,Dimz=20;
82     typ_distance CellSize=0.006;           // Taille
d'une cellule
83     typ_coeff WaveAmplitude = 0.0;
84     // typ_coeff WaveAmplitude = 1000.0;
85     typ_coeff time_swap;
86     bool newsim;
87
88     work_dir(inirep,repertoire,&newsim,"dir.ini");
89
90
91     if(!newsim)
92     {
93         printf ("----- Restoring stored simulation variables ");
94         newsim=restore_variables(&Dimx,&Dimy,&Dimz,&CellSize,
95
&WaveAmplitude,&GO,&time_swap,inirep,"var.ini");
96     }
97
98
99     var_env BaseEnv(CellSize,CellSize,CellSize); // Environnement
associe
100    var_env_comp CompEnv(BaseEnv, WaveAmplitude); // Const de calcul
d'environnement
101
102
103    cellule_champs CellNoField (0.0,0.0,0.0);
104    cellule_physique CellFreeSpace(0.0,0);
105

```

```

106     material_computing      MaterialTable[11];
107
108     espace_champs           ElcFields(0,0,0,Dimx,Dimy,Dimz);           // Espace des champs
electriques
109     espace_champs           MagFields(0,0,0,Dimx,Dimy,Dimz);           // Espace des champs
magnetiques
110     espace_physique         PhysSpace(0,0,0,Dimx,Dimy,Dimz);           // Espace physique (
materiaux)
111
112     tab_for_orbc           Exy1(Dimx,4,Dimz),Exy2(Dimx,4,Dimz);
113     tab_for_orbc           Exz1(Dimx,Dimy,4),Exz2(Dimx,Dimy,4);
114     tab_for_orbc           Eyx1(4,Dimy,Dimz),Eyx2(4,Dimy,Dimz);
115     tab_for_orbc           Eyz1(Dimx,Dimy,4),Eyz2(Dimx,Dimy,4);
116     tab_for_orbc           Ezx1(4,Dimy,Dimz),Ezx2(4,Dimy,Dimz);
117     tab_for_orbc           Ezy1(Dimx,4,Dimz),Ezy2(Dimx,4,Dimz);
118
119     // Coefficients pour le calcul des champs aux frontieres
120     orbc_const              CoefOrbcX(BaseEnv,'X');
121     orbc_const              CoefOrbcY(BaseEnv,'Y');
122     orbc_const              CoefOrbcZ(BaseEnv,'Z');
123
124     BasicFileIO Fe1(repertoire,"ef1.m","wb"); // write mode
125     BasicFileIO Fe2(repertoire,"ef2.m","wb");
126     BasicFileIO Source(repertoire,"source.m","wb");
127
128
129
130
131
132
133
134     //----- Fin declaration variables -----
135
136
137     //----- Initialisations objets -----
138
139     printf("----- Organe de polarisation: (C)oeur, (D)ia ou (T)ous? ");
140     org_slct=toupper(getchar());
141
142     switch (org_slct)
143     {
144     case 'D':
145         dmat=2; // Diaphragme = antenne
146         cmat=8; // Coeur = passif
147         break;
148     case 'C':
149         dmat=9; // Diaphragme = passif
150         cmat=2; // Coeur = antenne
151         break;
152     case 'T':
153         dmat=2;
154         cmat=2;
155         break;
156     }
157
158     printf ("##### Initialisations ##### ");
159     printf ("----- Table des materiaux ");
160
161     set_material_table_file(MaterialTable,BaseEnv);

```

```

162
163     if(newsim)
164     {
165         GO=1;           // Premier pas de simulation (Step)
166         printf ("----- Espaces des champs ");
167         ElcFields.init(CellNoField);
168         MagFields.init(CellNoField);
169         printf ("----- Espace physique (materiaux) ");
170         PhysSpace.init(CellFreeSpace);
171         printf ("----- Tableaux pour ORBC ");
172         Exy1.init(CHAMP_NUL);    Exy2.init(CHAMP_NUL);
173         Exz1.init(CHAMP_NUL);    Exz2.init(CHAMP_NUL);
174         Eyx1.init(CHAMP_NUL);    Eyx2.init(CHAMP_NUL);
175         Eyz1.init(CHAMP_NUL);    Eyz2.init(CHAMP_NUL);
176         Ezx1.init(CHAMP_NUL);    Ezx2.init(CHAMP_NUL);
177         Ezyl.init(CHAMP_NUL);    Ezy2.init(CHAMP_NUL);
178         printf ("----- Temps ");
179         CompEnv.time=0.0;
180     }
181 else
182 {
183     Fe1.set_mode("a+b");    // Append mode.
184     Fe2.set_mode("a+b");
185     Source.set_mode("a+b");
186
187     printf ("----- Espaces des champs      [LOADING] ");
188     restore_field(&ElcFields,inirep,"efld.ini");
189     restore_field(&MagFields,inirep,"mfld.ini");
190     printf ("----- Espace physique      [LOADING]  ");
191     restore_space(&PhysSpace,inirep,"phsp.ini");
192
193     printf ("----- Tableaux pour ORBC      [LOADING]  ");
194
195     restore_orbc(&Exy1,inirep,"exy1.ini");
196     restore_orbc(&Exy2,inirep,"exy2.ini");
197     restore_orbc(&Exz1,inirep,"exz1.ini");
198     restore_orbc(&Exz2,inirep,"exz2.ini");
199     restore_orbc(&Eyx1,inirep,"eyx1.ini");
200     restore_orbc(&Eyx2,inirep,"eyx2.ini");
201     restore_orbc(&Eyz1,inirep,"eyz1.ini");
202     restore_orbc(&Eyz2,inirep,"eyz2.ini");
203     restore_orbc(&Ezx1,inirep,"ezx1.ini");
204     restore_orbc(&Ezx2,inirep,"ezx2.ini");
205     restore_orbc(&Ezyl,inirep,"ezyl.ini");
206     restore_orbc(&Ezy2,inirep,"ezy2.ini");
207
208     printf ("----- Temps                  [LOADING] ");
209     CompEnv.time=time_swap; // restauration du temps.
210
211 }
212
213     printf ("----- Parametres MATLAB ");
214     restore_plane_parameters(&plan,&alt,&stmn,&stmx,&st,inirep,"planp.ini");
215     printf(" %c[%d] %d --> %d",toupper(plan),alt,stmn,stmx);
216     printf ("----- Total execution steps --> %d",st);
217
218     CompEnv.maj_delay(Dimx, Dimy, Dimz);
219     // vrai modele
220

```

```

221     printf ("----- Construction de l'espace");
222     // La ligne suivante peut être un problème... 30aout1999 LR
223     cube(1,1,1,69,39,89,5,PhysSpace);
224     printf ("----- Construction du modèle  ");
225     printf ("----- Thorax");
226     buildellipse(21,8,35,20,5,78,3,PhysSpace); // Thorax
227     ext_ellipse(4,21,8,35,20,5,78,6,PhysSpace); // Exterieur
228     //printf ("----- Oesophage");
229     //buildcylindre(1,35,20,50,77,9,PhysSpace); // Oesophage
230     //buildcylindre(1,35,20,50,77,10,PhysSpace); // Eau dans oesophage
231
232     diaphragme2 diaphragme(35,20,55,dmat,&ElcFields,&PhysSpace,CompEnv);
233     Coeur coeur(&ElcFields,&PhysSpace,CompEnv,45,20,60,3,cmat);
234
235
236     // Construction par fichier : elec_specs.ini
237     Electrode e1(&ElcFields,&PhysSpace);
238     /*
239     Electrode e1(35,20,46,2,2,1,1,4,&ElcFields,&PhysSpace);
240     Electrode e2(35,20,48,2,2,1,1,4,&ElcFields,&PhysSpace);
241     Electrode e3(35,20,50,2,2,1,1,4,&ElcFields,&PhysSpace);
242     Electrode e4(35,20,52,2,2,1,1,4,&ElcFields,&PhysSpace);
243     Electrode e5(35,20,54,2,2,1,1,4,&ElcFields,&PhysSpace);
244     Electrode e6(35,20,56,2,2,1,1,4,&ElcFields,&PhysSpace);
245     Electrode e7(35,20,58,2,2,1,1,4,&ElcFields,&PhysSpace);
246     */
247     // Electrode e1(35,20,60,1,10,1,0,4,&ElcFields,&PhysSpace);
248     /*
249     cube(1,1,1,19,19,0,PhysSpace);
250     Coeur coeur(&ElcFields,&PhysSpace,CompEnv,12,12,12,1,2);
251     WireTest wiretest(6,9,6,8,1,3,&ElcFields,&PhysSpace);
252     // buildellipse(5,2,10,10,6,14,3,PhysSpace);
253     // Electrode e1(5,5,10,3,3,2,1,4,&ElcFields,&PhysSpace);
254     /*
255     // ----- Construction de l'electrode -----
256
257
258     printf ("##### Initialisations OK ##### ");
259
260
261     printf ("##### Calcul des champs ##### ");
262
263 // -----
264 // -
265 // ----- Debut des calculs -----
266 // -
267 // -----
268
269     time(&step1);
270     Quit=32;
271     Step=GO;
272     //for (Step=GO; Step<=st;Step++)
273     while((Step<=st)&&(Quit!='Q'))
274     {
275
276     #ifdef _HOME
277         if(_kbhit())

```

```

278     {
279         Quit=toupper(_getch());
280         if(Quit=='F')
281         {
282             if(_flushall())
283                 printf("----- All Buffers Flushed.");
284             else
285                 printf("----- Error: Flushall() failed!");
286         }
287     }
288 #endif
289
290
291     aff_progres(&step1,GO,Step,st);
292
293     coeur.polarise(CompEnv.time);
294     diaphragme.polarise(CompEnv.time);
295
296     // ----- Champs electriques -----
297     electric_scattered_fields
298         (ElcFields,MagFields,PhysSpace,MaterialTable,CompEnv);
299
300
301     // ----- Orbc -----
302     orbc_yx(ElcFields,Eyx1,Eyx2,CoefOrbcX);
303     orbc_zx(ElcFields,Ezx1,Ezx2,CoefOrbcX);
304     orbc_zy(ElcFields,Ezy1,Ezy2,CoefOrbcY);
305     orbc_xy(ElcFields,Exy1,Exy2,CoefOrbcY);
306     orbc_xz(ElcFields,Exz1,Exz2,CoefOrbcZ);
307     orbc_yz(ElcFields,Eyz1,Eyz2,CoefOrbcZ);
308
309     // Increment d'un demi pas de temps
310     CompEnv.time= CompEnv.time + 0.5 * CompEnv.dt;
311
312
313     //----- Champs magnetiques -----
314     magnetic_scattered_fields
315         (ElcFields, MagFields, PhysSpace, MaterialTable[0]);
316
317
318     //     printf("/n ----- Sauvegarde des champs ----- ");
319
320     if((Step>=stmn)&&(Step<=stmx))
321         if(Step%200==0) // Sauvegarde a chaque X pas.
322         {
323             if(!save_plane(repertoire,plan,alt,Step,ElcFields,MagFields))
324                 printf("Erreur de sauvegarde du plan...");
```

```

337      /*
338      Fe1.write_to_file(e1.delta_e()*CompEnv.dz);
339      Fe1.write_to_file(e2.delta_e()*CompEnv.dz);
340      Fe1.write_to_file(e3.delta_e()*CompEnv.dz);
341      Fe1.write_to_file(e4.delta_e()*CompEnv.dz);
342      Fe1.write_to_file(e5.delta_e()*CompEnv.dz);
343      Fe1.write_to_file(e6.delta_e()*CompEnv.dz);
344      Fe1.write_to_file(e7.delta_e()*CompEnv.dz);
345      Fe1.write_to_file("");
346
347      Fe2.write_to_file(e1.delta_eb()*CompEnv.dz);
348      Fe2.write_to_file(e2.delta_eb()*CompEnv.dz);
349      Fe2.write_to_file(e3.delta_eb()*CompEnv.dz);
350      Fe2.write_to_file(e4.delta_eb()*CompEnv.dz);
351      Fe2.write_to_file(e5.delta_eb()*CompEnv.dz);
352      Fe2.write_to_file(e6.delta_eb()*CompEnv.dz);
353      Fe2.write_to_file(e7.delta_eb()*CompEnv.dz);
354      Fe2.write_to_file("");
355      */
356      Source.writexyz_to_file(ElcFields.get(40,15,65).cx(),
357                             ElcFields.get(40,15,65).cy(),ElcFields.get(40,15,65).cz());
358
359
360
361      Fe1.write_to_file(e1.delta_e()*CompEnv.dz);
362      Fe1.write_to_file(e1.delta_eb()*CompEnv.dz);
363      Fe1.write_to_file("");
364
365      /*
366      Fe1.write_to_file(wiretest.deltav1()*CompEnv.dy);
367      Fe1.write_to_file(wiretest.deltav2()*CompEnv.dy);
368      //Fe1.write_to_file(wiretest.delwir1()*CompEnv.dx);
369      //Fe1.write_to_file(wiretest.delwir2()*CompEnv.dx);
370      Fe1.write_to_file("");
371
372      Source.writexyz_to_file(ElcFields.get(10,12,12).cx(),
373                             ElcFields.get(10,12,12).cy(),ElcFields.get(10,12,12).cz());
374      */
375      //printf("_elec = %4.4e ,%4.4e",e1.delta_e(),e1.delta_eb());
376
377
378
379      // ----- Increment d'un demi pas de temps -----
380      CompEnv.time= CompEnv.time + 0.5 * CompEnv.dt;
381
382      Step++;
383  }
384
385  time( &finish );
386  if(Quit=='Q')
387    printf("----- Simulation terminated by user");
388
389  Fe1.close_file();
390  Fe2.close_file();
391  Source.close_file();
392
393  /*
394  -----
395

```

CRASH RECOVERY

```

396
397      -----
398  */
399
400      // Sauvegarde du champ électrique.
401
402      printf("----- Saving Parameters -----");
403      printf("----- Saving Electric Fields ...");
404      save_field(&ElcFields,inirep,"efld.ini");
405      printf("----- Saving Magnetic Fields ...");
406      save_field(&MagFields,inirep,"mfld.ini");
407      printf("----- Saving Physical space... ");
408      save_space(&PhysSpace,inirep,"phsp.ini");
409      printf("----- ORBC -");
410      save_orbc(&Exy1,inirep,"exy1.ini"); printf(" 1");
411      save_orbc(&Exy2,inirep,"exy2.ini");printf(" 2");
412      save_orbc(&Exz1,inirep,"exz1.ini");printf(" 3");
413      save_orbc(&Exz2,inirep,"exz2.ini");printf(" 4");
414      save_orbc(&Eyx1,inirep,"eyx1.ini");printf(" 5");
415      save_orbc(&Eyx2,inirep,"eyx2.ini");printf(" 6");
416      save_orbc(&Eyz1,inirep,"eyz1.ini");printf(" 7");
417      save_orbc(&Eyz2,inirep,"eyz2.ini");printf(" 8");
418      save_orbc(&Ezx1,inirep,"ezx1.ini");printf(" 9");
419      save_orbc(&Ezx2,inirep,"ezx2.ini");printf(" 10");
420      save_orbc(&Ezy1,inirep,"ezy1.ini");printf(" 11");
421      save_orbc(&Ezy2,inirep,"ezy2.ini");printf(" 12");
422      printf("----- Saving MATLAB parameters... ");
423      save_plane_parameters(plan,alt,stmn,stmx,st,inirep,"planc.ini");
424      printf("----- Saving simulation parameters... ");
425      save_sim_parameters(Dimx,Dimy,Dimz,CellSize,WaveAmplitude,Step,CompEnv.time,
426                           inirep,"var.ini");
427      printf("*****CORE SAVED*****");
428
429
430      // Fin de la procedure de CRASH RECOVERY;
431
432      printf ("##### RESULTATS ##### ");
433
434      printf ("-----");
435      printf ("Temps apres %d iterations : %e",Step,CompEnv.time);
436      printf ("-----");
437      printf ("Computations take %6.0f seconds.", difftime(finish,start));
438      printf ("-----");
439      printf ("Increment de temps dt: %e",CompEnv.dt);
440      printf ("Vitesse de la lumiere: %e,C");
441      printf ("-----");
442      printf ("terminated successfully.");
443
444  };
445
446

```

```
basic_file_io.h

1  //////////////////////////////////////////////////////////////////
2  // BasicFileIO
3  //-----//
4  // Cette classe gère les accès de base au disque.
5  //-----//
6  // Elle fait la gestion de l'ouverture ainsi que la fermeture des
7  // fichiers. Elle permet également d'effectuer des lectures, des
8  // écritures ainsi que des déplacements dans un fichier.
9  //-----//
10 // Auteur: Luc Romain
11 // Date: 15 septembre 1998
12 //-----//
13 // Dernière modification: Aucune
14 //-----//
15 class BasicFileIO
16 {
17 public:
18     // ----- Constructeurs -----
19     BasicFileIO(char *rep,char *filename,char *Mode)
20     {
21         sprintf(file_name,"%s%s",rep,filename);
22         initOK=true;
23         file_open=false;
24         sprintf(mode,"%s",Mode);
25     };
26
27     bool init(char *rep,char *filename,char *Mode)
28     {
29         sprintf(file_name,"%s%s",rep,filename);
30         file_open=false;
31         initOK=true;
32         sprintf(mode,"%s",Mode);
33         return(true);
34     };
35
36     BasicFileIO()
37     {
38         initOK=false;
39     };
40
41     // ----- Destructeur -----
42
43     ~BasicFileIO(void)
44     {
45         if(file_open)
46         {
47             fclose(file_handle);
48             file_open=false;
49         }
50     };
51 }
```

```
52 //-----//  
53 // write_to_file(...)  
54 //-----//  
55 // Cette fonction ouvre le fichier, écrit *str au fichier puis ferme le  
56 // fichier.  
57 //-----//  
58 // Luc Romain, 29 septembre 1998  
59 //-----//  
60  
61     bool write_to_file(char *str)  
62     {  
63         if(!initOK)  
64             return(false);  
65         else  
66         {  
67             if(!file_open)  
68             {  
69                 if(!open_file(mode))  
70                 {  
71                     initOK=false;  
72                     return(false);  
73                 }  
74                 file_open=true;  
75             }  
76             fprintf(file_handle,"%s",str);  
77             return(true);  
78         }  
79     };  
80  
81 //-----//  
82 // write_to_file(...)  
83 //-----//  
84 // Cette fonction ouvre le fichier, écrit la valeur "value" au fichier puis //  
85 // ferme le fichier.  
86 // La fonction ne ferme pas le fichier apres execution... ATTENTION!!! //  
87 //-----//  
88 // Luc Romain, 29 septembre 1998  
89 //-----//  
90  
91     bool write_to_file(typ_champ value)  
92     {  
93         if(!initOK)  
94             return(false);  
95         else  
96         {  
97             if(!file_open)  
98             {  
99                 open_file(mode);  
100                 file_open=true;  
101             }  
102             fprintf(file_handle, " %c", value);  
103             return(true);  
104         }  
105     }  
106  
107  
108  
109  
110  
111  
112  
113  
114  
115  
116  
117  
118  
119  
120  
121  
122  
123  
124  
125  
126  
127  
128  
129  
130  
131  
132  
133  
134  
135  
136  
137  
138  
139  
140  
141  
142  
143  
144  
145  
146  
147  
148  
149  
150  
151  
152  
153  
154  
155  
156  
157  
158  
159  
160  
161  
162  
163  
164  
165  
166  
167  
168  
169  
170  
171  
172  
173  
174  
175  
176  
177  
178  
179  
180  
181  
182  
183  
184  
185  
186  
187  
188  
189  
190  
191  
192  
193  
194  
195  
196  
197  
198  
199  
200  
201  
202  
203  
204  
205  
206  
207  
208  
209  
210  
211  
212  
213  
214  
215  
216  
217  
218  
219  
220  
221  
222  
223  
224  
225  
226  
227  
228  
229  
230  
231  
232  
233  
234  
235  
236  
237  
238  
239  
240  
241  
242  
243  
244  
245  
246  
247  
248  
249  
250  
251  
252  
253  
254  
255  
256  
257  
258  
259  
260  
261  
262  
263  
264  
265  
266  
267  
268  
269  
270  
271  
272  
273  
274  
275  
276  
277  
278  
279  
280  
281  
282  
283  
284  
285  
286  
287  
288  
289  
290  
291  
292  
293  
294  
295  
296  
297  
298  
299  
300  
301  
302  
303  
304  
305  
306  
307  
308  
309  
310  
311  
312  
313  
314  
315  
316  
317  
318  
319  
320  
321  
322  
323  
324  
325  
326  
327  
328  
329  
330  
331  
332  
333  
334  
335  
336  
337  
338  
339  
340  
341  
342  
343  
344  
345  
346  
347  
348  
349  
350  
351  
352  
353  
354  
355  
356  
357  
358  
359  
360  
361  
362  
363  
364  
365  
366  
367  
368  
369  
370  
371  
372  
373  
374  
375  
376  
377  
378  
379  
380  
381  
382  
383  
384  
385  
386  
387  
388  
389  
390  
391  
392  
393  
394  
395  
396  
397  
398  
399  
400  
401  
402  
403  
404  
405  
406  
407  
408  
409  
410  
411  
412  
413  
414  
415  
416  
417  
418  
419  
420  
421  
422  
423  
424  
425  
426  
427  
428  
429  
430  
431  
432  
433  
434  
435  
436  
437  
438  
439  
440  
441  
442  
443  
444  
445  
446  
447  
448  
449  
450  
451  
452  
453  
454  
455  
456  
457  
458  
459  
460  
461  
462  
463  
464  
465  
466  
467  
468  
469  
470  
471  
472  
473  
474  
475  
476  
477  
478  
479  
480  
481  
482  
483  
484  
485  
486  
487  
488  
489  
490  
491  
492  
493  
494  
495  
496  
497  
498  
499  
500  
501  
502  
503  
504  
505  
506  
507  
508  
509  
510  
511  
512  
513  
514  
515  
516  
517  
518  
519  
520  
521  
522  
523  
524  
525  
526  
527  
528  
529  
530  
531  
532  
533  
534  
535  
536  
537  
538  
539  
540  
541  
542  
543  
544  
545  
546  
547  
548  
549  
550  
551  
552  
553  
554  
555  
556  
557  
558  
559  
559  
560  
561  
562  
563  
564  
565  
566  
567  
568  
569  
569  
570  
571  
572  
573  
574  
575  
576  
577  
578  
579  
579  
580  
581  
582  
583  
584  
585  
586  
587  
588  
589  
589  
590  
591  
592  
593  
594  
595  
596  
597  
598  
599  
599  
600  
601  
602  
603  
604  
605  
606  
607  
608  
609  
609  
610  
611  
612  
613  
614  
615  
616  
617  
618  
619  
619  
620  
621  
622  
623  
624  
625  
626  
627  
628  
629  
629  
630  
631  
632  
633  
634  
635  
636  
637  
638  
639  
639  
640  
641  
642  
643  
644  
645  
646  
647  
648  
649  
649  
650  
651  
652  
653  
654  
655  
656  
657  
658  
659  
659  
660  
661  
662  
663  
664  
665  
666  
667  
668  
669  
669  
670  
671  
672  
673  
674  
675  
676  
677  
678  
679  
679  
680  
681  
682  
683  
684  
685  
686  
687  
688  
689  
689  
690  
691  
692  
693  
694  
695  
696  
697  
698  
699  
699  
700  
701  
702  
703  
704  
705  
706  
707  
708  
709  
709  
710  
711  
712  
713  
714  
715  
716  
717  
718  
719  
719  
720  
721  
722  
723  
724  
725  
726  
727  
728  
729  
729  
730  
731  
732  
733  
734  
735  
736  
737  
738  
739  
739  
740  
741  
742  
743  
744  
745  
746  
747  
748  
749  
749  
750  
751  
752  
753  
754  
755  
756  
757  
758  
759  
759  
760  
761  
762  
763  
764  
765  
766  
767  
768  
769  
769  
770  
771  
772  
773  
774  
775  
776  
777  
778  
779  
779  
780  
781  
782  
783  
784  
785  
786  
787  
788  
789  
789  
790  
791  
792  
793  
794  
795  
796  
797  
798  
799  
799  
800  
801  
802  
803  
804  
805  
806  
807  
808  
809  
809  
810  
811  
812  
813  
814  
815  
816  
817  
818  
819  
819  
820  
821  
822  
823  
824  
825  
826  
827  
828  
829  
829  
830  
831  
832  
833  
834  
835  
836  
837  
838  
839  
839  
840  
841  
842  
843  
844  
845  
846  
847  
848  
849  
849  
850  
851  
852  
853  
854  
855  
856  
857  
858  
859  
859  
860  
861  
862  
863  
864  
865  
866  
867  
868  
869  
869  
870  
871  
872  
873  
874  
875  
876  
877  
878  
879  
879  
880  
881  
882  
883  
884  
885  
886  
887  
888  
889  
889  
890  
891  
892  
893  
894  
895  
896  
897  
898  
899  
899  
900  
901  
902  
903  
904  
905  
906  
907  
908  
909  
909  
910  
911  
912  
913  
914  
915  
916  
917  
918  
919  
919  
920  
921  
922  
923  
924  
925  
926  
927  
928  
929  
929  
930  
931  
932  
933  
934  
935  
936  
937  
938  
939  
939  
940  
941  
942  
943  
944  
945  
946  
947  
948  
949  
949  
950  
951  
952  
953  
954  
955  
956  
957  
958  
959  
959  
960  
961  
962  
963  
964  
965  
966  
967  
968  
969  
969  
970  
971  
972  
973  
974  
975  
976  
977  
978  
979  
979  
980  
981  
982  
983  
984  
985  
986  
987  
988  
988  
989  
990  
991  
992  
993  
994  
995  
996  
997  
998  
999  
999  
1000  
1001  
1002  
1003  
1004  
1005  
1006  
1007  
1008  
1009  
1009  
1010  
1011  
1012  
1013  
1014  
1015  
1016  
1017  
1018  
1019  
1019  
1020  
1021  
1022  
1023  
1024  
1025  
1026  
1027  
1028  
1029  
1029  
1030  
1031  
1032  
1033  
1034  
1035  
1036  
1037  
1038  
1039  
1039  
1040  
1041  
1042  
1043  
1044  
1045  
1046  
1047  
1048  
1049  
1049  
1050  
1051  
1052  
1053  
1054  
1055  
1056  
1057  
1058  
1059  
1059  
1060  
1061  
1062  
1063  
1064  
1065  
1066  
1067  
1068  
1069  
1069  
1070  
1071  
1072  
1073  
1074  
1075  
1076  
1077  
1078  
1079  
1079  
1080  
1081  
1082  
1083  
1084  
1085  
1086  
1087  
1088  
1088  
1089  
1090  
1091  
1092  
1093  
1094  
1095  
1096  
1097  
1098  
1099  
1099  
1100  
1101  
1102  
1103  
1104  
1105  
1106  
1107  
1108  
1109  
1109  
1110  
1111  
1112  
1113  
1114  
1115  
1116  
1117  
1118  
1119  
1119  
1120  
1121  
1122  
1123  
1124  
1125  
1126  
1127  
1128  
1129  
1129  
1130  
1131  
1132  
1133  
1134  
1135  
1136  
1137  
1138  
1139  
1139  
1140  
1141  
1142  
1143  
1144  
1145  
1146  
1147  
1148  
1149  
1149  
1150  
1151  
1152  
1153  
1154  
1155  
1156  
1157  
1158  
1159  
1159  
1160  
1161  
1162  
1163  
1164  
1165  
1166  
1167  
1168  
1169  
1169  
1170  
1171  
1172  
1173  
1174  
1175  
1176  
1177  
1178  
1179  
1179  
1180  
1181  
1182  
1183  
1184  
1185  
1186  
1187  
1188  
1188  
1189  
1190  
1191  
1192  
1193  
1194  
1195  
1196  
1197  
1198  
1198  
1199  
1199  
1200  
1201  
1202  
1203  
1204  
1205  
1206  
1207  
1208  
1209  
1209  
1210  
1211  
1212  
1213  
1214  
1215  
1216  
1217  
1218  
1219  
1219  
1220  
1221  
1222  
1223  
1224  
1225  
1226  
1227  
1228  
1229  
1229  
1230  
1231  
1232  
1233  
1234  
1235  
1236  
1237  
1238  
1239  
1239  
1240  
1241  
1242  
1243  
1244  
1245  
1246  
1247  
1248  
1249  
1249  
1250  
1251  
1252  
1253  
1254  
1255  
1256  
1257  
1258  
1259  
1259  
1260  
1261  
1262  
1263  
1264  
1265  
1266  
1267  
1268  
1269  
1269  
1270  
1271  
1272  
1273  
1274  
1275  
1276  
1277  
1278  
1279  
1279  
1280  
1281  
1282  
1283  
1284  
1285  
1286  
1287  
1288  
1288  
1289  
1290  
1291  
1292  
1293  
1294  
1295  
1296  
1297  
1298  
1298  
1299  
1299  
1300  
1301  
1302  
1303  
1304  
1305  
1306  
1307  
1308  
1309  
1309  
1310  
1311  
1312  
1313  
1314  
1315  
1316  
1317  
1318  
1319  
1319  
1320  
1321  
1322  
1323  
1324  
1325  
1326  
1327  
1328  
1329  
1329  
1330  
1331  
1332  
1333  
1334  
1335  
1336  
1337  
1338  
1339  
1339  
1340  
1341  
1342  
1343  
1344  
1345  
1346  
1347  
1348  
1349  
1349  
1350  
1351  
1352  
1353  
1354  
1355  
1356  
1357  
1358  
1359  
1359  
1360  
1361  
1362  
1363  
1364  
1365  
1366  
1367  
1368  
1369  
1369  
1370  
1371  
1372  
1373  
1374  
1375  
1376  
1377  
1378  
1379  
1379  
1380  
1381  
1382  
1383  
1384  
1385  
1386  
1387  
1388  
1388  
1389  
1390  
1391  
1392  
1393  
1394  
1395  
1396  
1397  
1398  
1398  
1399  
1399  
1400  
1401  
1402  
1403  
1404  
1405  
1406  
1407  
1408  
1409  
1409  
1410  
1411  
1412  
1413  
1414  
1415  
1416  
1417  
1418  
1419  
1419  
1420  
1421  
1422  
1423  
1424  
1425  
1426  
1427  
1428  
1429  
1429  
1430  
1431  
1432  
1433  
1434  
1435  
1436  
1437  
1438  
1439  
1439  
1440  
1441  
1442  
1443  
1444  
1445  
1446  
1447  
1448  
1449  
1449  
1450  
1451  
1452  
1453  
1454  
1455  
1456  
1457  
1458  
1459  
1459  
1460  
1461  
1462  
1463  
1464  
1465  
1466  
1467  
1468  
1469  
1469  
1470  
1471  
1472  
1473  
1474  
1475  
1476  
1477  
1478  
1479  
1479  
1480  
1481  
1482  
1483  
1484  
1485  
1486  
1487  
1488  
1488  
1489  
1490  
1491  
1492  
1493  
1494  
1495  
1496  
1497  
1498  
1498  
1499  
1499  
1500  
1501  
1502  
1503  
1504  
1505  
1506  
1507  
1508  
1509  
1509  
1510  
1511  
1512  
1513  
1514  
1515  
1516  
1517  
1518  
1519  
1519  
1520  
1521  
1522  
1523  
1524  
1525  
1526  
1527  
1528  
1529  
1529  
1530  
1531  
1532  
1533  
1534  
1535  
1536  
1537  
1538  
1539  
1539  
1540  
1541  
1542  
1543  
1544  
1545  
1546  
1547  
1548  
1549  
1549  
1550  
1551  
1552  
1553  
1554  
1555  
1556  
1557  
1558  
1559  
1559  
1560  
1561  
1562  
1563  
1564  
1565  
1566  
1567  
1568  
1569  
1569  
1570  
1571  
1572  
1573  
1574  
1575  
1576  
1577  
1578  
1579  
1579  
1580  
1581  
1582  
1583  
1584  
1585  
1586  
1587  
1588  
1588  
1589  
1590  
1591  
1592  
1593  
1594  
1595  
1596  
1597  
1598  
1598  
1599  
1599  
1600  
1601  
1602  
1603  
1604  
1605  
1606  
1607  
1608  
1609  
1609  
1610  
1611  
1612  
1613  
1614  
1615  
1616  
1617  
1618  
1619  
1619  
1620  
1621  
1622  
1623  
1624  
1625  
1626  
1627  
1628  
1629  
1629  
1630  
1631  
1632  
1633  
1634  
1635  
1636  
1637  
1638  
1639  
1639  
1640  
1641  
1642  
1643  
1644  
1645  
1646  
1647  
1648  
1649  
1649  
1650  
1651  
1652  
1653  
1654  
1655  
1656  
1657  
1658  
1659  
1659  
1660  
1661  
1662  
1663  
1664  
1665  
1666  
1667  
1668  
1669  
1669  
1670  
1671  
1672  
1673  
1674  
1675  
1676  
1677  
1678  
1679  
1679  
1680  
1681  
1682  
1683  
1684  
1685  
1686  
1687  
1688  
1688  
1689  
1690  
1691  
1692  
1693  
1694  
1695  
1696  
1697  
1698  
1698  
1699  
1699  
1700  
1701  
1702  
1703  
1704  
1705  
1706  
1707  
1708  
1709  
1709  
1710  
1711  
1712  
1713  
1714  
1715  
1716  
1717  
1718  
1719  
1719  
1720  
1721  
1722  
1723  
1724  
1725  
1726  
1727  
1728  
1729  
1729  
1730  
1731  
1732  
1733  
1734  
1735  
1736  
1737  
1738  
1739  
1739  
1740  
1741  
1742  
1743  
1744  
1745  
1746  
1747  
1748  
1749  
1749  
1750  
1751  
1752  
1753  
1754  
1755  
1756  
1757  
1758  
1759  
1759  
1760  
1761  
1762  
1763  
1764  
1765  
1766  
1767  
1768  
1769  
1769  
1770  
1771  
1772  
1773  
1774  
1775  
1776  
1777  
1778  
1779  
1779  
1780  
1781  
1782  
1783  
1784  
1785  
1786  
1787  
1788  
1788  
1789  
1790  
1791  
1792  
1793  
1794  
1795  
1796  
1797  
1798  
1798  
1799  
1799  
1800  
1801  
1802  
1803  
1804  
1805  
1806  
1807  
1808  
1809  
1809  
1810  
1811  
1812  
1813  
1814  
1815  
1816  
1817  
1818  
1819  
1819  
1820  
1821  
1822  
1823  
1824  
1825  
1826  
1827  
1828  
1829  
1829  
1830  
1831  
1832  
1833  
1834  
1835  
1836  
1837  
1838  
1839  
1839  
1840  
1841  
1842  
1843  
1844  
1845  
1846  
1847  
1848  
1849  
1849  
1850  
1851  
1852  
1853  
1854  
1855  
1856  
1857  
1858  
1859  
1859  
1860  
1861  
1862  
1863  
1864  
1865  
1866  
1867  
1868  
1869  
1869  
1870  
1871  
1872  
1873  
1874  
1875  
1876  
1877  
1878  
1879  
1879  
1880  
1881  
1882  
1883  
1884  
1885  
1886
```

```
105      };
106
107 //-----
108 // write_to_file(int)
109 //-----//
110 // Cette fonction ouvre le fichier, écrit la valeur "value" au fichier puis //
111 // ferme le fichier.
112 // La fonction ne ferme pas le fichier après exécution... ATTENTION!!!      //
113 //-----//
114 // Luc Romain, 29 septembre 1998
115 //-----//
116
117     bool write_to_file(int value)
118     {
119         if(!initOK)
120             return(false);
121         else
122         {
123             if(!file_open)
124             {
125                 open_file(mode);
126                 file_open=true;
127             }
128             fprintf(file_handle, "%d", value);
129             return(true);
130         }
131     };
132
133 //-----
134 // writexyz_to_file(...)
135 //-----//
136 // Cette fonction écrit les composantes x,y et z au fichier
137 // La fonction ne ferme pas le fichier après exécution... ATTENTION!!!      //
138 //-----//
139 // Luc Romain, 29 septembre 1998
140 //-----//
141
142     bool writexyz_to_file(typ_champ vx,typ_champ vy,typ_champ vz)
143     {
144         if(!initOK)
145             return(false);
146         else
147         {
148             if(!file_open)
149             {
150                 if(!open_file(mode))
151                 {
152                     initOK=false;
153                     printf("- BasicFileIO::writexyz_to_file(...);");
154                     return(false);
155                 }
156                 file_open=true;
157             }
158         }
159     }
160 }
```

```
158         fprintf(file_handle, " %le %le", vx, vz);
159     }
160 }
161 }
162
163 //-----
164 // create_file(...)

165 //-----
166 // Cette fonction cree le fichier et l'ecrase s'il est deja existant.      //
167 // Ensuite, elle ecrit la valeur "value" au fichier puis
168 // ferme le fichier.
169 //
170 // Luc Romain, 29 septembre 1998
171 //
172
173     bool create_file(char *str)
174 {
175     if(!initOK)
176         return(false);
177     else
178     {
179         if(!file_open)
180         {
181             if(!open_file(mode))
182                 return(false);
183             file_open=true;
184         }
185         fprintf(file_handle,"%s",str);
186         return(true);
187     }
188 }
189
190
191 //-----
192 // read_from_file(...)

193 //-----
194 // Cette fonction ouvre le fichier, lit une chaine de caractere puis
195 // ferme le fichier.
196 //
197 // Luc Romain, 29 septembre 1998
198 //
199
200     bool read_from_file(char *buffer)
201 {
202     char format_string[50];
203
204     // Bien s'assurer que la taille de buffer soit suffisante.
205     sprintf(format_string,"%tis",sizeof(buffer)-1);
206
207     if(!initOK)
208         return(false);
209 }
```

```
210         if(open_file(mode))
211     {
212         fscanf(file_handle,format_string,buffer);
213         close_file();
214         return(true);
215     }
216     else
217         return(false);
218 };
219 //-----
220 // read_from_file(buffer,int n)
221 //-----//
222 // Cette fonction ouvre le fichier, lit n nombres puis
223 // ferme le fichier.
224 // La fonction retourne le nombre de valeurs lues.
225 //-----//
226 // Luc Romain, 18 novembre 1998
227 //-----//
228
229     int read_file(typ_champ *value,int n)
230     {
231         int x=0,fileOK;
232
233         if(!file_open)
234         {
235             fileOK=open_file(mode);
236             file_open=true;
237         }
238
239         if(!fileOK)
240         {
241             printf("Erreur d'ouverture de fichier -- basic_file_io -- read_file");
242             file_open=false;
243             getchar();
244             return(false);
245         }
246
247         while(!end_of_file()&&(x<n))
248         {
249             fscanf(file_handle,"%le",&value[x]);
250             x++;
251         }
252
253         close_file();
254         return(x);
255     };
256
257 //-----
258 // read_int()
259 //-----//
260 // Lecture d'un entier dans le fichier et retour de cet entier.
261 //-----//
262 // Luc Romain, 18 novembre 1998
```

```
//  
263 //-----//  
264  
265 int read_int()  
266 {  
267     int x,fileOK;  
268     if(!file_open)  
269     {  
270         fileOK=open_file(mode);  
271         file_open=true;  
272  
273         if(!fileOK)  
274         {  
275             printf("Erreur d'ouverture de fichier -- read_int()");  
276             file_open=false;  
277             getchar();  
278             return(false);  
279         }  
280     }  
281     fscanf(file_handle,"%d",&x);  
282     return(x);  
283 };  
284  
285 //-----//  
286 // get_line()  
//  
287 //-----//  
288 // Lecture d'un entier dans le fichier et retour de cet entier.  
289 //-----//  
290 // Luc Romain, 18 novembre 1998  
//  
291 //-----//  
292  
293 bool get_line(char *buffer,int n)  
294 {  
295     int fileOK;  
296  
297     if(!file_open)  
298     {  
299         fileOK=open_file(mode);  
300         file_open=true;  
301  
302         if(!fileOK)  
303         {  
304             printf("Erreur d'ouverture de fichier -- read_int()");  
305             file_open=false;  
306             getchar();  
307             return(false);  
308         }  
309     }  
310     if(fgets(buffer,n,file_handle)==NULL)  
311     {  
312         buffer='0';  
313         return(false);  
314     }  
315     return(true);  
316 }  
317 }  
318
```

```
319 //-----//  
320 // read_char()  
321 //-----//  
322 // Lecture d'un entier dans le fichier et retour de cet entier.  
323 //-----//  
324 // Luc Romain, 17 decembre 1998  
325 //-----//  
326  
327 char read_char()  
328 {  
329     int fileOK;  
330     char x;  
331  
332     if(!file_open)  
333     {  
334         fileOK=open_file(mode);  
335  
336         if(!fileOK)  
337         {  
338             printf("Erreur d'ouverture de fichier -- read_char()");  
339             file_open=false;  
340             getchar();  
341             return(false);  
342         }  
343     }  
344  
345     if(!end_of_file())  
346     {  
347         x=fgetc(file_handle);  
348         //fscanf(file_handle,"%ls",&x);  
349     }  
350     return(x);  
351 };  
352  
353  
354 //-----//  
355 // read_coeff()  
356 //-----//  
357 // Lecture d'un entier dans le fichier et retour de cet entier.  
358 //-----//  
359 // Luc Romain, 18 novembre 1998  
360 //-----//  
361  
362 typ_coeff read_coeff(void)  
363 {  
364     typ_coeff x;  
365     int fileOK;  
366     if(!file_open)  
367     {  
368         fileOK=open_file(mode);  
369         file_open=true;  
370         if(!fileOK)  
371         {  
372             printf("Erreur d'ouverture de fichier -- read_coeff()");  
373             file_open=false;
```



```
427         file_handle=fopen(file_name,mode);
428
429         if(file_handle!=NULL)
430         {
431             file_open=true;
432         }
433         else
434         {
435             printf("d'ouverture de fichier -- BasicFIO::Open_file()");
436             file_open=false;
437         }
438     }
439
440     return(file_open);
441 }
442
443 public:
444 //-----
445 // close_file(...)

446 //-----//  
447 //-----//  
448 // Cette fonction ferme le fichier.  
//  
449 //-----//  
450 // Luc Romain, 29 septembre 1998  
//  
451 //-----//  
452
453     void close_file(void)
454     {
455         if(file_open)
456         {
457             fclose(file_handle);
458             file_open=false;
459         }
460     }
461
462 //-----//  
463 // set_mode()

464 //-----//  
465 // Cette fonction fixe le mode du fichier.  
//  
466 //-----//  
467 // Luc Romain, 24 decembre 1998  
//  
468 //-----//  
469 public:
470     void set_mode(char *Mode)
471     {
472         sprintf(mode,"%s",Mode);
473     }
474
475 /*  
476     Fonction cont(...)  
477     Cette fonction ouvre le fichier en mode UPDATE, enleve les caracteres  
478     ; et poursuit l'ecriture dans le cas de la poursuite d'une simulation  
479     qui a ete arretee.
```

```
480  */
481  bool cont(void)
482  {
483      int fileOK;
484
485      set_mode("r+b0");
486      if(!file_open)
487      {
488          fileOK=open_file(mode);
489          file_open=true;
490          if(!fileOK)
491          {
492              printf("Erreur d'ouverture de fichier -- read_coeff()");
493              file_open=false;
494              getchar();
495              return(false);
496          }
497      }
498
499      fseek(file_handle,-2L,SEEK_END);
500      return(true);
501  }
502
503
504
505
506 //-----//  

507 // read_string()  

508 //-----//  

509 // Lecture d'une chaîne de char dans le fichier et retour du pointeur. //  

510 //-----//  

511 // Luc Romain, 17 décembre 1998  

512 //-----//  

513
514 bool read_string(char *buff)
515 {
516     int fileOK;
517
518     if(!file_open)
519     {
520         fileOK=open_file(mode);
521
522         if(!fileOK)
523         {
524             printf("Erreur d'ouverture de fichier -- read_string()");
525             file_open=false;
526             getchar();
527             return(false);
528         }
529     }
530
531     if(!end_of_file())
532     {
533         fscanf(file_handle,"%s",buff);
534     }
535     return(true);
536 }
```

```
537
538  };
539
540
541 //////////////////////////////////////////////////////////////////
542 // StrAnlz
543 //-
544 // Classe specialisee dans l'analyse des chaines de caracteres      //
545 // contenues dans les fichiers.
546 //
547 //-
548 // Auteur: Luc Romain
549 // Date: 15 juin 1999
550 //////////////////////////////////////////////////////////////////
551 class StrAnlz
552 {
553 private:
554     char *pstr; // Pointeur sur le debut de la chaine
555     char *ppos; // Pointeur sur la position courante de la chaine.
556     int      len; // Longueur de la chaine +1 (null char)
557
558 public:
559
560     // Constructeurs:
561
562     StrAnlz()
563     {
564         pstr=NULL;
565         len=0;
566     }
567
568     StrAnlz(char *p)
569     {
570         sets(p);
571     }
572
573     ~StrAnlz()
574     {
575         if(pstr!=NULL)
576             delete pstr;
577     }
578
579 //-
580 // sets(char *p)
581 //-
582 // Initialise la classe : la chaine de char pointee par p est copiee
583 //
584 //-
585 // Luc Romain, 15 juin 1999
586 //-
587
588
589     void sets(char *p)
590     {
591         len=strlen(p)+1;
592         pstr=new char[len];
```

```
593         sprintf(pstr,"%s",p);
594         ppos=pstr;
595     }
596 protected:
597 //-----
598 // char *fcfp(char *pos)
599 //-----
600 // Cette fonction trouve la premiere occurence d'un caractere dans la chaine
601 // de caracteres pointee par pos.
602 // Valeur de retour: l'adresse du premier caractere pointe par *pos.
603 //
604 //-----
605 // Luc Romain, 15 juin 1999
606 //-----
607 char *fcfp(char *pos) // find char from ppos position.
608 {
609     char *p;
610
611     p=pos;
612
613     while(!isalpha(*p)&&!isdigit(*p)&&(*p!='0'))
614     {
615         p++;
616     }
617
618     return(p);
619 }
620
621 //-----
622 // char *fsfp(char *pos)
623 //-----
624 // Cette fonction trouve la premiere occurence d'un espace dans la chaine
625 // de caracteres pointee par pos.
626 // Valeur de retour: l'adresse du premier espace pointe par *pos.
627 //
628 //-----
629 // Luc Romain, 15 juin 1999
630 //-----
631 char *fsfp(char *pos)
632 {
633     char *p;
634
635     p=pos;
636
637     while((*p!=32)&&(*p!='0'))
638     {
639         p++;
640     }
641
642     return(p);
643 }
644
645 public:
646 //-----
647 // int gets(char *buff)
648 //-----
649 // Cette fonction retourne les mots separees par des espaces dans la chaine
```

```
650 // de caracteres de la classe. Les appels subsequents poursuivent la recherche
651 // dans la mème chaine de caractere. Lorsque '0' est rencontrée, la recherche
652 // ne se poursuit plus et buff='0'.
653 //
654 // Valeur de retour: nombre de caracteres écrits dans buff.
655 //

656 //-----//  
657 // Luc Romain, 15 juin 1999  
658 //-----//  
659     int gets(char *buff)  
660     {  
661         char *p1,*p2; // Pointeur de début et fin de la chaîne.  
662         int x;           // Compteur  
663         int slen;        // Longueur de la chaîne trouvée.  
664  
665         p1=fccp(ppos);  
666         if((p1!=NULL)&&(*p1!=0))  
667         {  
668             p2=fsfp(p1);  
669             ppos=p2;  
670             slen=p2-p1;  
671  
672             // Copie de la chaîne dans buffer.  
673             for(x=0;x<slen;x++)  
674             {  
675                 buff[x]=p1[x];  
676             }  
677             buff[slen]='0';  
678  
679             return(slen);  
680         }  
681         else  
682         {  
683             slen=0;  
684             buff='0';  
685             return(0);  
686         }  
687     }  
688  
689  
690 //-----//  
691 // void reset()  
692 //-----//  
693 // Initialise le pointeur ppos sur le début de la chaîne de char de la  
694 // classe.  
695 //  
696 //  
697 //-----//  
698 // Luc Romain, 15 juin 1999  
699 //-----//  
700     void reset()  
701     {  
702         ppos=pstr;  
703     }  
704  
705 };
```

```

build.h

1  //////////////////////////////////////////////////////////////////
2  //
3  //                                     //
4  //////////////////////////////////////////////////////////////////
5  // Procedure           : cube
6  // .....               //
7  // Role                : construction d'un cube d'un materiau
8  //                      : donne
9  // .....               //
10 // Valeur renvoyee   : aucune
11 // .....               //
12 // Parametres d'appel  : coordonnees du point origine
13 //                      : dimensions du cube
14 // .....               //
15 //                      : materiau
16 // .....               //
17 //                      : espace physique
18 // .....               //
19 //////////////////////////////////////////////////////////////////
20 {
21 int i,j,k;
22 int imax=istart+NXwide-1;
23 int jmax=jstart+NYwide-1;
24 int kmax=kstart+NZwide-1;
25 cellule_physique my_cell;
26
27 if (NXwide == 0)
28     for (k=kstart; k<=kmax; k++)
29         for (j=jstart; j<=jmax; j++)
30     {
31         my_cell= my_space.get(istart,j,k);
32         my_cell.sety(mat_index);
33         my_cell.setz(mat_index);
34         my_space.put(my_cell,istart,j,k);
35         //.....
36         my_cell= my_space.get(istart,j,k+1);
37         my_cell.sety(mat_index);
38         my_space.put(my_cell,istart,j,k+1);
39         //.....
40         my_cell= my_space.get(istart,j+1,k);
41         my_cell.setz(mat_index);
42         my_space.put(my_cell,istart,j+1,k);
43     }
44 else if (NYwide == 0)
45     for (k=kstart; k<=kmax; k++)
46         for (i=istart; i<=imax; i++)
47     {

```

```

48         my_cell= my_space.get(i,jstart,k);
49         my_cell.setx(mat_index);
50         my_cell.setz(mat_index);
51         my_space.put(my_cell,i,jstart,k);
52         //.....
53         my_cell= my_space.get(i,jstart,k+1);
54         my_cell.setx(mat_index);
55         my_space.put(my_cell,i,jstart,k+1);
56         //.....
57         my_cell= my_space.get(i+1,jstart,k);
58         my_cell.setz(mat_index);
59         my_space.put(my_cell,i+1,jstart,k);
60     }
61 else if  (NZwide == 0)
62     for (j=jstart; j<=jmax; j++)
63         for (i=istart; i<=imax; i++)
64     {
65         my_cell= my_space.get(i,j,kstart);
66         my_cell.setx(mat_index);
67         my_cell.sety(mat_index);
68         my_space.put(my_cell,i,j,kstart);
69         //.....
70         my_cell= my_space.get(i,j+1,kstart);
71         my_cell.setx(mat_index);
72         my_space.put(my_cell,i,j+1,kstart);
73         //.....
74         my_cell= my_space.get(i+1,j,kstart);
75         my_cell.sety(mat_index);
76         my_space.put(my_cell,i+1,j,kstart);
77         //.....
78     }
79 else
80     for (k=kstart; k<=kmax; k++)
81         for (j=jstart; j<=jmax; j++)
82             for (i=istart; i<=imax; i++)
83             {
84                 my_cell= my_space.get(i,j,k);      // Luc Romain a rajoute ceci.
85                 my_cell.setx(mat_index);
86                 my_cell.sety(mat_index);
87                 my_cell.setz(mat_index);
88                 my_space.put(my_cell,i,j,k);
89                 //.....
90                 my_cell= my_space.get(i,j,k+1);
91                 my_cell.setx(mat_index);
92                 my_cell.sety(mat_index);
93                 my_space.put(my_cell,i,j,k+1);
94                 //.....
95                 my_cell= my_space.get(i,j+1,k+1);
96                 my_cell.setx(mat_index);
97                 my_space.put(my_cell,i,j+1,k+1); // Luc Romain
98                 //.....
99                 my_cell= my_space.get(i,j+1,k);
100                my_cell.setx(mat_index);
101                my_cell.setz(mat_index);
102                my_space.put(my_cell,i,j+1,k);
103                //.....
104                my_cell= my_space.get(i+1,j,k);
105                my_cell.sety(mat_index);
106                my_cell.setz(mat_index);

```

```

107             my_space.put(my_cell,i+1,j,k);
108             //.....
109             my_cell= my_space.get(i+1,j,k+1);
110             my_cell.sety(mat_index);
111             my_space.put(my_cell,i+1,j,k+1);
112             //.....
113             my_cell= my_space.get(i+1,j+1,k);
114             my_cell.setz(mat_index);
115             my_space.put(my_cell,i+1,j+1,k);
116             }
117         }
118
119
120 //////////////////////////////////////////////////////////////////
121 // Procedure : buildsphere
122 // ..... //
123 // Role : Procedure de test.
124 // : Construit une sphere
125 // : de materiel #2 dans l'espace
126 // : Sphere de centre (sc,sc,sc) et rayon ra //
127 // ..... //
128 // Valeur renvoyee : aucune
129 // : Parametres d'appel : espace physique
130 // : Parametres modifies : espace physique
131 //////////////////////////////////////////////////////////////////
132 void buildsphere(int cx,int cy,int cz,int ra,int mat_index,
133                   espace_physique my_space)
134 {
135 //typ_coeff      sc=17.5;
136 //typ_coeff      ra=8.2;
137 typ_coeff      r;
138 //typ_material   mat_index=3;
139
140 int NX=my_space.nx();
141 int NY=my_space.ny();
142 int NZ=my_space.nz();
143 int i,j,k;
144
145 for ( i=1; i<= NX; i++ )
146     for ( j=1; j<=NY; j++ )
147         for ( k=1; k<=NZ; k++ )
148             (
149                 r= sqrt ((i-cx)*(i-cx)+(j-cy)*(j-cy)+(k-cz)*(k-cz));
150                 if (r<ra)
151                     cube(i,j,k,1,1,mat_index, my_space);
152             )
153
154 }
155
156 //////////////////////////////////////////////////////////////////
157 // Procedure : buildcylindre
158 //
```

```

158 // ..... //  

159 // Role : Procedure de test.  

160 //  

161 // : Construit un cylindre  

162 // : de materiau #2 dans l'espace  

163 //  

164 // : Cylindre de centre (sc,sc,sc) et rayon ra  

165 //  

166 // : et hauteur: hi<=z<=hf  

167 // ..... //  

168 // Valeur renvoyee : aucune  

169 //  

170 // Parametres d'appel : espace physique  

171 //  

172 // Parametres modifies : espace physique  

173 //  

174 ///////////////////////////////////////////////////////////////////  

175 void buildcylindre(int ra,int cx,int cy,int hi,int hf,typ_material mat_index,  

176 espace_physique my_space)  

177 {  

178  

179 typ_coeff r;  

180  

181 int NX=my_space.nx();  

182 int NY=my_space.ny();  

183 int NZ=my_space.nz();  

184 int i,j,k;  

185  

186 //buildsphere(cx,cy,hi,ra,mat_index,my_space);  

187 //buildsphere(cx,cy,hf,ra,mat_index,my_space);  

188  

189 for ( i=1; i<= NX; i++ )  

190     for ( j=1; j<=NY; j++ )  

191         for ( k=1; k<=NZ; k++ )  

192         {  

193             r= sqrt ((i-cx)*(i-cx)+(j-cy)*(j-cy));  

194             if ((r<=ra) &&(k>=hi)&&(k<=hf))  

195                 cube(i,j,k,1,1,1,mat_index, my_space);  

196         }  

197     }  

198 }  

199 ///////////////////////////////////////////////////////////////////  

200 // Procedure : ext_cylindre  

201 //  

202 // : Construit un cylindre vide a l'interieur //  

203 // : avec les sommets pleins.  

204 //  

205 // : Selon les recommandations de M. Trueman. //  

206 // : Pour reduire l'effet de changement de //  

207 // : milieu.  

208 //  

209 // ..... //  

210 // Valeur renvoyee : aucune

```

```

    //
206 // Parametres d'appel      : espace physique
    //
207 // Parametres modifies    : espace physique
    //
208 //////////////////////////////////////////////////////////////////
209 void ext_cylindre(int thick,int ra,int cx,int cy,int hi,int hf,int index,espace_physique
my_space)
210 {
211
212     typ_coeff      r;
213
214     int NX=my_space.nx();
215     int NY=my_space.ny();
216     int NZ=my_space.nz();
217     int i,j,k;
218
219
220     for ( i=1; i< NX; i++ )
221         for ( j=1; j<NY; j++ )
222             for ( k=1; k<NZ; k++ )
223             {
224                 r= sqrt ((i-cx)*(i-cx)+(j-cy)*(j-cy));
225
226                 if ((r<=ra)&&(r>=ra-thick)&&(k>=hi)&&(k<=hf))
227                     cube(i,j,k,1,1,1,index, my_space);
228
229                 if ((r<=ra)&&((k>=hi)&&(k<=hi+thick))||((k<=hf)&&(k>=hf-thick)))
230                     cube(i,j,k,1,1,1,index, my_space);
231
232             }
233
234     }
235
236 //////////////////////////////////////////////////////////////////
237 // Procedure          : buildellipse
    //
238 // .....               //
239 // Role                : Procedure de test.
    //
240 //                      : Construit une ellipse
    //
241 //                      : de materiau #index dans l'espace
    //
242 //                      : Cylindre de centre (sc,sc,sc) et rayon ra et rb
243 //                      : et hauteur: hi<=z<=hf
244 // .....               //
245 // Valeur renvoyee    : aucune
    //
246 // Parametres d'appel  : espace physique
    //
247 // Parametres modifies : espace physique
    //
248 //////////////////////////////////////////////////////////////////
249 void buildellipse(int ra,int rb,int cx,int cy,int hi,int hf,
250                   typ_material mat_index,espace_physique my_space)
251 {
252

```

```

253 typ_coeff           r;
254
255 int NX=my_space.nx();
256 int NY=my_space.ny();
257 int NZ=my_space.nz();
258 int i,j,k;
259
260
261 //buildsphere(cx,cy,hi,ra,mat_index,my_space);
262 //buildsphere(cx,cy,hf,ra,mat_index,my_space);
263
264 for ( i=1; i< NX; i++ )
265     for ( j=1; j<NY; j++ )
266         for ( k=1; k<NZ; k++ )
267         {
268             r=(typ_coeff)((i-cx)*(i-cx)/(ra*ra)+(j-cy)*(j-cy)/(rb*rb));
269             if ((r<=1) &&(k>=hi)&&(k<=hf))
270                 cube(i,j,k,1,1,1,mat_index, my_space);
271         }
272
273 }
274
275 /////////////////////////////////
276 // Procedure           : ext_ellipse
277 // ..... // 
278 // Role                : Procedure de test.
279 //                         : Construit une ellipse vide a l'interieur //
280 //                         : avec les sommets pleins.
281 //                         : Selon les recommandations de M. Trueman. //
282 //                         : Pour reduire l'effet de changement de //
283 //                         : milieu.
284 // ..... //
285 // Valeur renvoyee      : aucune
286 //                         : espace physique
287 // Parametres modifies   : espace physique
288 ///////////////////////////////
289 void ext_ellipse(int thick,int ra,int rb,int cx,int cy,int hi,int hf,
290                   int index,espace_physique my_space)
291 {
292
293 typ_coeff           r, rp;
294
295 int NX=my_space.nx();
296 int NY=my_space.ny();
297 int NZ=my_space.nz();
298 int i,j,k;
299
300 for ( i=1; i< NX; i++ )
301     for ( j=1; j<NY; j++ )
302         for ( k=1; k<NZ; k++ )
303         {

```

```
305     r=(typ_coeff)((i-cx)*(i-cx)/(ra*ra)+(j-cy)*(j-cy)/(rb*rb));
306     rp=(typ_coeff)((i-cx)*(i-cx)/((ra-thick)*(ra-thick))+
307                     (j-cy)*(j-cy)/((rb-thick)*(rb-thick)));
308
309     if((r<=1)&&(rp>=1)&&(k>=hi)&&(k<=hf))
310         cube(i,j,k,l,l,1,index, my_space);
311
312     if((r<=1)&&(((k>=hi)&&(k<=hi+thick))||((k<=hf)&&(k>=hf-thick))))
313         cube(i,j,k,l,l,1,index, my_space);
314
315     }
316
317 }
```

```

coeur.h

1  #define AMP (typ_coeff)10.0 // Amplitude du sinus cardiaque
2  #define FREQ (typ_coeff)10000000.0 // Frequence du sinus cardiaque
3  #define OFFSET (typ_coeff)0.0 // offset du sinus cardiaque
4  //////////////////////////////////////////////////////////////////
5  // Coeur
6  //-----
7  // Cette classe englobe toutes les fonctions necessaires pour polariser // 
8  // plusieurs dipoles. Cette classe contient plusieurs dipoles dont // 
9  // chaque dipole possede des caracteristiques identiques // 
10 // afin de bien simuler la stimulation synchrone du coeur. // 
11 //-----
12 // Auteur: Luc Romain
13 // Date: 28 septembre 1998
14 // Derniere modification: Aucune
15 //////////////////////////////////////////////////////////////////
16
17 class Coeur
18 {
19 public:
20
21
22     // -- constructeurs
23     Coeur()
24     {
25         initok=false;
26     };
27
28     Coeur(espace_champs *Efld,espace_physique *Phsp,
29             var_env_comp env,int cx,int cy,int cz,int rayon,
30             typ_material Index)
31     {
32         nb_dipoles=0;
33         Cx=cx;
34         Cy=cy;
35         Cz=cz;
36         r=rayon;
37         index=Index;
38         //dipoles=new Dipole[nb_dipoles];
39         init_coeur2(Efld,Phsp,env);
40     };
41
42     ~Coeur()
43     {
44         delete[] dipoles;
45     };
46
47 //-----
48 // polarise(...)
49 //-----
50 // Cette fonction appelle la fonction de polarisation de chaque cellule. // 

```

```
      //
51 //-----//
52 // Luc Romain, 29 septembre 1998
53 //-----//
54
55     void polarise(typ_coeff time)
56     {
57         int x;
58         x=1;
59         DipoleList.top().polarise(time);
60
61         while(x<nb_dipoles)
62         {
63             DipoleList.next().polarise(time);
64             x++;
65         }
66     };
67
68
69 protected:
70     int nb_dipoles,Cx,Cy,Cz,r;
71     typ_material index;
72     Linked_Chain<Dipole> DipoleList;
73     Dipole *dipoles;
74     bool initok;
75
76 //-----//
77 // init_coeur
78 //-----//
79 // Cette fonction cree un coeur de forme spherique dans le cylindre.      //
80 //
81 //-----//
82 // Luc Romain, 22 septembre 1998
83 //-----//
84
85     void init_coeur(espace_champs *ElcFld,espace_physique *EspPhys,
86                         var_env_comp env)
87     {
88         int i,j,k,t;
89
90
91         cellule_physique ph_cell;
92         typ_coeff frequence,offset;
93
94
95         printf("----- Construction du coeur");
96         frequence=20000000;      // 20MHz
97
98         offset=0;
99
100        // Sommet de la demie-sphere:
101
102        t=0;
103
104
```

```

105         while(t<nb_dipoles)
106     {
107         // 8 points / cercle * 5 cercles = 40 iterations.
108         i=(int)(r*sin(2*PI*t/40)*cos(2*PI*t/8)+Cx);
109         j=(int)(r*sin(2*PI*t/40)*sin(2*PI*t/8)+Cy);
110         k=(int)(r*cos(PI*t/40)+Cz);
111
112         ph_cell.setx(2); // antenne
113         ph_cell.sety(2); // antenne
114         ph_cell.setz(2); // antenne
115         //                                         anglex,anglez
116         dipoles[t].init(i,j,k,ph_cell, 0, -3*PI/8,ElcFld,EspPhys);
117         dipoles[t].set_fonction(0.50,frequence,offset,2000*env.dt);
118         t++;
119     }
120     initok=true;
121 }
122
123 //-----
124 // init_coeur2
125 //-----//
126 // Cette fonction cree un coeur de forme spherique dans le cylindre.      //
127 // Cette fonction utilise la liste chainée DipoleList.
128 // La structure du coeur est purement sphérique.
129 //                                         //
130 //-----//
131 // Luc Romain, 7 mai 1999
132 //-----//
133
134 void init_coeur2(espace_champs *ElcFld,espace_physique *EspPhys,
135                     var_env_comp env)
136 {
137     int x,y,z;
138     int Nx,Ny,Nz;
139     int Rx2,Ry2,Rz2;
140     Dipole dipole;
141     cellule_physique ph_cell;
142     typ_coeff theta,phi;
143
144     Nx=EspPhys->nx()-1;
145     Ny=EspPhys->ny()-1;
146     Nz=EspPhys->nz()-1;
147
148     ph_cell.setx(index);
149     ph_cell.sety(index); // Cette direction ne polarise jamais.
150     ph_cell.setz(index);
151
152     for(z=1;z<Nz;z++)
153     {
154         for(y=1;y<Ny;y++)
155         {
156             for(x=1;x<Nx;x++)
157             {
158                 Rx2=(x-Cx)*(x-Cx);
159                 Ry2=(y-Cy)*(y-Cy);

```

```

160             Rz2=(z-Cz)*(z-Cz);
161             if(sqrt(Rx2+Ry2+Rz2)<r)
162             {
163                 // Calcul de l'angle theta et phi
164
165                 if((x-Cx)>=0)
166                 {
167                     if(x==Cx)
168                     {
169                         if((y-Cy)>0)
170                             theta=PI/2;
171                         else
172                             theta=-PI/2;
173                     }
174                     else
175                     {
176                         theta=atan((y-Cy)/(x-Cx));
177                     }
178                 }
179             }
180
181             // Calcul de phi.
182             if(Rx2+Ry2>0)
183                 phi=atan((z-Cz)/sqrt(Rx2+Ry2));
184             else
185                 phi=0;
186             // Fin du calcul des angle theta et phi.
187
188             dipole.init(x,y,z,ph_cell,theta,phi,ElcFld,EspPhys);
189             dipole.set_fonction(0,AMP,FREQ,OFFSET,2000*env.dt);
190
191             DipoleList.Add_elem(&dipole);
192         }
193     }
194 }
195 }
196
197
198     nb_dipoles=DipoleList.get_nb_elem();
199     initok=true;
200     printf("----- Coeur: %i Dipoles initialisés",nb_dipoles);
201 }
202
203 //-----
204 // init_coeur3
205 //-----
206 // Cette fonction cree un coeur de forme sphérique dans le cylindre.      //
207 // Cette fonction utilise la liste chainée DipoleList.
208 // La structure du coeur est purement sphérique.
209 // Les dipoles sont tangents à la surface.
210 //
211 //-----
212 // Luc Romain, 7 mai 1999

```

```

213 //-----//
214
215 void init_coeur3(espace_champs *ElcFld,espace_physique *EspPhys,
216 var_env_comp env)
217 {
218     int x,y,z;
219     int Nx,Ny,Nz;
220     int Rx2,Ry2,Rz2;
221     Dipole dipole;
222     cellule_physique ph_cell;
223     typ_coeff theta,phi;
224
225     Nx=EspPhys->nx()-1;
226     Ny=EspPhys->ny()-1;
227     Nz=EspPhys->nz()-1;
228
229     ph_cell.setx(index);
230     ph_cell.sety(index); // Cette direction ne polarise jamais.
231     ph_cell.setz(index);
232
233     for(z=1;z<Nz;z++)
234     {
235         for(y=1;y<Ny;y++)
236         {
237             for(x=1;x<Nx;x++)
238             {
239                 Rx2=(x-Cx)*(x-Cx);
240                 Ry2=(y-Cy)*(y-Cy);
241                 Rz2=(z-Cz)*(z-Cz);
242                 if(sqrt(Rx2+Ry2+Rz2)<r)
243                 {
244                     // Calcul de l'angle theta et phi
245
246                     if((x-Cx)>=0)
247                     {
248                         if(x==Cx)
249                         {
250                             if((y-Cy)>0)
251                             theta=PI/2;
252                             else
253                             theta=-PI/2;
254                         }
255                         else
256                         theta=atan((y-Cy)/(x-Cx));
257                     }
258                     else
259                     theta=atan((y-Cy)/(x-Cx))+PI;
260                 }
261
262                 // Calcul de phi.
263                 if(Rx2+Ry2>0)
264                     phi=-PI/2*cos(PI*(z-Cz)/(2*r));
265                 else
266                     phi=0;
267
268                 if((z<Cz)&&(phi!=0))
269                     phi=PI-phi;
270

```

```
271 // Fin du calcul des angle theta et phi.
272
273 dipole.init(x,y,z,ph_cell,theta,phi,ElcFld,EspPhys);
274 dipole.set_fonction(0,AMP,FREQ,OFFSET,2000*env.dt);
275
276 DipoleList.Add_elem(&dipole);
277 }
278 }
279 }
280 }
281
282 nb_dipoles=DipoleList.get_nb_elem();
283 initok=true;
284 printf("----- Coeur: %i Dipoles initialisés",nb_dipoles);
285 }
286
287
288
289 };
```

```
constantes.h

1 //////////////////////////////////////////////////////////////////
2 //////////////////////////////////////////////////////////////////
3 //////////////////////////////////////////////////////////////////
4 //////////////////////////////////////////////////////////////////
5 //////////////////////////////////////////////////////////////////
6 #define EPS0      (8.854E-12)
7 #define XMU0      (1.2566306E-6)
8 #define ETA0      (376.733341)
9 #define C         (1.0/sqrt(XMU0*EPS0))
10 #define PI        (4.0*atan(1.0))
11 //////////////////////////////////////////////////////////////////
12 #define CHAMP_NUL      (typ_champ)      0
13 #define PHYS_PRM_NUL (typ_phys_prm)  0
14 #define MATERIAU_NUL ("MAT_NUL",0.0,0.0,0.0)
15 #define CELL_MAT_VIDE (0,0,0)
16 #define CELL_CHAMP_NUL (CHAMP_NUL,CHAMP_NUL,CHAMP_NUL)
17 ////////////////////////////////////////////////////////////////// Types d'electrodes //////////////////////////////////////////////////////////////////
18 #define E_HELICOIDE      (int) 0
19 #define E_BIPOLAIRE       (int) 1
20 //////////////////////////////////////////////////////////////////
21 #define VAL_IN_ELEM3D_NULLE (type)  0
22
23 // Dangereux...
24 // Pourquoi ne pas la definir directement ds le module Elem3D,
25 // puisque c'est le seul ou le forage de type ait un sens ?
```

## diaphragme2.h

```

1  #define DIA_START (int)2
2  #define CTE          (typ_coeff)16.0
3  #define A           (typ_coeff)20.0 // Largeur
4  #define B           (typ_coeff)7.0 // Profondeur
5  #define AMP_D        (typ_coeff)10.0
6  #define FREQ_D       (typ_coeff)10000000.0
7  #define OFFSET_D     (typ_coeff)0.0
8
9  class diaphragme2
10 {
11 protected:
12     int Cx,Cy,Cz;           // Coordonnees du sommet reel
13     typ_material index;
14     Linked_Chain<Dipole> DipoleList;
15     espace_champs *Efld;
16     espace_physique *Psp;
17     var_env_comp env;
18
19 public:
20     diaphragme2(int px,int py,int pz,typ_material Index,
21                 espace_champs *efld,espace_physique *psp,var_env_comp Env)
22     {
23         Cx=px;
24         Cy=py;
25         Cz=pz;
26         Efld=efld;
27         Psp=psp;
28         env=Env;
29         index=Index;
30         init_diaphragme2();
31     }
32
33     diaphragme2(){ } ;
34
35     ~diaphragme2(){};
36
37 protected:
38     void init_diaphragme2(void)
39     {
40         int x,y,z;
41         int Nx,Ny,Nz;
42         typ_coeff surface,theta,anglez;
43         typ_coeff rp,ri;
44         //typ_coeff ux,uy
45         typ_coeff uz; // vecteur de direction
46         //typ_coeff mx,my,mz; // vecteur unitaire de direction
47         cellule_physique p_cell;
48         Dipole dipole;
49
50         printf("----- Construction du diaphragme");
51         // Placement des dipoles
52
53         p_cell.setx(index);
54         p_cell.sety(index);
55         p_cell.setz(index);
56

```

```

57         printf("----- Initialisation du diaphragme2");
58
59 //         printf("hauteur=%i, diastart=%i, cz=%i", HAUT_DIA2,DIA_START,Cz);
60 //         getchar();
61 Nx=Efld->nx();
62 Ny=Efld->ny();
63 Nz=Efld->nz();
64
65     for(z=1;z<Nz;z++)
66     {
67         for(y=1;y<Ny;y++)
68         {
69             for(x=1;x<Nx;x++)
70             {
71                 surface=Cz-CTE*((x-Cx)*(x-Cx)/(A*A)+(y-Cy)*(y-Cy)/(B*B));
72                 rp=(x-Cx)*(x-Cx)/(A*A)+(y-Cy)*(y-Cy)/(B*B); // Rayon interne
73
74                 de l'ellipse
75                 ri=sqrt((x-Cx)*(x-Cx)+(y-Cy)*(y-Cy)); // centre du
76                 diaphragme trou
77                 if((fabs(surface-z)<0.5)&&(rp<=1)&&(ri>DIA_START))
78                 {
79                     if((x-Cx)<=0)
80                     {
81                         if(x==Cx)
82                         {
83                             if((y-Cy)>0)
84                                 theta=-PI/2;
85                             else
86                                 theta+=PI/2;
87                         }
88                     else
89                     {
90                         theta=atan((y-Cy)/(x-Cx))+PI;
91                     }
92                     uz=fabs(-2*CTE*(x-Cx)*cos(theta)/(A*A)-2*CTE*(y-
93                     Cy)*sin(theta)/(B*B));
94                     anglez=atan(uz);
95
96                     dipole.init(x,y,z,p_cell,theta,anglez,Efld,Psp);
97
98                     dipole.set_fonction(0,AMP_D,FREQ_D,OFFSET_D,2000*env.dt);
99
100                     if(DipoleList.Add_elem(&dipole)==false)
101                         printf(":
102                         Diaphragme2::DipoleList.Add_elem");
103                     }
104                 }
105                 printf("----- Diaphragme: %i Dipoles initialisés Sommet (%i,%i,%i)",
106                         DipoleList.get_nb_elem(),Cx,Cy,Cz);
107             }
108         public:
109             void polarise(typ_coeff time)
110             {

```

```
111     int x;
112     int Nb_Dipole;
113     x=1;
114
115     Nb_Dipole=DipoleList.get_nb_elem();
116     DipoleList.top().polarise(time);
117
118     while(x<Nb_Dipole)
119     {
120         DipoleList.next().polarise(time);
121         x++;
122     }
123
124 };
125 };
```

```
dipole.h

1 //////////////////////////////////////////////////////////////////
2 // Dipole
3 // -----
4 // Cette classe est une classe de base servant a la modelisation du
5 // diaphragme. Le dipole possede un position, une direction ainsi qu'une//
6 // amplitude. Il peut etre polarise selon differentes methodes (random,
7 // sin, pulse).
8 // -----
9 // Auteur: Luc Romain
10 // Date: 18 septembre 1998
11 // Derniere modification: Aucune
12 // -----
13
14 class Dipole
15 {
16 public:
17
18     // ----- Constructeurs -----
19     Dipole()
20     {
21         initok=false;
22     }
23
24     Dipole(int px,int py,int pz,cellule_physique p_cell,typ_coeff AngleX,
25             typ_coeff AngleZ,espace_champs *efld,espace_physique *ph_sp)
26     {
27         init(px,py,pz,p_cell,AngleX,AngleZ,efld,ph_sp);
28         return;
29     }
30
31     // ----- destructureur -----
32
33     ~Dipole() {};
34
35 // -----
36 // init(...)
37 // -----
38 // Cette fonction initialise tous les parametres utilises par DIPOLE
39 // -----
40 // Luc Romain, 29 septembre 1998
41 // -----
42
43     void init(int px,int py,int pz,cellule_physique p_cell,typ_coeff AngleX,
44             typ_coeff AngleZ,espace_champs *efld,espace_physique *esp_ph)
45     {
46         initok=true;
47         x=px;
48         y=py;
49         z=pz;
```

```

50         anglex=AngleX;
51         anglez=AngleZ;
52         dir_cell=p_cell;
53         omega=0;
54         amp=10;
55         theta=0;
56         ElcFld=efld;
57         PhysSpace=esp_ph;
58         place_dipole();           // Insere l'index 2 dans le milieu physique.
59         return;
60     };
61
62 //-----
63 // set_value(...)

64 //-----
65 // Cette fonction force la valeur value comme amplitude au dipole. Cette      //
66 // valeur est forcee selon l'angle specifie lors de l'initialisation.      //
67 //-----
68 // Luc Romain, 29 septembre 1998
69 //

70 //-----
71     void set_value(typ_coeff value)
72     {
73         if(!initok)
74             return;
75         cellule_champs my_cell;
76
77         my_cell=ElcFld->get(x,y,z);
78
79         if(dir_cell.cx()==2)
80             my_cell.setx(value*cos(anglez)*cos(anglex));
81
82         if(dir_cell.cy()==2)
83             my_cell.sety(value*cos(anglez)*sin(anglex));
84
85         if(dir_cell.cz()==2)
86             my_cell.setz(value*sin(anglez));
87
88         ElcFld->put(my_cell,x,y,z);
89     };
90
91 //-----
92 // set_fonction(...)

93 //-----
94 //-----
95 // Cette fonction assigne les parametres qui seront utilises lors du calcul      //
96 // de la fonction de polarisation specifique (sin,pulse ou autre)      //
97 //-----
98 // Luc Romain, 29 septembre 1998
99 //

100 //-----
101     void set_fonction(int fct,typ_coeff Amp,typ_coeff Omega,typ_coeff Theta,
102                           typ_coeff Betadt)
103     {
104         Fonction=fct;

```

```

105         amp=Amp;
106         omega=Omega;
107         theta=Theta;
108         betadt=Betadt;
109     };
110
111 //-----
112 // polarise(...)
113 //-----//
114 // Cette fonction assigne la valeur de polarisation a la cellule
115 // selon la direction qui lui est propre.
116 //-----//
117 // Luc Romain, 29 septembre 1998
118 //-----//
119
120     void polarise(typ_coeff time)
121     {
122         typ_champ val;
123         cellule_champs my_cell;
124
125         if(!initok)
126         {
127             printf("Dipole: initok=false!!!!");
128             getchar();
129             return;
130         }
131         val=fonction(Fonction,time);      // calcul de la fonction desiree
132
133         my_cell=ElcFld->get(x,y,z);
134
135         // dir_cell ne provient pas de l'espace reel.
136         // C'est pour cela que cette fonction parvenait quand meme
137         // a polariser le milieu malgre le fait que l'espace reel
138         // n'est pas forme de materiau #2.
139
140         if(dir_cell.cx()==2)
141             my_cell.setx(val*cos(anglez)*cos(anglex));
142
143         if(dir_cell.cy()==2)
144             my_cell.sety(val*cos(anglez)*sin(anglex));
145
146         if(dir_cell.cz()==2)
147             my_cell.setz(val*sin(anglez));
148
149         ElcFld->put(my_cell,x,y,z);
150         return;
151     };
152
153     protected:
154         bool initok;
155         typ_coeff anglex,anglez; // angles de direction selon x et z
156         typ_champ alpha,omega,theta;
157         typ_coeff amp,betadt;
158         int x,y,z;                      // position 3D de la cellule
159         cellule_physique dir_cell;      // determine quelle composante a polariser
160         espace_champs *ElcFld;

```

```

161     espace_physique *PhysSpace;
162     int Fonction;                                // identifie la fonction de polarisation
163     (sin,...)
164
165 //-----//
166 // place_dipole(...)

167 //-----//
168 // Cette fonction modifie l'espace physique du dipole et fixe le materiau    //
169 // a la valeur '2', ou 2 designe une antenne, valeur qui ne sera pas          //
170 // recalculée lors de l'algorithme electric_scattered_fields(...)           //
171 //-----//
172 // Luc Romain, 29 septembre 1998
173 //-----//
174
175     void place_dipole()
176     {
177         if(!initok)
178             return;
179         cellule_physique my_cell;
180
181         my_cell=PhysSpace->get(x,y,z);
182
183         // Attention: l'antenne ne fonctionne pas!!!
184         // Bien recalculer -- le champ # doit etre recalculé.
185         if(dir_cell.cx()==2)
186         {
187             my_cell.setx(2);
188         }
189         if(dir_cell.cy()==2)
190         {
191             my_cell.sety(2);
192         }
193         if(dir_cell.cz()==2)
194         {
195             my_cell.setz(2);
196         }
197
198         PhysSpace->put(my_cell,x,y,z);
199     };
200
201 //-----//
202 // fonction(...)

203 //-----//
204 // Cette fonction definit la forme fonctionnelle de polarisation du dipole.  //
205 // Le dipole peut etre polarise selon une sinusoïdale ou un pulse.          //
206 //-----//
207 // Luc Romain, 29 septembre 1998
208 //-----//
209
210     typ_champ fonction(int f,typ_coeff time)
211     {
212

```

```
213     typ_champ v, enveloppe=1;
214
215     alpha=(4/betadt)*(4/betadt);
216
217     switch(f)
218     {
219     case 0: // sinus
220     {
221         /*
222         //alpha=8/(betadt*betadt);
223         //alpha=1/(betadt*betadt); // Lobe plus large.
224         /*
225         if(time>betadt)
226         {
227             //enveloppe=exp(-alpha*(time-betadt)*(time-betadt));
228             enveloppe=1.0;
229         }
230         else
231         {
232             enveloppe=1.0;
233             //enveloppe=exp(-alpha*(time-betadt)*(time-betadt));
234         }
235         */
236         //v=enveloppe*amp*sin(2*PI*omega*time+theta);
237         v=amp*sin(2*PI*omega*time+theta);
238         break;
239     }
240     case 1: // pulse
241     {
242         v=amp*exp(-alpha*(time-betadt)*(time-betadt));
243         break;
244     }
245     case 2: // other
246     {
247         break;
248     }
249 }
250     return(v);
251 }
252
253 };
254
```

```
display_for_debug.h

1 void show_sample_values ( espace_champs space, char typfield )
2 {
3 // printf ("*****");
4 if (typfield=='E')
5 {
6     printf ("----- Champs electriques");
7     space.show_valx(17,18,25);
8     space.show_valx(17,18,18);
9 }
10 if (typfield=='M')
11 {
12     printf ("----- Champs magnetiques");
13     space.show_valy(17,18,24);
14     space.show_valy(17,18,17);
15 }
16 // printf ("*****");
17
18 }
19
20 void show_all_fields (espace_champs Elc,espace_champs Mag)
21 {
22     int i,j,k;
23     int dimx=Elc.nx();
24     int dimy=Elc.ny();
25     int dimz=Elc.nz();
26     int deltax = 14;
27     int deltay = 14;
28     int deltaz = 14;
29     for (i=deltax;i<=dimx-deltax;i++)
30         for (j=deltay;j<=dimy-deltay;j++)
31     {
32         for (k=deltaz;k<=dimz-deltaz;k++)
33         {
34             printf("ELEC: ");Elc.show_valx(i,j,k);
35             printf("MAG : ");Mag.show_valy(i,j,k);
36         }
37         printf ("==== Any key to see next results, q to abort ===");
38         if(getchar()=='q')      exit(1);
39
40     }
41 }
```

```

ei_fields.0.h

1 //////////////////////////////////////////////////////////////////
2 //////////////////////////////////////////////////////////////////
3 //////////////////////////////////////////////////////////////////
4 //////////////////////////////////////////////////////////////////
5 //////////////////////////////////////////////////////////////////
6 //////////////////////////////////////////////////////////////////
7 //////////////////////////////////////////////////////////////////
8 // Fonction : source
9 // .....
10 // Role : definit la forme fonctionnelle du champ //
11 // : incident
12 // .....
13 // Valeur renvoyee : champ électrique
14 // Paramètres d'appel : distance de la source au pt d'évaluation//
15 // : variables d'environnement
16 // Paramètres modifiés : aucun
17 // .....
18 typ_champ source(typ_distance my_dist, var_env_comp env)
19 {
20     typ_coeff betadt= env.beta * env.dt;
21     typ_coeff tau    = env.time - my_dist/C;
22     typ_coeff resu   = 0.0;
23
24     if( (tau >= 0.0) && (tau <= env.period))
25         resu = exp ( - env.alpha * ( tau - betadt) * ( tau - betadt));
26     return (resu);
27 }
28
29 // .....
30 // Fonction : derived_source
31 // .....
32 // Role : definit la forme fonctionnelle du champ //
33 // : incident
34 // .....
35 // Valeur renvoyee : dérivée d'un champ électrique
36 // Paramètres d'appel : distance de la source au pt d'évaluation//
37 // : variables d'environnement
38 // Paramètres modifiés : aucun
39 // .....
40 typ_champ derived_source(typ_distance my_dist, var_env_comp env)
41 {
42     typ_coeff betadt= env.beta * env.dt;

```

```

43     typ_coeff tau    = env.time - my_dist/C;
44     typ_coeff resu  = 0.0;
45
46     if(( tau >= 0.0) && (tau <= env.period))
47         resu = exp ( - env.alpha * ( tau - betadt)* ( tau - betadt))*(-2.0) * env.alpha * (
tau - betadt);
48     return (resu);
49 }
50
51 // ::::::::::::::::::::: // 
52 // Fonctions          : distx
53 //                         //
54 //                         : disty
55 //                         //
56 //                         : distz
57 //                         //
58 // ..... // 
59 // Role               : renvoient la distance a considerer du pt// 
56 //                         : d'evaluation a la source
57 //                         //
58 // ..... // 
59 // Valeur renvoyee   : distance
56 //                         //
60 // Parametres d'appel : coordonnees du point
61 //                         //
62 //                         : variables d'environnement
63 //                         //
62 // Parametres modifies : aucun
63 //                         //
64 inline typ_distance distx(int i,int j,int k, var_env_comp env)
65 {
66     return ( env.dx * env.xdisp * ((i-1) + 0.5 * env.offset )
67             + env.dy * env.ydisp * (j-1)
68             + env.dz * env.zdisp * (k-1)
69             + env.delay );
70 }
71 // ::::::::::::::::::::: // 
72 inline typ_distance disty(int i,int j,int k, var_env_comp env)
73 {
74     return ( env.dx * env.xdisp * (i-1)
75             + env.dy * env.ydisp * ((j-1) + 0.5 * env.offset )
76             + env.dz * env.zdisp * (k-1)
77             + env.delay );
78 }
79
80 // ::::::::::::::::::::: // 
81 inline typ_distance distz(int i,int j,int k, var_env_comp env)
82 {
83     return ( env.dx * env.xdisp * (i-1)
84             + env.dy * env.ydisp * (j-1)
85             + env.dz * env.zdisp * ((k-1) + 0.5 * env.offset )
86             + env.delay );
87 }
88
89 // ::::::::::::::::::::: // 
90 // Fonctions          : incident_fieldX
91 //                         //
91 //                         : incident_fieldY

```

```

92  //           //
93  // ..... : incident_fieldZ
94  // Role      : Retournent les composantes en X, Y et Z// 
95  //           : du champ electrique incident en un point// 
96  // ..... //
97  // Valeur renvoyee : champ electrique
98  //           //
99  // Parametres d'appel : coordonnees du point
100 //           //
101 //           : variables d'environnement
102 //           //
103 inline typ_champ incident_fieldX( int i,int j,int k, var_env_comp env)
104 {
105     typ_distance my_dist = distx(i,j,k,env);
106     return (env.ampx * source (my_dist, env));
107 }
108 inline typ_champ incident_fieldY ( int i, int j, int k, var_env_comp env)
109 {
110     typ_distance my_dist = disty(i,j,k,env);
111     return (env.ampy * source (my_dist,env));
112 }
113 inline typ_champ incident_fieldZ ( int i, int j, int k, var_env_comp env)
114 {
115     typ_distance my_dist = distz(i,j,k,env);
116     return (env.ampz * source (my_dist,env));
117 }
118 }
119
120 //           //
121 // Fonctions      : derived_incident_fieldX
122 //           //
123 //           : derived_incident_fieldY
124 //           //
125 // Role      : Retournent les derivees des composantes //
126 //           : en X, Y et Z du champ electrique incident //
127 //           : en un point
128 //           //
129 // Valeur renvoyee : champ electrique
130 //           //
131 // Parametres d'appel : coordonnees du point
132 //           //
133 //           : variables d'environnement
134 inline typ_champ derived_incident_fieldX(int i,int j,int k, var_env_comp env)
135 {
136     typ_distance my_dist = distx(i,j,k,env);

```

```
137     return (env.ampx * derivedate_source(my_dist, env));
138 }
139 // ::::::::::::::::::::::::::::::::::::::::::::: //
140 inline typ_champ derivedate_incident_fieldY(int i,int j,int k,var_env_comp env)
141 {
142     typ_distance my_dist = disty(i,j,k,env);
143     return (env.ampy * derivedate_source(my_dist, env));
144 }
145 // ::::::::::::::::::::::::::::::::::::: //
146 inline typ_champ derivedate_incident_fieldZ(int i,int j,int k,var_env_comp env)
147 {
148     typ_distance my_dist = distz(i,j,k,env);
149     return (env.ampz * derivedate_source(my_dist, env));
150 }
```

## ei\_fields.h

```
1  typ_champ incident_fieldX(int i,int j,int k)
2  {
3      typ_champ frite=0;
4      return (i*j*k*frite);
5  }
6
7  typ_champ incident_fieldY(int i,int j,int k)
8  {
9      typ_champ frite=0;
10     return (i*j*k*frite);
11 }
12
13 typ_champ incident_fieldZ(int i,int j,int k)
14 {
15     typ_champ frite=0;
16     return (i*j*k*frite);
17 }
18
19 typ_champ derivedat_incident_fieldX(int i,int j,int k)
20 {
21     typ_champ frite=0;
22     return (i*j*k*frite);
23 }
24 typ_champ derivedat_incident_fieldY(int i,int j,int k)
25 {
26     typ_champ frite=0;
27     return (i*j*k*frite);
28 }
29 typ_champ derivedat_incident_fieldZ(int i,int j,int k)
30 {
31     typ_champ frite=0;
32     return (i*j*k*frite);
33 }
```

```

Electrode.h

1 //////////////////////////////////////////////////////////////////
2 // Electrode
3 // -----
4 // Cette classe englobe toutes les fonctions necessaires a la
5 // sauvegarde des donnees des electrodes.
6 // -----
7 // Le format de fichier qui est genere par cette classe est MATLAB.
8 // -----
9 // Auteur:           Luc Romain
10 // Date:            15 septembre 1998
11 // -----
12 // Derniere modification:  Aucune
13 // -----
14 class Electrode
15 {
16 public:
17     // Constructeurs
18     Electrode(void)
19     {
20     };
21
22     // Test de conductivite
23
24     // Construction a partir d'un fichier dans le repertoire courant.
25     Electrode(espace_champs *EFLD,espace_physique *PhysSpace)
26     {
27         BasicFileIO file("", "elec_specs.ini", "r");
28         cx=file.read_int();
29         cy=file.read_int();
30         cz=file.read_int();
31         pas=file.read_int();
32         hauteur=file.read_int();
33         rayon=file.read_int();
34         type_electrode=file.read_int();
35         index=file.read_int();
36         printf("----- Construction de l'electrode avec \"ElecSpecs.ini\"");
37         printf("----- E. Specs: (%i,%i,%i), R=%i, H=%i, P=%i, T=%i, I=%i",
38             cx, cy, cz, rayon, hauteur, pas, type_electrode, index);
39
40         pspace=PhysSpace;
41         efld=EFLD;
42         init();
43     };
44
45     Electrode(int X,int Y,int Z,int Pas,int Hauteur,int Rayon,
46               int Type,int mat_index,
47               espace_champs *EFLD,espace_physique *PhysSpace)
48     {
49         cx=X;
50         cy=Y;
51         cz=Z;

```

```
52         pas=Pas;
53         hauteur=Hauteur;
54         rayon=Rayon;
55         type_electrode=Type;
56         index=mat_index;
57         pspace=PhysSpace;
58         efld=EFLD;
59         init();
60     };
61
62     ~Electrode(void)
63     {
64     };
65
66
67 protected:
68
69     int cx,cy,cz;    // axe de l'electrode
70     int hauteur;    // hauteur de l'electrode helicoidale; pas pour bipolaire.
71     int pas;        // Espacement minimal entre deux fils.
72     int rayon;
73     int type_electrode;
74     int index;
75     espace_champs *efld;
76     espace_physique *pspace;
77
78     /* -----
79     * void init(void)
80     *
81     * Cette fonction place des morceaux de metal dans l'espace selon une*
82     * geometrie helicoidale.
83     *
84     * -----
85     void init(void)
86     {
87
88         switch(type_electrode)
89         {
90             case 0:
91                 build_helicoide();
92                 break;
93             case 1:
94                 build_bipolaire();
95                 break;
96         }
97     };
98
99 public:
100
101 /* -----
102     * Fonction delta_e(...)

103     * -----
104     * Cette fonction calcule la difference de potentiel entre les deux   *
105     * fils de l'electrode en suivant un parcours 1.
106     * -----
107     * Luc Romain, Janvier 1999
```

```
108  * -----
109
110 typ_coeff delta_e(void)
111  {
112      int i;
113      cellule_champs cell;
114      typ_champ val;
115
116      val=0;
117
118      switch(type_electrode)
119      {
120          case 0: // Calcul pour l'electrode helicoidale
121              for(i=cz-2*pas;i<cz;i++)
122              {
123                  cell=efld->get(cx,cy+rayon,i);
124                  val+=cell.cz();
125              }
126              break;
127          case 1: // Calcul pour l'electrode bipolaire
128              for(i=cz-pas;i<cz;i++)
129              {
130                  cell=efld->get(cx,cy+rayon,i);
131                  val+=cell.cz();
132              }
133              break;
134      }
135
136      return(val);
137  };
138
139 /**
140  * Fonction delta_eb(...)
141  *
142  * Cette fonction calcule la difference de potentiel entre les deux
143  * fils de l'electrode en suivant un parcours 2.
144  *
145  * Luc Romain, Janvier 1999
146  *
147
148 typ_coeff delta_eb(void)
149  {
150      int i;
151      cellule_champs cell;
152      typ_champ val;
153
154      val=0;
155
156      switch(type_electrode)
157      {
158          case 0: // Calcul pour l'electrode helicoidale
159              //1ere methode:
160              if(hauteur<4*pas)
161              {
162                  printf("electrode trop courte;");
163                  printf("(...) invalide. Electrode::Eb();");
164              }
165      }
166  }
```

```

164     }
165
166     for(i=cz-4*pas;i<cz-2*pas;i++)
167     {
168         cell=efld->get(cx,cy-rayon,i);
169         val+=cell.cz();
170     }
171     // 2e methode:
172     /*for(i=cz-2*pas;i<cz;i++)
173     {
174         cell=efld->get(cx,cy-rayon,i);
175         val+=cell.cz();
176     }*/
177     break;
178 case 1: // Calcul pour l'electrode bipolaire
179     for(i=cz*pas;i<cz;i++)
180     {
181         cell=efld->get(cx,cy-rayon,i);
182         val+=cell.cz();
183     }
184     break;
185 }
186
187     return(val);
188 }
189
190
191 protected:
192 /* -----
193     * Fonction wire_x
194     *
195     * Cette fonction trace un fil de xi a xf selon l'axe x.
196     * -----
197     * Luc Romain, Janvier 1999
198     *
199     void wire_x(int xi,int xf,int y,int z)
200     {
201         cellule_physique cell;
202         int i,tmp;
203
204         if(xi>xf)
205         {
206             tmp=xi;
207             xi=xf;
208             xf=tmp;
209         }
210
211         for(i=xi;i<xf;i++)
212         {
213             cell=pspace->get(i,y,z);
214             cell.setx(index);
215             pspace->put(cell,i,y,z);
216         }
217     };
218 /* -----
219     * Fonction wire_y

```

```
220  * -----
221  * Cette fonction trace un fil de yi a yf selon l'axe y.
222  *
223  * Luc Romain, Mars 1999
224  *
225  * -----
226  void wire_y(int x,int yi,int yf,int z)
227  {
228      cellule_physique cell;
229      int j,tmp;
230
231      if(yi>yf)
232      {
233          tmp=yi;
234          yi=yf;
235          yf=tmp;
236      }
237
238      for(j=yi;j<yf;j++)
239      {
240          cell=pspace->get(x,j,z);
241          cell.sety(index);
242          pspace->put(cell,x,j,z);
243      };
244
245  /* -----
246  * Fonction wire_z
247  *
248  * -----
249  * Cette fonction trace un fil de zi a zf selon l'axe z.
250  *
251  * Luc Romain, Mars 1999
252  *
253  * -----
254  void wire_z(int x,int y,int zi,int zf)
255  {
256      cellule_physique cell;
257      int k,tmp;
258
259      if(zi>zf)
260      {
261          tmp=zi;
262          zi=zf;
263          zf=tmp;
264      }
265
266      for(k=zi;k<zf;k++)
267      {
268          cell=pspace->get(x,y,k);
269          cell.setz(index);
270          pspace->put(cell,x,y,k);
271      };
272
273  * Fonction build_helicoide()
274  *
```

```
275  * Cette fonction construit une electrode helicoidale.
276  * -----
277  * Luc Romain, Mars 1999
278  * -----
279
280  void build_helicoide(void)
281  {
282      int k;
283
284      k=cz;
285
286      while(k>cz-hauteur)
287      {
288          wire_x(cx-rayon,cx+rayon,cy-rayon,k);
289          wire_x(cx-rayon,cx+rayon,cy+rayon,k);
290          wire_z(cx+rayon,cy+rayon,k-pas,k);
291          wire_z(cx-rayon,cy-rayon,k-pas,k);
292          k-=pas;
293          wire_y(cx-rayon,cy-rayon,cy+rayon,k);
294          wire_y(cx+rayon,cy-rayon,cy+rayon,k);
295          wire_z(cx-rayon,cy+rayon,k-pas,k);
296          wire_z(cx+rayon,cy-rayon,k-pas,k);
297          k-=pas;
298      }
299  };
300 /* -----
301  * Fonction build_bipolaire()
302  * -----
303  * Cette fonction construit une electrode helicoidale.
304  * -----
305  * Luc Romain, Mars 1999
306  * -----
307
308  void build_bipolaire(void)
309  {
310      int k;
311
312      k=cz;
313
314      wire_x(cx-rayon,cx+rayon,cy-rayon,k);
315      wire_x(cx-rayon,cx+rayon,cy+rayon,k);
316      wire_y(cx-rayon,cy-rayon,cy+rayon,k);
317      wire_y(cx+rayon,cy-rayon,cy+rayon,k);
318      k-=pas;
319      wire_x(cx-rayon,cx+rayon,cy-rayon,k);
320      wire_x(cx-rayon,cx+rayon,cy+rayon,k);
321      wire_y(cx-rayon,cy-rayon,cy+rayon,k);
322      wire_y(cx+rayon,cy-rayon,cy+rayon,k);
323
324  };
325  };
326  };
327  };
```

```

elem3D.h

1 //////////////////////////////////////////////////////////////////
2 //
3 //                                     //
4 //                                     elem3D.H
5 //                                     //
6 //////////////////////////////////////////////////////////////////
7 //                                     //
8 // La classe elem3D permet de figurer des objets dotes de      //
9 // 3 caracteristiques selon les 3 dimensions de l'espace      //
10 // C'est une classe generique : le type de ces caracteristiques   //
11 // (le meme pour les 3 dimensions) est defini a l'instantiation   //
12 // On l'utilisera pour stocker les valeurs des champs dans une   //
13 // cellule de l'espace, ou les valeurs des parametres physiques   //
14 // qui caracterisent cette cellule.                                //
15 //
16 //////////////////////////////////////////////////////////////////
17
18 template <class type>
19 class elem3D
20 {
21     private:
22     type      Cx;           // Composante en x du elem3D considere
23     type      Cy;           // Composante en y du elem3D considere
24     type      Cz;           // Composante en z du elem3D considere
25
26     public:
27     // Constructeur
28     elem3D( type ValX=VAL_IN_ELEM3D_NULLE,
29             type ValY=VAL_IN_ELEM3D_NULLE,
30             type ValZ=VAL_IN_ELEM3D_NULLE)
31     {
32         Cx=(type)ValX;
33         Cy=(type)ValY;
34         Cz=(type)ValZ;
35     };
36
37     // Destructeur
38     virtual ~elem3D()      {};
39
40     // Accesseurs
41     inline type      cx()      {return (Cx);}
42     inline type      cy()      {return (Cy);}
43     inline type      cz()      {return (Cz);}
44
45     // Operateurs d'affectation
46     inline void setx(type ValX)      {Cx=ValX;}
47     inline void sety(type ValY)      {Cy=ValY;}
48     inline void setz(type ValZ)      {Cz=ValZ;}
49
50     // Affichage d'un element, variable selon le type

```

```
51     void show_values();
52     void show_valx();
53     void show_valy();
54     void show_valz();
55
56 };
57
58 // Procedures d'affichage
59
60 inline void elem3D<long double>::show_values()
61     {printf(" %g*cy: %g*f*cz: %g",Cx,Cy,Cz);}
62 inline void elem3D<float>::show_values()
63     {printf(" %g*cy: %g*f*cz: %g",Cx,Cy,Cz);}
64 inline void elem3D<int>::show_values()
65     {printf(" %d*cy: %d*cz: %d",Cx,Cy,Cz);}
66 inline void elem3D<long double>::show_valx()
67     {printf(" [cx: %g] ",Cx);}
68 inline void elem3D<long double>::show_valy()
69     {printf(" [cy: %g] ",Cy);}
70 inline void elem3D<long double>::show_valz()
71     {printf(" [cz: %g] ",Cz);}
72 inline void elem3D<double>::show_valx()
73     {printf(" [cx: %g] ",Cx);}
74 inline void elem3D<double>::show_valy()
75     {printf(" [cy: %g] ",Cy);}
76 inline void elem3D<double>::show_valz()
77     {printf(" [cz: %g] ",Cz);}
78 inline void elem3D<float>::show_valx()
79     {printf(" [cx: %f] ",Cx);}
80 inline void elem3D<float>::show_valy()
81     {printf(" [cy: %f] ",Cy);}
82 inline void elem3D<float>::show_valz()
83     {printf(" [cz: %f] ",Cz);}
84 inline void elem3D<int>::show_valx()
85     {printf(" [cx: %d] ",Cx);}
86 inline void elem3D<int>::show_valy()
87     {printf(" [cy: %d] ",Cy);}
88 inline void elem3D<int>::show_valz()
89     {printf(" [cz: %d] ",Cz);}
90
91
```





```

(magfields.get(i,j,k).cz() - magfields.get(i-1,j,k).cz());
98                                break;
99
100                           }
101                           my_cell.sety(new_value);
102                           elcfields.put(my_cell,i,j,k);
103
104
105 // ----- Composante en z -----
106 //printf(" Composante en z");
107 //getchar();
108
109 for (k=1; k<= NZ1; k++)
110     for (j=2; j<= NY1; j++)
111         for (i=2; i<= NX1; i++)
112     {
113         material_index=(my_space.get(i,j,k)).cz();
114         my_material = material_table[material_index];
115         my_cell = elcfields.get(i,j,k);
116         switch (material_index)
117         {
118             case 0:           // Free space
119                 {
120                     new_value=      my_cell.cz()
121                               + my_material.dtedx()
122                               *(magfields.get(i,j,k).cy() + magfields.get(i-1,j,k).cy())
123                               + my_material.dtedy()
124                               *(magfields.get(i,j,k).cx() + magfields.get(i,j-1,k).cx());
125                 break;
126             }
127             case 1:           // Perfect conductor
128                 {
129                     new_value = (- incident_fieldZ(i,j,k,my_env));
130                     break;
131             }
132             default:// Dielectrics
133                 {
134                     new_value= my_material.esctc() * my_cell.cz()
135                               - my_material.eincc() *
136 incident_fieldZ(i,j,k,my_env)
137                               - my_material.edevcn() *
138 derivated_incident_fieldZ(i,j,k,my_env)
139                               + my_material.ecrlz() *
140 (magfields.get(i,j,k).cy() - magfields.get(i-1,j,k).cy())
141                               + my_material.ecrlx() *
142 (magfields.get(i,j,k).cx() - magfields.get(i,j-1,k).cx());
143                 break;
144             }
145         }
146         my_cell.setz(new_value);
147         elcfields.put(my_cell,i,j,k);
148     }
149 }

```



```

42
43     for (k=1; k<=NZ1 ;k++)
44         for (j=1; j<= NY1; j++)
45             for (i=1; i<= NX1; i++)
46             {
47                 my_cell           = elcfields.get(i,j,k);
48                 space_cell       = my_space.get(i,j,k);
49 //----- Composante en X -----
50                 if (k>1 && j>1)
51                 {
52                     material_index  = space_cell.cx();
53                     my_material     = material_table[material_index];
54                     switch (material_index)
55                     {
56                         case 0:          // Free space
57                         {
58                             new_value=      my_cell.cx()
59                                         + my_material.dtedy() *
60                                         (magfields.get(i,j,k).cz() - magfields.get(i,j-1,k).cz())
61                                         - my_material.dtedz() *
62                                         (magfields.get(i,j,k).cy() - magfields.get(i,j,k-1).cy());
63                                         break;
64                         }
65                         case 1:          // Perfect conductor
66                         {
67                             new_value = (- incident_fieldX(i,j,k,my_env));
68                             break;
69                         }
70                         case 2:          // Erreur probable...LR
71                         {
72                             new_value = my_cell.cx();
73                             break;
74                         }
75                         default:// Dielectrics
76                         {
77                             new_value= my_material.esctc() * my_cell.cx()
78                                         - my_material.eincc() *
79                                         incident_fieldX(i,j,k,my_env)
80                                         - my_material.edevcn() *
81                                         derived_incident_fieldX(i,j,k,my_env)
82                                         + my_material.ecrly() *
83                                         (magfields.get(i,j,k).cz() - magfields.get(i,j-1,k).cz())
84                                         - my_material.ecrlz() *
85                                         (magfields.get(i,j,k).cy() - magfields.get(i,j,k-1).cy());
86                                         break;
87                         }
88                     }
89                     my_cell.setx(new_value);
90                 }
91             }
92             material_index=space_cell.cy();
93             my_material = material_table[material_index];
94             switch (material_index)
95             {
96                 case 0:          // Free space
97                 {

```



```

146                     new_value = my_cell.cz();
147                     break;
148                 }
149
150             default:// Dielectrics
151             {
152                 new_value= my_material.esctc() * my_cell.cz()
153                                         - my_material.eincc() *
154                                         - my_material.edevcn() *
155                                         + my_material.ecrlx() *
156                                         - my_material.ecrly() *
157                 (magfields.get(i,j,k).cy() - magfields.get(i-1,j,k).cy())
158                 (magfields.get(i,j,k).cx() - magfields.get(i,j-1,k).cx());
159                     break;
160                 }
161             my_cell.setz(new_value);
162         }
163         elcfields.put(my_cell.i,j,k);
164     }
165 }
166
167 //////////////////////////////////////////////////////////////////
168 // Procedure : electric_scattered_fields
169 // .....
170 // Role : Mise a jour des champs electriques dans //
171 // : tout l'espace considere
172 // .....
173 // Valeur renvoyee : aucune
174 // Parametres d'appel : espace des champs electriques // : espace des champs magnetiques
175 // : espace physique
176 // : table des materiaux
177 // : variables d'environnement
178 // : var_env_comp
179 // Parametres modifies : espace des champs electriques // : espace des champs magnetiques
180 //////////////////////////////////////////////////////////////////
181 template <class material_computing>
182 void electric_scattered_fields ( espace_champs
183                                     elcfields,
184                                     espace_champs
185                                     espace_physique
186                                     material_computing
187                                     var_env_comp
188                                     {
189                                     typ_champ
190                                     new_value;
191                                     my_cell;

```

```

190 typ_material material_index;
191 material_computing my_material;
192
193 int i, j, k;
194
195 int NX1 = my_space.nx() - 1 ;
196 int NY1 = my_space.ny() - 1 ;
197 int NZ1 = my_space.nz() - 1 ;
198
199
200 /* ----- Composante en X ----- */
201 for (k=2; k<=NZ1 ;k++)
202   for (j=2; j<= NY1; j++)
203     for (i=1; i<= NX1; i++)
204     {
205       my_cell = elcfields.get(i,j,k);
206       material_index = (my_space.get(i,j,k)).cx();
207       my_material = material_table[material_index];
208       switch (material_index)
209       {
210         case 0: // Free space
211         {
212           new_value= my_cell.cx()
213             + my_material.dtedy() *
214             (magfields.get(i,j,k).cz() - magfields.get(i,j-1,k).cz())
215             - my_material.dtedz() *
216             (magfields.get(i,j,k).cy() - magfields.get(i,j,k-1).cy());
217           break;
218         }
219         case 1: // Perfect conductor
220         {
221           new_value = (- incident_fieldX(i,j,k,my_env));
222           break;
223         }
224         case 2: // Antenne
225         {
226           new_value= my_cell.cx();
227           break; // Antenne -- Luc Romain, 4 sept 1998
228         }
229         default:// Dielectrics
230         {
231           new_value= my_material.esctc() * my_cell.cx()
232             - my_material.eincc() *
233             incident_fieldX(i,j,k,my_env)
234             - my_material.edevcn() *
235             derivated_incident_fieldX(i,j,k,my_env)
236             + my_material.ecrly() * (magfields.get(i,j,k).cz()
237             - magfields.get(i,j-1,k).cz())
238             - my_material.ecrlz() * (magfields.get(i,j,k).cy()
239             - magfields.get(i,j,k-1).cy());
240           break;
241         }
242       }
243       my_cell.setx(new_value);
244       elcfields.put(my_cell,i,j,k);
245     }
246   }
247 // ----- Composante en Y ----- //

```

```

243 for (k=2; k<= NZ1; k++)
244     for (j=1; j<= NY1; j++)
245         for (i=2; i<= NX1; i++)
246         {
247             material_index=(my_space.get(i,j,k)).cy();
248             my_material = material_table[material_index];
249             my_cell = elcfields.get(i,j,k);
250             switch (material_index)
251             {
252                 case 0:           // Free space
253                 {
254                     new_value=      my_cell.cy()
255                         + my_material.dtedz() *
256 (magfields.get(i,j,k).cx() - magfields.get(i,j,k-1).cx())
257                         - my_material.dtedx() *
258 (magfields.get(i,j,k).cz() - magfields.get(i-1,j,k).cz());
259                     break;
260                 }
261                 case 1:           // Perfect conductor
262                 {
263                     new_value = (- incident_fieldY(i,j,k,my_env));
264                     break;
265                 }
266                 case 2:           // Antenne
267                 {
268                     new_value= my_cell.cy();
269                     break; // Antenne -- Luc Romain 4 sept 1998
270                 }
271                 default:// Dielectrics
272                 {
273                     new_value= my_material.esctc() * my_cell.cy()
274                         - my_material.eincc() *
275 incident_fieldY(i,j,k,my_env)
276                     - my_material.edevcn() *
277 derived_incident_fieldY(i,j,k,my_env)
278                     + my_material.ecrlz() *
279 (magfields.get(i,j,k).cx() - magfields.get(i,j,k-1).cx())
280                     - my_material.ecrlx() *
281 (magfields.get(i,j,k).cz() - magfields.get(i-1,j,k).cz());
282                     break;
283                 }
284             }
285         }
286     }
287 }
288
289 // ----- Composante en z ----- //
290 for (k=1; k<= NZ1; k++)
291     for (j=2; j<= NY1; j++)
292         for (i=2; i<= NX1; i++)
293         {
294             material_index=(my_space.get(i,j,k)).cz();
295             my_material = material_table[material_index];
296             my_cell = elcfields.get(i,j,k);
297             switch (material_index)
298             {
299                 case 0:           // Free space
300                 {
301

```

```
296             new_value=      my_cell.cz()
297             + my_material.dtdex() * (magfields.get(i,j,k).cy() -
298             - my_material.dtdedy() * (magfields.get(i,j,k).cx() -
299             magfields.get(i,j-1,k).cx());
300             break;
301         }
302         case 1:      // Perfect conductor
303         {
304             new_value = (- incident_fieldz(i,j,k,my_env));
305             break;
306         }
307         case 2:      // Antenne
308         {
309             new_value= my_cell.cz();
310             break; // Antenne -- Luc Romain, 4 sept 1998
311         }
312         default:// Dielectrics
313         {
314             new_value= my_material.esctc() * my_cell.cz()
315             - my_material.eincc() *
316             incident_fieldz(i,j,k,my_env)
317             - my_material.edevcn() *
318             (magfields.get(i,j,k).cy() - magfields.get(i-1,j,k).cy())
319             + my_material.ecrlx() *
320             (magfields.get(i,j,k).cx() - magfields.get(i,j-1,k).cx());
321             break;
322         }
323     }
324 }
```

```

es_field.h

1 //////////////////////////////////////////////////////////////////
2 //
3 //////////////////////////////////////////////////////////////////
4 // MODULE DE CALCUL DES CHAMPS ELECTRIQUES DIFFUSES
5 //////////////////////////////////////////////////////////////////
6 //////////////////////////////////////////////////////////////////
7 //////////////////////////////////////////////////////////////////
8 // Procedure : electric_scattered_fields2
9 //////////////////////////////////////////////////////////////////
10 // Role : Mise a jour des champs electriques dans //
11 // : tout l'espace considere
12 //////////////////////////////////////////////////////////////////
13 // Valeur renvoyee : aucune
14 //////////////////////////////////////////////////////////////////
15 // Parametres d'appel : espace des champs electriques
16 // : espace des champs magnetiques
17 //////////////////////////////////////////////////////////////////
18 // : espace physique
19 //////////////////////////////////////////////////////////////////
20 // : table des materiaux
21 //////////////////////////////////////////////////////////////////
22 // : variables d'environnement
23 //////////////////////////////////////////////////////////////////
24 template <class material_computing>
25 void electric_scattered_fields2 ( espace_champs
26                                     elcfields,
27                                     espace_champs
28                                     magfields,
29                                     espace_physique
30                                     my_space,
31                                     material_computing
32                                     material_table(),
33                                     var_env_comp
34                                     my_env)
35 {
36     typ_champ           new_value;
37     cellule_champs      my_cell;
38     cellule_physique    space_cell;
39     typ_material         material_index;
40     material_computing my_material;
41
42     int i, j, k;
43
44     int NX1 = my_space.nx() - 1;
45     int NY1 = my_space.ny() - 1;
46     int NZ1 = my_space.nz() - 1;

```

```

42
43     for (k=1; k<=NZ1 ;k++)
44         for (j=1; j<= NY1; j++)
45             for (i=1; i<= NX1; i++)
46             {
47                 my_cell             = elcfields.get(i,j,k);
48                 space_cell         = my_space.get(i,j,k);
49 //----- Composante en X -----
50                 if (k>1 && j>1)
51                 {
52                     material_index  = space_cell.cx();
53                     my_material      = material_table[material_index];
54                     switch (material_index)
55                     {
56                         case 0:          // Free space
57                         {
58                             new_value=      my_cell.cx()
59                                         + my_material.dtedy() *
60 (magfields.get(i,j,k).cz() - magfields.get(i,j-1,k).cz())
61                                         - my_material.dtedz() *
62 (magfields.get(i,j,k).cy() - magfields.get(i,j,k-1).cy());
63                                         break;
64                         }
65                         case 1:          // Perfect conductor
66                         {
67                             new_value = (- incident_fieldX(i,j,k,my_env));
68                             break;
69                         }
70                         case 2:          // Erreur probable...LR
71                         {
72                             new_value = my_cell.cx();
73                             break;
74                         }
75                         default:// Dielectrics
76                         {
77                             new_value= my_material.esctc() *my_cell.cx()
78                                         - my_material.eincc() *
79 incident_fieldX(i,j,k,my_env)
80                                         - my_material.edevcn() *
81 derivated_incident_fieldX(i,j,k,my_env)
82                                         + my_material.ecrly() *
83 (magfields.get(i,j,k).cz() - magfields.get(i,j-1,k).cz())
84                                         + my_material.ecrlz() *
85 (magfields.get(i,j,k).cy() - magfields.get(i,j,k-1).cy());
86                                         break;
87                         }
88                     }
89                     my_cell.setx(new_value);
90                 }
91             // ----- Composante en Y -----
92             if (k>1 && i>1)
93             {
94                 material_index=space_cell.cy();
95                 my_material = material_table[material_index];
96                 switch (material_index)
97                 {
98                     case 0:          // Free space
99                     {

```

```

95                               new_value=      my_cell.cy()
96                                         + my_material.dtedz() *
97 (magfields.get(i,j,k).cx() - magfields.get(i,j,k-1).cx())
98                                         - my_material.dtedx() *
99                                         break;
100                                         }
101                                         case 1:      // Perfect conductor
102                                         {
103                                         new_value = (- incident_fieldY(i,j,k,my_env));
104                                         break;
105                                         }
106                                         case 2:      // Antenne -- non recalcule.
107                                         {
108                                         new_value = my_cell.cy();
109                                         break;
110                                         }
111                                         default:// Dielectrics
112                                         {
113                                         new_value= my_material.esctc() * my_cell.cy()
114                                         - my_material.eincc() *
115 incident_fieldY(i,j,k,my_env)
116                                         - my_material.edevcn() *
117 derivedat_incident_fieldY(i,j,k,my_env)
118                                         + my_material.ecrlz() *
119 (magfields.get(i,j,k).cx() - magfields.get(i,j,k-1).cx())
120                                         - my_material.ecrlx() *
121 (magfields.get(i,j,k).cz() - magfields.get(i-1,j,k).cz());
122                                         break;
123                                         }
124                                         my_cell.sety(new_value);
125                                         }
126                                         // ----- Composante en Z -----
127                                         if (i>1 && j>1)
128                                         {
129                                         material_index=space_cell.cz();
130                                         my_material = material_table[material_index];
131                                         switch (material_index)
132                                         {
133                                         case 0:      // Free space
134                                         {
135                                         new_value=      my_cell.cz()
136                                         + my_material.dtedx() *
137 (magfields.get(i,j,k).cy() - magfields.get(i-1,j,k).cy())
138                                         - my_material.dtedy() *
139 (magfields.get(i,j,k).cx() - magfields.get(i,j-1,k).cx());
140                                         break;
141                                         }
142                                         case 1:      // Perfect conductor
143                                         {
144                                         new_value = (- incident_fieldZ(i,j,k,my_env));
145                                         break;
146                                         }
147                                         case 2:      // Antenne -- non recalcule.
148                                         {

```

```

146                               new_value = my_cell.cz();
147                               break;
148                           }
149
150                           default:// Dielectrics
151                           {
152                               new_value= my_material.esctc() * my_cell.cz()
153                               - my_material.eincc() *
154                               - my_material.edevcn() *
155                               + my_material.ecrlx() *
156                               - my_material.ecrly() *
157                               (magfields.get(i,j,k).cy() - magfields.get(i-1,j,k).cy())
158                               (magfields.get(i,j,k).cx() - magfields.get(i,j-1,k).cx());
159                               break;
160                           }
161                           my_cell.setz(new_value);
162
163                           elcfields.put(my_cell,i,j,k);
164
165 }
166
167 /////////////////////////////////
168 // Procedure           : electric_scattered_fields
169 // //////////////////////////////////////////////////////////////////
170 // Role                : Mise a jour des champs electriques dans //
171 //                           : tout l'espace considere
172 // //////////////////////////////////////////////////////////////////
173 // Valeur renvoyee    : aucune
174 // Parametres d'appel   : espace des champs electriques           //
175 //                           : espace des champs magnetiques
176 // //////////////////////////////////////////////////////////////////
177 //                           : espace physique
178 // //////////////////////////////////////////////////////////////////
179 // Parametres modifies   : espace des champs electriques           //
180 /////////////////////////////////
181 template <class material_computing>
182 void electric_scattered_fields ( espace_champs
183                               elcfields,
184                               magfields,
185                               my_space,
186                               material_table[],
187                               my_env)
188 {
189     typ_champ           new_value;
190     cellule_champs      my_cell;

```

```

190 typ_material           material_index;
191 material_computing  my_material;
192
193 int i, j, k;
194
195 int NX1 = my_space.nx() - 1 ;
196 int NY1 = my_space.ny() - 1 ;
197 int NZ1 = my_space.nz() - 1 ;
198
199 /* ----- Composante en X ----- */
200 for (k=2; k<=NZ1 ;k++)
201   for (j=2; j<= NY1; j++)
202     for (i=1; i<= NX1; i++)
203     {
204       my_cell           = elcfields.get(i,j,k);
205       material_index  = (my_space.get(i,j,k)).cx();
206       my_material      = material_table[material_index];
207       switch (material_index)
208       {
209         case 0:          // Free space
210           {
211             new_value=   my_cell.cx()
212                         + my_material.dtedy() *
213 (magfields.get(i,j,k).cz() - magfields.get(i,j-1,k).cz())
214                         - my_material.dtedz() *
215 (magfields.get(i,j,k).cy() - magfields.get(i,j,k-1).cy());
216             break;
217           }
218         case 1:          // Perfect conductor
219           {
220             new_value = (- incident_fieldx(i,j,k,my_env));
221             break;
222           }
223         case 2:          // Antenne
224           {
225             new_value= my_cell.cx();
226             break; // Antenne -- Luc Romain, 4 sept 1998
227           }
228         default:// Dielectrics
229           {
230             new_value= my_material.esctc() * my_cell.cx()
231                         - my_material.eincc() *
232 incident_fieldx(i,j,k,my_env)
233                         - my_material.edevcn() *
234 derived_incident_fieldx(i,j,k,my_env)
235                         + my_material.ecrly() * (magfields.get(i,j,k).cz()
236 - magfields.get(i,j-1,k).cz())
237                         - my_material.ecrlz() * (magfields.get(i,j,k).cy()
238 - magfields.get(i,j,k-1).cy());
239             break;
240           }
241     }
242 // ----- Composante en Y ----- //

```

```

243  for (k=2; k<= NZ1; k++)
244    for (j=1; j<= NY1; j++)
245      for (i=2; i<= NX1; i++)
246      {
247        material_index=(my_space.get(i,j,k)).cy();
248        my_material = material_table[material_index];
249        my_cell = elcfields.get(i,j,k);
250        switch (material_index)
251        {
252          case 0:           // Free space
253          {
254            new_value=      my_cell.cy()
255                         + my_material.dtedz() *
256 (magfields.get(i,j,k).cx() - magfields.get(i,j,k-1).cx())
257                         - my_material.dtedx() *
258 (magfields.get(i,j,k).cz() - magfields.get(i-1,j,k).cz());
259            break;
260          }
261          case 1:           // Perfect conductor
262          {
263            new_value = (- incident_fieldY(i,j,k,my_env));
264            break;
265          }
266          case 2:           // Antenne
267          {
268            new_value= my_cell.cy();
269            break; // Antenne -- Luc Romain 4 sept 1998
270          }
271          default:// Dielectrics
272          {
273            new_value= my_material.esctc() * my_cell.cy()
274                         - my_material.eincc() *
275 incident_fieldY(i,j,k,my_env)
276                         - my_material.edevcn() *
277 derivated_incident_fieldY(i,j,k,my_env)
278                         + my_material.ecrlz() *
279 (magfields.get(i,j,k).cx() - magfields.get(i,j,k-1).cx())
280                         - my_material.ecrlx() *
281 (magfields.get(i,j,k).cz() - magfields.get(i-1,j,k).cz());
282            break;
283          }
284 // ----- Composante en Z ----- //
285 for (k=1; k<= NZ1; k++)
286   for (j=2; j<= NY1; j++)
287     for (i=2; i<= NX1; i++)
288     {
289       material_index=(my_space.get(i,j,k)).cz();
290       my_material = material_table[material_index];
291       my_cell = elcfields.get(i,j,k);
292       switch (material_index)
293       {
294         case 0:           // Free space
295         {

```

```
296                     new_value=      my_cell.cz()
297                     + my_material.dtedx() * (magfields.get(i,j,k).cy() -
298                                         - my_material.dtedy() * (magfields.get(i,j,k).cx() -
299                                         magfields.get(i-1,j,k).cy());
300                                         break;
301                                         }
302                                         case 1:      // Perfect conductor
303                                         {
304                                         new_value = (- incident_fieldZ(i,j,k,my_env));
305                                         break;
306                                         }
307                                         case 2:      // Antenne
308                                         {
309                                         new_value=my_cell.cz();
310                                         break; // Antenne -- Luc Romain, 4 sept 1998
311                                         }
312                                         default:// Dielectrics
313                                         {
314                                         new_value= my_material.esctc() * my_cell.cz()
315                                         - my_material.eincc() *
316                                         derivated_incident_fieldZ(i,j,k,my_env)
317                                         + my_material.edevcn() *
318                                         (magfields.get(i,j,k).cy() - magfields.get(i-1,j,k).cy())
319                                         - my_material.ecrly() *
320                                         (magfields.get(i,j,k).cx() - magfields.get(i,j-1,k).cx());
321                                         break;
322                                         }
323                                         }
324 }
```

```

espaces3.h

1 //////////////////////////////////////////////////////////////////
2 //////////////////////////////////////////////////////////////////
3 //////////////////////////////////////////////////////////////////
4 //////////////////////////////////////////////////////////////////
5 //////////////////////////////////////////////////////////////////
6 //////////////////////////////////////////////////////////////////
7 //////////////////////////////////////////////////////////////////
8 //////////////////////////////////////////////////////////////////
9 //////////////////////////////////////////////////////////////////
10 //////////////////////////////////////////////////////////////////
11 //////////////////////////////////////////////////////////////////
12 //////////////////////////////////////////////////////////////////
13 //////////////////////////////////////////////////////////////////
14 //////////////////////////////////////////////////////////////////
15 //////////////////////////////////////////////////////////////////
16 //////////////////////////////////////////////////////////////////
17 //////////////////////////////////////////////////////////////////
18 template <class type>
19 class espaces: public tableaux<type>
20 {
21     private:
22         // Point origine
23         int OX,OY,OZ;
24
25     public:
26         // Constructeur
27         espaces(int PosX=0, int PosY=0, int PosZ=0,
28                 int Dimx=1, int Dimy=1, int Dimz=1) : tableaux<type>(Dimx,Dimy,Dimz)
29                 {OX=PosX;OY=PosY;OZ=PosZ;};
30
31     // Destructeur
32     virtual     -espaces()      {};
33
34     // Accesseurs
35     inline int    ox()      {return(OX);}
36     inline int    oy()      {return(OY);}
37     inline int    oz()      {return(OZ);}
38
39     // Affichage des caracteristiques de l'objet
40     void    descripteur()
41     {
42         printf(" Point origine de la zone:");
43         printf(" %d,%d,%d",OX,OY,OZ);
44         tableaux<type>::descripteur();
45     };
46 };

```

```

hs_fields.h

1 //////////////////////////////////////////////////////////////////
2 //
3 // //////////////////////////////////////////////////////////////////
4 // //////////////////////////////////////////////////////////////////
5 // //////////////////////////////////////////////////////////////////
6 // //////////////////////////////////////////////////////////////////
7 // //////////////////////////////////////////////////////////////////
8 // Procedure : magnetic_scattered_fields2
9 // //
10 // ..... : Mise a jour des champs magnetiques dans //
11 // : tout l'espace considere
12 // //
13 // Valeur renvoyee : aucune
14 // //
15 // Parametres d'appel : espace des champs electriques
16 // : espace des champs magnetiques
17 // : espace physique
18 // //
19 // : materiau: vide
20 // //
21 // : variables d'environnement
22 // //
23 // Remarques : Proposition d'amelioration par rapport au code de //
24 // Luebbers.
25 // //
26 // Gain sur l'espace de test et 100 iterations : 10 a
27 // 15 secondes. -
28 //////////////////////////////////////////////////////////////////
29 template<class material_computing>
30 void magnetic_scattered_fields2(espace_champs elcfields,
31                                     magfields,
32                                     my_space,
33                                     free_space)
34 {
35     int i, j, k;
36     typ_champ new_value;
37     cellule_champs my_cell;
38     int NX1=magfields.nx()-1;
39     int NY1=magfields.ny()-1;
40     int NZ1=magfields.nz()-1;
41     for (k=1; k<= NZ1;k++)
42         for (j=1; j<=NY1; j++)
43             for (i=1; i<= NX1; i++)
44             {

```

```

44     my_cell = magfields.get(i,j,k);
45     if (i>1) // ----- Composante en X ----- //
46     {
47         new_value = my_cell.cx()
48             - free_space.dtmidy() * (elcfields.get(i,j+1,k).cz()
49                                         + free_space.dtmmdz() * (elcfields.get(i,j,k+1).cy()
50                                         my_cell.setx(new_value);
51     }
52
53     if (j>1) // ----- Composante en Y ----- //
54     {
55         new_value = my_cell.cy()
56             - free_space.dtmmdz() * (elcfields.get(i,j,k+1).cx()
57                                         + free_space.dtmidx() * (elcfields.get(i+1,j,k).cz()
58                                         my_cell.sety(new_value);
59     }
60     if (k>1) // ----- Composante en Z ----- //
61     {
62         new_value = my_cell.cz()
63             - free_space.dtmidx() * (elcfields.get(i+1,j,k).cy()
64                                         + free_space.dtmidy() * (elcfields.get(i,j+1,k).cx()
65                                         my_cell.setz(new_value);
66     }
67     magfields.put(my_cell,i,j,k);
68 }
69
70
71 //////////////////////////////////////////////////////////////////
72 // Procedure : magnetic_scattered_fields
73 // //
74 // ..... : Mise a jour des champs magnetiques dans //
75 // ..... : tout l'espace considere
76 // //
77 // Valeur renvoyee : aucune
78 // //
79 // Parametres d'appel : espace des champs electriques
80 // ..... : espace des champs magnetiques
81 // //
82 // ..... : espace physique
83 // //
84 // ..... : materiau: vide
85 // //
86 // ..... : variables d'environnement
87 // //
88 // Parametres modifies : espace des champs magnetiques
89 //////////////////////////////////////////////////////////////////
90
91 template<class material_computing>
92 void magnetic_scattered_fields(      espace_champs      elcfields,
93                                espace_champs      espace_physique
94                                magfields,
95                                my_space,
```

```

90          free_space)
91  {
92      int i, j, k;
93      typ_champ new_value;
94      cellule_champs my_cell;
95      int NX1=magfields.nx()-1;
96      int NY1=magfields.ny()-1;
97      int NZ1=magfields.nz()-1;
98
99      /* ----- Composante en X ----- */
100     for (k=1; k<= NZ1; k++)
101         for (j=1; j<= NY1; j++)
102             for (i=2; i<= NX1; i++)
103             {
104                 my_cell = magfields.get(i,j,k);
105                 new_value = my_cell.cx()
106                             - free_space.dtmxy() * (elcfields.get(i,j+1,k).cz()
107                                         - elcfields.get(i,j,k).cz())
108                                         + free_space.dtmxz() * (elcfields.get(i,j,k+1).cy()
109                                         - elcfields.get(i,j,k).cy());
110                 my_cell.setx(new_value);
111                 magfields.put(my_cell,i,j,k);
112             }
113     /* ----- Composante en Y ----- */
114     for (k=1; k<= NZ1; k++)
115         for (j=2; j<= NY1; j++)
116             for (i=1; i<= NX1; i++)
117             {
118                 my_cell = magfields.get(i,j,k);
119                 new_value = my_cell.cy()
120                             - free_space.dtmxz() * (elcfields.get(i,j,k+1).cx()
121                                         - elcfields.get(i,j,k).cx())
122                                         + free_space.dtmxy() * (elcfields.get(i+1,j,k).cz()
123                                         - elcfields.get(i,j,k).cz());
124                 my_cell.sety(new_value);
125                 magfields.put(my_cell,i,j,k);
126             }
127     /* ----- Composante en Z ----- */
128     for (k=2; k<= NZ1; k++)
129         for (j=1; j<= NY1; j++)
130             for (i=1; i<= NX1; i++)
131             {
132                 my_cell = magfields.get(i,j,k);
133                 new_value = my_cell.cz()
134                             - free_space.dtmxy() * (elcfields.get(i+1,j,k).cy()
135                                         - elcfields.get(i,j,k).cy())
136                                         + free_space.dtmxz() * (elcfields.get(i,j+1,k).cx()
137                                         - elcfields.get(i,j,k).cx());
138                 my_cell.setz(new_value);
139                 magfields.put(my_cell,i,j,k);
140             }
141 }

```

## LChain.h

```
1  /*
2   * classe Liste
3
4   * Cette classe represente un element contenu dans une liste pointee simple.
5   * Les acces a l'element se font avec Set et Get.
6
7   * L'element suivant est pointe par *next.
8
9   * Date: 3 mai 1999
10  * Luc Romain
11
12  */
13 template <class type>
14 class Liste
15 {
16 public:
17     Liste()
18     {
19         next=NULL;
20     }
21     ~Liste()
22     {
23     };
24
25 // -----
26 // Set (....)
27 // Assignation de la valeur contenue dans element.
28 //
29 // Luc Romain
30 // -----
31     void Set(type *new_elem)
32     {
33         element==new_elem;
34     }
35 // -----
36 // Get (....)
37 // Retour de la valeur contenue dans element.
38 //
39 // Luc Romain
40 // -----
41
42     type Get()
43     {
44         return(element);
45     }
46
47 // -----
48 // SetNext (....)
49 // Assign l'adresse du prochain element.
50 //
51 // Luc Romain
52 // -----
53
54     void SetNext(Liste *Next)
55     {
56         next=Next;
```

```
57     }
58
59 // -----
60 // GetNext (....)
61 // Retourne l'adresse du prochain element.
62 //
63 // Luc Romain
64 // -----
65     Liste* GetNext(void)
66     {
67         return(next);
68     }
69
70 private:
71     Liste *next;
72     type element;
73 };
74
75
76 // -----
77 // class Linked_Chain
78 //
79 // Cette classe s'occupe de lier tous les elements qui seront crees
80 //
81 // Luc Romain
82 // -----
83
84 template <class type>
85 class Linked_Chain
86 {
87 protected:
88     Liste<type> *head,*tail,*courant;
89     bool initOK;
90     int nb_elem;
91
92 // -----
93 // delete_list()
94 // Efface completement le contenu de la liste chaine.
95 // Luc Romain
96 // -----
97     void delete_list()
98     {
99         Liste<type> *tmp;
100
101         courant=head;
102         while(courant!=NULL)
103         {
104             tmp=courant;
105             courant=courant->GetNext();
106             delete tmp;
107         }
108
109     }
110 }
111
112 public:
113     Linked_Chain()
114     {
115         head=NULL;
```

```
116         tail=NULL;
117         courant=NULL;
118         nb_elem=0;
119         initOK=false;
120     }
121
122     -Linked_Chain()
123     {
124         delete_list();
125     }
126
127 // -----
128 // Add_elem(...)
129 // Rajoute un element au bout de la liste chaine.
130 //
131 // Luc Romain
132 // -----
133
134     bool Add_elem(type *elem)
135     {
136         Liste<type> *tmp;
137         if(initOK)
138         {
139             tmp=new Liste<type>;
140             if(tmp==NULL)
141             {
142                 printf("d' allocation de memoire -- ListedChain::Add.");
143                 initOK=false;
144                 return false;
145             }
146             tmp->SetNext(NULL);
147             tmp->Set(elem); // Assignation du pointeur sur element.
148             tail->SetNext(tmp);
149             tail=tmp;
150             nb_elem++;
151         }
152         else // initOK=false
153         {
154             tmp=new Liste<type>;
155             if(tmp==NULL)
156             {
157                 printf("d' allocation de memoire -- ListedChain::Add.");
158                 return false;
159             }
160             tmp->SetNext(NULL);
161             tmp->Set(elem);
162             head=tmp;
163             tail=tmp;
164             courant=tmp;
165             nb_elem++;
166             initOK=true;
167             //printf("element memorise.");
168         }
169         return(true);
170     }
171
172 // -----
173 // top()
174 //
```

```
175 // Place le pointeur de la liste sur le premier element puis retourne
176 // l'element situe a la premiere place de cette liste.
177 // Luc Romain
178 // -----
179
180     type top()
181     {
182         if(!initOK)
183         {
184             printf("de lecture. ListedChain::top()");
185             if(get_nb_elem()==0)
186                 printf("element dans la liste.");
187             exit(1);
188         }
189         courant=head;
190         if(courant!=NULL)
191         {
192             return courant->Get();
193         }
194         else
195         {
196             printf("element n'existe pas. LinkedChain::top()");
197             exit(1);
198         }
199         return courant->Get();
200     }
201
202 // -----
203 // current()
204 // Renvoie l'element qui est actuellement pointe par le pointeur de
205 // position.
206 // Luc Romain
207 // -----
208     type current()
209     {
210         if(!initOK)
211         {
212             printf("de lecture. LChain::current()");
213             exit(1);
214         }
215         if(courant!=NULL)
216             return(courant->Get());
217         else
218         {
219             printf("element n'existe pas. LinkedChain::current()");
220             exit(1);
221         }
222         return courant->Get();
223     }
224
225 // -----
226 // next()
227 // Avance le pointeur d'un element puis renvoie l'element
228 // 
229 // Luc Romain
230 // -----
231     type next()
232     {
233         if(!initOK)
```

```
234     {
235         printf("de lecture. LChain::next().");
236         exit(1);
237     }
238
239     if(courant->GetNext() !=NULL)
240     {
241         courant=courant->GetNext();
242         return(courant->Get());
243     }
244     else
245     {
246         printf("- L'element n'existe pas ou la fin de la liste a ete rencontree.");
247         printf("- LinkedChain::next()");
248         return(current());
249     }
250 }
251
252
253 // -----
254 // get_nb_elem()
255 // renvoie le nombre total d'elements qui ont ete alloues.
256 // Luc Romain
257 // -----
258     int get_nb_elem()
259     {
260         return nb_elem;
261     }
262
263 }:
264
```

## list.txt

```
1  main.cpp
2  basic_file_io.h
3  build.h
4  coeur.h
5  constantes.h
6  diaphragme2.h
7  dipole.h
8  display_for_debug.h
9  ei_fields_0.h
10 ei_fields.h
11 Electrode.h
12 elem3D.h
13 es_field_0.h
14 Es_field.h
15 es_field.h
16 espaces3.h
17 hs_fields.h
18 LChain.h
19 list.txt
20 material.h
21 material_computing.h
22 material_table.h
23 orbc_comp_const.h
24 Orbc_xy.h
25 Orbc_xz.h
26 Orbc_yx.h
27 Orbc_yz.h
28 Orbc_zx.h
29 Orbc_zy.h
30 ordi.h
31 restore.h
32 save_data.h
33 save_space.h
34 Source.h
35 tableaux.h
36 type.h
37 type2.h
38 update.h
39 var_env.h
40 var_env_comp.h
41 wiretest.h
```



```
47 // Initialisation
48 void init(      char *name,typ_phys_prm  sig,
49               typ_phys_prm      eps,typ_phys_prm rh)
50 {
51     sprintf(nom,"%s",name);
52     sigma=sig;
53     epsilon=eps;
54     rho=rh;
55 }
56
57 // Affectation de l'index referent dans la table des materiaux
58 void set_index(int ind)           {index=ind;}
59 };
```

```

material_computing.h

1  //////////////////////////////////////////////////////////////////
2  //
3  //                                         //
4  //                                         //
5  //////////////////////////////////////////////////////////////////
6  class material_computing : public material, public var_env
7  {
8  private :
9
10     // Constantes de calcul associees (calcul des champs )
11     typ_phys_prm    C1;
12     typ_phys_prm    C2;
13     typ_phys_prm    C3;
14     typ_phys_prm    C4;
15     typ_phys_prm    C5;
16     typ_phys_prm    C6;
17
18 public:
19     // Constructeurs
20
21     material_computing()      {initok=false;};
22
23     material_computing(var_env env):var_env (env)
24         {if (dx*dy*dz*dt==0.0) initok=false;};
25
26     material_computing(      char *name,typ_phys_prm  sig ,
27                               typ_phys_prm    eps ,typ_phys_prm    rh ,
28                               var_env           env );
material(name,sig,eps,rh), var_env (env)
29     {
30         if (dx*dy*dz*dt==0.0)
31         {
32             printf("Une des variables d'environnement est nulle.");
33             printf("L'initialisation des constantes de calcul ne peut etre menee a
bien.");
34             getchar();
35             initok=false;
36         }
37         else  {init();initok=true;}
38     };
39
40     material_computing(      int Indx,char *name,typ_phys_prm sig,
41                               typ_phys_prm eps,typ_phys_prm    rh ,
42                               var_env   env ): material(name,sig,eps,rh),var_env
(env)
43     {
44         if (dx*dy*dz*dt==0.0)
45         {
46             printf("Une des variables d'environnement est nulle.");
47             printf("L'initialisation des constantes de calcul ne peut etre menee a
bien.");
48             getchar();
49             initok=false;

```

```

50
51         }
52     else
53     {
54         set_index(Indx);
55         init();
56         initok=true;
57     }
58
59
60     // Destructeur
61     -material_computing()      {};
62
63     // Initialisation
64     void init()
65     {
66
67         if (index == 0 || epsilon*sigma == 0)          // Free space
68     {
69         C1 = dt / (EPS0 * dx);                         // dtedx
70         C2 = dt / (EPS0 * dy);                         // dtedy
71         C3 = dt / (EPS0 * dz);                         // dtedz
72         C4 = dt / (XMU0 * dx);                         // dmtdx
73         C5 = dt / (XMU0 * dy);                         // dmtdy
74         C6 = dt / (XMU0 * dz);                         // dmtdz
75     }
76     else if (index!=1)                  // Dielectrics
77     {
78         C1 = epsilon / (epsilon + sigma * dt);          // escc
79         C2 = sigma * dt/ (epsilon + sigma * dt);        // eincc
80         C3 = dt * (epsilon - EPS0) / (epsilon + sigma * dt); // edevcn
81         C4 = dt / ((epsilon + sigma * dt) * dx);        // ecrlx
82         C5 = dt / ((epsilon + sigma * dt) * dy);        // ecrly
83         C6 = dt / ((epsilon + sigma * dt) * dz);        // ecrlz
84         printf("----- Material[%2i]-%19s EPSr->%2.2e Sig-"
85             ">%3.3e",index,nom,epsilon,sigma);
86     }
87     initok=true;
88
89     // Accesseurs : cas du vide
90     inline typ_phys_prm      dtedx()
91     {
92         if (index == 0 && initok) return (C1);
93         else {irrelevant_call("vide");return (PHYS_PRM_NUL);}
94
95     inline typ_phys_prm      dtedy()
96     {
97         if (index == 0 && initok) return (C2);
98         else {irrelevant_call("vide");return (PHYS_PRM_NUL);}
99
100    inline typ_phys_prm      dtedz()
101    {
102        if (index == 0 && initok) return (C3);
103        else {irrelevant_call("vide");return (PHYS_PRM_NUL);}
104
105    inline typ_phys_prm      dtmdx()
106    {
107        if (index == 0 && initok) return (C4);
108        else {irrelevant_call("vide");return (PHYS_PRM_NUL);}
109
110    inline typ_phys_prm      dtmdy()
111    {
112        if (index == 0 && initok) return (C5);
113        else {irrelevant_call("vide");return (PHYS_PRM_NUL);}
114
115    inline typ_phys_prm      dtmdz()
116    {
117        if (index == 0 && initok) return (C6);
118        else {irrelevant_call("vide");return (PHYS_PRM_NUL);}
119
120
121
122
123
124
125
126
127
128
129
130
131
132
133
134
135
136
137
138
139
140
141
142
143
144
145
146
147
148
149
150
151
152
153
154
155
156
157
158
159
160
161
162
163
164
165
166
167
168
169
170
171
172
173
174
175
176
177
178
179
180
181
182
183
184
185
186
187
188
189
190
191
192
193
194
195
196
197
198
199
200
201
202
203
204
205
206
207
208
209
210
211
212
213
214
215
216
217
218
219
220
221
222
223
224
225
226
227
228
229
230
231
232
233
234
235
236
237
238
239
240
241
242
243
244
245
246
247
248
249
250
251
252
253
254
255
256
257
258
259
260
261
262
263
264
265
266
267
268
269
270
271
272
273
274
275
276
277
278
279
280
281
282
283
284
285
286
287
288
289
290
291
292
293
294
295
296
297
298
299
300
301
302
303
304
305
306
307
308
309
310
311
312
313
314
315
316
317
318
319
320
321
322
323
324
325
326
327
328
329
330
331
332
333
334
335
336
337
338
339
340
341
342
343
344
345
346
347
348
349
350
351
352
353
354
355
356
357
358
359
360
361
362
363
364
365
366
367
368
369
370
371
372
373
374
375
376
377
378
379
380
381
382
383
384
385
386
387
388
389
390
391
392
393
394
395
396
397
398
399
400
401
402
403
404
405
406
407
408
409
410
411
412
413
414
415
416
417
418
419
420
421
422
423
424
425
426
427
428
429
430
431
432
433
434
435
436
437
438
439
440
441
442
443
444
445
446
447
448
449
450
451
452
453
454
455
456
457
458
459
460
461
462
463
464
465
466
467
468
469
470
471
472
473
474
475
476
477
478
479
480
481
482
483
484
485
486
487
488
489
490
491
492
493
494
495
496
497
498
499
500
501
502
503
504
505
506
507
508
509
510
511
512
513
514
515
516
517
518
519
520
521
522
523
524
525
526
527
528
529
530
531
532
533
534
535
536
537
538
539
540
541
542
543
544
545
546
547
548
549
550
551
552
553
554
555
556
557
558
559
560
561
562
563
564
565
566
567
568
569
570
571
572
573
574
575
576
577
578
579
580
581
582
583
584
585
586
587
588
589
589
590
591
592
593
594
595
596
597
598
599
599
600
601
602
603
604
605
606
607
608
609
609
610
611
612
613
614
615
616
617
618
619
619
620
621
622
623
624
625
626
627
628
629
629
630
631
632
633
634
635
636
637
638
639
639
640
641
642
643
644
645
646
647
648
649
649
650
651
652
653
654
655
656
657
658
659
659
660
661
662
663
664
665
666
667
668
669
669
670
671
672
673
674
675
676
677
678
679
679
680
681
682
683
684
685
686
687
687
688
689
689
690
691
692
693
694
695
696
697
697
698
699
699
700
701
702
703
704
705
706
707
708
709
709
710
711
712
713
714
715
716
717
717
718
719
719
720
721
722
723
724
725
726
727
727
728
729
729
730
731
732
733
734
735
736
737
737
738
739
739
740
741
742
743
744
745
746
747
747
748
749
749
750
751
752
753
754
755
756
757
757
758
759
759
760
761
762
763
764
765
766
767
767
768
769
769
770
771
772
773
774
775
776
777
777
778
779
779
780
781
782
783
784
785
786
787
787
788
789
789
790
791
792
793
794
795
796
797
797
798
799
799
800
801
802
803
804
805
806
807
807
808
809
809
810
811
812
813
814
815
816
817
817
818
819
819
820
821
822
823
824
825
826
827
827
828
829
829
830
831
832
833
834
835
836
837
837
838
839
839
840
841
842
843
844
845
846
847
847
848
849
849
850
851
852
853
854
855
856
857
857
858
859
859
860
861
862
863
864
865
866
867
867
868
869
869
870
871
872
873
874
875
876
877
877
878
879
879
880
881
882
883
884
885
886
886
887
888
888
889
889
890
891
892
893
894
895
896
897
897
898
899
899
900
901
902
903
904
905
906
907
908
909
909
910
911
912
913
914
915
916
917
917
918
919
919
920
921
922
923
924
925
926
927
927
928
929
929
930
931
932
933
934
935
936
937
937
938
939
939
940
941
942
943
944
945
946
946
947
948
948
949
950
951
952
953
954
955
956
957
957
958
959
959
960
961
962
963
964
965
966
966
967
968
968
969
970
971
972
973
974
975
976
977
977
978
979
979
980
981
982
983
984
985
986
987
987
988
989
989
990
991
992
993
994
995
996
997
998
999
999
1000
1001
1002
1003
1004
1005
1006
1007
1008
1009
1009
1010
1011
1012
1013
1014
1015
1016
1017
1017
1018
1019
1019
1020
1021
1022
1023
1024
1025
1026
1027
1027
1028
1029
1029
1030
1031
1032
1033
1034
1035
1036
1037
1037
1038
1039
1039
1040
1041
1042
1043
1044
1045
1046
1046
1047
1048
1048
1049
1050
1051
1052
1053
1054
1055
1056
1057
1057
1058
1059
1059
1060
1061
1062
1063
1064
1065
1066
1067
1067
1068
1069
1069
1070
1071
1072
1073
1074
1075
1076
1076
1077
1078
1078
1079
1080
1081
1082
1083
1084
1085
1086
1087
1087
1088
1089
1089
1090
1091
1092
1093
1094
1095
1096
1096
1097
1098
1098
1099
1100
1101
1102
1103
1104
1105
1106
1107
1108
1109
1109
1110
1111
1112
1113
1114
1115
1116
1116
1117
1118
1118
1119
1120
1121
1122
1123
1124
1125
1126
1126
1127
1128
1128
1129
1130
1131
1132
1133
1134
1135
1136
1137
1137
1138
1139
1139
1140
1141
1142
1143
1144
1145
1146
1146
1147
1148
1148
1149
1150
1151
1152
1153
1154
1155
1156
1156
1157
1158
1158
1159
1160
1161
1162
1163
1164
1165
1165
1166
1167
1167
1168
1169
1169
1170
1171
1172
1173
1174
1175
1175
1176
1177
1177
1178
1179
1179
1180
1181
1182
1183
1184
1185
1186
1186
1187
1188
1188
1189
1190
1191
1192
1193
1194
1194
1195
1196
1196
1197
1198
1198
1199
1200
1201
1202
1203
1204
1205
1205
1206
1207
1207
1208
1209
1209
1210
1211
1212
1213
1214
1215
1215
1216
1217
1217
1218
1219
1219
1220
1221
1222
1223
1224
1225
1225
1226
1227
1227
1228
1229
1229
1230
1231
1232
1233
1234
1235
1235
1236
1237
1237
1238
1239
1239
1240
1241
1242
1243
1244
1245
1245
1246
1247
1247
1248
1249
1249
1250
1251
1252
1253
1254
1255
1255
1256
1257
1257
1258
1259
1259
1260
1261
1262
1263
1264
1265
1265
1266
1267
1267
1268
1269
1269
1270
1271
1272
1273
1274
1275
1275
1276
1277
1277
1278
1279
1279
1280
1281
1282
1283
1284
1285
1285
1286
1287
1287
1288
1289
1289
1290
1291
1292
1293
1294
1294
1295
1296
1296
1297
1298
1298
1299
1300
1301
1302
1303
1303
1304
1305
1305
1306
1307
1307
1308
1309
1309
1310
1311
1312
1313
1314
1314
1315
1316
1316
1317
1318
1318
1319
1320
1320
1321
1322
1322
1323
1324
1324
1325
1326
1326
1327
1328
1328
1329
1330
1330
1331
1332
1332
1333
1334
1334
1335
1336
1336
1337
1338
1338
1339
1340
1340
1341
1342
1342
1343
1344
1344
1345
1346
1346
1347
1348
1348
1349
1350
1350
1351
1352
1352
1353
1354
1354
1355
1356
1356
1357
1358
1358
1359
1360
1360
1361
1362
1362
1363
1364
1364
1365
1366
1366
1367
1368
1368
1369
1370
1370
1371
1372
1372
1373
1374
1374
1375
1376
1376
1377
1378
1378
1379
1380
1380
1381
1382
1382
1383
1384
1384
1385
1386
1386
1387
1388
1388
1389
1390
1390
1391
1392
1392
1393
1394
1394
1395
1396
1396
1397
1398
1398
1399
1400
1400
1401
1402
1402
1403
1404
1404
1405
1406
1406
1407
1408
1408
1409
1410
1410
1411
1412
1412
1413
1414
1414
1415
1416
1416
1417
1418
1418
1419
1420
1420
1421
1422
1422
1423
1424
1424
1425
1426
1426
1427
1428
1428
1429
1430
1430
1431
1432
1432
1433
1434
1434
1435
1436
1436
1437
1438
1438
1439
1440
1440
1441
1442
1442
1443
1444
1444
1445
1446
1446
1447
1448
1448
1449
1450
1450
1451
1452
1452
1453
1454
1454
1455
1456
1456
1457
1458
1458
1459
1460
1460
1461
1462
1462
1463
1464
1464
1465
1466
1466
1467
1468
1468
1469
1470
1470
1471
1472
1472
1473
1474
1474
1475
1476
1476
1477
1478
1478
1479
1480
1480
1481
1482
1482
1483
1484
1484
1485
1486
1486
1487
1488
1488
1489
1490
1490
1491
1492
1492
1493
1494
1494
1495
1496
1496
1497
1498
1498
1499
1500
1500
1501
1502
1502
1503
1504
1504
1505
1506
1506
1507
1508
1508
1509
1510
1510
1511
1512
1512
1513
1514
1514
1515
1516
1516
1517
1518
1518
1519
1520
1520
1521
1522
1522
1523
1524
1524
1525
1526
1526
1527
1528
1528
1529
1530
1530
1531
1532
1532
1533
1534
1534
1535
1536
1536
1537
1538
1538
1539
1540
1540
1541
1542
1542
1543
1544
1544
1545
1546
1546
1547
1548
1548
1549
1550
1550
1551
1552
1552
1553
1554
1554
1555
1556
1556
1557
1558
1558
1559
1560
1560
1561
1562
1562
1563
1564
1564
1565
1566
1566
1567
1568
1568
1569
1570
1570
1571
1572
1572
1573
1574
1574
1575
1576
1576
1577
1578
1578
1579
1580
1580
1581
1582
1582
1583
1584
1584
1585
1586
1586
1587
1588
1588
1589
1590
1590
1591
1592
1592
1593
1594
1594
1595
1596
1596
1597
1598
1598
1599
1600
1600
1601
1602
1602
1603
1604
1604
1605
1606
1606
1607
1608
1608
1609
1610
1610
1611
1612
1612
1613
1614
1614
1615
1616
1616
1617
1618
1618
1619
1620
1620
1621
1622
1622
1623
1624
1624
1625
1626
1626
1627
1628
1628
1629
1630
1630
1631
1632
1632
1633
1634
1634
1635
1636
1636
1637
1638
1638
1639
1640
1640
1641
1642
1642
1643
1644
1644
1645
1646
1646
1647
1648
1648
1649
1650
1650
1651
1652
1652
1653
1654
1654
1655
1656
1656
1657
1658
1658
1659
1660
1660
1661
1662
1662
1663
1664
1664
1665
1666
1666
1667
1668
1668
1669
1670
1670
1671
1672
1672
1673
1674
1674
1675
1676
1676
1677
1678
1678
1679
1680
1680
1681
1682
1682
1683
1684
1684
1685
1686
1686
1687
1688
1688
1689
1690
1690
1691
1692
1692
1693
1694
1694
1695
1696
1696
1697
1698
1698
1699
1700
1700
1701
1702
1702
1703
1704
1704
1705
1706
1706
1707
1708
1708
1709
1710
1710
1711
1712
1712
1713
1714
1714
1715
1716
1716
1717
1718
1718
1719
1720
1720
1721
1722
1722
1723
1724
1724
1725
1726
1726
1727
1728
1728
1729
1730
1730
1731
1732
1732
1733
1734
1734
1735
1736
1736
1737
1738
1738
1739
1740
1740
1741
1742
1742
1743
1744
1744
1745
1746
1746
1747
1748
1748
1749
1750
1750
1751
1752
1752
1753
1754
1754
1755
1756
1756
1757
1758
1758
1759
1760
1760
1761
1762
1762
1763
1764
1764
1765
1766
1766
1767
1768
1768
1769
1770
1770
1771
1772
1772
1773
1774
1774
1775
1776
1776
1777
1778
1778
1779
1780
1780
1781
1782
1782
1783
1784
1784
1785
1786
1786
1787
1788
1788
1789
1790
1790
1791
1792
1792
1793
1794
1794
1795
1796
1796
1797
1798
1798
1799
1800
1800
1801
1802
1802
1803
1804
1804
1805
1806
1806
1807
1808
1808
1809
1810
1810
1811
1812
1812
1813
1814
1814
1815
1816
1816
1817
1818
1818
1819
1820
1820
1821
1822
1822
1823
1824
1824
1825
1826
1826
1827
1828
1828
1829
1830
1830
1831
1832
1832
1833
1834
1834
1835
1836
1836
1837
1838
1838
1839
1840
1840
1841
1842
1842
1843
1844
1844
1845
1846
1846
1847
1848
1848
1849
1850
1850
1851
1852
1852
1853
1854
1854
1855
1856
1856
1857
1858
1858
1859
1860
1860
1861
1862
1862
1863
1864
1864
1865
1866
1866
1867
1868
1868
1869
1870
1870
1871
1872
1872
1873
1874
1874
1875
1876
1876
1877
1878
1878
1879
1880
1880
1881
1882
1882
1883
1884
1884
1885
1886
1886
1887
1888
1888
1889
1890
1890
1891
1892
1892
1893
1894
1894
1895
1896
1896
1897
1898
1898
1899
1900
1900
1901
1902
1902
1903
1904
1904
1905
1906
1906
1907
1908
1908
1909
1910
1910
1911
1912
1912
1913
1914
1914
1915
1916
1916
1917
1918
1918
1919
1920
1920
1921
1922
1922
1923
1924
1924
1925
1926
1926
1927
1928
1928
1929
1930
1930
1931
1932
1932
1933
1934
1934
1935
1936
1936
1937
1938
1938
1939
1940
1940
1941
1942
1942
1943
1944
1944
1945
1946
1946
1947
1948
1948
1949
1950
1950
1951
1952
1952
1953
1954
1954
1955
1956
1956
1957
1958
1958
1959
1960
1960
1961
1962
1962
1963
1964
1964
1965
1966
1966
1967
1968
1968
1969
1970
1970
1971
1972
1972
1973
1974
1974
1975
1976
1976
1977
1978
1978
1979
1980
1980
1981
1982
1982
1983
1984
1984
1985
1986
1986
1987
1988
1988
1989
1990
1990
1991
1992
1992
1993
1994
1994
1995
1996
1996
1997
1998
1998
1999
2000
2000
2001
2002
2002
2003
2004
2004
2005
2006
2006
2007
2008
2008
2009
2010
2010
2011
2012
2012
2013
2014
2014
2015
2016
2016
2017
2018
2018
2019
2020
2020
2021
2022
2022
2023
2024
2024
2025
2026
2026
2027
2028
2028
2029
2030
2030
2031
2032
2032
2033
2034
2034
2035
2036
2036
2037
2038
2038
2039
2040
2040
2041
2042
2042
2043
2044
2044
2045
2046
2046
2047
2048
2048
2049
2050
2050
2051
2052
2052
2053
2054
2054
2055
2056
2056
2057
2058
2058
2059
2060
2060
2061
2062
2062
2063
2064
2064
2065
2066
2066
2067
2068
2068
2069
2070
2070
2071
2072
2072
2073
2074
2074
2075
2076
2076
2077
2078
2078

```

```

108             else {irrelevant_call("vide");return (PHYS_PRM_NUL);}
109
110     inline typ_phys_prm      dtmdz()
111     {
112         if (index == 0 && initok) return (C6);
113         else {irrelevant_call("vide");return (PHYS_PRM_NUL);}
114
115 // Accesseurs : cas des dielectriques
116     inline typ_phys_prm      esctc()
117     {
118         if (index> 1 && initok)  return (C1);
119         else {irrelevant_call("dielectrique");return (PHYS_PRM_NUL);}
120
121     inline typ_phys_prm      eincc()
122     {
123         if (index> 1 && initok)  return (C2);
124         else {irrelevant_call("dielectrique");return (PHYS_PRM_NUL);}
125
126     inline typ_phys_prm      edevcn()
127     {
128         if (index> 1 && initok)  return (C3);
129         else {irrelevant_call("dielectrique");return (PHYS_PRM_NUL);}
130
131     inline typ_phys_prm      ecrlx()
132     {
133         if (index> 1 && initok)  return (C4);
134         else {irrelevant_call("dielectrique");return (PHYS_PRM_NUL);}
135
136     inline typ_phys_prm      ecrlz()
137     {
138         if (index> 1 && initok)  return (C6);
139         else {irrelevant_call("dielectrique");return (PHYS_PRM_NUL);}
140
141     void description()
142     {
143
144         printf("_computing (%s) -- Index (%d)",nom,index);
145         printf("= %4.4e",epsilon);
146         printf("= %4.4f",sigma);
147         printf("-> %d",initok);
148         printf("= %4.4e",C1);
149         printf("= %4.4e",C2);
150         printf("= %4.4e",C3);
151         printf("= %4.4e",C4);
152         printf("= %4.4e",C5);
153         printf("= %4.4e",C6);
154         getchar();
155     }
156     void set(int Indx,char *name,typ_phys_prm sig,
157             typ_phys_prm eps,typ_phys_prm      rh      ,
158             var_env env )
159     {
160         dx=env.dx;
161         dy=env.dy;
162         dz=env.dz;
163         dt=env.dt;
164         // Appel des constructeurs.
165         material::init(name,sig,eps,rh);
166
167         epsilon=eps;

```

```
167         sigma=sig;
168
169         if (dx*dy*dz*dt==0.0)
170         {
171             printf("Une des variables d'environnement est nulle.");
172             printf("L'initialisation des constantes de calcul ne peut etre menee a
bien.");
173             getchar();
174             initok=false;
175         }
176         else
177         {
178             set_index(Indx);
179             init();
180             initok=true;
181         }
182     };
183
184 private:
185     // Message d'erreur en cas d'appel hors de propos
186     void irrelevant_call(char *mat)
187     {
188         if (!initok){    printf(" Defaut d'initialisation des constantes de %s ",mat);
189                         printf(" Valeur renvoyee sans signification -
Index=%i",index);}
190         else           {    printf(" Irrelevant access to %s constants ",mat);
191                         printf(" Valeur renvoyee sans signification");}
192     }
193 };
```

```

1  //////////////////////////////////////////////////////////////////
2  //
3  //                                         //
4  //                                         //
5  //                                         //
6  // Gestion de la table des materiaux
7  //
8  //////////////////////////////////////////////////////////////////
9
10 void set_material_table(material_computing my_table[], var_env env)
11 {
12     static material_computing vide      (0,"VIDE"      ,0.0 ,EPS0 ,0.0, env);      // mat 0
13     static material_computing mat2     (2,"Muscle Emetteur",0.05,EPS0,0.0, env);
14     static material_computing mat3     (3,"Thorax"    ,0.01 ,EPS0,0.5, env);
15     static material_computing mat4     (4,"Metal (Electrode)" ,30000,EPS0      ,0.5, env);
16     static material_computing mat5     (5,"Air"       ,0.0001 ,EPS0,0.5, env);
17     static material_computing mat6     (6,"Contour du thorax", 0.005 ,EPS0,0.5, env);
18     static material_computing mat7     (7,"Coeur inactif",0.5,EPS0,0.0, env);
19     static material_computing mat8     (8,"Diaphragme inactif",1,EPS0,0.0, env);
20     static material_computing mat9     (9,"Oesophage",0.02,EPS0,0.0, env);
21     static material_computing mat10    (10,"Eau",0.05,EPS0,0.0, env);
22
23     // Les constructeurs ci-haut initialisent les materiaux avec le bon index.
24     // Ne pas toucher a ces initialisations...
25
26     my_table[0]=vide;
27     my_table[2]=mat2;
28     my_table[3]=mat3;
29     my_table[4]=mat4;
30     my_table[5]=mat5;
31     my_table[6]=mat6;
32     my_table[7]=mat7;
33     my_table[8]=mat8;
34     my_table[9]=mat9;
35     my_table[10]=mat10;
36
37 }
38
39
40 // Cette fonction initialise les materiaux a partir du fichier
41 // material.ini dans le repertoire courant.
42
43 void set_material_table_file(material_computing my_table[], var_env env)
44 {
45     int nbmat,i;
46     typ_coeff sigma;
47     typ_coeff epsilonr;
48     char vide_mat[]="VIDE0";
49     char defrep[]="";
50     char filename[]="material.ini0";
51     BasicFileIO matfile(defrep,filename,"r");
52     material_computing vide(0,vide_mat,0.0,EPS0,0.0, env);

```

```
53     char matname[24];
54     char line_buff[40],f_val[40];
55     StrAnlz MatFileParam;
56
57     my_table[0]=vide;
58
59 // nbmat=matfile.read_int();
60 // Lecture du nombre de materiaux:
61 matfile.get_line(line_buff,39);
62 MatFileParam.sets(line_buff);
63 MatFileParam.gets(f_val);
64 nbmat=atoi(f_val);
65 //printf("de materiaux: %i",nbmat);
66
67 printf("----- Opening material description file");
68 for(i=2;i<nbmat+2;i++)
69 {
70     //matfile.read_string(matname);
71     //sigma=matfile.read_coeff();
72     //epsilononr=matfile.read_coeff();
73
74     // Lecture des parametres:
75     matfile.get_line(line_buff,39);
76     MatFileParam.sets(line_buff);
77     MatFileParam.gets(f_val);
78     sprintf(matname,"%s",f_val);
79     MatFileParam.gets(f_val);
80     sigma=atof(f_val);
81     MatFileParam.gets(f_val);
82     epsilononr=atof(f_val);
83
84     //printf("-ts, sig=%3.3e, eps=%3.3e",matname,sigma,epsilononr);
85     my_table[i].set(i,matname,sigma,EPS0*epsilononr,0.0,env);
86 }
87
88 matfile.close_file();
89 }
```

```

orbc_comp_const.h

1  //////////////////////////////////////////////////////////////////
2  //
3  //                                         //
4  //                                         //
5  //////////////////////////////////////////////////////////////////
6  class orbc_const : public var_env
7  {
8  public:
9    char           dir;
10 private:
11   typ_champ     C1;
12   typ_champ     C2;
13   typ_champ     C3;
14   typ_champ     C4;
15   bool          ok_for_init;
16
17 public:
18   // Constructeur
19   orbc_const( typ_distance delx, typ_distance dely,
20               typ_distance delz, char val)           : var_env (delx, dely,
21 delz)
22   {
23     ok_for_init=(dx*dy*dz*dt!=0.0);
24     dir=val;
25     if (ok_for_init) init();
26   };
27
28   // Constructeur
29   orbc_const( var_env env, char val): var_env(env.dx, env.dy,env.dz)
30   {
31     ok_for_init=(dx*dy*dz*dt!=0);
32     dir=val;
33     if (ok_for_init) init();
34   };
35
36   // Destructeur
37   ~orbc_const()   {};
38
39   // Accesseurs
40   inline typ_champ cxd()   {check_init(); check_call('X');return (C1);}
41   inline typ_champ cxx()   {check_init(); check_call('X');return (C2);}
42   inline typ_champ cxy()   {check_init(); check_call('X');return (C3);}
43   inline typ_champ cxz()   {check_init(); check_call('X');return (C4);}
44
45   inline typ_champ cyd()   {check_init(); check_call('Y');return (C1);}
46   inline typ_champ cyx()   {check_init(); check_call('Y');return (C2);}
47   inline typ_champ cyy()   {check_init(); check_call('Y');return (C3);}
48   inline typ_champ cyz()   {check_init(); check_call('Y');return (C4);}
49
50   inline typ_champ czd()   {check_init(); check_call('Z');return (C1);}
51   inline typ_champ czx()   {check_init(); check_call('Z');return (C2);}
52   inline typ_champ czy()   {check_init(); check_call('Z');return (C3);}
53   inline typ_champ czz()   {check_init(); check_call('Z');return (C4);}

```

```

53
54     private:
55
56     // Initialisation des coefficients
57     void init()
58     {
59         switch (dir)
60         {
61             case 'X':
62                 {
63                     /*CXD*/ C1 = ( C * dt - dx) / ( C * dt + dx);
64                     /*CXX*/ C2 = 2.0 * dx / ( C * dt + dx);
65                     /*CXY*/ C3 = dx * dt * dt * C * C / (2.0 * dy * dy * ( C * dt + dx));
66                     /*CXZ*/ C4 = dx * dt * dt * C * C / (2.0 * dz * dz * ( C * dt + dx));
67                     break;
68                 }
69             case 'Y':
70                 {
71                     /*CYD*/ C1 = ( C * dt - dy) / ( C * dt + dy);
72                     /*CYX*/ C2 = dy * dt * dt * C * C / (2.0 * dx * dx * ( C * dt + dy));
73
74                     /*CYY*/ C3 = 2.0 * dy / ( C * dt + dy);
75                     /*CYZ*/ C4 = dy * dt * dt * C * C / (2.0 * dz * dz * ( C * dt + dy));
76
77                     break;
78                 }
79             case 'Z':
80                 {
81                     /*CZD*/ C1 = ( C * dt - dz) / ( C * dt + dz);
82                     /*CZX*/ C2 = dz * dt * dt * C * C / (2.0 * dx * dx * ( C * dt + dz));
83
84                     /*CZY*/ C3 = dz * dt * dt * C * C / (2.0 * dy * dy * ( C * dt + dz));
85                     /*CZZ*/ C4 = 2.0 * dz / ( C * dt + dz);
86                     break;
87                 }
88
89     // Controle d'appel
90     inline void check_call(char val)
91     {
92         if (dir!= val)
93         {
94             printf("Orbc - Irrelevant call. Non significant value.");
95             printf("Called with %c instead of %s", val, dir);
96             printf("Press any key to continue, q to abort");
97             if(getchar() == 'q') exit(1);
98         }
99
100    inline void check_init()
101    {
102        if (!ok_for_init)
103        {
104            printf(" Non initialized value .");
105            printf("Press any key to continue, q to abort");
106            if(getchar() == 'q') exit(1);
107        }
108    };

```

109 };

```

Orbe_xy.h

1  //////////////////////////////////////////////////////////////////
2  //
3  //////////////////////////////////////////////////////////////////
4  //////////////////////////////////////////////////////////////////
5  //////////////////////////////////////////////////////////////////
6  //////////////////////////////////////////////////////////////////
7  template <class orbc_const>
8  void orbe_xy      (espace_champs  elcfields,
9  //                           tab_for_orbc   prev1,
10 //                           tab_for_orbc  prev2,
11 //                           orbc_const      orbcs)
12 {
13     int i,k;
14     int NX=elcfields.nx();
15     int NY=elcfields.ny();
16     int NZ=elcfields.nz();
17     typ_champ           my_value;
18     cellule_champs     my_cell,new_cell;
19
20     // ----- Ordre 1 -----
21     for(k=2;k<=(NZ-1);k++)
22     {
23         // .....
24         i=1;
25         my_cell = elcfields.get(i,2,k);
26         new_cell = elcfields.get(i,1,k); // LR
27         my_value = prev1.get(i,2,k) + orbcs.cyd() * (my_cell.cx() - prev1.get(i,1,k));
28         new_cell.setx(my_value);
29         elcfields.put(new_cell,i,1,k);
30         // .....
31         my_cell = elcfields.get(i,NY-1,k);
32         new_cell = elcfields.get(i,NY,k); //LR
33         my_value = prev1.get(i,3,k) + orbcs.cyd() * (my_cell.cx() - prev1.get(i,4,k));
34         new_cell.setx(my_value);
35         elcfields.put(new_cell,i,NY,k);
36
37         // .....
38         i=NX-1;
39         my_cell = elcfields.get(i,2,k);
40         new_cell = elcfields.get(i,1,k);
41         my_value = prev1.get(i,2,k) + orbcs.cyd() * (my_cell.cx() - prev1.get(i,1,k));
42         new_cell.setx(my_value);
43         elcfields.put(new_cell,i,1,k);
44         // .....
45         my_cell = elcfields.get(i,NY-1,k);
46         new_cell = elcfields.get(i,NY,k);
47         my_value = prev1.get(i,3,k) + orbcs.cyd() * (my_cell.cx() - prev1.get(i,4,k));
48         new_cell.setx(my_value);
49         elcfields.put(new_cell,i,NY,k);
50     }
51
52     for(i=2;i<=(NX-2);i++)

```



```
107     + orbcs.cy2() * ( prev1.get(i,4,k+1) - 2.0 * prev1.get(i,4,k) +
108     prev1.get(i,4,k-1) + prev1.get(i,3,k+1) - 2.0 * prev1.get(i,3,k) +
109     prev1.get(i,3,k) + prev1.get(i,3,k-1) );
110     new_cell.setx(my_value);
111     elcfields.put(new_cell,i,NY,k);
112 }
113 // ----- Sauvegarde des valeurs anterieures -----
114 for (k=2;k<=NZ-1;k++)
115     for(i=1;i<=NX-1;i++)
116     {
117         prev2.put(prev1.get(i,1,k),i,1,k);
118         prev2.put(prev1.get(i,2,k),i,2,k);
119         prev2.put(prev1.get(i,3,k),i,3,k);
120         prev2.put(prev1.get(i,4,k),i,4,k);
121         prev1.put(elcfields.get(i,1,k).cx(),i,1,k);
122         prev1.put(elcfields.get(i,2,k).cx(),i,2,k);
123         prev1.put(elcfields.get(i,NY-1,k).cx(),i,3,k);
124         prev1.put(elcfields.get(i,NY,k).cx(),i,4,k);
125     }
126 }
```

```

1  //////////////////////////////////////////////////////////////////
2  //
3  //////////////////////////////////////////////////////////////////
4  //////////////////////////////////////////////////////////////////
5  //////////////////////////////////////////////////////////////////
6  //////////////////////////////////////////////////////////////////
7  template <class orbc_const>
8  void orbc_xz      (espace_champs elcfields,
9                       tab_for_orbc  prev1,
10                     tab_for_orbc prev2,
11                     orbc_const      orbcs)
12  {
13      int i,j;
14      int NX=elcfields.nx();
15      int NY=elcfields.ny();
16      int NZ=elcfields.nz();
17      typ_champ          my_value;
18      cellule_champs    my_cell,new_cell;
19
20      // ----- Ordre 1 -----
21
22      for(j=2;j<=NY-1;j++)
23      {
24          // .....
25          i=1;
26          my_cell = elcfields.get(i,j,2);
27          new_cell = elcfields.get(i,j,1);
28          my_value = prev1.get(i,j,2) + orbcs.czd() * (my_cell.cx() - prev1.get(i,j,1));
29          new_cell.setx(my_value);
30          elcfields.put(new_cell,i,j,1);
31          // .....
32          my_cell = elcfields.get(i,j,NZ-1);
33          new_cell = elcfields.get(i,j,NZ);
34          my_value = prev1.get(i,j,3) + orbcs.czd() * (my_cell.cx() - prev1.get(i,j,4));
35          new_cell.setx(my_value);
36          elcfields.put(new_cell,i,j,NZ);
37          // .....
38          i=NX-1;
39          my_cell = elcfields.get(i,j,2);
40          new_cell = elcfields.get(i,j,1);
41          my_value = prev1.get(i,j,2) + orbcs.czd() * (my_cell.cx() - prev1.get(i,j,1));
42          new_cell.setx(my_value);
43          elcfields.put(new_cell,i,j,1);
44          // .....
45          my_cell = elcfields.get(i,j,NZ-1);
46          new_cell = elcfields.get(i,j,NZ);
47          my_value = prev1.get(i,j,3) + orbcs.czd() * (my_cell.cx() - prev1.get(i,j,4));
48          new_cell.setx(my_value);
49          elcfields.put(new_cell,i,j,NZ);
50      }
51
52      for(i=2;i<=NX-2;i++)

```

```

53      {
54          // .....
55          j=2;
56          my_cell = elcfields.get(i,j,2);
57          new_cell = elcfields.get(i,j,1);
58          my_value = prev1.get(i,j,2) + orbcs.czd() * (my_cell.cx() - prev1.get(i,j,1));
59          new_cell.setx(my_value);
60          elcfields.put(new_cell,i,j,1);
61          // .....
62          my_cell = elcfields.get(i,j,NZ-1);
63          new_cell = elcfields.get(i,j,NZ);
64          my_value = prev1.get(i,j,3) + orbcs.czd() * (my_cell.cx() - prev1.get(i,j,4));
65          new_cell.setx(my_value);
66          elcfields.put(new_cell,i,j,NZ);
67          // .....
68          j=NY-1;
69          my_cell = elcfields.get(i,j,2);
70          new_cell = elcfields.get(i,j,1);
71          my_value = prev1.get(i,j,2) + orbcs.czd() * (my_cell.cx() - prev1.get(i,j,1));
72          new_cell.setx(my_value);
73          elcfields.put(new_cell,i,j,1);
74          // .....
75          my_cell = elcfields.get(i,j,NZ-1);
76          new_cell = elcfields.get(i,j,NZ);
77          my_value = prev1.get(i,j,3) + orbcs.czd() * (my_cell.cx() - prev1.get(i,j,4));
78          new_cell.setx(my_value);
79          elcfields.put(new_cell,i,j,NZ);
80      }
81
82      // ----- Ordre 2 ----- //
83
84      for(j=3;j<=NY-2;j++)
85          for(i=2;i<=NX-2;i++)
86          {
87              my_cell = elcfields.get(i,j,2);
88              new_cell = elcfields.get(i,j,1);
89              my_value =
90                  - prev2.get(i,j,2)
91                  + orbcs.czd() * ( my_cell.cx()           +      prev2.get(i,j,1) )
92                  + orbcs.cz2() * ( prev1.get(i,j,1)       +      prev1.get(i,j,2) )
93                  + orbcs.czx() * ( prev1.get(i+1,j,1) - 2.0 * prev1.get(i,j,1) +
prev1.get(i-1,j,1)
94                                         + prev1.get(i+1,j,2) - 2.0 *
prev1.get(i,j,2) + prev1.get(i-1,j,2) )
95                                         + orbcs.czy() * ( prev1.get(i,j+1,1) - 2.0 * prev1.get(i,j,1) +
prev1.get(i,j-1,1)
96                                         + prev1.get(i,j+1,2) - 2.0 *
prev1.get(i,j,2) + prev1.get(i,j-1,2) );
97              new_cell.setx(my_value);
98              elcfields.put(new_cell,i,j,1);
99              // .....
100             my_cell = elcfields.get(i,j,NZ-1);
101             new_cell = elcfields.get(i,j,NZ);
102             my_value =
103                 - prev2.get(i,j,3)
104                 + orbcs.czd() * ( my_cell.cx()           +      prev2.get(i,j,4) )
105                 + orbcs.cz2() * ( prev1.get(i,j,4)       +      prev1.get(i,j,3) )
106                 + orbcs.czx() * ( prev1.get(i+1,j,4) - 2.0 * prev1.get(i,j,4) +
prev1.get(i-1,j,4)

```

```
107                               + prev1.get(i+1,j,3) - 2.0 *
prev1.get(i,j,3) + prev1.get(i-1,j,3) )
108                               + orbcs.czy() * ( prev1.get(i,j+1,4) - 2.0 * prev1.get(i,j,4) +
prev1.get(i,j-1,4)
109                               + prev1.get(i,j+1,3) - 2.0 *
prev1.get(i,j,3) + prev1.get(i,j-1,3) );
110                               new_cell.setx(my_value);
111                               elcfields.put(new_cell,i,j,NZ);
112 }
113 // ----- Sauvegarde des valeurs anterieures ----- //
114 for(j=2; j<=NY-1; j++)
115     for(i=1; i<=NX-1; i++)
116     {
117         prev2.put(prev1.get(i,j,1),i,j,1);
118         prev2.put(prev1.get(i,j,2),i,j,2);
119         prev2.put(prev1.get(i,j,3),i,j,3);
120         prev2.put(prev1.get(i,j,4),i,j,4);
121         prev1.put(elcfields.get(i,j,1).cx(),i,j,1);
122         prev1.put(elcfields.get(i,j,2).cx(),i,j,2);
123         prev1.put(elcfields.get(i,j,NZ-1).cx(),i,j,3);
124         prev1.put(elcfields.get(i,j,NZ).cx(),i,j,4);
125     }
126 }
127
128
```

```

1  //////////////////////////////////////////////////////////////////
2  //
3  //                                     //
4  //                                     // ORBC_YX.H
5  //                                     MODULE DE CALCUL DES ORBC
6  //                                     //
7  // ::::::::::::::::::::: //::: ::::::::::::::::::::: //:::
8  // ::::::::::::::::::::: ORBC_YX ::::::::::::::::::::: //:::
9  // ::::::::::::::::::::: //::: ::::::::::::::::::::: //:::
10
11 template <class orbc_const>
12 void orbc_yx      (espace_champs elcfields,
13                      tab_for_orbc    prev1,
14                      tab_for_orbc    prev2,
15                      orbc_const      orbcs)
16 {
17     int j,k;
18     int NX=elcfields.nx();
19     int NY=elcfields.ny();
20     int NZ=elcfields.nz();
21
22     typ_champ           my_value;
23     cellule_champs     my_cell,new_cell;
24
25     // ----- Ordre 1 ----- //
26     for(k=2;k<=(NZ-1);k++)
27     {
28         // .....
29         j=1;
30         my_cell = elcfields.get(2,j,k);
31         new_cell = elcfields.get(1,j,k);
32         my_value = prev1.get(2,j,k) + orbcs.cxd() * (my_cell.cy() - prev1.get(1,j,k));
33         new_cell.sety(my_value);
34         elcfields.put(new_cell,1,j,k);
35         // .....
36         my_cell = elcfields.get(NX-1,j,k);
37         new_cell = elcfields.get(NX,j,k);
38         my_value =     prev1.get(3,j,k) + orbcs.cxd() * (my_cell.cy() - prev1.get(4,j,k));
39         new_cell.sety(my_value);
40         elcfields.put(new_cell,NX,j,k);
41         // .....
42         j=NY-1;
43         my_cell = elcfields.get(2,j,k);
44         new_cell = elcfields.get(1,j,k);
45         my_value =     prev1.get(2,j,k) + orbcs.cxd() * (my_cell.cy() - prev1.get(1,j,k));
46         new_cell.sety(my_value);
47         elcfields.put(new_cell,1,j,k);
48
49         // .....
50         my_cell = elcfields.get(NX-1,j,k);
51         new_cell = elcfields.get(NX,j,k);
52         my_value =     prev1.get(3,j,k) + orbcs.cxd() * (my_cell.cy() - prev1.get(4,j,k));

```

```

53         new_cell.sety(my_value);
54         elcfields.put(new_cell,NX,j,k);
55
56     }
57     // -----
58     for(j=2;j<=(NY-2);j++)
59     {
60         // .....
61         k=2;
62         my_cell = elcfields.get(2,j,k);
63         new_cell = elcfields.get(1,j,k);
64         my_value =      prev1.get(2,j,k) + orbcs.cxd() * (my_cell.cy() - prev1.get(1,j,k));
65         new_cell.sety(my_value);
66         elcfields.put(new_cell,1,j,k);
67         // .....
68         my_cell = elcfields.get(NX-1,j,k);
69         new_cell = elcfields.get(NX,j,k);
70         my_value =      prev1.get(3,j,k) + orbcs.cxd() * (my_cell.cy() - prev1.get(4,j,k));
71         new_cell.sety(my_value);
72         elcfields.put(new_cell,NX,j,k);
73         // .....
74         k=NZ-1;
75         my_cell = elcfields.get(2,j,k);
76         new_cell = elcfields.get(1,j,k);
77         my_value =      prev1.get(2,j,k) + orbcs.cxd() * (my_cell.cy() - prev1.get(1,j,k));
78         new_cell.sety(my_value);
79         elcfields.put(new_cell,1,j,k);
80         // .....
81         my_cell = elcfields.get(NX-1,j,k);
82         new_cell = elcfields.get(NX,j,k);
83         my_value =      prev1.get(3,j,k) + orbcs.cxd() * (my_cell.cy() - prev1.get(4,j,k));
84         new_cell.sety(my_value);
85         elcfields.put(new_cell,NX,j,k);
86     }
87     // ----- Ordre 2 -----
88     for(k=3;k<=NZ-2;k++)
89     {
90         for(j=2; j<=NY-2; j++)
91         {
92             // .....
93             my_cell = elcfields.get(2,j,k);
94             new_cell = elcfields.get(1,j,k);
95             my_value =
96                 - prev2.get(2,j,k)
97                 + orbcs.cxd() * ( my_cell.cy() + prev2.get(1,j,k) )
98                 + orbcs.cxx() * ( prev1.get(1,j,k) + prev1.get(2,j,k) )
prev1.get(1,j-1,k)
99                 + prev1.get(2,j+1,k) - 2.0 * prev1.get(1,j,k) +
prev1.get(2,j,k) +
prev1.get(2,j-1,k) +
orbcs.cxz() * ( prev1.get(1,j,k+1) - 2.0 * prev1.get(1,j,k) *
prev1.get(1,j,k-1)
101                 + prev1.get(2,j,k+1) - 2.0 *
prev1.get(2,j,k) + prev1.get(2,j,k-1) );
102             new_cell.sety(my_value);
103             elcfields.put(new_cell,1,j,k);
104             // .....
105             my_cell = elcfields.get(NX-1,j,k);
106             new_cell = elcfields.get(NX,j,k);
107             my_value =

```

```

108
109
110
111
112
113
114
115
116
117
118
119
120
121
122
123
124
125
126
127
128
129
130
131
132
133
134

```



```

53         j=1;
54         my_cell = elcfields.get(i,j,2);
55         new_cell = elcfields.get(i,j,1);
56         my_value = prev1.get(i,j,2) + orbcs.czd() ** (my_cell.cy() - prev1.get(i,j,1));
57         new_cell.sety(my_value);
58         elcfields.put(new_cell,i,j,1);
59         // .....
60         my_cell = elcfields.get(i,j,NZ-1);
61         new_cell = elcfields.get(i,j,NZ);
62         my_value = prev1.get(i,j,3) + orbcs.czd() ** (my_cell.cy() - prev1.get(i,j,4));
63         new_cell.sety(my_value);
64         elcfields.put(new_cell,i,j,NZ);
65         // .....
66         j=NY-1;
67         my_cell = elcfields.get(i,j,2);
68         new_cell = elcfields.get(i,j,1);
69         my_value = prev1.get(i,j,2) + orbcs.czd() ** (my_cell.cy() - prev1.get(i,j,1));
70         new_cell.sety(my_value);
71         elcfields.put(new_cell,i,j,1);
72         // .....
73         my_cell = elcfields.get(i,j,NZ-1);
74         new_cell = elcfields.get(i,j,NZ);
75         my_value = prev1.get(i,j,3) + orbcs.czd() ** (my_cell.cy() - prev1.get(i,j,4));
76         new_cell.sety(my_value);
77         elcfields.put(new_cell,i,j,NZ);
78     }
79     // ----- Ordre 2 ----- //
80     for(j=2;j<=NY-2;j++)
81         for(i=3;i<=NX-2;i++)
82         {
83             my_cell = elcfields.get(i,j,2);
84             new_cell = elcfields.get(i,j,1);
85             my_value =
86                 - prev2.get(i,j,2)
87                 + orbcs.czd() **( my_cell.cy() ) + prev2.get(i,j,1)
88                 + orbcs.czz() ** ( prev1.get(i,j,1) ) + prev1.get(i,j,2)
89                 + orbcs.czx() **( prev1.get(i+1,j,1) - 2.0 **prev1.get(i,j,1) +
prev1.get(i-1,j,1)
90                                     + prev1.get(i+1,j,2) - 2.0 *
prev1.get(i,j,2) + prev1.get(i-1,j,2) )
91                                     + orbcs.czy() * ( prev1.get(i,j+1,1) - 2.0 * prev1.get(i,j,1) +
prev1.get(i,j-1,1)
92                                     + prev1.get(i,j+1,2) - 2.0 **
prev1.get(i,j,2) + prev1.get(i,j-1,2) );
93             new_cell.sety(my_value);
94             elcfields.put(new_cell,i,j,1);
95             // .....
96             my_cell = elcfields.get(i,j,NZ-1);
97             new_cell = elcfields.get(i,j,NZ);
98             my_value =
99                 - prev2.get(i,j,3)
100                 + orbcs.czd() **( my_cell.cy() ) + prev2.get(i,j,4)
101                 + orbcs.czz() ** ( prev1.get(i,j,4) ) + prev1.get(i,j,3)
102                 + orbcs.czx() **( prev1.get(i+1,j,4) - 2.0 **prev1.get(i,j,4) +
prev1.get(i-1,j,4)
103                                     + prev1.get(i+1,j,3) - 2.0 *
prev1.get(i,j,3) + prev1.get(i-1,j,3) )
104                                     + orbcs.czy() * ( prev1.get(i,j+1,4) - 2.0 * prev1.get(i,j,4) +
prev1.get(i,j-1,4)

```

```
105                               + prev1.get(i,j+1,3) - 2.0 *
106     prev1.get(i,j,3) + prev1.get(i,j-1,3) ;
107     new_cell.sety(my_value);
108     elcfields.put(new_cell,i,j,NZ);
109 } // ----- Sauvegarde des valeurs anterieures ----- //
110 for (j=1; j<= NY-1; j++)
111     for(i=2; i<=NX-1; i++)
112     {
113         prev2.put(prev1.get(i,j,1),i,j,1);
114         prev2.put(prev1.get(i,j,2),i,j,2);
115         prev2.put(prev1.get(i,j,3),i,j,3);
116         prev2.put(prev1.get(i,j,4),i,j,4);
117         prev1.put(elcfields.get(i,j,1).cy(),i,j,1);
118         prev1.put(elcfields.get(i,j,2).cy(),i,j,2);
119         prev1.put(elcfields.get(i,j,NZ-1).cy(),i,j,3);
120         prev1.put(elcfields.get(i,j,NZ ).cy(),i,j,4);
121     }
122 }
123
```

```

Orbc_zx.h

1 //////////////////////////////////////////////////////////////////
2 //////////////////////////////////////////////////////////////////
3 //////////////////////////////////////////////////////////////////
4 //////////////////////////////////////////////////////////////////
5 //////////////////////////////////////////////////////////////////
6 //////////////////////////////////////////////////////////////////
7 // ::::::::::::::::::::: ::::::::::::::::::::: ::::::::::::::: //
8 // ::::::::::::::::::::: ORBC_ZX ::::::::::::::::::::: ::::::::::::::: //
9 // ::::::::::::::::::::: ::::::::::::::::::::: ::::::::::::::: //
10
11 template <class orbc_const>
12 void orbc_zx (espace_champs elcfields,
13                 tab_for_orbc prev1,
14                 tab_for_orbc prev2,
15                 orbc_const          orbcs)
16 {
17     int j,k;
18     int NX=elcfields.nx();
19     int NY=elcfields.ny();
20     int NZ=elcfields.nz();
21
22     typ_champ           my_value;
23     cellule_champs     my_cell,new_cell;
24
25     // ----- Ordre 1 ----- //
26
27     for(k=1;k<=(NZ-1);k++)
28     {
29         // .....
30         j=2;
31         my_cell = elcfields.get(2,j,k);
32         new_cell = elcfields.get(1,j,k);
33         my_value = prev1.get(2,j,k) + orbcs.cxd() ** (my_cell.cz() - prev1.get(1,j,k));
34         new_cell.setz(my_value);
35         elcfields.put(new_cell,1,j,k);
36         // .....
37         my_cell = elcfields.get(NX-1,j,k);
38         new_cell = elcfields.get(NX,j,k);
39         my_value =      prev1.get(3,j,k) + orbcs.cxd() ** (my_cell.cz() - prev1.get(4,j,k));
40         new_cell.setz(my_value);
41         elcfields.put(new_cell,NX,j,k);
42         // .....
43         j=NY-1;
44         my_cell = elcfields.get(2,j,k);
45         new_cell = elcfields.get(1,j,k);
46         my_value =      prev1.get(2,j,k) + orbcs.cxd() ** (my_cell.cz() - prev1.get(1,j,k));
47         new_cell.setz(my_value);
48         elcfields.put(new_cell,1,j,k);
49         // .....
50         my_cell = elcfields.get(NX-1,j,k);
51         new_cell = elcfields.get(NX,j,k);
52         my_value =      prev1.get(3,j,k) + orbcs.cxd() ** (my_cell.cz() - prev1.get(4,j,k));

```

```

53         new_cell.setz(my_value);
54         elcfields.put(new_cell,NX,j,k);
55     }
56
57     // -----
58     for(j=3;j<=(NY-2);j++)
59     {
60         // .....
61         k=1;
62         my_cell = elcfields.get(2,j,k);
63         new_cell = elcfields.get(1,j,k);
64         my_value =      prev1.get(2,j,k) + orbcs.cxd() * (my_cell.cz() - prev1.get(1,j,k));
65         new_cell.setz(my_value);
66         elcfields.put(new_cell,1,j,k);
67         // .....
68         my_cell = elcfields.get(NX-1,j,k);
69         new_cell = elcfields.get(NX,j,k);
70         my_value =      prev1.get(3,j,k) + orbcs.cxd() * (my_cell.cz() - prev1.get(4,j,k));
71         new_cell.setz(my_value);
72         elcfields.put(new_cell,NX,j,k);
73         // .....
74         k=NZ-1;
75         my_cell = elcfields.get(2,j,k);
76         new_cell = elcfields.get(1,j,k);
77         my_value =      prev1.get(2,j,k) + orbcs.cxd() * (my_cell.cz() - prev1.get(1,j,k));
78         new_cell.setz(my_value);
79         elcfields.put(new_cell,1,j,k);
80         // .....
81         my_cell = elcfields.get(NX-1,j,k);
82         new_cell = elcfields.get(NX,j,k);
83         my_value =      prev1.get(3,j,k) + orbcs.cxd() * (my_cell.cz() - prev1.get(4,j,k));
84         new_cell.setz(my_value);
85         elcfields.put(new_cell,NX,j,k);
86     }
87
88     // ----- Ordre 2 -----
89     for(k=2;k<=(NZ-2);k++)
90     {
91         for(j=3; j<=(NY-2); j++)
92         {
93             my_cell = elcfields.get(2,j,k);
94             new_cell = elcfields.get(1,j,k);
95             my_value =
96                 - prev2.get(2,j,k)
97                 + orbcs.cxd() * ( my_cell.cz()           + prev2.get(1,j,k) )
98                 + orbcs.cxx() * ( prev1.get(1,j,k)       + prev1.get(2,j,k) )
99                 + orbcs.cxy() * ( prev1.get(1,j+1,k) - 2.0 * prev1.get(1,j,k) +
100                               prev1.get(1,j-1,k)           + prev1.get(2,j+1,k) - 2.0 *
101                               prev1.get(2,j,k) +      prev1.get(2,j-1,k) )
102                               + orbcs.cxz() * ( prev1.get(1,j,k+1) - 2.0 * prev1.get(1,j,k) +
103                               prev1.get(1,j,k-1)           + prev1.get(2,j,k+1) - 2.0 *
104                               prev1.get(2,j,k) +      prev1.get(2,j,k-1) );
105             new_cell.setz(my_value);
106             elcfields.put(new_cell,1,j,k);
107             // .....
108             my_cell = elcfields.get(NX-1,j,k);
109             new_cell = elcfields.get(NX,j,k);
110             my_value =

```

```
108          -prev2.get(3,j,k)
109          + orbcs.cxd() * ( my_cell.cz()           + prev2.get(4,j,k) )
110          + orbcs.cxx() * ( prev1.get(4,j,k)       + prev1.get(3,j,k) )
111          + orbcs.cxy() * ( prev1.get(4,j+1,k) - 2.0 * prev1.get(4,j,k) +
112          prev1.get(4,j-1,k)                               + prev1.get(3,j+1,k) - 2.0 *
113          prev1.get(3,j,k) +      prev1.get(3,j-1,k) )
114          + orbcs.cxz() * ( prev1.get(4,j,k+1) - 2.0 * prev1.get(4,j,k) +
115          prev1.get(4,j,k-1)                               + prev1.get(3,j,k+1) - 2.0 *
116          prev1.get(3,j,k) +      prev1.get(3,j,k-1) );
117          new_cell.setz(my_value);
118          elcfields.put(new_cell,NX,j,k);
119      }
120      // ----- Sauvegarde des valeurs anterieures ----- //
121      for (k=1; k<=NZ-1; k++)
122          for(j=2; j<=NY-1; j++)
123          {
124              prev2.put(prev1.get(1,j,k),1,j,k);
125              prev2.put(prev1.get(2,j,k),2,j,k);
126              prev2.put(prev1.get(3,j,k),3,j,k);
127              prev2.put(prev1.get(4,j,k),4,j,k);
128              prev1.put(elcfields.get(1,j,k).cz(),1,j,k);
129              prev1.put(elcfields.get(2,j,k).cz(),2,j,k);
130              prev1.put(elcfields.get(NX-1,j,k).cz(),3,j,k);
131              prev1.put(elcfields.get( NX,j,k).cz(),4,j,k);
132          }
133      }
```



```

53      // ..... //
54      k=1;
55      my_cell = elcfields.get(i,2,k);
56      new_cell = elcfields.get(i,1,k);
57      my_value = prev1.get(i,2,k) + orbcs.cyd() * (my_cell.cz() - prev1.get(i,1,k));
58      new_cell.setz(my_value);
59      elcfields.put(new_cell,i,1,k);
60      // ..... //
61      my_cell = elcfields.get(i,NY-1,k);
62      new_cell = elcfields.get(i,NY,k);
63      my_value = prev1.get(i,3,k) + orbcs.cyd() * (my_cell.cz() - prev1.get(i,4,k));
64      new_cell.setz(my_value);
65      elcfields.put(new_cell,i,NY,k);
66      // ..... //
67      k=NY-1;
68      my_cell = elcfields.get(i,2,k);
69      new_cell = elcfields.get(i,1,k);
70      my_value = prev1.get(i,2,k) + orbcs.cyd() * (my_cell.cz() - prev1.get(i,1,k));
71      new_cell.setz(my_value);
72      elcfields.put(new_cell,i,1,k);
73      // ..... //
74      my_cell = elcfields.get(i,NY-1,k);
75      new_cell = elcfields.get(i,NY,k);
76      my_value = prev1.get(i,3,k) + orbcs.cyd() * (my_cell.cz() - prev1.get(i,4,k));
77      new_cell.setz(my_value);
78      elcfields.put(new_cell,i,NY,k);
79  }
80  // ----- Ordre 2 ----- //
81
82  for(k=2;k<=NZ-2;k++)
83  {
84      for(i=3; i<=NY-2;i++)
85      {
86          my_cell = elcfields.get(i,2,k);
87          new_cell = elcfields.get(i,1,k);
88          my_value =
89              - prev2.get(i,2,k)
90              + orbcs.cyd() * ( my_cell.cz() + prev2.get(i,1,k) )
91              + orbcs.cyy() * ( prev1.get(i,1,k) + prev1.get(i,2,k) )
92              + orbcs.cyx() * ( prev1.get(i+1,1,k) - 2.0 * prev1.get(i,1,k) +
prev1.get(i-1,1,k)
93              + prev1.get(i+1,2,k) - 2.0 * prev1.get(i,2,k) )
94              + prev1.get(i,2,k) + prev1.get(i-1,2,k) )
95              + orbcs.cyz() * ( prev1.get(i,1,k+1) - 2.0 * prev1.get(i,1,k) +
prev1.get(i,1,k-1)
96              + prev1.get(i,2,k+1) - 2.0 * prev1.get(i,2,k+1) )
97              + prev1.get(i,2,k) + prev1.get(i,2,k-1) );
98          new_cell.setz(my_value);
99          elcfields.put(new_cell,i,1,k);
100         // ..... //
101         my_cell = elcfields.get(i,NY-1,k);
102         new_cell = elcfields.get(i,NY,k);
103         my_value =
104             -prev2.get(i,3,k)
105             + orbcs.cyd() * ( my_cell.cz() + prev2.get(i,4,k) )
106             + orbcs.cyy() * ( prev1.get(i,4,k) + prev1.get(i,3,k) )
107             + orbcs.cyx() * ( prev1.get(i+1,4,k) - 2.0 * prev1.get(i,4,k) +
prev1.get(i-1,4,k)
108             + prev1.get(i+1,3,k) - 2.0 * prev1.get(i,3,k) )
109             + prev1.get(i,3,k) + prev1.get(i-1,3,k) )

```

```
106                     + orbcs.cy2() * ( prev1.get(i,4,k+1) - 2.0 * prev1.get(i,4,k) +
107                     + prev1.get(i,3,k+1) - 2.0 *
108                     prev1.get(i,3,k) + prev1.get(i,3,k-1) ;
109                     new_cell.setz(my_value);
110                     elcfields.put(new_cell,i,NY,k);
111     }
112 // ----- Sauvegarde des valeurs anterieures -----
113 for (k=1; k<= NZ-1; k++)
114     for(i=2; i<=NX-1; i++)
115     {
116         prev2.put(prev1.get(i,1,k),i,1,k);
117         prev2.put(prev1.get(i,2,k),i,2,k);
118         prev2.put(prev1.get(i,3,k),i,3,k);
119         prev2.put(prev1.get(i,4,k),i,4,k);
120         prev1.put(elcfields.get(i,1,k).cz(),i,1,k);
121         prev1.put(elcfields.get(i,2,k).cz(),i,2,k);
122         prev1.put(elcfields.get(i,NY-1,k).cz(),i,3,k);
123         prev1.put(elcfields.get(i,NY ,k).cz(),i,4,k);
124     }
125 }
```

ordi.h

```
1  #define _POLY
2
```

```

restore.h

1  // Restore
2  // Ce fichier contient les fonctions necessaires au
3  // retablissement de la simulation suite a un arret
4  // prevu ou imprvu.
5  // Retour de fonction:
6  // La fonction retourne TRUE si step==0 ou si time==0
7
8  bool restore_variables(int *dx,int *dy,int *dz,typ_coeff *csize,
9                      typ_coeff *w_amp,int *step,typ_coeff *time,
10                     char *rep,char *filename)
11 {
12     // L'ordre de lecture des parametres est le meme que l'ordre dans
13     // lequel ils ont ete enregistres.
14
15     BasicFileIO fichier(rep,filename,"r");
16
17     *dx=fichier.read_int();
18     *dy=fichier.read_int();
19     *dz=fichier.read_int();
20
21     *csize=fichier.read_coeff();
22     *w_amp=fichier.read_coeff();
23     *step=fichier.read_int();
24     *time=fichier.read_coeff();
25
26     fichier.close_file();
27     if(*step==1)
28         return(true);
29     else
30         return(false);
31 }
32
33
34 // Restore_space
35 // Cette fonction lit le fichier d'entree et assigne les valeurs des materiaux
36 // x,y et z a l'espace physique
37
38
39 void restore_space(espace_physique *ph_sp,
40                     char *rep,char *filename)
41 {
42     int x,y,z;
43     int nx,ny,nz;
44     BasicFileIO fichier(rep,filename,"rb");
45     cellule_physique cell;
46
47     nx=ph_sp->nx();
48     ny=ph_sp->ny();
49     nz=ph_sp->nz();
50
51     for(z=1;z<=nz;z++)
52         for(y=1;y<=ny;y++)
53             for(x=1;x<=nx;x++)
54             {
55                 cell=ph_sp->get(x,y,z);
56                 cell.setx(fichier.read_int());

```

```

57         cell.sety(fichier.read_int());
58         cell.setz(fichier.read_int());
59         ph_sp->put(cell,x,y,z);
60     }
61
62     fichier.close_file();
63 }
64 }
65
66 // Restore_fields
67 // Cette fonction restaure la valeur des champs E et H de la derniere simulation.
68
69 void restore_field(espace_champs *ch,char *rep,char *filename)
70 {
71     int x,y,z;
72     int mx,my,mz;
73     BasicFileIO fichier(rep,filename,"rb");
74     cellule_champs cell;
75
76     mx=ch->nx();
77     my=ch->ny();
78     mz=ch->nz();
79
80     for(z=1;z<=mz;z++)
81     {
82         for(y=1;y<=my;y++)
83         {
84             for(x=1;x<=mx;x++)
85             {
86                 cell=ch->get(x,y,z);
87                 cell.setx(fichier.read_coeff());
88                 cell.sety(fichier.read_coeff());
89                 cell.setz(fichier.read_coeff());
90                 ch->put(cell,x,y,z);
91             }
92         }
93     }
94
95     fichier.close_file();
96 }
97 }
98
99 // restore_plane_parameters
100 // Fonction qui reinitialise les parametres de sauvegarde des champs
101 // plan, hauteur, debut et fin.
102
103 void restore_plane_parameters(char *plan,int *hauteur,int *Stmn,int *Stmx,
104                               int *totstep,char *rep,char *filename)
105 {
106     BasicFileIO fichier(rep,filename,"r");
107
108     *plan=fichier.read_char();
109     *hauteur=fichier.read_int();
110     *Stmn=fichier.read_int();
111     *Stmx=fichier.read_int();
112     *totstep=fichier.read_int();
113
114     fichier.close_file();
115 }

```

```

116
117
118 // restore_orbc
119 // Fonction qui reinitialise les frontieres.
120
121 void restore_orbc(tab_for_orbc *orbc,char *rep,char *filename)
122 {
123     BasicFileIO fichier(rep,filename,"rb");
124     int x,y,z;
125     int mx,my,mz;
126     typ_coeff value;
127
128     mx=orbc->nx();
129     my=orbc->ny();
130     mz=orbc->nz();
131
132     for(z=1;z<=mz;z++)
133         for(y=1;y<=my;y++)
134             for(x=1;x<=mx;x++)
135             {
136                 value=fichier.read_coeff();
137                 orbc->put(value,x,y,z);
138             }
139
140     fichier.close_file();
141 }
142
143 /*
144 Fonction work_dir()
145 Cette fonction lit les repertoires de travail a partir du fichier
146 dir.ini.
147 */
148
149 void work_dir(char *rep1,char *rep2,bool *newsim,char *filename)
150 {
151     char def_rep[]="";
152     char nsim;
153     BasicFileIO fichier(def_rep,filename,"r");
154
155     if(!fichier.read_string(rep1))
156         printf("d'ouverture de DIR.INI");
157     if(!fichier.read_string(rep2))
158         printf("d'ouverture de DIR.INI");
159     do{
160         nsim=fichier.read_char();
161     }while((toupper(nsim)!='O')&&(toupper(nsim)!='N'));
162
163 /*if((toupper(nsim)!='O')&&(toupper(nsim)!='N'))
164     nsim=fichier.read_char();
165 */
166
167     if(toupper(nsim)=='O')
168         *newsim=true;
169     else
170         *newsim=false;
171
172     printf("----- Recovery dir:  %s",rep1);
173     printf("----- Data dir:      %s",rep2);
174     if(*newsim)

```

```
175     printf("----- Demarrage d'une nouvelle simulation");
176     else
177         printf("----- Recouvrement d'une ancienne simulation");
178
179     fichier.close_file();
180 }
181
```

```
save_data.h

1 #define PRE_STR "t1.3e0"
2 //////////////////////////////////////////////////////////////////
3 // //////////////////////////////////////////////////////////////////
4 // //////////////////////////////////////////////////////////////////
5 // //////////////////////////////////////////////////////////////////
6 // //////////////////////////////////////////////////////////////////
7 // //////////////////////////////////////////////////////////////////
8 // //////////////////////////////////////////////////////////////////
9 //
10 // -----
11 // Les questions a resoudre
12 // -----
13 //
14 // Format de specification des donnees a sauvegarder ?
15 // Format de sauvegarde des donnees ? ( cf matlab)
16
17 /*
18 * -----
19 * Fonction save_fieldZ(char* fname,espace_champs ch,...);
20 *
21 * Cette fonction sauve n portions des plans X,Y. Les valeur de ces *
22 * plans seront les valeurs du champ magnetique qui pourront etre *
23 * visualises avec la fonction QUIVER de matlab. La fonction QUIVER *
24 * de matlab permet d'afficher des fleches dans la direction du *
25 * gradient d'un champ quelconque.
26 *
27 * Retour: la fonction retourne TRUE si tout s'est bien deroule; *
28 * elle retourne FALSE autrement.
29 * pour le plan Z
30 *
31 * Auteur: Luc Romain, 15 juin 1998
32 *
33 * -----
34 */
35 bool save_fieldZ(char* fname,espace_champs esp_ch,int xi,int yi,int xf,int yf,int z)
36 {
37     int i,j;
38     char name_str[25];
39     FILE *fout;
40
41     sprintf(name_str,"%s.m",fname);
42
43     // Verification et validation du volume a sauvegarder
44     if((xi<0)|| (yi<0)|| (z<0))
45         return(false);
46 }
```

```
47     if(esp_ch.nx()<xf)
48         return(false);
49
50     if(esp_ch.ny()<yf)
51         return(false);
52
53     if(esp_ch.nz()<z)
54         return(false);
55
56     fout=fopen(name_str,"wb");
57
58     if(fout==NULL) // Erreur d'ouverture de fichier.
59     {
60         printf("d'ouverture de fichier.");
61         printf(": save_data.h");
62         printf(": save_field(...)");
63         return(false);
64     }
65
66     // Format de fichier MATLAB
67     fprintf(fout,"x=%d:%d;%d:%d; ",xi,xf,yi,yf);
68
69     // Ecriture de la matrice champs_x:
70
71     fprintf(fout,"c_x=[");
72     for(j=yi;j<=yf;j++)
73     {
74         for(i=xi;i<=xf;i++)
75         {
76             fprintf(fout,PRE_STR,esp_ch.get(i,j,z).cx());
77         }
78         fprintf(fout,""); // Changement de ligne
79     }
80
81     fprintf(fout,"]"); // Fin de la matrice champs_y;
82
83     // Ecriture de la matrice champy:
84
85     fprintf(fout,"c_y=[");
86     for(j=yi;j<=yf;j++)
87     {
88         for(i=xi;i<=xf;i++)
89         {
90             fprintf(fout,PRE_STR,esp_ch.get(i,j,z).cy());
91         }
92         fprintf(fout,""); // Changement de ligne
93     }
94
95     fprintf(fout,"]"); // Fin de la matrice champs_y;
96
97     // Ecriture de la matrice champy:
98
99     fprintf(fout,"c_z=[");
100    for(j=yi;j<=yf;j++)
101    {
102        for(i=xi;i<=xf;i++)
103        {
104            fprintf(fout,PRE_STR,esp_ch.get(i,j,z).cz());
```

```

105         }
106         fprintf(fout,""); // Changement de ligne
107     }

108     fprintf(fout,"];"); // Fin de la matrice champs_z;
109
110 /*
111  * Fonction de generation des graphiques
112 */
113
114 // fprintf(fout,"quiver(x,y,c_x,c_y);");
115 // fprintf(fout,"title('Champ electrique (plan Z=%d)');",z);
116 // fprintf(fout,"pause(x,y,contr);");
117 // fprintf(fout,"title('Champ electrique (plan Z=%d)');",z);
118 // fprintf(fout,"surf(contr);");
119 // fprintf(fout,"title('Champ electrique (plan Z=%d)');",z);
120
121     fclose(fout); // Fermeture du fichier;
122     return(true);
123 }
124 }

125 /*
126 * -----
127 * Fonction save_fieldX(char* fname,espace_champs ch,...);
128 *
129 *
130 * Cette fonction sauve n portions des plans X,Y. Les valeur de ces
131 * plans seront les valeurs du champ magnetique qui pourront etre
132 * visualises avec la fonction QUIVER de matlab. La fonction QUIVER
133 * de matlab permet d'afficher des fleches dans la direction du
134 * gradient d'un champ quelconque.
135 *
136 * Retour: la fonction retourne TRUE si tout s'est bien deroule;
137 *         elle retourne FALSE autrement.
138 *         pour le plan Z
139 *
140 * Auteur: Luc Romain, 15 juin 1998
141 *
142 *
143 */
144 bool save_fieldX(char* fname,espace_champs esp_ch,int yi,int zi,int yf,int zf,int x)
145 {
146     int j,k;
147     char name_str[25];
148     FILE *fout;
149
150     sprintf(name_str,"%s.m",fname);
151
152     // Verification et validation du volume a sauvegarder
153     if((yi<0)|| (zi<0)|| (x<0))
154         return(false);
155

```

```
156     if(esp_ch.ny()<yf)
157         return(false);
158
159     if(esp_ch.nz()<zf)
160         return(false);
161
162     if(esp_ch.nx()<xf)
163         return(false);
164
165     fout=fopen(name_str,"wb");
166
167     if(fout==NULL) // Erreur d'ouverture de fichier.
168     {
169         printf("d'ouverture de fichier.");
170         printf(": save_data.h");
171         printf(": save_field(...)");
172         return(false);
173     }
174
175     // Format de fichier MATLAB
176     fprintf(fout,"y=%d:%d;= %d:%d; ",yi,yf,zi,zf);
177
178     // Ecriture de la matrice champs_x:
179
180     fprintf(fout,"c_x=[");
181     for(k=zi;k<zf;k++)
182     {
183         for(j=yi;j<=yf;j++)
184         {
185             fprintf(fout,PRE_STR,esp_ch.get(x,j,k).cx());
186         }
187         fprintf(fout,";"); // Changement de ligne
188     }
189
190     fprintf(fout,"]"); // Fin de la matrice champs_x;
191
192     // Ecriture de la matrice champy:
193
194     fprintf(fout,"c_y=[");
195     for(k=zi;k<zf;k++)
196     {
197         for(j=yi;j<=yf;j++)
198         {
199             fprintf(fout,PRE_STR,esp_ch.get(x,j,k).cy());
200         }
201         fprintf(fout,";"); // Changement de ligne
202     }
203
204     fprintf(fout,"]"); // Fin de la matrice champs_y;
205
206     fprintf(fout,"c_z=[");
207     for(k=zi;k<zf;k++)
208     {
209         for(j=yi;j<=yf;j++)
210         {
211             fprintf(fout,PRE_STR,esp_ch.get(x,j,k).cz());
212         }
213         fprintf(fout,";"); // Changement de ligne
214     }
```

```

215
216     fprintf(fout,"]; // Fin de la matrice champs_z;
217
218 /*
219  * Fonction de generation des graphiques
220  */
221
222 // fprintf(fout,"quiver(x,y,c_x,c_y');");
223 // fprintf(fout,"title('Champ electrique (plan Z=%d)'),z);
224 // fprintf(fout,"pause(x,y,contr');");
225 // fprintf(fout,"title('Champ electrique (plan Z=%d)'),z);
226 // fprintf(fout,"surf(contr');");
227 // fprintf(fout,"title('Champ electrique (plan Z=%d)'),z);
228
229     fclose(fout); // Fermeture du fichier;
230     return(true);
231 }
232 */
233 /*
234 *
235 * -----
236 * Fonction save_fieldY(char* fname,espace_champs ch,...);
237 *
238 * Cette fonction sauve n portions des plans X,Y. Les valeur de ces
239 * plans seront les valeurs du champ magnetique qui pourront etre
240 * visualises avec la fonction QUIVER de matlab. La fonction QUIVER
241 * de matlab permet d'afficher des fleches dans la direction du
242 * gradient d'un champ quelconque.
243 *
244 * Retour: la fonction retourne TRUE si tout s'est bien deroule;
245 *         elle retourne FALSE autrement.
246 *         pour le plan Z
247 *
248 * Auteur: Luc Romain, 15 juin 1998
249 *
250 * -----
251 */
252 bool save_fieldY(char* fname,espace_champs esp_ch,int xi,int zi,int xf,int zf,int y)
253 {
254     int i,k;
255     char name_str[25];
256     FILE *fout;
257
258     sprintf(name_str,"%s.m",fname);
259
260     // Verification et validation du volume a sauvegarder
261     if((xi<0)|| (y<0)|| (zi<0))
262         return(false);
263
264     if(esp_ch.nx()<xf)
265         return(false);
266

```

```
267     if(esp_ch.ny()<y)
268         return(false);
269
270     if(esp_ch.nz()<zf)
271         return(false);
272
273     fout=fopen(name_str,"wb");
274
275     if(fout==NULL) // Erreur d'ouverture de fichier.
276     {
277         printf("d'ouverture de fichier.");
278         printf(": save_data.h");
279         printf(": save_field(...)");
280         return(false);
281     }
282
283     // Format de fichier MATLAB
284     fprintf(fout,"x=%d:%d;=%d:%d;,%i,%f,%i,%f";
285
286     // Ecriture de la matrice champs_x:
287
288     fprintf(fout,"c_x=[");
289     for(k=zi;k<=zf;k++)
290     {
291         for(i=xi;i<=xf;i++)
292         {
293             fprintf(fout,PRE_STR,esp_ch.get(i,y,k).cx());
294         }
295         fprintf(fout,""); // Changement de ligne
296     }
297
298     fprintf(fout,"]"); // Fin de la matrice champs_x;
299
300
301     fprintf(fout,"c_y=[");
302     for(k=zi;k<=zf;k++)
303     {
304         for(i=xi;i<=xf;i++)
305         {
306             fprintf(fout,PRE_STR,esp_ch.get(i,y,k).cy());
307         }
308         fprintf(fout,""); // Changement de ligne
309     }
310
311     fprintf(fout,"]"); // Fin de la matrice champs_y;
312
313
314     fprintf(fout,"c_z=[");
315     for(k=zi;k<=zf;k++)
316     {
317         for(i=xi;i<=xf;i++)
318         {
319             fprintf(fout,PRE_STR,esp_ch.get(i,y,k).cz());
320         }
321         fprintf(fout,""); // Changement de ligne
322     }
323
324     fprintf(fout,"]"); // Fin de la matrice champs_z;
325
```

```

326  /*
327  Generation du Contour Plot.
328  /*
329  // fprintf(fout,"contr=sqrt(c_x.^2+c_y.^2);");
330
331  /*
332  Fonction de generation des graphiques
333  /*
334
335  // fprintf(fout,"quiver(x,y,c_x,c_y);");
336  // fprintf(fout,"title('Champ electrique (plan Z=td)');",z);
337  // fprintf(fout,"pause(x,y,contr);");
338  // fprintf(fout,"title('Champ electrique (plan Z=td)');",z);
339  // fprintf(fout,"surf(contr);");
340  // fprintf(fout,"title('Champ electrique (plan Z=td)');",z);
341
342  fclose(fout);      // Fermeture du fichier;
343  return(true);
344 ];
345
346 /*
347 * -----
348 * Fonction:  save_plane(...)

349 *
350 * Cette fonction sauve toutes les valeurs du champ electrique et
351 * magnetique sur un plan donne.
352 *
353 * Auteur: Luc Romain
354 * le 14 septembre 1998

355 *
356 */
357
358 bool save_plane(char *rep,char plan,int alt,int Step,
359                  espace_champs ElcFields,espace_champs MagFields)
360
361 {
362
363     char file_name[25],mfname[25];
364     int Dx,Dy,Dz;
365     bool result;
366
367     Dx=ElcFields.nx();
368     Dy=ElcFields.ny();
369     Dz=ElcFields.nz();
370
371     switch(toupper(plan))
372     {
373         case 'X':
374             {
375                 sprintf(file_name,"%s%i",rep,Step);
376                 sprintf(mfname,"%shti",rep,Step);
377                 result=save_fieldX(file_name,ElcFields,1,1,Dy,Dz,alt);
378                 //save_fieldX(mfname,MagFields,1,1,Dy,Dz,alt);

```

```
379                     break;
380                 }
381             case 'Y':
382             {
383                 sprintf(file_name,"%seti",rep,Step);
384                 sprintf(mfname,"%tshi",rep,Step);
385                 result=save_fieldY(file_name,ElcFields,1,1,Dx,Dz,alt);
386                 //save_fieldY(mfname,MagFields,1,1,Dx,Dz,alt);
387                 break;
388             }
389             case 'Z':
390             {
391                 sprintf(file_name,"%seti",rep,Step);
392                 sprintf(mfname,"%tshi",rep,Step);
393                 result=save_fieldZ(file_name,ElcFields,1,1,Dx,Dy,alt);
394                 //save_fieldZ(mfname,MagFields,1,1,Dx,Dy,alt);
395                 break;
396             }
397         } // switch
398     return result;
399 }
```

## save\_space.h

```
1  /*
2  // Save_field.h
3  //
4  // Ce fichier contient les instructions necessaires a la sauvegarde
5  // des informations relatives a FDTD. Ces fonctions seront necessaires
6  // pour effectuer du "Crash recovery".
7
8  // Fonction save_field
9  // Cette fonction sauvegarde toutes les valeurs des trois composantes
10 // de l'espace champs dans un fichier
11 // */
12
13 void save_field(espace_champs *ch,char *rep,char *filename)
14 {
15     int x,y,z;
16     int mx,my,mz;
17     BasicFileIO fichier(rep,filename,"wb");
18     cellule_champs cell;
19
20
21     mx=ch->nx();
22     my=ch->ny();
23     mz=ch->nz();
24
25     for(z=1;z<=mz;z++)
26     {
27         for(y=1;y<=my;y++)
28         {
29             for(x=1;x<=mx;x++)
30             {
31                 cell=ch->get(x,y,z);
32                 fichier.write_to_file(cell.cx());
33                 fichier.write_to_file(cell.cy());
34                 fichier.write_to_file(cell.cz());
35             }
36         }
37     }
38
39     fichier.close_file();
40 }
41
42
43
44 // save_space
45 // Fonction qui sauvegarde les valeurs des materiaux.
46
47 void save_space(espace_physique *ph_sp,char *rep,char *filename)
48 {
49     int x,y,z;
50     int mx,my,mz;
51     BasicFileIO fichier(rep,filename,"wb");
52     cellule_physique cell;
53
54     mx=ph_sp->nx();
55     my=ph_sp->ny();
56     mz=ph_sp->nz();
```

```

57
58
59     for(z=1;z<=mz;z++)
60         for(y=1;y<=my;y++)
61             for(x=1;x<=mx;x++)
62             {
63                 cell=ph_sp->get(x,y,z);
64                 fichier.write_to_file(cell.cx());
65                 fichier.write_to_file(cell.cy());
66                 fichier.write_to_file(cell.cz());
67             }
68
69     fichier.close_file();
70
71 }
72
73
74 // Fonction save_variables
75 // Cette fonction sauve: Dimx,Dimy,Dimz,CellSize,WaveAmplitude,Step
76 void save_sim_parameters(int dx,int dy,int dz,typ_coeff csize,typ_coeff wave_amp,
77                         int step,typ_coeff time,char *rep,char *filename)
78 {
79     BasicFileIO fichier(rep,filename,"w");
80
81     fichier.write_to_file(dx);
82     fichier.write_to_file(dy);
83     fichier.write_to_file(dz);
84     fichier.write_to_file(csize);
85     fichier.write_to_file(wave_amp);
86     fichier.write_to_file(step);      // Sauvegarde du step courant.
87     fichier.write_to_file(time);
88
89     fichier.close_file();
90 }
91
92
93 // save_plane_parameters
94 // Fonction qui sauve le plan ainsi que la hauteur de sauvegarde.
95 // Cette fonction sauve également le pas minimal et maximal
96 void save_plane_parameters(char plan,int h,int stmn,int stmx,int end_step,
97                           char *rep,char *filename)
98 {
99     char str[4];
100    BasicFileIO fichier(rep,filename,"w");
101
102    sprintf(str,"%c0",plan);
103
104    fichier.write_to_file(str);
105    fichier.write_to_file(h);
106    fichier.write_to_file(stmn);
107    fichier.write_to_file(stmx);
108    fichier.write_to_file(end_step);
109
110    fichier.close_file();
111 }
112
113 // save_orbc
114 // Fonction qui sauve le plan ainsi que la hauteur de sauvegarde.
115 // Cette fonction sauve également le pas minimal et maximal

```

```
116 void save_orbc(tab_for_orbc *orbc,char *rep,char *filename)
117 {
118     BasicFileIO fichier(rep,filename,"wb");
119     int x,y,z;
120     int mx,my,mz;
121
122     mx=orbc->nx();
123     my=orbc->ny();
124     mz=orbc->nz();
125
126     for(z=1;z<=mz;z++)
127         for(y=1;y<=my;y++)
128             for(x=1;x<=mx;x++)
129             {
130                 fichier.write_to_file(orbc->get(x,y,z));
131             }
132
133     fichier.close_file();
134 }
135
```

Source.h

1  
2

```

<tableaux.h

1  //////////////////////////////////////////////////////////////////
2  //
3  //////////////////////////////////////////////////////////////////
4  //////////////////////////////////////////////////////////////////
5
6
7  template <class type_elem>
8  class tableaux
9  {
10 protected:
11     // Dimensions selon les axes x,y,z.
12     int      NX, NY, NZ;
13
14     // Pointeur sur la zone de stockage
15     type_elem *array;                                // La zone de stockage est un tableau
16
17     unidimensionnel, quoique figurant
18
19     surdimensionne de 1.                                // un espace 3D.
20
21     qu'on n'utilisera
22
23     case (indicee par 0)                                // Ce tableau est
24
25     // Dimension de la zone de stockage ( ie NX*NY*NZ +1), en nb de cases
26     int      Dimension;
27
28     /***** FONCTIONS *****/
29 public:
30     // Constructeur
31     tableaux(int DimX=1, int DimY=1, int DimZ=1)
32     {
33         NX=DimX;
34         NY=DimY;
35         NZ=DimZ;
36         Dimension=NX*NY*NZ+1;
37         array= (type_elem*)malloc (Dimension* sizeof(type_elem));
38         if(array== NULL)
39         {
40             printf("Echec d'allocation memoire");
41             exit(1);
42         }
43         init((type_elem) 0);
44     };
45
46     // Destructeur
47     virtual      ~tableaux() {};
48
49     // Initialisation
50     void      init(type_elem value)
51     {
52         int i,j,k;
53         for (i=1;i<=NX;i++)
54             for (j=1;j<=NY;j++)
55                 for (k=1;k<=NZ;k++)
56                     array[i*NY*NZ+j*NZ+k]=value;
57     };
58
59     // Accesseur
60     type_elem get(int i,int j,int k)
61     {
62         return array[i*NY*NZ+j*NZ+k];
63     };
64
65     // Modificateur
66     void      set(int i,int j,int k,type_elem value)
67     {
68         array[i*NY*NZ+j*NZ+k]=value;
69     };
70
71     // Accesseur
72     type_elem get(int index)
73     {
74         return array[index];
75     };
76
77     // Modificateur
78     void      set(int index,type_elem value)
79     {
80         array[index]=value;
81     };
82
83     // Accesseur
84     type_elem get(int i,int j)
85     {
86         return array[i*NY+j];
87     };
88
89     // Modificateur
90     void      set(int i,int j,type_elem value)
91     {
92         array[i*NY+j]=value;
93     };
94
95     // Accesseur
96     type_elem get(int i)
97     {
98         return array[i];
99     };
100
101    // Modificateur
102    void      set(int i,type_elem value)
103    {
104        array[i]=value;
105    };
106
107    // Accesseur
108    type_elem get()
109    {
110        return array[0];
111    };
112
113    // Modificateur
114    void      set(type_elem value)
115    {
116        array[0]=value;
117    };
118
119    // Accesseur
120    type_elem get(int i,int j,int k)
121    {
122        return array[i*NY*NZ+j*NZ+k];
123    };
124
125    // Modificateur
126    void      set(int i,int j,int k,type_elem value)
127    {
128        array[i*NY*NZ+j*NZ+k]=value;
129    };
130
131    // Accesseur
132    type_elem get(int index)
133    {
134        return array[index];
135    };
136
137    // Modificateur
138    void      set(int index,type_elem value)
139    {
140        array[index]=value;
141    };
142
143    // Accesseur
144    type_elem get(int i,int j)
145    {
146        return array[i*NY+j];
147    };
148
149    // Modificateur
150    void      set(int i,int j,type_elem value)
151    {
152        array[i*NY+j]=value;
153    };
154
155    // Accesseur
156    type_elem get(int i)
157    {
158        return array[i];
159    };
160
161    // Modificateur
162    void      set(int i,type_elem value)
163    {
164        array[i]=value;
165    };
166
167    // Accesseur
168    type_elem get()
169    {
170        return array[0];
171    };
172
173    // Modificateur
174    void      set(type_elem value)
175    {
176        array[0]=value;
177    };
178
179    // Accesseur
180    type_elem get(int i,int j,int k)
181    {
182        return array[i*NY*NZ+j*NZ+k];
183    };
184
185    // Modificateur
186    void      set(int i,int j,int k,type_elem value)
187    {
188        array[i*NY*NZ+j*NZ+k]=value;
189    };
190
191    // Accesseur
192    type_elem get(int index)
193    {
194        return array[index];
195    };
196
197    // Modificateur
198    void      set(int index,type_elem value)
199    {
200        array[index]=value;
201    };
202
203    // Accesseur
204    type_elem get(int i,int j)
205    {
206        return array[i*NY+j];
207    };
208
209    // Modificateur
210    void      set(int i,int j,type_elem value)
211    {
212        array[i*NY+j]=value;
213    };
214
215    // Accesseur
216    type_elem get(int i)
217    {
218        return array[i];
219    };
220
221    // Modificateur
222    void      set(int i,type_elem value)
223    {
224        array[i]=value;
225    };
226
227    // Accesseur
228    type_elem get()
229    {
230        return array[0];
231    };
232
233    // Modificateur
234    void      set(type_elem value)
235    {
236        array[0]=value;
237    };
238
239    // Accesseur
240    type_elem get(int i,int j,int k)
241    {
242        return array[i*NY*NZ+j*NZ+k];
243    };
244
245    // Modificateur
246    void      set(int i,int j,int k,type_elem value)
247    {
248        array[i*NY*NZ+j*NZ+k]=value;
249    };
250
251    // Accesseur
252    type_elem get(int index)
253    {
254        return array[index];
255    };
256
257    // Modificateur
258    void      set(int index,type_elem value)
259    {
260        array[index]=value;
261    };
262
263    // Accesseur
264    type_elem get(int i,int j)
265    {
266        return array[i*NY+j];
267    };
268
269    // Modificateur
270    void      set(int i,int j,type_elem value)
271    {
272        array[i*NY+j]=value;
273    };
274
275    // Accesseur
276    type_elem get(int i)
277    {
278        return array[i];
279    };
280
281    // Modificateur
282    void      set(int i,type_elem value)
283    {
284        array[i]=value;
285    };
286
287    // Accesseur
288    type_elem get()
289    {
290        return array[0];
291    };
292
293    // Modificateur
294    void      set(type_elem value)
295    {
296        array[0]=value;
297    };
298
299    // Accesseur
300    type_elem get(int i,int j,int k)
301    {
302        return array[i*NY*NZ+j*NZ+k];
303    };
304
305    // Modificateur
306    void      set(int i,int j,int k,type_elem value)
307    {
308        array[i*NY*NZ+j*NZ+k]=value;
309    };
310
311    // Accesseur
312    type_elem get(int index)
313    {
314        return array[index];
315    };
316
317    // Modificateur
318    void      set(int index,type_elem value)
319    {
320        array[index]=value;
321    };
322
323    // Accesseur
324    type_elem get(int i,int j)
325    {
326        return array[i*NY+j];
327    };
328
329    // Modificateur
330    void      set(int i,int j,type_elem value)
331    {
332        array[i*NY+j]=value;
333    };
334
335    // Accesseur
336    type_elem get(int i)
337    {
338        return array[i];
339    };
340
341    // Modificateur
342    void      set(int i,type_elem value)
343    {
344        array[i]=value;
345    };
346
347    // Accesseur
348    type_elem get()
349    {
350        return array[0];
351    };
352
353    // Modificateur
354    void      set(type_elem value)
355    {
356        array[0]=value;
357    };
358
359    // Accesseur
360    type_elem get(int i,int j,int k)
361    {
362        return array[i*NY*NZ+j*NZ+k];
363    };
364
365    // Modificateur
366    void      set(int i,int j,int k,type_elem value)
367    {
368        array[i*NY*NZ+j*NZ+k]=value;
369    };
370
371    // Accesseur
372    type_elem get(int index)
373    {
374        return array[index];
375    };
376
377    // Modificateur
378    void      set(int index,type_elem value)
379    {
380        array[index]=value;
381    };
382
383    // Accesseur
384    type_elem get(int i,int j)
385    {
386        return array[i*NY+j];
387    };
388
389    // Modificateur
390    void      set(int i,int j,type_elem value)
391    {
392        array[i*NY+j]=value;
393    };
394
395    // Accesseur
396    type_elem get(int i)
397    {
398        return array[i];
399    };
399
400    // Modificateur
401    void      set(int i,type_elem value)
402    {
403        array[i]=value;
404    };
405
406    // Accesseur
407    type_elem get()
408    {
409        return array[0];
410    };
410
411    // Modificateur
412    void      set(type_elem value)
413    {
414        array[0]=value;
415    };
416
417    // Accesseur
418    type_elem get(int i,int j,int k)
419    {
420        return array[i*NY*NZ+j*NZ+k];
421    };
422
423    // Modificateur
424    void      set(int i,int j,int k,type_elem value)
425    {
426        array[i*NY*NZ+j*NZ+k]=value;
427    };
428
429    // Accesseur
430    type_elem get(int index)
431    {
432        return array[index];
433    };
434
435    // Modificateur
436    void      set(int index,type_elem value)
437    {
438        array[index]=value;
439    };
440
441    // Accesseur
442    type_elem get(int i,int j)
443    {
444        return array[i*NY+j];
445    };
446
447    // Modificateur
448    void      set(int i,int j,type_elem value)
449    {
450        array[i*NY+j]=value;
451    };
452
453    // Accesseur
454    type_elem get(int i)
455    {
456        return array[i];
457    };
458
459    // Modificateur
460    void      set(int i,type_elem value)
461    {
462        array[i]=value;
463    };
464
465    // Accesseur
466    type_elem get()
467    {
468        return array[0];
469    };
469
470    // Modificateur
471    void      set(type_elem value)
472    {
473        array[0]=value;
474    };
475
476    // Accesseur
477    type_elem get(int i,int j,int k)
478    {
479        return array[i*NY*NZ+j*NZ+k];
480    };
481
482    // Modificateur
483    void      set(int i,int j,int k,type_elem value)
484    {
485        array[i*NY*NZ+j*NZ+k]=value;
486    };
487
488    // Accesseur
489    type_elem get(int index)
490    {
491        return array[index];
492    };
493
494    // Modificateur
495    void      set(int index,type_elem value)
496    {
497        array[index]=value;
498    };
499
500    // Accesseur
501    type_elem get(int i,int j)
502    {
503        return array[i*NY+j];
504    };
505
506    // Modificateur
507    void      set(int i,int j,type_elem value)
508    {
509        array[i*NY+j]=value;
510    };
511
512    // Accesseur
513    type_elem get(int i)
514    {
515        return array[i];
516    };
517
518    // Modificateur
519    void      set(int i,type_elem value)
520    {
521        array[i]=value;
522    };
523
524    // Accesseur
525    type_elem get()
526    {
527        return array[0];
528    };
528
529    // Modificateur
530    void      set(type_elem value)
531    {
532        array[0]=value;
533    };
534
535    // Accesseur
536    type_elem get(int i,int j,int k)
537    {
538        return array[i*NY*NZ+j*NZ+k];
539    };
540
541    // Modificateur
542    void      set(int i,int j,int k,type_elem value)
543    {
544        array[i*NY*NZ+j*NZ+k]=value;
545    };
546
547    // Accesseur
548    type_elem get(int index)
549    {
550        return array[index];
551    };
552
553    // Modificateur
554    void      set(int index,type_elem value)
555    {
556        array[index]=value;
557    };
558
559    // Accesseur
560    type_elem get(int i,int j)
561    {
562        return array[i*NY+j];
563    };
564
565    // Modificateur
566    void      set(int i,int j,type_elem value)
567    {
568        array[i*NY+j]=value;
569    };
570
571    // Accesseur
572    type_elem get(int i)
573    {
574        return array[i];
575    };
576
577    // Modificateur
578    void      set(int i,type_elem value)
579    {
580        array[i]=value;
581    };
582
583    // Accesseur
584    type_elem get()
585    {
586        return array[0];
587    };
587
588    // Modificateur
589    void      set(type_elem value)
590    {
591        array[0]=value;
592    };
593
594    // Accesseur
595    type_elem get(int i,int j,int k)
596    {
597        return array[i*NY*NZ+j*NZ+k];
598    };
599
600    // Modificateur
601    void      set(int i,int j,int k,type_elem value)
602    {
603        array[i*NY*NZ+j*NZ+k]=value;
604    };
605
606    // Accesseur
607    type_elem get(int index)
608    {
609        return array[index];
610    };
611
612    // Modificateur
613    void      set(int index,type_elem value)
614    {
615        array[index]=value;
616    };
617
618    // Accesseur
619    type_elem get(int i,int j)
620    {
621        return array[i*NY+j];
622    };
623
624    // Modificateur
625    void      set(int i,int j,type_elem value)
626    {
627        array[i*NY+j]=value;
628    };
629
630    // Accesseur
631    type_elem get(int i)
632    {
633        return array[i];
634    };
635
636    // Modificateur
637    void      set(int i,type_elem value)
638    {
639        array[i]=value;
640    };
641
642    // Accesseur
643    type_elem get()
644    {
645        return array[0];
646    };
646
647    // Modificateur
648    void      set(type_elem value)
649    {
650        array[0]=value;
651    };
652
653    // Accesseur
654    type_elem get(int i,int j,int k)
655    {
656        return array[i*NY*NZ+j*NZ+k];
657    };
658
659    // Modificateur
660    void      set(int i,int j,int k,type_elem value)
661    {
662        array[i*NY*NZ+j*NZ+k]=value;
663    };
664
665    // Accesseur
666    type_elem get(int index)
667    {
668        return array[index];
669    };
669
670    // Modificateur
671    void      set(int index,type_elem value)
672    {
673        array[index]=value;
674    };
675
676    // Accesseur
677    type_elem get(int i,int j)
678    {
679        return array[i*NY+j];
680    };
680
681    // Modificateur
682    void      set(int i,int j,type_elem value)
683    {
684        array[i*NY+j]=value;
685    };
686
687    // Accesseur
688    type_elem get(int i)
689    {
690        return array[i];
691    };
692
693    // Modificateur
694    void      set(int i,type_elem value)
695    {
696        array[i]=value;
697    };
698
699    // Accesseur
700    type_elem get()
701    {
702        return array[0];
703    };
703
704    // Modificateur
705    void      set(type_elem value)
706    {
707        array[0]=value;
708    };
709
710    // Accesseur
711    type_elem get(int i,int j,int k)
712    {
713        return array[i*NY*NZ+j*NZ+k];
714    };
715
716    // Modificateur
717    void      set(int i,int j,int k,type_elem value)
718    {
719        array[i*NY*NZ+j*NZ+k]=value;
720    };
721
722    // Accesseur
723    type_elem get(int index)
724    {
725        return array[index];
726    };
726
727    // Modificateur
728    void      set(int index,type_elem value)
729    {
730        array[index]=value;
731    };
732
733    // Accesseur
734    type_elem get(int i,int j)
735    {
736        return array[i*NY+j];
737    };
737
738    // Modificateur
739    void      set(int i,int j,type_elem value)
740    {
741        array[i*NY+j]=value;
742    };
743
744    // Accesseur
745    type_elem get(int i)
746    {
747        return array[i];
748    };
749
750    // Modificateur
751    void      set(int i,type_elem value)
752    {
753        array[i]=value;
754    };
755
756    // Accesseur
757    type_elem get()
758    {
759        return array[0];
760    };
760
761    // Modificateur
762    void      set(type_elem value)
763    {
764        array[0]=value;
765    };
766
767    // Accesseur
768    type_elem get(int i,int j,int k)
769    {
770        return array[i*NY*NZ+j*NZ+k];
771    };
772
773    // Modificateur
774    void      set(int i,int j,int k,type_elem value)
775    {
776        array[i*NY*NZ+j*NZ+k]=value;
777    };
778
779    // Accesseur
780    type_elem get(int index)
781    {
782        return array[index];
783    };
783
784    // Modificateur
785    void      set(int index,type_elem value)
786    {
787        array[index]=value;
788    };
789
790    // Accesseur
791    type_elem get(int i,int j)
792    {
793        return array[i*NY+j];
794    };
794
795    // Modificateur
796    void      set(int i,int j,type_elem value)
797    {
798        array[i*NY+j]=value;
799    };
800
801    // Accesseur
802    type_elem get(int i)
803    {
804        return array[i];
805    };
806
807    // Modificateur
808    void      set(int i,type_elem value)
809    {
810        array[i]=value;
811    };
812
813    // Accesseur
814    type_elem get()
815    {
816        return array[0];
817    };
817
818    // Modificateur
819    void      set(type_elem value)
820    {
821        array[0]=value;
822    };
823
824    // Accesseur
825    type_elem get(int i,int j,int k)
826    {
827        return array[i*NY*NZ+j*NZ+k];
828    };
829
830    // Modificateur
831    void      set(int i,int j,int k,type_elem value)
832    {
833        array[i*NY*NZ+j*NZ+k]=value;
834    };
835
836    // Accesseur
837    type_elem get(int index)
838    {
839        return array[index];
840    };
840
841    // Modificateur
842    void      set(int index,type_elem value)
843    {
844        array[index]=value;
845    };
846
847    // Accesseur
848    type_elem get(int i,int j)
849    {
850        return array[i*NY+j];
851    };
851
852    // Modificateur
853    void      set(int i,int j,type_elem value)
854    {
855        array[i*NY+j]=value;
856    };
857
858    // Accesseur
859    type_elem get(int i)
860    {
861        return array[i];
862    };
863
864    // Modificateur
865    void      set(int i,type_elem value)
866    {
867        array[i]=value;
868    };
869
870    // Accesseur
871    type_elem get()
872    {
873        return array[0];
874    };
874
875    // Modificateur
876    void      set(type_elem value)
877    {
878        array[0]=value;
879    };
880
881    // Accesseur
882    type_elem get(int i,int j,int k)
883    {
884        return array[i*NY*NZ+j*NZ+k];
885    };
886
887    // Modificateur
888    void      set(int i,int j,int k,type_elem value)
889    {
890        array[i*NY*NZ+j*NZ+k]=value;
891    };
892
893    // Accesseur
894    type_elem get(int index)
895    {
896        return array[index];
897    };
897
898    // Modificateur
899    void      set(int index,type_elem value)
900    {
901        array[index]=value;
902    };
903
904    // Accesseur
905    type_elem get(int i,int j)
906    {
907        return array[i*NY+j];
908    };
908
909    // Modificateur
910    void      set(int i,int j,type_elem value)
911    {
912        array[i*NY+j]=value;
913    };
914
915    // Accesseur
916    type_elem get(int i)
917    {
918        return array[i];
919    };
920
921    // Modificateur
922    void      set(int i,type_elem value)
923    {
924        array[i]=value;
925    };
926
927    // Accesseur
928    type_elem get()
929    {
930        return array[0];
931    };
931
932    // Modificateur
933    void      set(type_elem value)
934    {
935        array[0]=value;
936    };
937
938    // Accesseur
939    type_elem get(int i,int j,int k)
940    {
941        return array[i*NY*NZ+j*NZ+k];
942    };
943
944    // Modificateur
945    void      set(int i,int j,int k,type_elem value)
946    {
947        array[i*NY*NZ+j*NZ+k]=value;
948    };
949
950    // Accesseur
951    type_elem get(int index)
952    {
953        return array[index];
954    };
954
955    // Modificateur
956    void      set(int index,type_elem value)
957    {
958        array[index]=value;
959    };
960
961    // Accesseur
962    type_elem get(int i,int j)
963    {
964        return array[i*NY+j];
965    };
965
966    // Modificateur
967    void      set(int i,int j,type_elem value)
968    {
969        array[i*NY+j]=value;
970    };
971
972    // Accesseur
973    type_elem get(int i)
974    {
975        return array[i];
976    };
976
977    // Modificateur
978    void      set(int i,type_elem value)
979    {
980        array[i]=value;
981    };
982
983    // Accesseur
984    type_elem get()
985    {
986        return array[0];
987    };
987
988    // Modificateur
989    void      set(type_elem value)
989    {
990        array[0]=value;
991    };
992
993    // Accesseur
994    type_elem get(int i,int j,int k)
995    {
996        return array[i*NY*NZ+j*NZ+k];
997    };
998
999    // Modificateur
1000   void      set(int i,int j,int k,type_elem value)
1001   {
1002       array[i*NY*NZ+j*NZ+k]=value;
1003   };
1004
1005   // Accesseur
1006   type_elem get(int index)
1007   {
1008       return array[index];
1009   };
1010
1011   // Modificateur
1012   void      set(int index,type_elem value)
1013   {
1014       array[index]=value;
1015   };
1016
1017   // Accesseur
1018   type_elem get(int i,int j)
1019   {
1020       return array[i*NY+j];
1021   };
1021
1022   // Modificateur
1023   void      set(int i,int j,type_elem value)
1024   {
1025       array[i*NY+j]=value;
1026   };
1027
1028   // Accesseur
1029   type_elem get(int i)
1030   {
1031       return array[i];
1032   };
1032
1033   // Modificateur
1034   void      set(int i,type_elem value)
1035   {
1036       array[i]=value;
1037   };
1038
1039   // Accesseur
1040   type_elem get()
1041   {
1042       return array[0];
1043   };
1043
1044   // Modificateur
1045   void      set(type_elem value)
1046   {
1047       array[0]=value;
1048   };
1049
1050   // Accesseur
1051   type_elem get(int i,int j,int k)
1052   {
1053       return array[i*NY*NZ+j*NZ+k];
1054   };
1054
1055   // Modificateur
1056   void      set(int i,int j,int k,type_elem value)
1057   {
1058       array[i*NY*NZ+j*NZ+k]=value;
1059   };
1060
1061   // Accesseur
1062   type_elem get(int index)
1063   {
1064       return array[index];
1065   };
1065
1066   // Modificateur
1067   void      set(int index,type_elem value)
1068   {
1069       array[index]=value;
1070   };
1071
1072   // Accesseur
1073   type_elem get(int i,int j)
1074   {
1075       return array[i*NY+j];
1076   };
1076
1077   // Modificateur
1078   void      set(int i,int j,type_elem value)
1079   {
1080       array[i*NY+j]=value;
1081   };
1082
1083   // Accesseur
1084   type_elem get(int i)
1085   {
1086       return array[i];
1087   };
1087
1088   // Modificateur
1089   void      set(int i,type_elem value)
1090   {
1091       array[i]=value;
1092   };
1093
1094   // Accesseur
1095   type_elem get()
1096   {
1097       return array[0];
1098   };
1098
1099   // Modificateur
1100   void      set(type_elem value)
1101   {
1102       array[0]=value;
1103   };
1104
1105   // Accesseur
1106   type_elem get(int i,int j,int k)
1107   {
1108       return array[i*NY*NZ+j*NZ+k];
1109   };
1110
1111   // Modificateur
1112   void      set(int i,int j,int k,type_elem value)
1113   {
1114       array[i*NY*NZ+j*NZ+k]=value;
1115   };
1116
1117   // Accesseur
1118   type_elem get(int index)
1119   {
1120       return array[index];
1121   };
1121
1122   // Modificateur
1123   void      set(int index,type_elem value)
1124   {
1125       array[index]=value;
1126   };
1127
1128   // Accesseur
1129   type_elem get(int i,int j)
1130   {
1131       return array[i*NY+j];
1132   };
1132
1133   // Modificateur
1134   void      set(int i,int j,type_elem value)
1135   {
1136       array[i*NY+j]=value;
1137   };
1138
1139   // Accesseur
1140   type_elem get(int i)
1141   {
1142       return array[i];
1143   };
1143
1144   // Modificateur
1145   void      set(int i,type_elem value)
1146   {
1147       array[i]=value;
1148   };
1149
1150   // Accesseur
1151   type_elem get()
1152   {
1153       return array[0];
1154   };
1154
1155   // Modificateur
1156   void      set(type_elem value)
1157   {
1158       array[0]=value;
1159   };
1160
1161   // Accesseur
1162   type_elem get(int i,int j,int k)
1163   {
1164       return array[i*NY*NZ+j*NZ+k];
1165   };
1165
1166   // Modificateur
1167   void      set(int i,int j,int k,type_elem value)
1168   {
1169       array[i*NY*NZ+j*NZ+k]=value;
1170   };
1171
1172   // Accesseur
1173   type_elem get(int index)
1174   {
1175       return array[index];
1176   };
1176
1177   // Modificateur
1178   void      set(int index,type_elem value)
1179   {
1180       array[index]=value;
1181   };
1182
1183   // Accesseur
1184   type_elem get(int i,int j)
1185   {
1186       return array[i*NY+j];
1187   };
1187
1188   // Modificateur
1189   void      set(int i,int j,type_elem value)
1190   {
1191       array[i*NY+j]=value;
1192   };
1193
1194   // Accesseur
1195   type_elem get(int i)
1196   {
1197       return array[i];
1198   };
1198
1199   // Modificateur
1200   void      set(int i,type_elem value)
1201   {
1202       array[i]=value;
1203   };
1204
1205   // Accesseur
1206   type_elem get()
1207   {
1208       return array[0];
1209   };
1209
1210   // Modificateur
1211   void      set(type_elem value)
1212   {
1213       array[0]=value;
1214   };
1215
1216   // Accesseur
1217   type_elem get(int i,int j,int k)
1218   {
1219       return array[i*NY*NZ+j*NZ+k];
1220   };
1220
1221   // Modificateur
1222   void      set(int i,int j,int k,type_elem value)
1223   {
1224       array[i*NY*NZ+j*NZ+k]=value;
1225   };
1226
1227   // Accesseur
1228   type_elem get(int index)
1229   {
1230       return array[index];
1231   };
1231
1232   // Modificateur
1233   void      set(int index,type_elem value)
1234   {
1235       array[index]=value;
1236   };
1237
1238   // Accesseur
1239   type_elem get(int i,int j)
1240   {
1241       return array[i*NY+j];
1242   };
1242
1243   // Modificateur
1244   void      set(int i,int j,type_elem value)
1245   {
1246       array[i*NY+j]=value;
1247   };
1248
1249   // Accesseur
1250   type_elem get(int i)
1251   {
1252       return array[i];
1253   };
1253
1254   // Modificateur
1255   void      set(int i,type_elem value)
1256   {
1257       array[i]=value;
1258   };
1259
1260   // Accesseur
1261   type_elem get()
1262   {
1263       return array[0];
1264   };
1264
1265   // Modificateur
1266   void      set(type_elem value)
1267   {
1268       array[0]=value;
1269   };
1270
1271   // Accesseur
1272   type_elem get(int i,int j,int k)
1273   {
1274       return array[i*NY*NZ+j*NZ+k];
1275   };
1275
1276   // Modificateur
1277   void      set(int i,int j,int k,type_elem value)
1278   {
1279       array[i*NY*NZ+j*NZ+k]=value;
1280   };
1281
1282   // Accesseur
1283   type_elem get(int index)
1284   {
1285       return array[index];
1286   };
1286
1287   // Modificateur
1288   void      set(int index,type_elem value)
1289   {
1290       array[index]=value;
1291   };
1292
1293   // Accesseur
1294   type_elem get(int i,int j)
1295   {
1296       return array[i*NY+j];
1297   };
1297
1298   // Modificateur
1299   void      set(int i,int j,type_elem value)
1300   {
1301       array[i*NY+j]=value;
1302   };
1303
1304   // Accesseur
1305   type_elem get(int i)
1306   {
1307       return array[i];
1308   };
1308
1309   // Modificateur
1310   void      set(int i,type_elem value)
1311   {
1312       array[i]=value;
1313   };
1314
1315   // Accesseur
1316   type_elem get()
1317   {
1318       return array[0];
1319   };
1319
1320   // Modificateur
1321   void      set(type_elem value)
1322   {
1323       array[0]=value;
1324   };
1325
1326   // Accesseur
1327   type_elem get(int i,int j,int k)
1328   {
1329       return array[i*NY*NZ+j*NZ+k];
1330   };
1330
1331   // Modificateur
1332   void      set(int i,int j,int k,type_elem value)
1333   {
1334       array[i*NY*NZ+j*NZ+k]=value;
1335   };
1336
1337   // Accesseur
1338   type_elem get(int index)
1339   {
1340       return array[index];
1341   };
1341
1342   // Modificateur
1343   void      set(int index,type_elem value)
1344   {
1345       array[index]=value;
1346   };
1347
1348   // Accesseur
1349   type_elem get(int i,int j)
1350   {
1351       return array[i*NY+j];
1352   };
1352
1353   // Modificateur
1354   void      set(int i,int j,type_elem value)
1355   {
1356       array[i*NY+j]=value;
1357   };
1358
1359   // Accesseur
1360   type_elem get(int i)
1361   {
1362       return array[i];
1363   };
1363
1364   // Modificateur
1365   void      set(int i,type_elem value)
1366   {
1367       array[i]=value;
1368   };
1369
1370   // Accesseur
1371   type_elem get()
1372   {
1373       return array[0];
1374   };
1374
1375   // Modificateur
1376   void      set(type_elem value)
1377   {
1378       array[0]=value;
1379   };
1380
1381   // Accesseur
1382   type_elem get(int i,int j,int k)
1383   {
1384       return array[i*NY*NZ+j*NZ+k];
1385   };
1385
1386   // Modificateur
1387   void      set(int i,int j,int k,type_elem value)
1388   {
1389       array[i*NY*NZ+j*NZ+k]=value;
1390   };
1391
1392   // Accesseur
1393   type_elem get(int index)
1394   {
1395       return array[index];
1396   };
1396
1397   // Modificateur
1398   void      set(int index,type_elem value)
1399   {
1400       array[index]=value;
1401   };
1402
1403   // Accesseur
1404   type_elem get(int i,int j)
1405   {
1406       return array[i*NY+j];
1407   };
1407
1408   // Modificateur
1409   void      set(int i,int j,type_elem value)
1410   {
1411       array[i*NY+j]=value;
1412   };
1413
1414   // Accesseur
1415   type_elem get(int i)
1416   {
1417       return array[i];
1418   };
1418
1419   // Modificateur
1420   void      set(int i,type_elem value)
1421   {
1422       array[i]=value;
1423   };
1424
1425   // Accesseur
1426   type_elem get()
1427   {
1428       return array[0];
1429   };
1429
1430   // Modificateur
1431   void      set(type_elem value)
1432   {
1433       array[0]=value;
1434   };
1435
1436   // Accesseur
1437   type_elem get(int i,int j,int k)
1438   {
1439       return array[i*NY*NZ+j*NZ+k];
1440   };
1440
1441   // Modificateur
1442   void      set(int i,int j,int k,type_elem value)
1443   {
1444       array[i*NY*NZ+j*NZ+k]=value;
1445   };
1446
1447   // Accesseur
1448   type_elem get(int index)
1449   {
1450       return array[index];
1451   };
1451
1452   // Modificateur
1453   void      set(int index,type_elem value)
1454   {
1455       array[index]=value;
1456   };
1457
1458   // Accesseur
1459   type_elem get(int i,int j)
1460   {
1461       return array[i*NY+j];
1462   };
1462
1463   // Modificateur
1464   void      set(int i,int j,type_elem value)
1465   {
1466       array[i*NY+j]=value;
1467   };
1468
1469   // Accesseur
1470  
```

```

51             for (k=1;k<=NZ;k++)
52                 put( value,i,j,k);
53     };
54
55     // Accesseurs
56     inline int          nx()    {return(NX);}
57     inline int          ny()    {return(NY);}
58     inline int          nz()    {return(NZ);}
59     inline int          dim()   {return(Dimension);}
60     inline type_elem arr()  {return(*array);}
61
62     // Accesseur aux elements du tableau
63     inline type_elem get(int i, int j, int k)
64     {
65         int indice;
66         type_elem resu;
67         indice = adresse(i,j,k);
68         if (adresseOK(indice))
69             resu=array[indice];
70         else
71         {
72             printf(" Tableau - Tentative de lecture abusive - Resultat sans
signification");
73             getchar();
74         }
75         return (resu);
76     };
77
78     // Operateur d'affectation des elements du tableau
79     void    put(type_elem elem, int i, int j, int k)
80     {
81         int indice;
82         indice = adresse(i,j,k);
83         if (adresseOK(indice))
84             array[indice]=elem;
85         else
86         {
87             printf(" Tableau - Tentative d'ecriture abusive");
88             getchar();
89         }
90     };
91
92     // Affichage des caracteristiques du tableau
93     void    descripteur()
94     {
95         printf(" Dimensions du tableau:");
96         printf(" *NX: %d*NY: %d*NZ: %d",NX,NY,NZ);
97         printf(" Dimension de la zone de stockage associee (en nb de cellules):");
98         printf(" *Dimension: %d",Dimension);
99     };
100
101    // Procedures d'affichage des valeurs contenues dans le tableau
102    void show_values();
103    void show_values_int();
104    void show_value(int i, int j, int k);
105    void show_valx (int i, int j, int k);
106    void show_valy (int i, int j, int k);
107    void show_valz (int i, int j, int k);
108

```

```

109 protected:
110
111     // Calcul d'une adresse en zone de stockage
112     inline int      adresse(int i, int j, int k)
113     {
114         int result;
115
116         if(((i>NX) || (j>NY) || (k>NZ)) || ((i*j*k)==0))
117             result=-1; // Erreur d'accès au tableau
118         else
119             result=i + (i-1)*NY*NZ + (j-1)*NZ + (k-1);
120
121         return(result);
122     }
123
124     // Contrôle d'adresse en zone de stockage
125     inline bool      adresseOK(int val)
126     {
127         if((val>0)&&(val<=Dimension))
128             return(true);
129         else
130             return(false);
131     };
132 };
133
134
135
136 // Procédures d'affichage
137
138 template<class type>
139 void tableaux<type>::show_values()
140 {
141     int i,j,k;
142     for (i=1;i<=NX;i++)
143         for (j=1;j<=NY;j++)
144             for (k=1;k<=NZ;k++)
145             {
146                 printf("%d [%d] [%d] = ",i,j,k);
147                 get(i,j,k).show_values();
148                 /*
149                 get(i,j,k) retourne un <type elem>.
150                 show_values() est une méthode du type Elem3D
151                 qui affiche un type approprié.
152                 << Luc Romain, 15 juin 1998>>
153                 */
154             }
155     }
156 };
157
158 void tableaux<long double>::show_value(int i, int j, int k)
159     {printf("%d [%d] [%d] = %.6f ",i,j,k,get(i,j,k));}
160
161 void tableaux<int>::show_value(int i, int j, int k)
162     {printf("%d [%d] [%d] = %d ",i,j,k,get(i,j,k));}
163
164 template <class type>
165 void tableaux<type>::show_valx(int i, int j, int k)
166     {printf("%d [%d] [%d] = ",i,j,k); get(i,j,k).show_valx();}
167

```

```
168 template <class type>
169 void tableaux<type>::show_valy(int i, int j, int k)
170     {printf("%d %d %d =",i,j,k);  get(i,j,k).show_valy();};
171
172 template <class type>
173 void tableaux<type>::show_valz(int i, int j, int k)
174     {printf("%d %d %d =",i,j,k);  get(i,j,k).show_valz();};
```

```
type.h

1 //////////////////////////////////////////////////////////////////
2 // //////////////////////////////////////////////////////////////////
3 // //////////////////////////////////////////////////////////////////
4 // //////////////////////////////////////////////////////////////////
5 // //////////////////////////////////////////////////////////////////
6 //////////////////////////////////////////////////////////////////
7
8
9 typedef int typ_material;
10 /*
11 typedef long double typ_champ;
12 typedef long double typ_phys_prm;
13 typedef long double typ_coeff;
14 typedef long double typ_time;
15 typedef long double typ_distance;
16 */
17 typedef double typ_champ;
18 typedef double typ_phys_prm;
19 typedef double typ_coeff;
20 typedef double typ_time;
21 typedef double typ_distance;
```

```
1 //////////////////////////////////////////////////////////////////
2 //////////////////////////////////////////////////////////////////
3 //////////////////////////////////////////////////////////////////
4 //////////////////////////////////////////////////////////////////
5 //////////////////////////////////////////////////////////////////
6 //////////////////////////////////////////////////////////////////
7 //////////////////////////////////////////////////////////////////
8 typedef elem3D <typ_champ> cellule_champs;
9 typedef elem3D <typ_material> cellule_physique;
10 typedef espaces <cellule_champs> espace_champs;
11 typedef espaces <cellule_physique> espace_physique;
12 typedef tableaux <typ_champ> tab_for_orbc;
```

```
update.h

1 // -----
2 // aff_progres()
3 // -----
4 // Cette fonction calcule combien de temps il reste avant la fin des
5 // calculs. Par la suite, elle affiche les resultats quant au progres
6 // effectue au cours de la simulation.
7 // -----
8 void aff_progres(time_t *step1,int go,int Step,int st)
9 {
10     time_t step2,e_time;
11     typ_coeff h_left,m_left,s_left,secondes;
12
13     time(&step2);
14     e_time=(long)difftime(step2,*step1);
15     if(Step==go)
16         secondes=1;
17     else
18         secondes=(st-go)*e_time/(Step-go)*(st-Step)/(st);
19
20     h_left=floor(secondes/3600);
21     secondes-=h_left*3600;
22     m_left=floor(secondes/60);
23     secondes-=m_left*60;
24     s_left=secondes;
25
26     printf ("%t\t Done. [%i/%i] ,(int)(100*(float)Step/(float)st),Step,st);
27     printf (" -- %1.0f%1.0fm%1.0fs remaining... ",h_left,m_left,s_left);
28 }
```

```
var_env.h

1 //////////////////////////////////////////////////////////////////
2 //////////////////////////////////////////////////////////////////
3 //////////////////////////////////////////////////////////////////
4 //////////////////////////////////////////////////////////////////
5 //////////////////////////////////////////////////////////////////
6 //////////////////////////////////////////////////////////////////
7 class var_env
8 {
9     public:
10     typ_time             dt;
11     typ_distance         dx,dy,dz;
12
13     // Constructeurs
14     /* 1 */ var_env()      {dx=0;dy=0;dz=0;dt=0;};
15
16     /* 2 */ var_env(typ_distance sizex,typ_distance sizey,typ_distance sizez)
17     {
18         dx = sizex;
19         dy = sizey;
20         dz = sizez;
21         dt = (typ_time)(1.0 /  sqrt ((C*C/dx/dx)+(C*C/dy/dy)+(C*C/dz/dz)));
22
23     //     printf("_env: dx=%e,dy=%e,dz=%e,dt=%e",dx,dy,dz,dt);
24     };
25
26     // Destructeur
27     ~var_env()      {};
28 };
```

```
var_env_comp.h

1 //////////////////////////////////////////////////////////////////
2 //
3 //                                     //
4 //      DESCRIPTION ET MISE EN OEUVRE DE LA CLASSE 'VAR_ENV_COMP'      //
5 //                                     //
6 //////////////////////////////////////////////////////////////////
7 // Cette classe, derivee de la classe VAR_ENV, contient les           //
8 // variables d'environnement et les constantes de calcul qui en       //
9 // decoulet.                                //
10 //////////////////////////////////////////////////////////////////
11
12
13 #define          costh  (cos(PI*thinc/180.0))
14 #define          sinth  (sin(PI*thinc/180.0))
15 #define          cosph  (cos(PI*phinc/180.0))
16 #define          sinph  (sin(PI*phinc/180.0))
17
18 class var_env_comp : public var_env
19 {
20
21 public:
22
23     typ_time time;
24
25     typ_coeff    thinc, phinc;
26     typ_coeff    ethinc, ephinc;
27     typ_coeff    offset, delay;
28     typ_coeff    alpha, beta;
29     typ_time period;
30     typ_coeff    xdisp, ydisp, zdisp;
31     typ_coeff    ampx, ampy, ampz;
32
33 // Constructeurs
34
35 /* 1 */ var_env_comp();
36
37 /* 2 */ var_env_comp(var_env env) : var_env(env)
38 {
39     init(180.0, 180.0, 1.0, 0.0, 1.0, 0.0000003, 64.0);
40     init_alpha_and_period();
41     init_relative_spatial_delays();
42     ampx=ampy=ampz =0.0;
43 };
44
45 /* 3 */ var_env_comp( typ_distance delx, typ_distance dely,
46                               typ_distance delz, typ_coeff amp) :
47 var_env(delx, dely, delz)
48 {
49     init(180.0, 180.0, 1.0, 0.0, 1.0, 0.0000003, 64.0);
50     init_alpha_and_period();
51     init_relative_spatial_delays();
52     init_amplitude_of_incident_fields_components(amp);
```

```

52         };
53
54     /* 4 */ var_env_comp( var_env env, typ_coeff amp): var_env(env)
55     {
56         // theta phi eth eph off delay beta --LR
57         init(180.0, 180.0, 1.0, 0.0, 1.0, 0.0000003, 64.0);
58         init_alpha_and_period();
59         init_relative_spatial_delays();
60         init_amplitude_of_incident_fields_components(amp);
61     };
62
63     // Destructeur
64     ~var_env_comp() {};
65
66 private:
67
68     // Initialisation
69     void init( typ_coeff theta, typ_coeff phi,
70                 typ_coeff etheta, typ_coeff ephi,
71                 typ_coeff off, typ_coeff del,
72                 typ_coeff bet)
73     {
74         thinc = theta;
75         phinc = phi;
76         ethinc = etheta;
77         ephinc = ephi;
78         offset = off;
79         delay = del;
80         beta = bet;
81     };
82
83
84     void init_alpha_and_period(void)
85     {
86         alpha = (4.0/beta/dt) * (4.0/beta/dt);
87         period= 2.0 * beta * dt;
88     };
89
90     void init_relative_spatial_delays(void)
91     {
92         xdisp = (- cosph * sinth);
93         ydisp = (- sinph * sinth);
94         zdisp = (- costh);
95     }
96
97
98     void init_amplitude_of_incident_fields_components(typ_coeff amp)
99     {
100
101         ampx = amp * ( ethinc * costh * cosph - ephinc * sinph );
102         ampy = amp * ( ethinc * costh * sinph + ephinc * cosph );
103         ampz = amp * ( -ethinc * sinth );
104     };
105
106
107 public:
108     // Mise jour du delay.
109     void maj_delay(int dimx, int dimy, int dimz)
110     {

```

```
111     delay=0.0;
112     if (xdisp<0.0) delay=delay-(xdisp*(dimx-1)*dx);
113     if (ydisp<0.0) delay=delay-(ydisp*(dimy-1)*dy);
114     if (zdisp<0.0) delay=delay-(zdisp*(dimz-1)*dz);
115   };
116 };
117
```

## wiretest.h

```
1  class WireTest
2  {
3  protected:
4      int x,y,z;
5      int lon,sep1,sep2;
6      int index;
7      espace_champs *Efld;
8      espace_physique *Psp;
9
10
11 public:
12     WireTest(){};
13
14     ~WireTest(){};
15
16     WireTest(int px,int py,int pz,int l,int s1,int s2,
17               espace_champs *efld, espace_physique *psp)
18     {
19         Efld=efld;
20         Psp=psp;
21         x=px;
22         y=py;
23         z=pz;
24         lon=l;
25         sep1=s1;
26         sep2=s2;
27         index=4;
28         init();
29     }
30
31     // Construction de l'electrode simple de verification.
32
33
34     // Cette fonction retourne la valeur du potentiel lue sur la distance
35     // s1.
36     // Luc Romain, 5 mai 1999
37     typ_coeff deltav1(void)
38     {
39         int j;
40         cellule_champs cell;
41         typ_coeff val;
42
43         val=0;
44
45         for(j=y;j<y+sep1;j++)
46         {
47             cell=Efld->get(x,j,z);
48             val+=cell.cy();
49
50         }
51         return(val);
52     }
53
54     // Cette fonction calcule la somme des champs le long du fil.
55
56     typ_coeff delwirl(void)
```

```
57  {
58      int i;
59      cellule_champs cell;
60      typ_coeff val;
61
62      val=0;
63
64      for(i=x;i<x+lon;i++)
65      {
66          cell=Efld->get(i,y,z);
67          val+=cell.cx();
68
69      }
70      return(val);
71  }
72
73 // Cette fonction calcule la somme des champs le long du fil 2.
74
75 typ_coeff delwir2(void)
76 {
77     int i,j;
78     cellule_champs cell;
79     typ_coeff val;
80
81     val=0;
82
83     for(i=x;i<x+lon/2;i++)
84     {
85         cell=Efld->get(i,y+sep1,z);
86         val+=cell.cx();
87     }
88     for(i=x+lon/2;i<x+lon;i++)
89     {
90         cell=Efld->get(i,y+sep2,z);
91         val+=cell.cx();
92     }
93     for(j=y+sep1;j<y+sep2;j++)
94     {
95         cell=Efld->get(x+lon/2,j,z);
96         val+=cell.cy();
97     }
98     return(val);
99 }
100
101 // Cette fonction retourne la valeur du potentiel lue sur la distance
102 // s2.
103 // Luc Romain, 5 mai 1999
104 typ_coeff deltav2(void)
105 {
106     int j;
107     cellule_champs cell;
108     typ_coeff val;
109
110     val=0;
111
112     for(j=y;j<y+sep2;j++)
113     {
114         cell=Efld->get(x+lon,j,z);
```

```
116             val+=cell.cy();
117
118         }
119         return(val);
120     }
121
122     /* -----
123      * Fonction wire_x
124      *
125      * Cette fonction trace un fil de xi a xf selon l'axe x.
126      *
127      * Luc Romain, Janvier 1999
128      *
129      */
130     void wire_x(int xi,int xf,int y,int z)
131     {
132         cellule_physique cell;
133         int i,tmp;
134
135         if(xi>xf)
136         {
137             tmp=xi;
138             xi=xf;
139             xf=tmp;
140         }
141
142         for(i=xi;i<xf;i++)
143         {
144             cell=Psp->get(i,y,z);
145             cell.setx(index);
146             Psp->put(cell,i,y,z);
147         };
148     /* -----
149      * Fonction wire_y
150      *
151      * Cette fonction trace un fil de yi a yf selon l'axe y.
152      *
153      * Luc Romain, Mars 1999
154      *
155      */
156     void wire_y(int x,int yi,int yf,int z)
157     {
158         cellule_physique cell;
159         int j,tmp;
160
161         if(yi>yf)
162         {
163             tmp=yi;
164             yi=yf;
165             yf=tmp;
166         }
167
168         for(j=yi;j<yf;j++)
169         {
170             cell=Psp->get(x,j,z);
171             cell.sety(index);
```

```

171             Psp->put(cell,x,j,z);
172         }
173     };
174
175 /* -----
176  * Fonction wire_z
177  *
178  * Cette fonction trace un fil de zi a zf selon l'axe z.
179  *
180  * Luc Romain, Mars 1999
181  */
182 void wire_z(int x,int y,int zi,int zf)
183 {
184     cellule_physique cell;
185     int k,tmp;
186
187     if(zi>zf)
188     {
189         tmp=zi;
190         zi=zf;
191         zf=zi;
192     }
193
194     for(k=zi;k<zf;k++)
195     {
196         cell=Psp->get(x,y,k);
197         cell.setz(index);
198         Psp->put(cell,x,y,k);
199     }
200 };
201
202 void init(void)
203 {
204     wire_x(x,x+lon,y,z);      // Brin superieur
205     /*
206     -----
207     <-      1/2-> | <- 1/2 ->
208     |
209     -----|                               s2
210     s1
211     ----- // brini
212
213 La difference de potentiel devrait etre la meme entre s1 et s2.
214
215 */
216
217     wire_x(x,x+lon/2,y+sep1,z);      // Brin2.
218     wire_y(x+lon/2,y+sep1,y+sep2,z);
219     wire_x(x+lon/2,x+lon,y+sep2,z);
220
221 }
222 };

```

**Une disquette accompagne ce mémoire de maîtrise.**

**Toute personne intéressée à se la procurer doit contacter :**

**École Polytechnique de Montréal**

**Service de fourniture de documents**

**B.P. 6079, Succursale Centre-Ville**

**Montréal, Québec H3C 3A7**

**Canada**

**Tél. : (514) 340-4846**

**Télécopieur : (514) 340-4026**